

คุณสมบัติบางประการของจีโอเดสิกบนบางพื้นผิวที่เกิดจากการหมุนกราฟ

SOME PROPERTIES OF GEODESICS ON SOME SURFACES OF
REVOLUTION



T123721



วงศ์วิศรุต เขื่องสตุง

WONGVISARUT KHUANGSATUNG

เลขหมู่.....
เลขทะเบียน.....
วัน, เดือน, ปี.....

b. 12448915
i.

วิทยานิพนธ์นี้เป็นส่วนหนึ่งของการศึกษาตามหลักสูตรปริญญาวิทยาศาสตรมหาบัณฑิต

สาขาคณิตศาสตร์ประยุกต์

คณะวิทยาศาสตร์

สถาบันเทคโนโลยีพระจอมเกล้าเจ้าคุณทหารลาดกระบัง

พ.ศ. 2555

KMITL-2012-SC-M-001-046

เอกสารนี้เป็นเอกสารที่สงวนไว้สำหรับการใช้งานเพื่อการศึกษาเท่านั้น ไม่อนุญาตให้นำไปใช้ประโยชน์ด้านการค้า
ไม่ว่ากรณีใดๆ ทั้งสิ้น อีกทั้งห้ามมิให้ดัดแปลงเนื้อหา และต้องอ้างอิงถึงเจ้าของเอกสารทุกครั้งที่มีการนำไปใช้

**SOME PROPERTIES OF GEODESICS ON SOME SURFACES OF
REVOLUTION**



**A THESIS SUBMITTED IN PARTIAL FULFILLMENT
OF THE REQUIREMENT FOR THE DEGREE OF
MASTER OF SCIENCE IN APPLIED MATHEMATICS
FACULTY OF SCIENCE**

KING MONGKUT'S INSTITUTE OF TECHNOLOGY LADKRABANG

2012

KMITL--2012-SC-M-001-046

เอกสารนี้เป็นเอกสารที่สงวนไว้สำหรับการใช้งานเพื่อการศึกษาเท่านั้น ไม่อนุญาตให้นำไปใช้ประโยชน์ด้านการค้า
ไม่ว่ากรณีใดๆ ทั้งสิ้น อีกทั้งห้ามมิให้ดัดแปลงเนื้อหา และต้องอ้างอิงถึงเจ้าของเอกสารทุกครั้งที่มีการนำไปใช้



COPYRIGHT 2012

FACULTY OF SCIENCE

KING MONGKUT'S INSTITUTE OF TECHNOLOGY LADKRABANG

เอกสารนี้เป็นเอกสารที่สงวนไว้สำหรับการใช้งานเพื่อการศึกษาเท่านั้น ไม่อนุญาตให้นำไปใช้ประโยชน์ด้านการค้า
ไม่ว่ากรณีใดๆ ทั้งสิ้น อีกทั้งห้ามมิให้ดัดแปลงเนื้อหา และต้องอ้างอิงถึงเจ้าของเอกสารทุกครั้งที่มีการนำไปใช้

หัวข้อวิทยานิพนธ์	คุณสมบัติบางประการของจีโอเดสิกบนบางพื้นผิวที่เกิดจากการหมุนกราฟ
นักศึกษา	นายวงศ์วิศรุต เขื่องสตุ่ง
รหัสประจำตัว	53650701
ปริญญา	วิทยาศาสตรมหาบัณฑิต
สาขาวิชา	คณิตศาสตร์ประยุกต์
พ.ศ.	2555
อาจารย์ที่ปรึกษา	รศ.ภักคินี ชิตสกุล

บทคัดย่อ

ในงานวิจัยนี้ ผู้วิจัยได้ศึกษาสมบัติบางประการของจีโอเดสิกบนพื้นผิวบางพื้นผิวที่เกิดจากการหมุนกราฟ (Surface of revolution) ที่อยู่ในรูปภาวะอิงพารามิเตอร์เกลโรลที่ขึ้นอยู่กับพารามิเตอร์ v (v -Clairaut parameterization) พบว่า ทุกๆ เมอริเดียน (Meridian) บนพื้นผิวที่เกิดจากการหมุนเป็นจีโอเดสิก และจะมีบางพาราเลล (Parallel) บนพื้นผิวที่เกิดจากการหมุนเป็นจีโอเดสิกก็ต่อเมื่อ $f'(v_0) = 0$ เมื่อ $f(v)$ เป็นรัศมีของพาราเลล และ v_0 เป็นค่าคงที่ หลังจากนั้นผู้วิจัยแบ่งประเภทของรูปทรงต่างๆที่เป็นพื้นผิวของการหมุนเพื่อจะพิจารณาลักษณะของจีโอเดสิกบนรูปทรงนั้น โดยพิจารณาลักษณะจีโอเดสิกจากความสัมพันธ์ของเกลโรล (Clairaut's relation) สำหรับบางกรณี พร้อมทั้งหาสมการจีโอเดสิกบนบางพื้นผิวในรูปแบบระบบสมการเชิงอนุพันธ์แบบไม่เชิงเส้นและแบบปริพันธ์ โดยใช้โปรแกรมสำเร็จรูปทางคณิตศาสตร์ (MATLAB) ในการแสดงเส้นโค้งจีโอเดสิกบนบางพื้นผิวที่เกิดจากการหมุนกราฟ

คำสำคัญ : จีโอเดสิก พื้นผิวที่เกิดจากการหมุนกราฟ ความสัมพันธ์ของเกลโรล ภาวะอิงพารามิเตอร์-เกลโรล

Thesis Title	Some Properties of Geodesics on Some Surfaces of Revolution
Student	Wongvisarut Khuangsatung
Student ID	53650701
Degree	Master of Science
Program	Applied Mathematics
Year	2012
Thesis Advisor	Assoc. Prof. Pakkinee Chitsakul

ABTRACT

In this research, we study some properties of geodesic on some surfaces of revolution with the v -Clairaut parameterization . Such that, all meridians of surface of revolution are geodesic and a parallel is geodesic if and on if $f'(v_0) = 0$ where $f(v)$ is radius of parallel and v_0 is constant. After that, we will classify surface of revolution in order to consider characteristics of geodesic which is determined by Clairaut's relation. Furthermore, we find geodesic equation in both the system of non-linear differential equations and the integrals equation. Moreover, we use MATLAB to plot geodesic on surface of revolution.

Keyword : Geodesic, Surface of revolution, Clairaut's relation , Clairaut parameterization

กิตติกรรมประกาศ

วิทยานิพนธ์เรื่อง *คุณสมบัติบางประการของจีโอเคมีบนบางพื้นที่ที่เกิดจากการหมุนกราฟ* สำเร็จลุล่วงไปได้ด้วยดีนั้น ผู้จัดทำขอขอบพระคุณอาจารย์ที่ปรึกษาวิทยานิพนธ์ รศ.ภคินี ชิตสกุล ที่คอยชี้แนะ เป็นกำลังใจ ตลอดจนให้ความรู้และช่วยตรวจสอบความถูกต้องของวิทยานิพนธ์จนทำให้วิทยานิพนธ์เล่มนี้สำเร็จลุล่วงไปได้ด้วยดี ผู้วิจัยขอขอบพระคุณไว้ ณ โอกาสนี้

ผลงานวิจัยนี้ได้รับทุนสนับสนุนการวิจัยจาก โครงการพัฒนากำลังคนด้านวิทยาศาสตร์ (ทุนเรียนดีวิทยาศาสตร์แห่งประเทศไทย) (Science Achievement Scholarship of Thailand)

ผู้วิจัยขอขอบพระคุณประธานกรรมการสอบ อาจารย์บัณฑิตประจำ และผู้ทรงคุณวุฒิภายนอกอันประกอบไปด้วย ดร.อาทิตย์ แจ้ชัญญการ ดร.เคชา สมณะและ ดร.บัญญัติ สร้อยแสง ที่ให้คำแนะนำในการทำวิทยานิพนธ์รวมทั้งช่วยตรวจสอบเล่มวิทยานิพนธ์นี้ด้วย

ขอขอบพระคุณคณาจารย์ทุกท่านที่ได้ให้เกียรติประศาสน์ ทั้งทางด้านวิชาความรู้ ตลอดจนคุณธรรม จริยธรรมที่สามารถนำไปใช้ในชีวิตประจำวันได้ จนกระทั่งวิทยานิพนธ์นี้สัมฤทธิ์ผลเป็นที่เรียบร้อย

สุดท้ายนี้ผู้วิจัยขอขอบพระคุณบิดาและมารดา ผู้ให้การสนับสนุน เป็นแรงบันดาลใจและเป็นกำลังใจเสมอมาจนทำให้ผู้วิจัยสามารถทำงานวิจัยสำเร็จลุล่วงไปได้ด้วยดี รวมถึงขอขอบพระคุณ นายณัฐพล บุญนำและนายวิศรุต คลายแจ้งที่ช่วยเป็นกำลังใจทั้งเป็นที่ปรึกษาคอยแนะนำและช่วยตรวจสอบเล่มวิทยานิพนธ์นี้ ขอขอบพระคุณคุณชุตติกาญจน์ ดันยะสิทธิ์ และคุณอุคร บุญธรรม ที่คอยช่วยเหลือ ส่งเสริม และอำนวยความสะดวก ทั้งในด้านเอกสารต่างๆ อีกทั้งในส่วนของการใช้คอมพิวเตอร์ และเครื่องพิมพ์เอกสารในห้องปฏิบัติการคอมพิวเตอร์ และขอขอบคุณนายคณาวุฒิ ทรัพย์คล้าย นายศราวุธ สุวรรณอัคร์ นางสาวสิริพัชร แสงสว่าง นายนิติภูมิ อัสวริตติสกุล และนายเชาวนิตี เทียมแพ และนางสาวชฎาพร ไตสถานที่คอยให้ความช่วยเหลือในด้านต่างๆ ที่เกี่ยวข้องกับวิทยานิพนธ์ รวมถึงคอยให้กำลังใจเสมอมาจนกระทั่งสำเร็จลุล่วงทุกประการ

นายวงศวิศรุต เชื้อองสตุ้ง

สารบัญ

หน้า

บทคัดย่อภาษาไทย	I
บทคัดย่อภาษาอังกฤษ	II
กิตติกรรมประกาศ	III
สารบัญ	IV
สารบัญรูป	VI
สารบัญตาราง	X
บทที่ 1 บทนำ	1
1.1 ความเป็นมาและความสำคัญ	1
1.2 วัตถุประสงค์ของงานวิจัย	3
1.3 วัตถุประสงค์ของงานวิจัย	3
1.4 ประโยชน์ที่คาดว่าจะได้รับ	4
1.5 ขั้นตอนในการดำเนินงานวิจัย	4
บทที่ 2 ทฤษฎีและงานวิจัยที่เกี่ยวข้อง	6
2.1 ทฤษฎีเบื้องต้น	6
2.1.1 ปริภูมิแบบยุคลิด n มิติ	6
2.1.2 ฟังก์ชันต่อเนื่อง	6
2.1.3 ฟังก์ชันส่วนประกอบ	8
2.1.4 อนุพันธ์ของฟังก์ชัน	8
2.1.5 เส้นโค้งอิงพารามิเตอร์	12
2.1.6 พื้นผิวปรกติ	13
2.1.7 ระนาบสัมผัส	17
2.1.8 รูปแบบหลักมูลที่หนึ่ง	17
2.1.9 พื้นผิวของการหมุน	23
2.1.10 สัญลักษณ์คิสดอเฟิล	24
2.1.11 จีออเดซิก	31
2.1.12 ภาวะอิงพารามิเตอร์ของเกลโรล	40
2.2 งานวิจัยที่เกี่ยวข้อง	44
บทที่ 3 วิธีดำเนินการวิจัย	51
3.1 สมบัติบางประการของจีออเดซิก	51

เอกสารนี้เป็นเอกสารที่สงวนไว้สำหรับการใช้งานเพื่อการศึกษาเท่านั้น ไม่อนุญาตให้นำไปใช้ประโยชน์ด้านการค้า
ไม่ว่ากรณีใดๆ ทั้งสิ้น อีกทั้งห้ามมิให้ดัดแปลงเนื้อหา IV และต้องอ้างอิงถึงเจ้าของเอกสารทุกครั้งที่มีการนำไปใช้

สารบัญ (ต่อ)

	หน้า
3.2 บางจีโอเดซิกบนบางพื้นผิวของการหมุน	51
3.2.1 พื้นผิวคล้ายทรงกรวย	55
3.2.2 ทรงพาราโบล่า	59
3.2.3 ทรงไฮเพอร์โบล่า	63
3.2.4 ทรงไฮเพอร์โบล่าสองชั้น	68
3.2.5 แคทีนอยด์	71
3.2.6 พื้นผิวแบบดิงดอง	75
3.2.7 พื้นผิวแบบคิส	79
3.2.8 ทรงห่วยางแบบฮอว์น	85
บทที่ 4 ผลการวิจัยและอภิปรายผล	90
4.1 การวิเคราะห์ลักษณะของบางจีโอเดซิกบนพื้นผิวของการหมุน โดยใช้ความสัมพันธ์ของแกลโลโร	90
4.1.1 พื้นผิวคล้ายทรงกรวย	90
4.1.2 ทรงพาราโบล่า	94
4.1.3 ทรงไฮเพอร์โบล่า	97
4.1.4 ทรงไฮเพอร์โบล่าสองชั้น	101
4.1.5 แคทีนอยด์	104
4.1.6 พื้นผิวแบบดิงดอง	108
4.1.7 พื้นผิวแบบคิส	113
4.1.8 ทรงห่วยางแบบฮอว์น	120
4.2 บางจีโอเดซิกบนพื้นผิวของการหมุนโดยพิจารณาจากลักษณะของพื้นผิว	124
บทที่ 5 สรุปผลการวิจัยและเสนอแนะ	126
เอกสารอ้างอิง	135
ภาคผนวก	136
ประวัติผู้วิจัย	155

สารบัญรูป

	หน้า
รูปที่ 2.1 บอลเปิด $B_r(p)$ ใน \mathbb{R}^2	6
รูปที่ 2.2 เซตเปิด	7
รูปที่ 2.3 การส่งต่อเนื่อง	7
รูปที่ 2.4 ฟังก์ชันสมานสัณฐานที่การส่งแบบต่อเนื่อง	8
รูปที่ 2.5 อนุพันธ์ของการส่งที่หาอนุพันธ์ได้	10
รูปที่ 2.6 การส่งที่เป็นอนุพันธ์สัณฐาน	12
รูปที่ 2.7 เวกเตอร์ความเร็ว	12
รูปที่ 2.8 การส่ง $x: U \rightarrow V \cap S$ ของเซตเปิด $U \subset \mathbb{R}^2$ ทัวถึง $V \cap S \subset \mathbb{R}^3$	14
รูปที่ 2.9 เส้นโค้งพารามิเตอร์กับเวกเตอร์สัมผัส	14
รูปที่ 2.10 การเปลี่ยนของพารามิเตอร์ [8]	15
รูปที่ 2.11 ฟังก์ชันที่หาอนุพันธ์ได้บนพื้นผิวปรกติ	16
รูปที่ 2.12 การส่งที่หาอนุพันธ์ได้ระหว่างพื้นผิวปรกติ	16
รูปที่ 2.13 ระนาบสัมผัส [8]	17
รูปที่ 2.14 ความยาวในพื้นผิวปรกติ S	20
รูปที่ 2.15 รูปแบบหลักมูลที่หนึ่ง (first fundamental form)	22
รูปที่ 2.16 พื้นผิวของการหมุน S ใน \mathbb{R}^3 [8]	23
รูปที่ 2.17 จีออเดซิกในทรงกลม	33
รูปที่ 2.18 จีออเดซิกในทรงกระบอกกลม	33
รูปที่ 2.19 เส้นตั้งฉากกับพื้นผิว	37
รูปที่ 2.20 เงื่อนไขที่จำเป็นสำหรับพาราเมตริกของพื้นผิวของการหมุนที่เป็นจีออเดซิก	43
รูปที่ 2.21 จีออเดซิกบนพื้นผิวในงานวิจัยของเจคอบ	44
รูปที่ 2.22 จีออเดซิกบนพื้นผิวของทรงห้วงยางในงานวิจัยของ มาร์ค ไอรอน	45
รูปที่ 2.23 กราฟของส่วนของวงกลมใหญ่ในทรงกลม	46
รูปที่ 2.24 กราฟของส่วนของเส้นเกลียวบนทรงกระบอก	47
รูปที่ 2.25 กราฟของส่วนของเส้นเวียนก้นหอยรูปกรวยบนทรงกรวย	48
รูปที่ 2.26 กราฟของเส้นเวียนก้นหอยรูปห้วงยางบนทรงห้วงยาง	49
รูปที่ 2.27 จีออเดซิกบนพื้นผิวทรงกลมและการเปรียบเทียบของแต่ละวิธี	50
รูปที่ 3.1 ส่วนประกอบของพื้นผิวคล้ายทรงกรวย	55
รูปที่ 3.2 ส่วนประกอบบนพื้นผิวของการหมุนรอบของทรงพาราโบล่า	60

เอกสารนี้เป็นเอกสารที่สงวนไว้สำหรับการใช้งานเพื่อการศึกษาเท่านั้น ไม่อนุญาตให้นำไปใช้ประโยชน์ด้านการค้า

ไม่ว่ากรณีใดๆ ทั้งสิ้น อีกทั้งห้ามมิให้ดัดแปลงเนื้อหา VI และต้องอ้างอิงถึงเจ้าของเอกสารทุกครั้งที่มีการนำไปใช้

สารบัญรูป (ต่อ)

หน้า

รูปที่ 3.3 ส่วนประกอบบนพื้นผิวของการหมุนรอบของทรงไฮเพอร์โบล่า	63
รูปที่ 3.4 ส่วนประกอบบนพื้นผิวของการหมุนรอบของทรงไฮเพอร์โบล่าสองชั้น	68
รูปที่ 3.5 ส่วนประกอบบนพื้นผิวของการหมุนรอบของแคทินอยด์	71
รูปที่ 3.6 ส่วนประกอบบนพื้นผิวของการหมุนรอบของพื้นผิวแบบคิงคอง	75
รูปที่ 3.7 ส่วนประกอบบนพื้นผิวของการหมุนรอบของพื้นผิวแบบคิส	80
รูปที่ 3.8 ประเภทของทรงห่วยาง	85
รูปที่ 3.9 พิกัดบนทรงห่วยางแบบฮอว์น	85
รูปที่ 3.10 ส่วนประกอบบนพื้นผิวของการหมุนรอบของทรงห่วยางแบบฮอว์น	86
รูปที่ 4.1 ทุกๆ เมอริเดียนบนพื้นผิวคล้ายทรงกรวยเป็นจีโอเดซิก โดยค่าคงที่ของแกลโรล $c = 0$	91
รูปที่ 4.2 จีโอเดซิกบนพื้นผิวคล้ายทรงกรวยที่ไม่ตั้งฉากกับเมอริเดียน โดยมีจุดเริ่มต้นที่ $(u_0, v_0) = (\pi, 0.5)$ และมีทิศทาง $\left(\frac{du}{ds}, \frac{dv}{ds}\right) = (1, 0.1)$	93
รูปที่ 4.3 ทุกๆ เมอริเดียนบนทรงพาราโบล่าเป็นจีโอเดซิก โดยค่าคงที่ของแกลโรล $c = 0$	94
รูปที่ 4.4 บางจีโอเดซิกบนทรงพาราโบล่าที่ไม่ตั้งฉากกับเมอริเดียน โดยมีจุดเริ่มต้นที่ $(u_0, v_0) = \left(\frac{\pi}{2}, -\frac{\pi}{2}\right)$ และมีทิศทาง $\left(\frac{du}{ds}, \frac{dv}{ds}\right) = (1, 0.1)$	96
รูปที่ 4.5 ทุกๆ เมอริเดียนบนทรงไฮเพอร์โบล่าเป็นจีโอเดซิก โดยค่าคงที่ของแกลโรล $c = 0$	97
รูปที่ 4.6 บางพาราเลลบนทรงไฮเพอร์โบล่าเป็นจีโอเดซิกก็ต่อเมื่อ $f'(v_0) = 0$ โดยที่ $v_0 = 0$ และค่าคงที่ของแกลโรลจะเป็นไปตาม $c = a$	98
รูปที่ 4.7 บางจีโอเดซิกบนทรงไฮเพอร์โบล่าที่ไม่ตั้งฉากกับเมอริเดียน โดยมีจุดเริ่มต้นที่ $(u_0, v_0) = (1, 1)$ และมีทิศทาง $\left(\frac{du}{ds}, \frac{dv}{ds}\right) = (0.1, 0.1)$	100
รูปที่ 4.8 บางจีโอเดซิกบนทรงไฮเพอร์โบล่าที่ไม่ตั้งฉากกับเมอริเดียน $(u_0, v_0) = (1, 1)$ และมีทิศทาง $\left(\frac{du}{ds}, \frac{dv}{ds}\right) = (0.1, -0.1)$	100
รูปที่ 4.9 ทุกๆ เมอริเดียนบนทรงไฮเพอร์โบล่าสองชั้น โดยค่าคงที่ของแกลโรล $c = 0$	102
รูปที่ 4.10 บางจีโอเดซิกบนทรงไฮเพอร์โบล่าสองชั้น ที่ไม่ตั้งฉากกับเมอริเดียน โดยมีจุดเริ่มต้นที่ $(u_0, v_0) = \left(\frac{\pi}{2}, -\frac{\pi}{2}\right)$ และมีทิศทาง $\left(\frac{du}{ds}, \frac{dv}{ds}\right) = (0.1, 0.1)$	103
รูปที่ 4.11 ทุกๆ เมอริเดียนบนแคทินอยด์เป็นจีโอเดซิก โดยค่าคงที่ของแกลโรล $c = 0$	104
รูปที่ 4.12 บางพาราเลลบนแคทินอยด์เป็นจีโอเดซิกก็ต่อเมื่อ $f'(v_0) = 0$ โดยที่ $v_0 = 0$ และค่าคงที่ของแกลโรลจะเป็นไปตาม $c = a$	105

เอกสารนี้เป็นเอกสารที่สงวนไว้สำหรับการใช้งานเพื่อการศึกษาเท่านั้น ไม่อนุญาตให้นำไปใช้ประโยชน์ด้านการค้า

ไม่ว่ากรณีใดๆ ทั้งสิ้น อีกทั้งห้ามมิให้ดัดแปลงเนื้อหา VII และต้องอ้างอิงถึงเจ้าของเอกสารทุกครั้งที่มีการนำไปใช้

สารบัญรูป (ต่อ)

หน้า

รูปที่ 4.13 บางจีโอเดซิกบนแคทีนอยด์ที่ไม่ตั้งฉากกับเมอริเดียน		หน้า
โดยมีจุดเริ่มต้นที่ $(u_0, v_0) = (0.1, 0)$ และมีทิศทาง $\left(\frac{du}{ds}, \frac{dv}{ds}\right) = (1, 0.1)$	107	
รูปที่ 4.14 ทุกๆเมอริเดียนบนพื้นผิวแบบดิงดงเป็นจีโอเดซิก โดยค่าคงที่ของแกลโรล $c = 0$		108
รูปที่ 4.15 บางพาราเลลบนพื้นผิวแบบดิงดงเป็นจีโอเดซิกก็ต่อเมื่อ $f'(v_0) = 0$		
โดยที่ $v_0 = \frac{2}{3}$ และค่าคงที่ของแกลโรลจะเป็นไปตาม $c = \frac{2\sqrt{3}}{9}a$	110	
รูปที่ 4.16 บางจีโอเดซิกบนพื้นผิวแบบดิงดงที่ไม่ตั้งฉากกับเมอริเดียน		
โดยมีจุดเริ่มต้นที่ $(u_0, v_0) = (0.665, 0.665)$ และมีทิศทาง $\left(\frac{du}{ds}, \frac{dv}{ds}\right) = (1, -1)$	111	
รูปที่ 4.17 บางจีโอเดซิกบนพื้นผิวแบบดิงดงที่ไม่ตั้งฉากกับเมอริเดียน		
โดยมีจุดเริ่มต้นที่ $(u_0, v_0) = (1, 0.5)$ และมีทิศทาง $\left(\frac{du}{ds}, \frac{dv}{ds}\right) = (1, 0.1)$	112	
รูปที่ 4.18 ทุกๆเมอริเดียนบนพื้นผิวแบบคิสเป็นจีโอเดซิก โดยค่าคงที่ของแกลโรล $c = 0$		113
รูปที่ 4.19 บางพาราเลลบนพื้นผิวแบบคิสเป็นจีโอเดซิกก็ต่อเมื่อ $f'(v_0) = 0$		
โดยที่ $v_0 = \frac{4}{5}$ และค่าคงที่ของแกลโรลจะเป็นไปตาม $c = 0.4a$	116	
รูปที่ 4.20 บางจีโอเดซิกบนพื้นผิวแบบคิสที่ไม่ตั้งฉากกับเมอริเดียน		
โดยมีจุดเริ่มต้นที่ $(u_0, v_0) = (0.5, 0.5)$ และมีทิศทาง $\left(\frac{du}{ds}, \frac{dv}{ds}\right) = (0.5, -1)$	118	
รูปที่ 4.21 บางจีโอเดซิกบนพื้นผิวแบบคิสที่ไม่ตั้งฉากกับเมอริเดียน		
โดยมีจุดเริ่มต้นที่ $(u_0, v_0) = (0.8, 0.8)$ และมีทิศทาง $\left(\frac{du}{ds}, \frac{dv}{ds}\right) = (0.1, 0.1)$	118	
รูปที่ 4.21 บางจีโอเดซิกบนพื้นผิวแบบคิสที่ไม่ตั้งฉากกับเมอริเดียน		
โดยมีจุดเริ่มต้นที่ $(u_0, v_0) = (0.8, 0.8)$ และมีทิศทาง $\left(\frac{du}{ds}, \frac{dv}{ds}\right) = (0.1, 0.1)$	119	
รูปที่ 4.22 ทุกๆเมอริเดียนบนทรงห้วงยางแบบฮอร์นเป็นจีโอเดซิก		
โดยค่าคงที่ของแกลโรล $c = 0$	120	
รูปที่ 4.23 บางพาราเลลบนทรงห้วงยางแบบฮอร์นเป็นจีโอเดซิกก็ต่อเมื่อ $f'(v_0) = 0$		
โดยที่ $v_0 = 0, 2\pi$ และค่าคงที่ของแกลโรลจะเป็นไปตาม $c = 2a$	121	
รูปที่ 4.24 บางจีโอเดซิกบนทรงห้วงยางแบบฮอร์นที่ไม่ตั้งฉากกับเมอริเดียน		
โดยมีจุดเริ่มต้นที่ $(u_0, v_0) = (\pi/2, \pi/2)$ และมีทิศทาง $\left(\frac{du}{ds}, \frac{dv}{ds}\right) = (0.1, 0.1)$	123	

สารบัญรูป (ต่อ)

	หน้า
รูปที่ 5.1 การเคลื่อนเส้นโค้งจีโอเดซิก A ถึงเส้นโค้ง B บนพื้นผิวที่ไม่ปรับเรียบ	132
รูปที่ 5.2 สามเหลี่ยมจีโอเดซิก (Geodesic Triangle)	133
รูปที่ 5.3 จีโอเดซิกแบบไม่ต่อเนื่อง (Discrete Geodesics)	134



เอกสารนี้เป็นเอกสารที่สงวนไว้สำหรับการใช้งานเพื่อการศึกษาเท่านั้น ไม่อนุญาตให้นำไปใช้ประโยชน์ด้านการค้า
ไม่ว่ากรณีใดๆ ทั้งสิ้น อีกทั้งห้ามมิให้ตัดแปลงเนื้อหา^{IX} และต้องอ้างอิงถึงเจ้าของเอกสารทุกครั้งที่มีการนำไปใช้

สารบัญตาราง

	หน้า
ตารางที่ 1.1 ตารางแผนการดำเนินการตามขั้นตอนวิจัย	5
ตารางที่ 4.1 การแบ่งประเภทของพื้นผิวของการหมุนที่มีลักษณะเปิด	124
ตารางที่ 4.2 การแบ่งประเภทของพื้นผิวของการหมุนที่มีลักษณะปิด	125
ตารางที่ 4.3 การแบ่งประเภทของพื้นผิวของการหมุนที่มีลักษณะทั้งปิดและเปิด	125
ตารางที่ 5.1 รูปแบบหลักมูลที่หนึ่งของพื้นผิวของการหมุนที่ศึกษา	126
ตารางที่ 5.2 ระบบสมการจีโอเดสิกบนภาวะอิงพารามิเตอร์เกลโรล ที่ขึ้นอยู่กับพารามิเตอร์ v ของพื้นผิวที่ศึกษา	127
ตารางที่ 5.3 สมการจีโอเดสิกบนภาวะอิงพารามิเตอร์เกลโรล ที่ขึ้นอยู่กับพารามิเตอร์ v ที่อยู่ในรูปแบบปริพันธ์ของพื้นผิวที่ศึกษา	128
ตารางที่ 5.4 สมการผลเฉลยของสมการจีโอเดสิกบนภาวะอิงพารามิเตอร์เกลโรล ที่ขึ้นอยู่กับพารามิเตอร์ v ที่อยู่ในรูปแบบปริพันธ์ของพื้นผิวที่ศึกษา	129
ตารางที่ 5.5 การแบ่งประเภทของบางจีโอเดสิกบนพื้นผิวของการหมุน โดยใช้ความสัมพันธ์ของเกลโรล	130

บทที่ 1

บทนำ

ในบทนี้จะกล่าวถึงความสำคัญและที่มาของวิทยานิพนธ์ รวมทั้งวัตถุประสงค์ของการวิจัย ขอบเขตของการวิจัย ขั้นตอนของการวิจัย และประโยชน์ที่คาดว่าจะได้รับจากการวิจัยในวิทยานิพนธ์นี้ เพื่อเป็นประโยชน์ต่อผู้ที่สนใจจะนำไปทำการวิจัยต่อไป

1.1 ความสำคัญและที่มาของปัญหา

สำหรับงานวิจัยชิ้นนี้ ผู้วิจัยสนใจที่จะศึกษาเกี่ยวกับจีโอเดซิก (Geodesic) ในพื้นผิวโดยที่จีโอเดซิก [2][5] คือเส้นโค้งเชิงเดียวในพื้นที่เชื่อมจุด 2 จุดที่ไม่ใช่จุดเดียวกันในพื้นที่ผิวซึ่งตรงกับสมบัติของเส้นตรงในระนาบ โดยสมบัติสามประการของเส้นตรงในระนาบจากการศึกษาเรขาคณิตแบบยูคลิดคือ

- 1) มีเส้นตรงเพียงเส้นเดียวเท่านั้นที่เชื่อมจุดสองจุดโดยที่จุดทั้งสองไม่ใช่จุดเดียวกันในระนาบ
- 2) เส้นตรงใดๆ ที่เชื่อมระหว่างจุดสองจุดที่แตกต่างกันในระนาบจะเป็นวิถีที่สั้นที่สุดที่เชื่อมระหว่างจุดสองจุดนั้น
- 3) การเคลื่อนที่ตามเส้นตรงในระนาบไม่มีการบิด เลี้ยว เบน เอียง ไปทางซ้ายหรือทางขวา

จากสมบัติของเส้นตรงในระนาบทั้งสามประการนี้ ทำให้เกิดคำถามว่า “ถ้ามีพื้นผิวที่ไม่ใช่ระนาบ แล้วมีเส้นในพื้นที่ที่มีสมบัติเหมือนกับเส้นตรงในระนาบหรือไม่”

เพื่อที่จะตอบคำถามข้างต้นนี้ จะยกตัวอย่าง “โลก” โดยการสมมติว่าโลกมีลักษณะเป็นทรงกลม โดยทรงกลมมีวงกลมใหญ่ (Great circle) ซึ่งเกิดจากการตัดทรงกลมด้วยระนาบที่ผ่านจุดศูนย์กลางของทรงกลม วงกลมใหญ่อาจเป็นเส้นศูนย์สูตร (Equator) หรือ เส้นรุ้ง (Latitude) ที่ศูนย์กลางศาน นอกจากนี้วงกลมใหญ่อาจเป็นวงกลมที่ผ่านทั้งขั้วโลกเหนือและขั้วโลกใต้ ดังนั้นเส้นแวง (Longitude) หรือ เมอริเดียน (Meridian) ซึ่งเชื่อมขั้วโลกเหนือและขั้วโลกใต้จึงเป็นส่วนหนึ่งของวงกลมใหญ่

ในทรงกลมแต่ละรูปทรงจะมีวงกลมใหญ่ได้มากมาย โดยวงกลมใหญ่ทุกวงในทรงกลมเดียวกันจะมีรัศมีเท่ากัน ซึ่งรัศมีดังกล่าวจะมีค่ามากที่สุด จึงเป็นที่มาของชื่อวงกลมใหญ่ และเส้นรุ้งอื่นๆที่ไม่ใช่เส้นรุ้งที่ศูนย์กลาง จะเรียกว่าวงกลมเล็ก (Small circle) โดยวงกลมเล็กทุกวงจะขนานกัน ดังนั้นเรียกวงกลมเล็กนี้ว่า พาราเลล (Parallel)

เอกสารนี้เป็นเอกสารที่สงวนไว้สำหรับการใช้งานเพื่อการศึกษาเท่านั้น ไม่อนุญาตให้นำไปใช้ประโยชน์ด้านการค้า ไม่ว่ากรณีใดๆ ทั้งสิ้น อีกทั้งห้ามมิให้ดัดแปลงเนื้อหา และต้องอ้างอิงถึงเจ้าของเอกสารทุกครั้งที่มีการนำไปใช้

ถ้าขับรถไปตามถนนที่อยู่บนเส้นศูนย์สูตรซึ่งเป็นส่วนของวงกลมใหญ่ คนขับรถที่อยู่ภายในรถยนต์จะมีความรู้สึกว่ารยนต์เคลื่อนที่ไปเป็นเส้นตรงเสมอ ไม่มีการบิด เลี้ยว เบน เอียง ไปทางซ้ายหรือทางขวา แต่สำหรับคนที่อยู่ภายในยานอวกาศที่โคจรรอบโลก มองมายังรถยนต์ที่กำลังเคลื่อนที่อยู่บนพื้น ผู้สังเกตที่อยู่ภายนอกโลกพบว่ารถยนต์ไม่ได้เคลื่อนที่ไปเป็นเส้นตรง แต่เคลื่อนที่ไปเป็นเส้นโค้งซึ่งเป็นส่วนของวงกลมใหญ่

สิ่งที่คนขับรถยนต์เห็นเป็นการพบเห็นเมื่อคนขับอยู่ภายในรถยนต์หรือใกล้ๆกับจุดสังเกต ซึ่งเป็นสมบัติเฉพาะที่ (Local property) ส่วนสิ่งที่คนที่อยู่ภายในยานอวกาศเห็นเป็นการพบเห็นที่ระยะไกลจากรยนต์หลายๆหรือไกลจากจุดสังเกต ซึ่งเป็นสมบัติวงกว้าง (Global property)

จากข้อสังเกตข้างต้นสามารถสรุปได้ว่า สมบัติข้อ (3) ของเส้นตรงจะเป็นจริงเมื่อพิจารณาที่ใกล้ๆจุดที่กำหนด แต่สมบัติข้อ (1) ไม่เป็นจริงบนพื้นผิวโลก ถ้าจุดสองจุดที่ไม่ใช่จุดเดียวกันนี้คือขั้วโลกเหนือและขั้วโลกใต้แล้ว พบว่ามีเมอริเดียนมากกว่าหนึ่งเส้นที่เชื่อมระหว่างขั้วโลกเหนือและขั้วโลกใต้ โดยทุกเส้นมีความยาวเท่ากัน

สำหรับสมบัติข้อ (2) ไม่เป็นจริงบนพื้นผิวโลก ถ้าจุดสองจุดที่ไม่ใช่จุดเดียวกันนี้อยู่ใกล้ๆกันบนพื้นผิวโลก และจุดทั้งสองเชื่อมด้วยวงกลมใหญ่ พบว่าขณะนี้วงกลมใหญ่ถูกแบ่งเป็นสองส่วนคือส่วนที่สั้นกว่า (Minor arc) และ ส่วนที่ยาวกว่า (Major arc) ถ้าขับรถยนต์ไปตามส่วนที่ยาวกว่าบนวงกลมใหญ่ พบว่ารถยนต์ไม่มีการบิด เลี้ยว เบน เอียง ไปทางซ้ายหรือทางขวา และจะเห็นได้อย่างชัดเจนว่ารยนต์ไม่ได้เคลื่อนที่ไปตามวิถีที่สั้นที่สุดที่เชื่อมระหว่างจุดสองจุดในพื้นที่ผิว แต่ถ้าจุดสองจุดที่ไม่ใช่จุดเดียวกันนี้เป็นขั้วโลกเหนือและขั้วโลกใต้ ซึ่งเป็นจุดเสี้ยน (Antipodal) แล้วจะมีวิถีที่สั้นที่สุดที่เชื่อมระหว่างขั้วโลกเหนือและขั้วโลกใต้หรือขั้วโลกใต้และขั้วโลกเหนือ

จากข้อสังเกตข้างต้นนี้พบว่า การเคลื่อนที่ตามวงกลมใหญ่ในทรงกลมไม่มีการบิด เลี้ยว เบน เอียง ไปทางซ้ายหรือทางขวา ซึ่งตรงกับสมบัติข้อ 3) ของเส้นตรงในระนาบ ดังนั้นถ้ากำหนดว่า จีออเดซิกเป็นเส้นโค้งในพื้นที่ผิวที่แสดงสมบัติบางประการเหมือนกับสมบัติของเส้นตรงในระนาบแล้ว จะใช้สมบัติไม่มีการบิด เลี้ยว เบน เอียง ไปทางซ้ายหรือทางขวา เมื่อมีการเคลื่อนที่ตามเส้นโค้งในพื้นที่ผิว เพื่อพิจารณาสมบัติของจีออเดซิกในพื้นที่ผิว

สมการจีออเดซิกเป็นสมการที่อยู่ในรูประบบสมการเชิงอนุพันธ์แบบไม่เชิงเส้น ซึ่งยากที่จะหาผลเฉลย โดยทั่วไปจะใช้วิธีการคำนวณเชิงตัวเลขหาสมการจีออเดซิกในพื้นที่ผิว ซึ่ง [5] ใช้วิธีผลต่าง

จำกัด (Finite difference method) เพื่อหาผลเฉลยของระบบสมการจีโอเดซิก โดยใช้ระเบียบวิธีวนซ้ำ (Iterative method) และระเบียบวิธีนิวตัน (Newton's method) ทำให้ผู้วิจัยสนใจว่าจะเป็นไปได้หรือไม่ที่จะหาผลเฉลยโดยวิธีอื่น ซึ่ง เจคอบ เลวิส (Jacob Lewis) [6] ศึกษาสมการจีโอเดซิกบนพื้นผิวของการหมุน (surface of revolution) ในรูปแบบภาวะอิงพารามิเตอร์ของเกลโรลด์ที่ขึ้นอยู่กับพารามิเตอร์ v (v -Clairaut parameterization) โดยจัดรูปสมการจีโอเดซิกของทรงกลมให้อยู่ในรูปปริพันธ์และหาผลเฉลยของสมการดังกล่าว นอกจากนี้ มาร์ค ไอรอน (Mark L. Irons) [9] ได้ศึกษาจีโอเดซิกบนพื้นผิวของทรงห่วงยางที่เป็นพื้นผิวของการหมุนในรูปแบบภาวะอิงพารามิเตอร์เกลโรลด์ที่ขึ้นอยู่กับพารามิเตอร์ v โดยจัดรูปสมการจีโอเดซิกของทรงห่วงยางให้อยู่ในรูปปริพันธ์ และแบ่งประเภทของจีโอเดซิกที่อยู่บนทรงห่วงยางโดยพิจารณาจาก ความสัมพันธ์ของเกลโรลด์ (Clairaut's relation)

ในงานวิทยานิพนธ์นี้ ผู้วิจัยได้ศึกษาจีโอเดซิกบนพื้นผิวของการหมุนในรูปแบบภาวะอิงพารามิเตอร์เกลโรลด์ที่ขึ้นอยู่กับพารามิเตอร์ v โดยจัดรูปสมการจีโอเดซิกให้อยู่ในรูปปริพันธ์

1.2 วัตถุประสงค์ของการวิจัย

ผู้วิจัยต้องการศึกษาสมบัติบางประการของจีโอเดซิกบนพื้นผิวของการหมุน ที่อยู่ในรูปแบบภาวะอิงพารามิเตอร์เกลโรลด์ที่ขึ้นอยู่กับพารามิเตอร์ v โดยแยกประเภทของรูปทรงต่างๆ ที่เป็นพื้นผิวของการหมุนเพื่อพิจารณาลักษณะของจีโอเดซิกบนรูปทรงนั้นๆ และใช้ความสัมพันธ์ของเกลโรลด์พร้อมทั้งหาสมการจีโอเดซิกของแต่ละรูปทรงที่อยู่ในระบบสมการเชิงอนุพันธ์แบบไม่เชิงเส้นและที่อยู่ในรูปปริพันธ์ นอกจากนี้ผู้วิจัยได้ใช้โปรแกรมสำเร็จรูปทางคณิตศาสตร์ (MATLAB) ในการแสดงจีโอเดซิกบนพื้นผิว และผู้วิจัยต้องการพิสูจน์ว่า “ ทุกๆ เมอริเดียน (Meridian) บนพื้นผิวของการหมุนเป็นจีโอเดซิกเสมอ และมีบางพาราเลล (Parallel) บนพื้นผิวของการหมุนเป็นจีโอเดซิก ก็ต่อเมื่อ $f'(v_0) = 0$ ” เมื่อ $f(v)$ เป็นรัศมีของพาราเลล และ v_0 เป็นค่าคงที่ใดๆ

1.3 ข้อยกเว้นและขอบเขตการวิจัย

ในงานวิจัยนี้จะศึกษาจีโอเดซิกบนพื้นผิวที่มีลักษณะเป็นพื้นผิวปกติ (Regular Surface) ที่อยู่ใน \mathbb{R}^3 ซึ่งเป็นพื้นผิวเรียบ (Smooth) ที่สามารถหาอนุพันธ์ได้ทุกอันดับ และศึกษาเฉพาะพื้นผิวที่เกิดจากการหมุน (Surface of Revolution) รอบแกน z เท่านั้น โดยทุกพื้นผิวที่ศึกษาสามารถจัดอยู่ในรูปแบบภาวะอิงพารามิเตอร์

$$\mathbf{x}(u, v) = (f(v) \cos u, f(v) \sin u, g(v))$$

เมื่อ u, v เป็นพารามิเตอร์ของพื้นผิวใดๆ

เอกสารนี้เป็นเอกสารที่สงวนไว้สำหรับการใช้งานเพื่อการศึกษาเท่านั้น ไม่อนุญาตให้นำไปใช้ประโยชน์ด้านการค้า ไม่ว่าจะกรณีใดๆ ทั้งสิ้น อีกทั้งห้ามมิให้ดัดแปลงเนื้อหา และต้องอ้างอิงถึงเจ้าของเอกสารทุกครั้งที่มีการนำไปใช้

สำหรับสมการภาวะอิงพารามิเตอร์ของพื้นผิวใดๆ นั้น หาความยาวได้ในรูปแบบ

$$ds^2 = E(du)^2 + 2Fdudv + G(dv)^2$$

โดยที่ E F และ G เป็นฟังก์ชันที่ใช้สำหรับการหาความยาวของส่วนโค้งในรูปแบบหลักมูลที่หนึ่ง (First fundamental form) ในพื้นผิว นอกจากนี้ จะใช้โปรแกรมสำเร็จรูป (MATLAB) ในการแสดงจีออเดสิกบนพื้นผิว

1.4 ประโยชน์ที่คาดว่าจะได้รับ

- 1.4.1. สามารถหาเส้นโค้งจีออเดสิกบนพื้นผิวของการหมุนที่สนใจได้
- 1.4.2. เข้าใจถึงสมบัติทางเรขาคณิตของรูปทรงที่เกี่ยวกับจีออเดสิก
- 1.4.3. สามารถหาเงื่อนไขการมีจริงของจีออเดสิกบนบางพื้นผิวของการหมุน
- 1.4.4. เข้าใจถึงความสัมพันธ์ของเกลโรลและภาวะอิงพารามิเตอร์ของเกลโรล
- 1.4.5. สามารถใช้โปรแกรมสำเร็จรูป (MATLAB) ในการแสดงเส้นโค้งจีออเดสิกบนพื้นผิวของการหมุน
- 1.4.6. สามารถเผยแพร่งานวิจัยเกี่ยวกับจีออเดสิกได้ในงานประชุมวิชาการในระดับชาติและนานาชาติ

1.5 ขั้นตอนการดำเนินงานวิจัย

- ขั้นตอนที่ 1 ค้นคว้าเนื้อหาตำราเรียน เอกสารและงานวิจัยที่เกี่ยวกับการหาจีออเดสิก
- ขั้นตอนที่ 2 ศึกษาข้อมูลเพิ่มเติมที่เกี่ยวข้องกับงานวิจัย
- ขั้นตอนที่ 3 กำหนดหาสมการจีออเดสิกบนพื้นผิวของการหมุนสำหรับแต่ละรูปทรง
- ขั้นตอนที่ 4 แยกประเภทของรูปทรงต่างๆ ที่เป็นพื้นผิวของการหมุน
- ขั้นตอนที่ 5 ใช้โปรแกรมสำเร็จรูป (MATLAB) ในการแสดงจีออเดสิกบนพื้นผิว
- ขั้นตอนที่ 6 สรุปผลงานวิจัย
- ขั้นตอนที่ 7 เผยแพร่งานวิจัยสู่งานประชุมเชิงวิชาการ
- ขั้นตอนที่ 8 เขียนวิทยานิพนธ์

เอกสารนี้เป็นเอกสารที่สงวนไว้สำหรับการใช้งานเพื่อการศึกษาเท่านั้น ไม่อนุญาตให้นำไปใช้ประโยชน์ด้านการค้า ไม่ว่ากรณีใดๆ ทั้งสิ้น อีกทั้งห้ามมิให้ดัดแปลงเนื้อหา และต้องอ้างอิงถึงเจ้าของเอกสารทุกครั้งที่มีการนำไปใช้

จากขั้นตอนดำเนินงานวิจัย สามารถสรุปเป็นตารางการดำเนินการตามขั้นตอนการวิจัยได้ดังนี้
 ตารางที่ 1.1 ตารางแผนการดำเนินการตามขั้นตอนวิจัย

แผนการดำเนินงาน	เดือน											
	1	2	3	4	5	6	7	8	9	10	11	12
ขั้นตอนที่ 1	■	■	■	■								
ขั้นตอนที่ 2		■	■	■	■							
ขั้นตอนที่ 3				■	■	■	■					
ขั้นตอนที่ 4					■	■	■	■				
ขั้นตอนที่ 5						■	■	■	■			
ขั้นตอนที่ 6								■	■	■		
ขั้นตอนที่ 7										■	■	
ขั้นตอนที่ 8											■	■

เอกสารนี้เป็นเอกสารที่สงวนไว้สำหรับการใช้งานเพื่อการศึกษาเท่านั้น ไม่อนุญาตให้นำไปใช้ประโยชน์ด้านการค้า
 ไม่ว่ากรณีใดๆ ทั้งสิ้น อีกทั้งห้ามมิให้ตัดแปลงเนื้อหา และต้องอ้างอิงถึงเจ้าของเอกสารทุกครั้งที่มีการนำไปใช้

บทที่ 2

ทฤษฎีและงานวิจัยที่เกี่ยวข้อง

ในบทนี้จะกล่าวถึงทฤษฎีและงานวิจัยที่เกี่ยวข้อง เพื่อนำไปใช้ในการหาจีโอเดซิกในพื้นที่ผิวของการหมุน โดยหัวข้อ 2.1 ประกอบไปด้วย นิยาม ทฤษฎีบท บทตั้ง ซึ่งมีความสำคัญเป็นอย่างยิ่งในหาจีโอเดซิกในพื้นที่ผิวของการหมุน และในหัวข้อถัดไปจะเป็นงานวิจัยที่เกี่ยวข้องกับการหาจีโอเดซิกบนพื้นที่ผิวของการหมุน เพื่อเป็นความรู้พื้นฐานในการดำเนินการวิจัยต่อไป

2.1 ทฤษฎีเบื้องต้น

2.1.1 ปริภูมิแบบยูคลิด n มิติ (n -dimensional Euclidean space)

นิยาม 2.1 ถ้า n เป็นจำนวนเต็มบวกใดๆ แล้วปริภูมิของจำนวนจริงที่มี n มิติ จะเขียนแทนด้วยสัญลักษณ์ \mathbb{R}^n หมายถึงเซตของจุดต่างๆ ที่อยู่ในรูปของ (x_1, x_2, \dots, x_n) เมื่อ x_1, x_2, \dots, x_n เป็นจำนวนจริง และจะเรียกว่า \mathbb{R}^n เป็นปริภูมิแบบยูคลิด n มิติ

นิยาม 2.2 ถ้า $\mathbf{u} = (u_1, u_2, \dots, u_n)$ และ $\mathbf{v} = (v_1, v_2, \dots, v_n)$ เป็นเวกเตอร์ใดๆ ใน \mathbb{R}^n แล้วผลคูณภายในแบบยูคลิด (Euclidean inner product) จะนิยามโดย

$$\mathbf{u} \cdot \mathbf{v} = u_1 v_1 + u_2 v_2 + \dots + u_n v_n$$

และนอร์ม (Norm) ของเวกเตอร์ \mathbf{u} ใน \mathbb{R}^n คือ

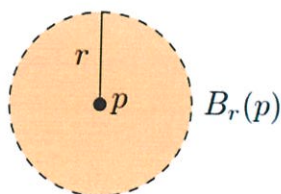
$$\|\mathbf{u}\| = \|\mathbf{u}\| = (\mathbf{u} \cdot \mathbf{u})^{1/2} = \sqrt{u_1^2 + u_2^2 + \dots + u_n^2}$$

2.1.2 ฟังก์ชันต่อเนื่อง (Continuous function)

นิยาม 2.3 บอลเปิด (Open ball) $B_r(p)$ ใน \mathbb{R}^n ซึ่งมีจุดศูนย์กลางที่ $p = (p_1, p_2, \dots, p_n)$ และมีรัศมี r จะนิยามโดย

$$B_r(p) := \{x \in \mathbb{R}^n \mid |x - p| < r\}$$

ตัวอย่าง 2.1 สำหรับบอลเปิด $B_r(p)$ ใน \mathbb{R}^2 แสดงดังรูปที่ 2.1

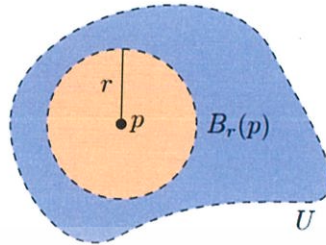


รูปที่ 2.1 บอลเปิด $B_r(p)$ ใน \mathbb{R}^2

เอกสารนี้เป็นเอกสารที่สงวนไว้สำหรับการใช้งานเพื่อการศึกษาเท่านั้น ไม่อนุญาตให้นำไปใช้ประโยชน์ด้านการค้า ไม่ว่ากรณีใดๆ ทั้งสิ้น อีกทั้งห้ามมิให้ดัดแปลงเนื้อหา และต้องอ้างอิงถึงเจ้าของเอกสารทุกครั้งที่มีการนำไปใช้

นิยาม 2.4 ให้ $U \subset \mathbb{R}^n$ เป็นเซตเปิด (Open) สำหรับแต่ละ $p \in U$ จะมี $r > 0$ ที่ทำให้ $B_r(p) \subset U$

เซตเปิดแสดงดังรูปที่ 2.2



รูปที่ 2.2 เซตเปิด

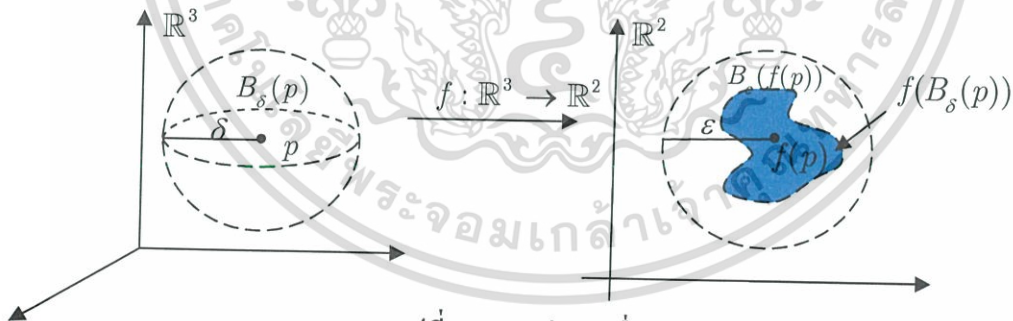
ข้อสังเกต เซตเปิดที่บรรจุ $p \in \mathbb{R}^n$ จะเรียกว่า ย่านใกล้เคียง (Neighborhood) ของ p

นิยาม 2.5 ให้ $U \subset \mathbb{R}^n$ เป็นเซตเปิด การส่ง (Mapping) $f : U \rightarrow \mathbb{R}^m$ เป็นการส่งต่อเนื่อง (Continuous) ที่ $p \in U$ สำหรับแต่ละ $\varepsilon > 0$ จะมี $\delta > 0$ ที่ทำให้

$$f(B_\delta(p)) \subset B_\varepsilon(f(p)) \quad (2.1)$$

หรือจะกล่าวได้ว่า การส่ง $f : U \rightarrow \mathbb{R}^m$ ต่อเนื่อง ก็ต่อเมื่อ f ต่อเนื่องทุกๆ จุดใน U

ตัวอย่าง 2.2 การส่งของทรงกลมในปริภูมิ \mathbb{R}^3 ไปยังวงกลมในปริภูมิ \mathbb{R}^2 เมื่อพิจารณาตามนิยาม 2.5 ในกรณีนี้ $n = 3, m = 2$ ซึ่งแสดงดังรูปที่ 2.3



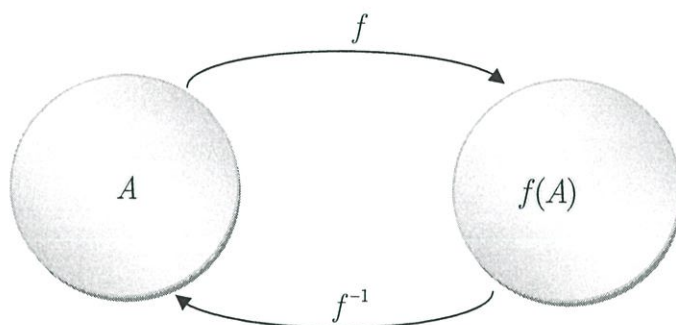
รูปที่ 2.3 การส่งต่อเนื่อง

ประพจน์ 2.1[8] ให้ $U \subset \mathbb{R}^n$ เป็นเซตเปิด การส่ง $f : U \rightarrow \mathbb{R}^m$ ต่อเนื่องที่ $p \in U$ ก็ต่อเมื่อ $f^{-1}(V)$ เป็นเซตเปิดสำหรับทุกเซตเปิด V ใน \mathbb{R}^m

นิยาม 2.6 [8] ให้ $A \subset \mathbb{R}^n$ เป็นเซตเปิด การส่งแบบต่อเนื่อง $f : A \rightarrow \mathbb{R}^n$ เป็นฟังก์ชันสมานลักษณะ (Homeomorphism) ถ้า f เป็นฟังก์ชันแบบหนึ่งต่อหนึ่ง (One-to-one) ทัวถึง (Onto) และฟังก์ชันผกผัน $f^{-1} : f(A) \rightarrow A$ ต่อเนื่อง ในที่นี้จะกล่าวได้ว่า A และ $f(A)$ เป็นเซตสมานลักษณะ

เอกสารนี้เป็นเอกสารที่สงวนไว้สำหรับการใช้งานเพื่อการศึกษาเท่านั้น ไม่อนุญาตให้นำไปใช้ประโยชน์ด้านการค้า ไม่ว่ากรณีใดๆ ทั้งสิ้น อีกทั้งห้ามมิให้ดัดแปลงเนื้อหา และต้องอ้างอิงถึงเจ้าของเอกสารทุกครั้งที่มีการนำไปใช้

แสดงดังรูปที่ 2.4



รูปที่ 2.4 ฟังก์ชันสมานสัณฐานที่การส่งแบบต่อเนื่อง

2.1.3 ฟังก์ชันส่วนประกอบ (Component functions) [8]

กำหนดให้ $U \subset \mathbb{R}^n$ เป็นเซตเปิด การส่ง $f: U \rightarrow \mathbb{R}^m$ ซึ่งจะพิจารณาฟังก์ชัน m ฟังก์ชันของ n ตัวแปร ถ้า $p = (x_1, \dots, x_n) \in U$ และ $g(p) = (y_1, \dots, y_m)$ นั่นคือ

$$y_1 = g_1(x_1, \dots, x_n), y_2 = g_2(x_1, \dots, x_n), \dots, y_{m-1} = g_{m-1}(x_1, \dots, x_n), y_m = g_m(x_1, \dots, x_n)$$

แล้วฟังก์ชัน $g_i: U \rightarrow \mathbb{R}$ เป็นฟังก์ชันส่วนประกอบของ f โดยที่ $i=1, \dots, m$

ตัวอย่าง 2.3 ให้ $f: \mathbb{R}^3 \rightarrow \mathbb{R}^3$ เป็นการส่งซึ่งกำหนดให้แต่ละ $p \in \mathbb{R}^3$ เป็นจุดที่สมมาตรกับ p เมื่อเทียบกับจุดกำเนิด $O \in \mathbb{R}^3$ คือ $f(p) = -p$ หรือ

$$f(x, y, z) = (-x, -y, -z)$$

และ ฟังก์ชันประกอบของ f คือ $g_1(x, y, z) = -x$, $g_2(x, y, z) = -y$, $g_3(x, y, z) = -z$ #

2.1.4 อนุพันธ์ของฟังก์ชัน (Differential of function) [8]

ถ้า $f: U \subset \mathbb{R} \rightarrow \mathbb{R}$ แล้วอนุพันธ์ $f'(x_0)$ ของ f ที่ $x_0 \in U$ จะนิยามโดย

$$f'(x_0) = \lim_{h \rightarrow 0} \frac{f(x_0 + h) - f(x_0)}{h}, \quad x_0 + h \in U$$

ถ้า f เป็นฟังก์ชันที่ทุกๆ จุดของย่านใกล้เคียง V ของ $x_0 \in U$ แล้วอนุพันธ์ของ $f': V \rightarrow \mathbb{R}$ ที่ x_0 จะเรียกว่า อนุพันธ์อันดับที่สอง แทนด้วย $f''(x_0)$ ของ f ที่ x_0 เป็นต้น

ดังนั้น f หาอนุพันธ์ได้หรือปรับเรียบ (Differentiable or smooth) ที่ x_0 ถ้า f เป็นฟังก์ชันที่มีอนุพันธ์ย่อยที่ต่อเนื่องของทุกๆ ลำดับที่ x_0 นอกจากนี้ f หาอนุพันธ์ได้หรือปรับเรียบใน U ถ้า f หาอนุพันธ์ได้ ณ ทุกจุดใน U

ให้ $f: U \subset \mathbb{R}^2 \rightarrow \mathbb{R}$ จะมีอนุพันธ์ย่อยของ f เทียบกับ x ที่ $(x_0, y_0) \in U$ เขียนแทนด้วย $\frac{\partial f}{\partial x}(x_0, y_0)$ เป็นอนุพันธ์ที่ x_0 ของฟังก์ชันเทียบกับตัวแปรที่หนึ่ง ในทำนองเดียวกันกับ

เอกสารนี้เป็นเอกสารที่สงวนไว้สำหรับการใช้งานเพื่อการศึกษาเท่านั้น ไม่อนุญาตให้นำไปใช้ประโยชน์ด้านการค้า ไม่ว่ากรณีใดๆ ทั้งสิ้น อีกทั้งห้ามมิให้ดัดแปลงเนื้อหา และต้องอ้างอิงถึงเจ้าของเอกสารทุกครั้งที่มีการนำไปใช้

อนุพันธ์ย่อยของ f เทียบกับ y ที่ $(x_0, y_0) \in U$ เขียนแทนด้วย $\frac{\partial f}{\partial y}(x_0, y_0)$ เป็นอนุพันธ์ ณ y_0 ของฟังก์ชันเทียบกับตัวแปรที่สอง เมื่อ f เป็นฟังก์ชันที่มีอนุพันธ์ย่อยที่ทุกๆ จุดของย่านใกล้เคียง V ของ (x_0, y_0) สำหรับอนุพันธ์ย่อยอันดับที่สองที่ (x_0, y_0) คือ

$$\frac{\partial}{\partial x} \left(\frac{\partial f}{\partial x} \right) = \frac{\partial^2 f}{\partial x^2}, \quad \frac{\partial}{\partial x} \left(\frac{\partial f}{\partial y} \right) = \frac{\partial^2 f}{\partial x \partial y}$$

$$\frac{\partial}{\partial y} \left(\frac{\partial f}{\partial x} \right) = \frac{\partial^2 f}{\partial y \partial x}, \quad \frac{\partial}{\partial y} \left(\frac{\partial f}{\partial y} \right) = \frac{\partial^2 f}{\partial y^2}$$

f เป็นฟังก์ชันที่หาอนุพันธ์ได้ที่ (x_0, y_0) ถ้า f มีอนุพันธ์ย่อยที่ต่อเนื่องของทุกๆ ลำดับที่ (x_0, y_0) และ f หาอนุพันธ์ได้ ณ ทุกจุดใน U ถ้า f หาอนุพันธ์ได้ที่ทุกจุดของ U ซึ่งบางครั้งอนุพันธ์ย่อยจะเขียนแทนด้วย

$$\frac{\partial f}{\partial x} = f_x, \quad \frac{\partial f}{\partial y} = f_y, \quad \frac{\partial^2 f}{\partial x^2} = f_{xx}, \quad \frac{\partial^2 f}{\partial x \partial y} = f_{xy}, \quad \frac{\partial^2 f}{\partial y^2} = f_{yy}$$

ซึ่งอนุพันธ์ย่อยของ f เป็นฟังก์ชันต่อเนื่องแล้ว $\frac{\partial^2 f}{\partial x \partial y} = \frac{\partial^2 f}{\partial y \partial x}$

สำหรับกฎลูกโซ่ของฟังก์ชันค่าจริงของหลายตัวแปร กำหนดให้ฟังก์ชันที่หาอนุพันธ์ได้ของตัวแปร n ตัวแปรเมื่อเทียบกับ t คือ $F = f(x_1, \dots, x_n)$ เมื่อ $x_i = x_i(t)$ โดยที่ $i = 1, \dots, n$ แล้วฟังก์ชันประกอบ $F = f(x_1(t), \dots, x_n(t))$ ขึ้นอยู่กับ t และ

$$\frac{\partial F}{\partial t} = \frac{\partial F}{\partial x_1} \frac{\partial x_1}{\partial t} + \frac{\partial F}{\partial x_2} \frac{\partial x_2}{\partial t} + \dots + \frac{\partial F}{\partial x_n} \frac{\partial x_n}{\partial t}$$

$$\frac{\partial F}{\partial t} = \sum_{i=1}^n \frac{\partial F}{\partial x_i} \frac{\partial x_i}{\partial t}$$

นิยาม 2.7 [8] ให้ $U \subset \mathbb{R}^n$ เป็นเซตเปิด การส่ง $f : U \rightarrow \mathbb{R}^m$ หาอนุพันธ์ได้หรือปรับเรียบ (differentiable or smooth) ถ้าทุกๆ ฟังก์ชันส่วนประกอบของ f มีอนุพันธ์ย่อยที่ต่อเนื่องของทุกๆ อันดับ

นิยาม 2.8 [8] ให้ $U \subset \mathbb{R}^n$ เป็นเซตเปิด ถ้าการส่ง $f : U \rightarrow \mathbb{R}^m$ หาอนุพันธ์ได้ซึ่งมีฟังก์ชันประกอบ $f(x) = (f_1(x), \dots, f_m(x))$ ของฟังก์ชันประกอบ f_1, \dots, f_m แล้วเมทริกซ์จาโคเบียน (Jacobian matrix) ของ f ที่จุด p เป็นเมทริกซ์ขนาด $m \times n$ จะนิยามโดย

$$df_p = \begin{bmatrix} \frac{\partial f_1}{\partial x_1}(p) & \frac{\partial f_1}{\partial x_2}(p) & \dots & \frac{\partial f_1}{\partial x_n}(p) \\ \frac{\partial f_2}{\partial x_1}(p) & \frac{\partial f_2}{\partial x_2}(p) & \dots & \frac{\partial f_2}{\partial x_n}(p) \\ \vdots & \vdots & \ddots & \vdots \\ \frac{\partial f_m}{\partial x_1}(p) & \frac{\partial f_m}{\partial x_2}(p) & \dots & \frac{\partial f_m}{\partial x_n}(p) \end{bmatrix}$$

เอกสารนี้เป็นเอกสารที่สงวนไว้สำหรับการใช้งานเพื่อการศึกษาเท่านั้น ไม่อนุญาตให้นำไปใช้ประโยชน์ด้านการค้า ไม่ว่ากรณีใดๆ ทั้งสิ้น อีกทั้งห้ามมิให้ดัดแปลงเนื้อหา และต้องอ้างอิงถึงเจ้าของเอกสารทุกครั้งที่มีการนำไปใช้

ตัวอย่าง 2.3 ให้ $f: \mathbb{R}^2 \rightarrow \mathbb{R}^2$ นิยามโดย

$$f(x, y) = (x^2 - y^2, 2xy), \quad (x, y) \in \mathbb{R}^2$$

อนุพันธ์ย่อยอันดับที่หนึ่งของ f คือ $\frac{\partial f_1}{\partial x} = 2x$, $\frac{\partial f_2}{\partial x} = 2y$, $\frac{\partial f_1}{\partial y} = -2y$, $\frac{\partial f_2}{\partial y} = 2x$

เมทริกซ์จาโคเบียน df_p ที่ $p = (x, y)$ คือ

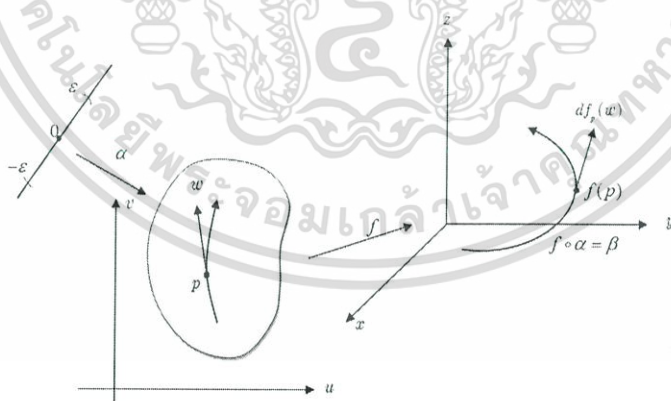
$$df_p = \begin{bmatrix} 2x & -2y \\ 2y & 2x \end{bmatrix} \quad \#$$

ต่อไปนี้จะกล่าวถึงฟังก์ชันที่หาอนุพันธ์ได้ โดยกำหนดให้ $U \subset \mathbb{R}^n$ เป็นเซตเปิด การส่ง $f: U \rightarrow \mathbb{R}^m$ เป็นการส่งที่หาอนุพันธ์ได้ ณ แต่ละจุด $p \in U$ ซึ่งสมนัยกับการส่งแบบเชิงเส้น $df_p: \mathbb{R}^n \rightarrow \mathbb{R}^m$ จะเรียกว่า f หาอนุพันธ์ได้ที่จุด p นั้นเป็นไปตามนิยามดังนี้

นิยาม 2.9[8] ให้ $w \in \mathbb{R}^n$ เป็นเวกเตอร์และ $\alpha: (-\varepsilon, \varepsilon) \rightarrow U$ เป็นเส้นโค้งที่หาอนุพันธ์ได้ที่ทำให้ $\alpha(0) = p$ และ $\alpha'(0) = w$ แล้วเส้นโค้ง $\beta = f \circ \alpha: (-\varepsilon, \varepsilon) \rightarrow \mathbb{R}^m$ ยังคงเป็นเส้นโค้งที่หาอนุพันธ์ได้ ดังนั้น

$$df_p(w) = \beta'(0)$$

(ดังรูปที่ 2.5)



รูปที่ 2.5 อนุพันธ์ของการส่งที่หาอนุพันธ์ได้ [8]

กำหนดให้ $U \subset \mathbb{R}^2$ เป็นเซตเปิด และ $V \subset \mathbb{R}^3$ เป็นเซตเปิด การส่ง $f: U \rightarrow \mathbb{R}^3$ และ $g: V \rightarrow \mathbb{R}^2$ เป็นการส่งที่หาอนุพันธ์ได้ เมื่อ U และ V เป็นเซตเปิดที่ทำให้ $f(U) \subset V$

นั่นคือ

$$U \subset \mathbb{R}^2 \xrightarrow{f} V \subset \mathbb{R}^3 \xrightarrow{g} \mathbb{R}^2$$

$$(u, v) \xrightarrow{f} (x, y, z) \xrightarrow{g} (\xi, \eta)$$

เอกสารนี้เป็นเอกสารที่สงวนไว้สำหรับการใช้งานเพื่อการศึกษาเท่านั้น ไม่อนุญาตให้นำไปใช้ประโยชน์ด้านการค้า ไม่ว่ากรณีใดๆ ทั้งสิ้น อีกทั้งห้ามมิให้ดัดแปลงเนื้อหา และต้องอ้างอิงถึงเจ้าของเอกสารทุกครั้งที่มีการนำไปใช้

ซึ่งสามารถเขียนได้ดังนี้

$$f(u, v) = (x(u, v), y(u, v), z(u, v))$$

$$g(x, y, z) = (\xi(x, y, z), \eta(x, y, z))$$

แล้ว

$$g \circ f(u, v) = (\xi(x(u, v), y(u, v), z(u, v)), \eta(x(u, v), y(u, v), z(u, v)))$$

อนุพันธ์ของ $g \circ f$ คือ

$$\begin{aligned} \frac{\partial \xi}{\partial u} &= \frac{\partial \xi}{\partial x} \frac{\partial x}{\partial u} + \frac{\partial \xi}{\partial y} \frac{\partial y}{\partial u} + \frac{\partial \xi}{\partial z} \frac{\partial z}{\partial u} \quad \text{และ} \quad \frac{\partial \xi}{\partial v} = \frac{\partial \xi}{\partial x} \frac{\partial x}{\partial v} + \frac{\partial \xi}{\partial y} \frac{\partial y}{\partial v} + \frac{\partial \xi}{\partial z} \frac{\partial z}{\partial v} \\ \frac{\partial \eta}{\partial u} &= \frac{\partial \eta}{\partial x} \frac{\partial x}{\partial u} + \frac{\partial \eta}{\partial y} \frac{\partial y}{\partial u} + \frac{\partial \eta}{\partial z} \frac{\partial z}{\partial u} \quad \text{และ} \quad \frac{\partial \eta}{\partial v} = \frac{\partial \eta}{\partial x} \frac{\partial x}{\partial v} + \frac{\partial \eta}{\partial y} \frac{\partial y}{\partial v} + \frac{\partial \eta}{\partial z} \frac{\partial z}{\partial v} \end{aligned}$$

ทฤษฎีบท 2.1 [8] (กฎลูกโซ่สำหรับการส่ง (The chain rule for maps))

กำหนดให้ $U \subset \mathbb{R}^n$ เป็นเซตเปิด และ $V \subset \mathbb{R}^m$ เป็นเซตเปิด กำหนดให้การส่ง $f: U \rightarrow \mathbb{R}^m$ และ $g: V \rightarrow \mathbb{R}^k$ เป็นการส่งที่หาอนุพันธ์ได้ เมื่อ U และ V เป็นเซตเปิดที่ทำให้ $f(U) \subset V$ แล้ว $g \circ f: U \rightarrow \mathbb{R}^k$ เป็นการส่งที่หาอนุพันธ์ได้ และ

$$d(g \circ f)_p = dg_{f(p)} \circ df_p, \quad p \in U$$

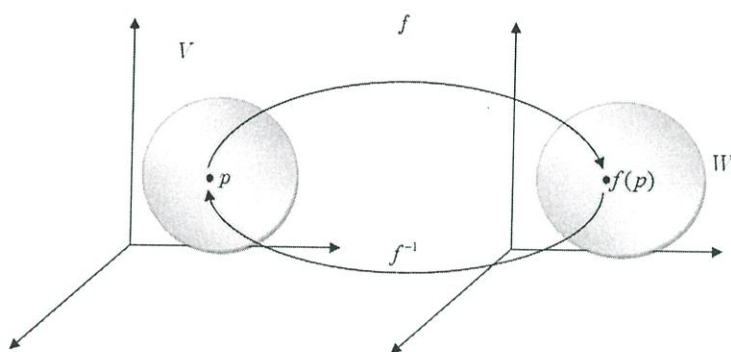
ข้อสังเกต การส่งแบบเชิงเส้น f เป็น สมสัณฐาน (Isomorphism) ถ้าเมทริกซ์ของ f หาอินเวอร์สได้

ทฤษฎีบท 2.2 [8] (ฟังก์ชันผกผัน (Inverse function theorem))

กำหนดให้ $U \subset \mathbb{R}^n$ เป็นเซตเปิด การส่ง $f: U \rightarrow \mathbb{R}^n$ เป็นการส่งที่หาอนุพันธ์ได้และ $p \in U$ ถ้าอนุพันธ์ $df_p: \mathbb{R}^n \rightarrow \mathbb{R}^n$ เป็นสมสัณฐาน แล้วจะมีย่านใกล้เคียง V ที่จุด p ใน U และ ย่านใกล้เคียง W ของ $f(p)$ ใน \mathbb{R}^n ที่ทำให้ $f: V \rightarrow W$ มีอินเวอร์สที่หาอนุพันธ์ได้ $f^{-1}: W \rightarrow V$

นิยาม 2.10 [8] กำหนดให้ $V \subset \mathbb{R}^m$ เป็นเซตเปิด และ $W \subset \mathbb{R}^k$ เป็นเซตเปิด การส่ง $f: V \rightarrow W$ เป็นการส่งที่หาอนุพันธ์ได้ เมื่อ V และ W เป็นเซตเปิด จะเรียกว่า **อนุพันธ์สัณฐาน (Diffeomorphism)** ของ V กับ W ถ้า f มีอินเวอร์สที่หาอนุพันธ์ได้

ข้อสังเกต อนุพันธ์สัณฐาน เป็นฟังก์ชันสมานสัณฐานซึ่งสามารถหาอนุพันธ์ได้ทั้งการส่ง f และ อินเวอร์สของการส่ง f^{-1} แสดงดังรูปที่ 2.6



รูปที่ 2.6 การส่งที่เป็นอนุพันธ์สัมมูลฐาน

จากทฤษฎีบทของฟังก์ชันผกผันพบว่า ถ้าจุด $p \in U$ และอนุพันธ์ df_p เป็นสมมูลฐาน แล้ว f เป็นอนุพันธ์สัมมูลฐานในย่านใกล้เคียงของจุด p

2.1.5 เส้นโค้งอิงพารามิเตอร์ (Parameterized curves)

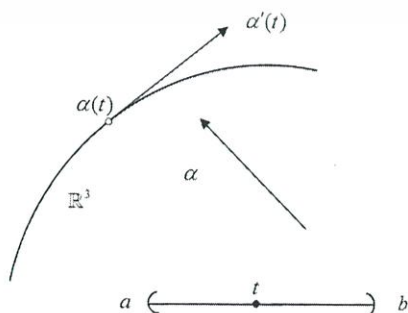
นิยาม 2.11 [8] เส้นโค้งอิงพารามิเตอร์ เป็นเส้นโค้งที่หาอนุพันธ์ได้ในช่วง $I = (a, b)$ ในเส้นจำนวนจริง \mathbb{R} ที่ถูกส่งไปยัง \mathbb{R}^3

คำว่า หาอนุพันธ์ได้ในนิยามข้างต้นนี้ หมายถึง เส้นโค้งอิงพารามิเตอร์ α เป็นไปตามการส่งของแต่ละ $t \in I$ ไปยัง $\alpha(t) = (x(t), y(t), z(t)) \in \mathbb{R}^3$ นั่นคือ $x(t), y(t), z(t)$ หาอนุพันธ์ได้สำหรับตัวแปร t เรียกว่าพารามิเตอร์ (parameter) ของเส้นโค้ง

นิยาม 2.12 [8] ให้ $\alpha : I \rightarrow \mathbb{R}^3$ เป็นเส้นโค้งใน \mathbb{R}^3 เมื่อ $\alpha(t) = (x(t), y(t), z(t))$ สำหรับแต่ละ $t \in I$ แล้วเวกเตอร์สัมผัสหรือเวกเตอร์ความเร็ว (Tangent vector or Velocity vector) ของ α ณ เวลา t จะนิยามโดย

$$\frac{d}{dt} \alpha(t) = \alpha'(t) = \left(\frac{dx}{dt}(t), \frac{dy}{dt}(t), \frac{dz}{dt}(t) \right)$$

และกำหนดให้อัตราเร็ว ณ เวลา t (Speed at time t) คือ $\left| \frac{d}{dt} \alpha(t) \right| = |\alpha'(t)|$ แสดงดังรูปที่ 2.7



รูปที่ 2.7 เวกเตอร์ความเร็ว

เอกสารนี้เป็นเอกสารที่สงวนไว้สำหรับการใช้งานเพื่อการศึกษาเท่านั้น ไม่อนุญาตให้นำไปใช้ประโยชน์ด้านการค้า ไม่ว่ากรณีใดๆ ทั้งสิ้น อีกทั้งห้ามมิให้ดัดแปลงเนื้อหา และต้องอ้างอิงถึงเจ้าของเอกสารทุกครั้งที่มีการนำไปใช้

นิยาม 2.13[4] เส้นโค้งปกติ (Regular curve) ใน \mathbb{R}^3 เป็นเส้นโค้งที่หาอนุพันธ์ได้ $\alpha : (a, b) \rightarrow \mathbb{R}^3$ ก็ต่อเมื่อ $\alpha'(t) \neq 0$ สำหรับทุกๆ $t \in (a, b)$

นิยาม 2.14[4] ให้ $\alpha : (a, b) \rightarrow \mathbb{R}^3$ เป็นเส้นโค้ง ถ้า $h : J \rightarrow (a, b)$ เป็นฟังก์ชันที่หาอนุพันธ์ได้ในช่วงเปิด J แล้ว ฟังก์ชันประกอบ

$$\beta = \alpha \circ h : J \rightarrow \mathbb{R}^3$$

เป็นเส้นโค้งที่จะเรียกว่า ภาวะอิงพารามิเตอร์ซ้ำ (Reparametrization) ของ α

บทตั้ง 2.1[4] ถ้า β เป็นภาวะอิงพารามิเตอร์ซ้ำของ α โดย h แล้ว

$$\beta'(s) = (h'(s))\alpha'(h(s))$$

พิสูจน์ ถ้า $\alpha = (x, y, z)$ แล้ว $\beta(s) = \alpha(h(s)) = (x(h(s)), y(h(s)), z(h(s)))$

จากกฎลูกโซ่สำหรับส่วนประกอบของฟังก์ชันค่าจริง f และ g นั่นคือ $(g(f))' = g'(f) \cdot f'$ ดังนั้นในกรณีจะได้

$$\begin{aligned} \beta'(s) &= (\alpha(h(s)))' \\ &= (x'(h(s)) \cdot h'(s), y'(h(s)) \cdot h'(s), z'(h(s)) \cdot h'(s)) \\ &= h'(s)\alpha'(h(s)) \end{aligned}$$

□

นิยาม 2.15 ฟังก์ชันของความยาวส่วนโค้ง (Arc length) บนเส้นโค้งปกติ α ที่เริ่มจากจุด t_0 คือฟังก์ชัน $s(t)$ ซึ่ง

$$s(t) := \int_{t_0}^t |\alpha'(t)| dt$$

เมื่อ $|\alpha'(t)| = \sqrt{(x'(t))^2 + (y'(t))^2 + (z'(t))^2}$

2.1.6 พื้นผิวปกติ (Regular surface) [8]

ในหัวข้อนี้จะศึกษาเกี่ยวกับพื้นผิวปกติใน \mathbb{R}^3 ซึ่งเป็นพื้นผิวที่เกิดจากการนำส่วนของระนาบที่มีลักษณะเป็นแผ่นมาจัดเรียงในลักษณะที่ไม่มีจุดขอบและการตัดภายในตัวเอง

นิยาม 2.16 [8] สับเซต $S \subset \mathbb{R}^3$ เป็นพื้นผิวปกติ ถ้าสำหรับแต่ละ $p \in S$ จะมีย่านใกล้เคียง V ใน \mathbb{R}^3 และการส่ง $\mathbf{x} : U \rightarrow V \cap S$ ของเซตเปิด $U \subset \mathbb{R}^2$ ทัวถึง $V \cap S \subset \mathbb{R}^3$ ที่ทำให้ (แสดงดังรูปที่ 2.8)

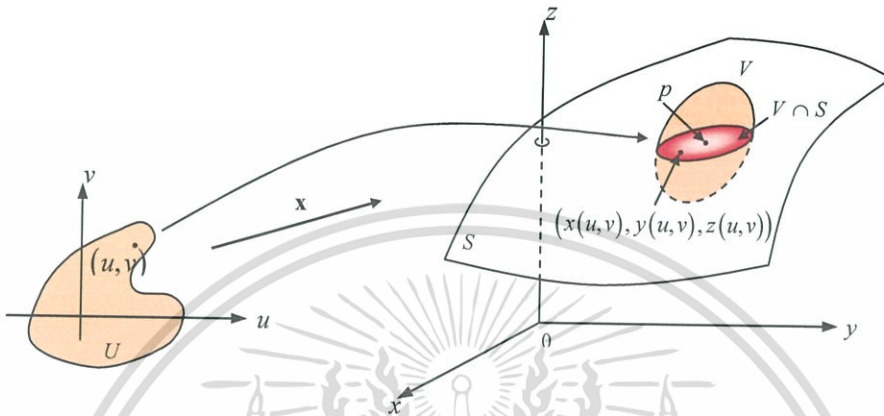
i) \mathbf{x} สามารถหาอนุพันธ์ได้ หมายความว่า ถ้าเขียนอยู่ในรูป

$$\mathbf{x}(u, v) = (x(u, v), y(u, v), z(u, v)) \quad , (u, v) \in U$$

แล้วฟังก์ชัน $x(u, v)$, $y(u, v)$ และ $z(u, v)$ มีอนุพันธ์ย่อยต่อเนื่องทุกอันดับใน U

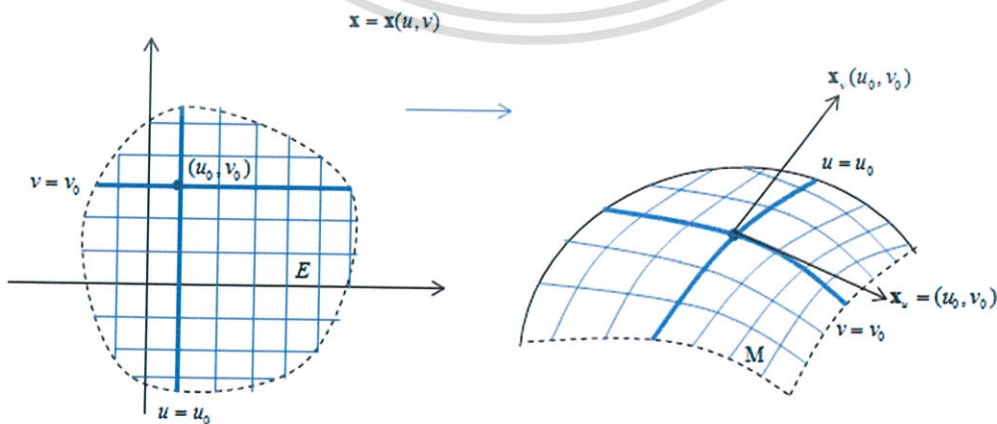
เอกสารนี้เป็นเอกสารที่สงวนไว้สำหรับการใช้งานเพื่อการศึกษาเท่านั้น ไม่อนุญาตให้นำไปใช้ประโยชน์ด้านการค้า ไม่ว่ากรณีใดๆ ทั้งสิ้น อีกทั้งห้ามมิให้ดัดแปลงเนื้อหา และต้องอ้างอิงถึงเจ้าของเอกสารทุกครั้งที่มีการนำไปใช้

- ii) \mathbf{x} เป็นสมานสัณฐาน เนื่องจาก \mathbf{x} ต่อเนื่องจากเงื่อนไขที่ i) หมายความว่า \mathbf{x} มีการส่งแบบผกผัน $\mathbf{x}^{-1}: V \cap S \rightarrow U$ ซึ่งต่อเนื่องเช่นกัน นั่นคือ \mathbf{x}^{-1} อยู่ในขอบเขตของการส่งแบบต่อเนื่อง $f: W \subset \mathbb{R}^3 \rightarrow \mathbb{R}^2$ นิยามบนเซตเปิด W มีอยู่ใน $V \cap S$
- iii) (เงื่อนไขของความสม่ำเสมอ) สำหรับแต่ละ $q \in U$ เชนอนุพันธ์ $d\mathbf{x}_q: \mathbb{R}^2 \rightarrow \mathbb{R}^3$ เป็นแบบหนึ่งต่อหนึ่ง



รูปที่ 2.8 การส่ง $\mathbf{x}: U \rightarrow V \cap S$ ของเซตเปิด $U \subset \mathbb{R}^2$ ทัวถึง $V \cap S \subset \mathbb{R}^3$ [8] โดยที่ การส่ง \mathbf{x} จะเรียกว่า ภาวะอิงพารามิเตอร์หรือส่วนของพื้นผิว (Parametrization or coordinate patch)

ถ้าให้ $v = v_0$ เป็นค่าคงที่และให้ u แปรผัน แล้ว $\mathbf{x}(u, v_0)$ ขึ้นอยู่กับหนึ่งพารามิเตอร์และเป็นเส้นโค้ง จะเรียกเส้นโค้ง $\mathbf{x}(u, v_0)$ ว่า เส้นโค้งพารามิเตอร์ u (u -parameter curve) ในทำนองเดียวกัน ถ้าให้ $u = u_0$ เป็นค่าคงที่และให้ v แปรผัน แล้ว $\mathbf{x}(u_0, v)$ ขึ้นอยู่กับหนึ่งพารามิเตอร์และเป็นเส้นโค้ง จะเรียกเส้นโค้ง $\mathbf{x}(u_0, v)$ ว่า เส้นโค้งพารามิเตอร์ v (v -parameter curve) ทำให้ได้ว่า ถ้า $\frac{\partial \mathbf{x}}{\partial u} \neq 0$ ที่ (u_0, v_0) แล้วเวกเตอร์ $\frac{\partial \mathbf{x}}{\partial u}$ สัมผัสกับเส้นโค้งพารามิเตอร์ u ที่ (u_0, v_0) และถ้า $\frac{\partial \mathbf{x}}{\partial v} \neq 0$ ที่ (u_0, v_0) แล้วเวกเตอร์ $\frac{\partial \mathbf{x}}{\partial v}$ สัมผัสกับเส้นโค้งพารามิเตอร์ v ที่ (u_0, v_0) ดังรูปที่ 2.9



รูปที่ 2.9 เส้นโค้งพารามิเตอร์กับเวกเตอร์สัมผัส

เอกสารนี้เป็นเอกสารที่สงวนไว้สำหรับการใช้งานเพื่อการศึกษาเท่านั้น ไม่อนุญาตให้นำไปใช้ประโยชน์ด้านการค้า ไม่ว่าจะกรณีใดๆ ทั้งสิ้น อีกทั้งห้ามมิให้ดัดแปลงเนื้อหา และต้องอ้างอิงถึงเจ้าของเอกสารทุกครั้งที่มีการนำไปใช้

ต่อไปนี้จะแสดงว่า จุด p ใดๆในพื้นที่ผิวสามารถแสดงเป็นภาวะอิงพารามิเตอร์สองภาวะอิงพารามิเตอร์ นั่นคือ p อาจแทนด้วยคู่อันดับ (u, v) หรือ (ξ, η) ที่ถูกส่งผ่านจากคู่อันดับหนึ่งไปยังอีกคู่อันดับโดยการแปลงที่หาอนุพันธ์ได้

ทฤษฎีบท 2.3 [8] (การเปลี่ยนของพารามิเตอร์ (change of parameter)) [8]

ให้ p เป็นจุดที่อยู่ในพื้นผิวปรกติ S และให้ $\mathbf{x}: U \subset \mathbb{R}^2 \rightarrow S, \mathbf{y}: V \subset \mathbb{R}^2 \rightarrow S$ เป็นภาวะอิงพารามิเตอร์สองภาวะอิงพารามิเตอร์ของ S ที่ทำให้ $p \in \mathbf{x}(U) \cap \mathbf{y}(V) = W$ แล้วการเปลี่ยนของพารามิเตอร์ (Change of Parameter) $h = \mathbf{x}^{-1} \circ \mathbf{y}^{-1}(W) \rightarrow \mathbf{x}^{-1}(W)$ เป็นอนุพันธ์พื้นฐาน (ดังรูปที่ 2.10) นั่นคือ h หาอนุพันธ์ได้และมีอินเวอร์สที่หาอนุพันธ์ได้

กล่าวคือ ถ้า \mathbf{x} และ \mathbf{y} ที่กำหนดโดย

$$\mathbf{x}(u, v) = (x(u, v), y(u, v), z(u, v)), \quad (u, v) \in U$$

$$\mathbf{y}(\xi, \eta) = (x(\xi, \eta), y(\xi, \eta), z(\xi, \eta)), \quad (\xi, \eta) \in V$$

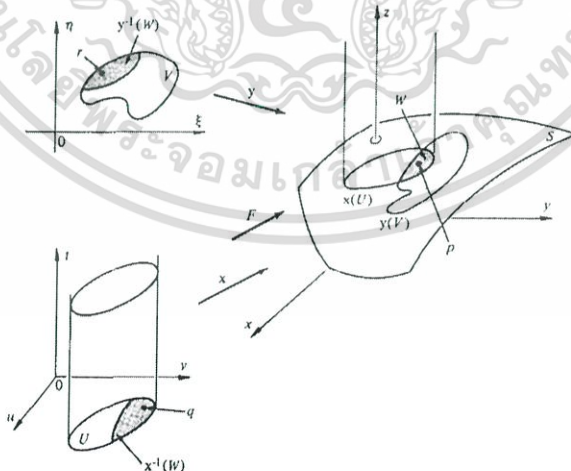
แล้วการเปลี่ยนของคู่อันดับ h กำหนดโดย

$$u = u(\xi, \eta), \quad v = v(\xi, \eta), \quad (\xi, \eta) \in \mathbf{y}^{-1}(W)$$

ซึ่งมีสมบัติคือ ฟังก์ชัน u และ v มีอนุพันธ์ย่อยที่ต่อเนื่องของทุกอันดับและการส่ง h สามารถหาอินเวอร์สได้ นั่นคือ

$$\xi = \xi(u, v), \quad \eta = \eta(u, v), \quad (u, v) \in \mathbf{x}^{-1}(W)$$

เมื่อฟังก์ชัน ξ และ η มีอนุพันธ์ย่อยที่ต่อเนื่องทุกอันดับ

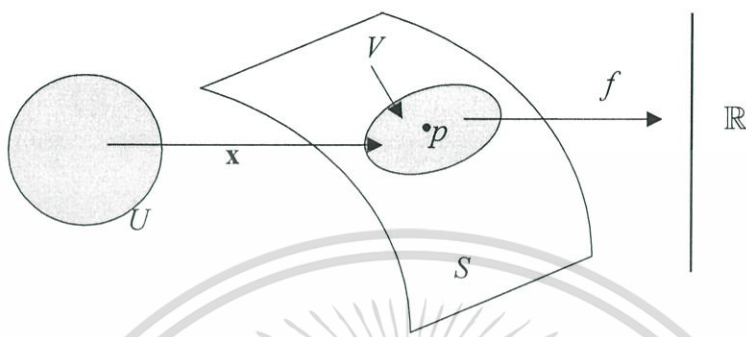


รูปที่ 2.10 การเปลี่ยนของพารามิเตอร์ [8]

ต่อไปนี้จะกล่าวถึงนิยามของฟังก์ชันที่หาอนุพันธ์ได้บนพื้นผิวปรกติดังต่อไปนี้

เอกสารนี้เป็นเอกสารที่สงวนไว้สำหรับการใช้งานเพื่อการศึกษาเท่านั้น ไม่อนุญาตให้นำไปใช้ประโยชน์ด้านการค้า ไม่ว่ากรณีใดๆ ทั้งสิ้น อีกทั้งห้ามมิให้ดัดแปลงเนื้อหา และต้องอ้างอิงถึงเจ้าของเอกสารทุกครั้งที่มีการนำไปใช้

นิยาม 2.17 [8] ให้ $f: V \subset S \rightarrow \mathbb{R}$ เป็นฟังก์ชันที่นิยามในสับเซตเปิด V ของพื้นผิวปรกติ S แล้ว f จะกล่าวได้ว่า หาอนุพันธ์ได้ที่จุด $p \in V$ สำหรับบางภาวะอิงพารามิเตอร์ $\mathbf{x}: U \subset \mathbb{R}^2 \rightarrow S$ เมื่อ $p \in \mathbf{x}(U) \subset V$ ซึ่งฟังก์ชันประกอบ $f \circ \mathbf{x}: U \subset \mathbb{R}^2 \rightarrow \mathbb{R}$ หาอนุพันธ์ได้ที่ $\mathbf{x}^{-1}(p)$ นอกจากนี้ f หาอนุพันธ์ได้ใน V ถ้า f หาอนุพันธ์ได้ทุกจุดของ S (ดังรูปที่ 2.11)



รูปที่ 2.11 ฟังก์ชันที่หาอนุพันธ์ได้บนพื้นผิวปรกติ

จากนิยามของอนุพันธ์ได้นำไปสู่การส่งระหว่างพื้นผิวปรกติ

นิยาม 2.18 [8] การส่งแบบต่อเนื่อง $\phi: V_1 \subset S_1 \rightarrow S_2$ ของเซตเปิด V_1 ของพื้นผิวปรกติ S_1 ไปยังพื้นผิวปรกติ S_2 จะกล่าวได้ว่า หาอนุพันธ์ได้ที่ $p \in V_1$ ถ้ากำหนดให้ภาวะอิงพารามิเตอร์

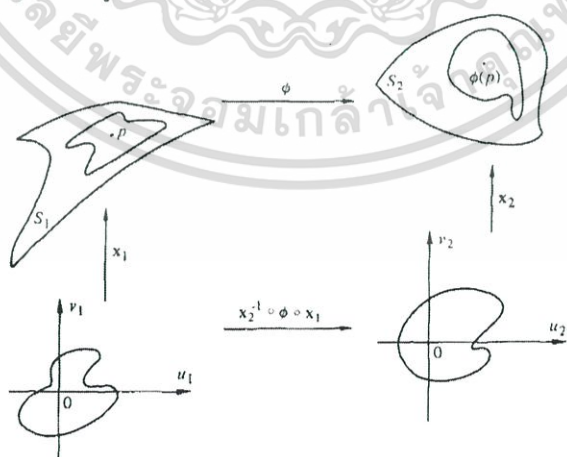
$$\mathbf{x}_1: U_1 \subset \mathbb{R}^2 \rightarrow S_1 \text{ และ } \mathbf{x}_2: U_2 \subset \mathbb{R}^2 \rightarrow S_2$$

เมื่อ $p \in \mathbf{x}_1(U_1)$ และ $\phi(\mathbf{x}_1(U_1)) \subset \mathbf{x}_2(U_2)$

แล้วการส่ง

$$\mathbf{x}_2^{-1} \circ \phi \circ \mathbf{x}_1: U_1 \rightarrow U_2$$

หาอนุพันธ์ได้ที่ $q = \mathbf{x}_1^{-1}(p)$ (ดังรูปที่ 2.12)



รูปที่ 2.12 การส่งที่หาอนุพันธ์ได้ระหว่างพื้นผิวปรกติ

เอกสารนี้เป็นเอกสารที่สงวนไว้สำหรับการใช้งานเพื่อการศึกษาเท่านั้น ไม่อนุญาตให้นำไปใช้ประโยชน์ด้านการค้า
ไม่ว่ากรณีใดๆ ทั้งสิ้น อีกทั้งห้ามมิให้ดัดแปลงเนื้อหา และต้องอ้างอิงถึงเจ้าของเอกสารทุกครั้งที่มีการนำไปใช้

2.1.7 ระนาบสัมผัส (Tangent plane)

นิยาม 2.19 [8] ให้ S พื้นผิวปรกติและสำหรับทุกๆ จุด $p \in S$ แล้วเวกเตอร์สัมผัสกับ S ที่ $p \in S$ เป็นเวกเตอร์ความเร็ว $\alpha'(0)$ ของบางเส้นโค้งอิงพารามิเตอร์ที่หาอนุพันธ์ได้ $\alpha: (-\varepsilon, \varepsilon) \rightarrow S$ เมื่อ $\alpha(0) = p$

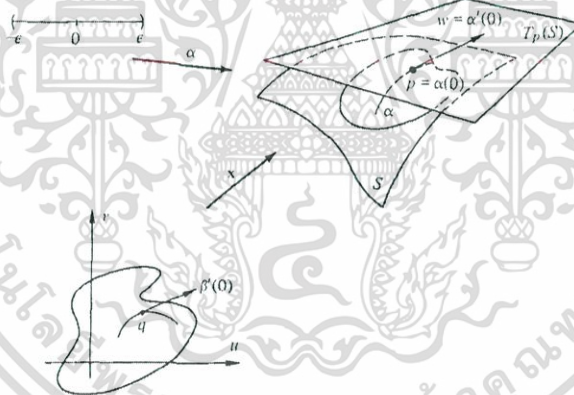
นิยาม 2.20 [8] เซตของทุกๆ เวกเตอร์สัมผัสกับ S ที่ p จะเรียกว่า ระนาบสัมผัส กับ S ที่ p และจะเขียนแทนด้วย $T_p(S)$

ประพจน์ 2.2 [8] ให้ $x: U \subset \mathbb{R}^2 \rightarrow S$ เป็นภาวะอิงพารามิเตอร์ของพื้นผิวปรกติ S และให้ $q \in U$ เป็นปริภูมิย่อยของเวกเตอร์ในสองมิติ

$$dx_q(\mathbb{R}^2) \subset \mathbb{R}^3 \tag{2.2}$$

เกิดขึ้นพร้อมกับเซตของเวกเตอร์สัมผัสที่ $x(q)$

สำหรับระนาบสัมผัส $dx_q(\mathbb{R}^2)$ ซึ่งผ่าน $x(q) = p$ ไม่ขึ้นกับภาวะอิงพารามิเตอร์ x โดยจะเรียกระนาบนี้ว่า ระนาบสัมผัส กับ S ที่ p แสดงได้ดังรูปที่ 2.12



รูปที่ 2.13 ระนาบสัมผัส [8]

2.1.8 รูปแบบหลักมูลที่หนึ่ง (First Fundamental Form)[3]

ให้ V เป็นปริภูมิเวกเตอร์บนจำนวนจริง

นิยาม 2.21 [3] รูปแบบเชิงเส้นคู่ (Bilinear form) บน V เป็นการส่งจาก $B: V \times V \rightarrow \mathbb{R}$ ซึ่งเป็นเชิงเส้นในแต่ละส่วนประกอบ นั่นคือ

1. $B(aX + bY, Z) = aB(X, Z) + bB(Y, Z)$
2. $B(X, cY + dZ) = cB(X, Y) + dB(X, Z)$

สำหรับแต่ละ $a, b, c, d \in \mathbb{R}$ และ $X, Y, Z \in V$ เป็นเวกเตอร์ในปริภูมิ

นิยาม 2.22 [3] รูปแบบเชิงเส้นคู่ B เป็นสมมาตร (Symmetric) ถ้า $B(X, Y) = B(Y, X)$ สำหรับทุก $X, Y \in V$

นิยาม 2.23 [3] รูปแบบเชิงเส้นคู่ B เป็นบวกที่แน่นอน (Positive definite) ถ้า $B(X, X) \geq 0$ สำหรับทุก $X \in V$ มีภาวะเท่ากันก็ต่อเมื่อ $X = 0$

นิยาม 2.24 [3] ผลคูณภายใน บน V เป็นรูปแบบเชิงเส้นคู่ $\langle \cdot, \cdot \rangle: V \times V \rightarrow \mathbb{R}$ ซึ่งเป็นสมมาตร และบวกที่แน่นอน

ตัวอย่าง 2.4 $\langle \cdot, \cdot \rangle: T_p(\mathbb{R}^3) \times T_p(\mathbb{R}^3) \rightarrow \mathbb{R}$

$$\langle X, Y \rangle: X \cdot Y \text{ (เป็นผลคูณจุดแบบยูคลิด)} \quad \#$$

นิยาม 2.25 [3] ให้ S เป็นพื้นผิวปรกติ แล้วเมตริก (Metric) บนพื้นผิว M เมื่อแต่ละจุด $p \in M$ ของผลคูณภายใน $\langle \cdot, \cdot \rangle: T_p(S) \times T_p(S) \rightarrow \mathbb{R}$

นิยาม 2.26 [3] ให้ S เป็นพื้นผิวปรกติ แล้วรูปแบบหลักมูลที่หนึ่งของ M เมื่อแต่ละจุด $p \in S$ ของผลคูณภายใน $\langle \cdot, \cdot \rangle: T_p(S) \times T_p(S) \rightarrow \mathbb{R}$ นั่นคือ

$$\langle X, Y \rangle = X \cdot Y$$

รูปแบบหลักมูลที่หนึ่งอยู่ในรูปของผลคูณจุดแบบยูคลิดที่จำกัดอยู่บนปริภูมิสัมผัส

2.1.8.1 เมตริกในส่วนของพื้นผิว (Metric in coordinate patch)[3]

กำหนดให้ $S \subset \mathbb{R}^3$ เป็นพื้นผิวปรกติ $U \subset \mathbb{R}^2$ เป็นเซตเปิด และให้ $\mathbf{x}: U \rightarrow S$ เป็นส่วนของพื้นผิวที่มีผกผันที่ต่อเนื่องใน S ให้จุด $p \in \mathbf{x}(U)$ เป็นจุดใดๆ ใน $\mathbf{x}(U)$ นั่นคือ $p = \mathbf{x}(u_1, u_2)$ และ ให้ $X, Y \in T_p(S)$ แล้ว

$$\begin{aligned} X &= X^1 \frac{\partial \mathbf{x}}{\partial u_1} + X^2 \frac{\partial \mathbf{x}}{\partial u_2} = X^1 \mathbf{x}_1 + X^2 \mathbf{x}_2 \\ &= \sum_i X^i \mathbf{x}_i \quad ; \quad \mathbf{x}_i = \mathbf{x}_i(u_1, u_2) \quad , i=1,2 \end{aligned}$$

ในทำนองเดียวกัน

$$\begin{aligned} Y &= Y^1 \frac{\partial \mathbf{x}}{\partial u^1} + Y^2 \frac{\partial \mathbf{x}}{\partial u^2} = Y^1 \mathbf{x}_1 + Y^2 \mathbf{x}_2 \\ &= \sum_j Y^j \mathbf{x}_j \quad ; \quad \mathbf{x}_j = \mathbf{x}_j(u_1, u_2) \quad , j=1,2 \end{aligned}$$

แล้ว

$$\langle X, Y \rangle = \left\langle \sum_i X^i \mathbf{x}_i, \sum_j Y^j \mathbf{x}_j \right\rangle = \sum_{i,j} X^i Y^j \langle \mathbf{x}_i, \mathbf{x}_j \rangle \quad i, j=1,2$$

เอกสารนี้เป็นเอกสารที่สงวนไว้สำหรับการใช้งานเพื่อการศึกษาเท่านั้น ไม่อนุญาตให้นำไปใช้ประโยชน์ด้านการค้า ไม่ว่าจะกรณีใดๆ ทั้งสิ้น อีกทั้งห้ามมิให้ดัดแปลงเนื้อหา และต้องอ้างอิงถึงเจ้าของเอกสารทุกครั้งที่มีการนำไปใช้

นิยาม 2.27 สำหรับส่วนประกอบของเมตริกเป็นฟังก์ชัน $g_{ij} : U \rightarrow \mathbb{R}$, $1 \leq i, j \leq 2$ จะนิยามโดย

$$g_{ij} = \langle \mathbf{x}_i, \mathbf{x}_j \rangle = g_{ij}(u_1, u_2)$$

ดังนั้น

$$\langle X, Y \rangle = \sum_{i,j} g_{ij} X^i Y^j$$

สำหรับเมตริกใน $\mathbf{x}(U)$ ที่นิยามโดย g_{ij} เป็นส่วนประกอบของเมตริกนั้นจะอยู่ในรูปแบบของเมตริกซ์ขนาด 2×2 นั่นคือ

$$[g_{ij}] = \begin{bmatrix} g_{11} & g_{12} \\ g_{21} & g_{22} \end{bmatrix} = \begin{bmatrix} g_{11} & g_{12} \\ g_{21} & g_{22} \end{bmatrix} = [g_{ji}]$$

ข้อสังเกต $g_{ij} = \langle \mathbf{x}_i, \mathbf{x}_j \rangle = \langle \mathbf{x}_j, \mathbf{x}_i \rangle = g_{ji}$

ดังนั้น เมตริกซ์ของส่วนประกอบเมตริกเป็นสมมาตรและจะมีเพียงสามส่วนที่แตกต่างกัน คือ

$$g_{11} = \langle \mathbf{x}_1, \mathbf{x}_1 \rangle, \quad g_{12} = \langle \mathbf{x}_1, \mathbf{x}_2 \rangle = \langle \mathbf{x}_2, \mathbf{x}_1 \rangle = g_{21}, \quad g_{22} = \langle \mathbf{x}_2, \mathbf{x}_2 \rangle \quad (2.3)$$

กำหนดให้

$$g_{11} = \langle \mathbf{x}_1, \mathbf{x}_1 \rangle = E, \quad g_{12} = \langle \mathbf{x}_1, \mathbf{x}_2 \rangle = \langle \mathbf{x}_2, \mathbf{x}_1 \rangle = g_{21} = F, \quad g_{22} = \langle \mathbf{x}_2, \mathbf{x}_2 \rangle = G \quad (2.4)$$

และ $\mathbf{x}(u, v) = (x(u, v), y(u, v), z(u, v))$ แล้วสามารถเขียนได้อีกรูปแบบคือ

$$g_{ij} = \langle \mathbf{x}_i, \mathbf{x}_j \rangle, \quad g_{uv} = \langle \mathbf{x}_u, \mathbf{x}_v \rangle = \langle \mathbf{x}_v, \mathbf{x}_u \rangle = g_{vu}, \quad g_{vv} = \langle \mathbf{x}_v, \mathbf{x}_v \rangle \quad (2.5)$$

ตัวอย่าง 2.5 พิจารณาภาวะอิงพารามิเตอร์ของทรงกลมที่ในรูปแบบ

$$\mathbf{x}(\theta, \phi) = (r \sin \theta \cos \phi, r \sin \theta \sin \phi, r \cos \theta), \quad 0 < \theta < \pi, 0 < \phi < 2\pi$$

จงคำนวณส่วนประกอบของเมตริกทั้งสามพิกัด

วิธีทำ

$$\mathbf{x}_\theta = \frac{\partial \mathbf{x}}{\partial \theta} = r(\cos \theta \cos \phi, \cos \theta \sin \phi, -\sin \theta)$$

$$\mathbf{x}_\phi = \frac{\partial \mathbf{x}}{\partial \phi} = r(-\sin \theta \sin \phi, \sin \theta \cos \phi, 0)$$

$$g_{\theta\theta} = \langle \mathbf{x}_\theta, \mathbf{x}_\theta \rangle = r^2 [\cos^2 \theta \cos^2 \phi + \cos^2 \theta \sin^2 \phi + \sin^2 \theta]$$

$$= r^2 [\cos^2 \theta (\cos^2 \phi + \sin^2 \phi) + \sin^2 \theta]$$

$$= r^2 [\cos^2 \theta + \sin^2 \theta] = r^2$$

$$g_{\theta\phi} = \langle \mathbf{x}_\theta, \mathbf{x}_\phi \rangle = r^2 [-\cos \theta \cos \phi \sin \theta \sin \phi + \cos \theta \sin \phi \sin \theta \cos \phi] = 0$$

$$g_{\phi\phi} = \langle \mathbf{x}_\phi, \mathbf{x}_\phi \rangle = r^2 [\sin^2 \theta \sin^2 \phi + \sin^2 \theta \cos^2 \phi] = r^2 \sin^2 \theta$$

ดังนั้น

$$[g_{ij}] = \begin{bmatrix} g_{\theta\theta} & g_{\theta\phi} \\ g_{\phi\theta} & g_{\phi\phi} \end{bmatrix} = \begin{bmatrix} r^2 & 0 \\ 0 & r^2 \sin^2 \theta \end{bmatrix} \quad \#$$

เอกสารนี้เป็นเอกสารที่สงวนไว้สำหรับการใช้งานเพื่อการศึกษาเท่านั้น ไม่อนุญาตให้นำไปใช้ประโยชน์ด้านการค้า ไม่ว่าจะกรณีใดๆ ทั้งสิ้น อีกทั้งห้ามมิให้ดัดแปลงเนื้อหา และต้องอ้างอิงถึงเจ้าของเอกสารทุกครั้งที่มีการนำไปใช้

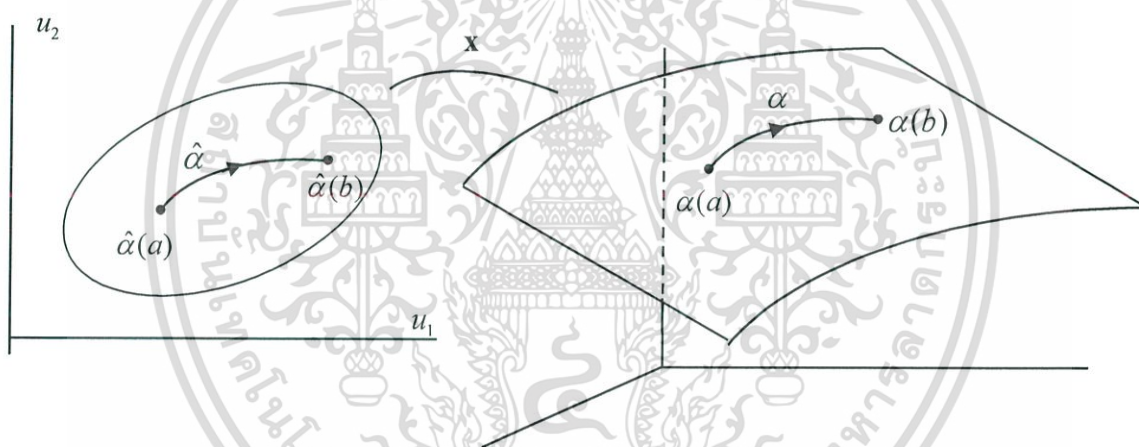
2.1.8.2 ความยาวในพื้นผิวปรกติ S

กำหนดให้ $S \subset \mathbb{R}^3$ เป็นพื้นผิวปรกติ และให้ $\alpha : (a, b) \rightarrow S$ เป็นเส้นโค้งที่หาอนุพันธ์ได้ในพื้นผิวปรกติ S ซึ่งเส้นโค้งอยู่ใน \mathbb{R}^3 นั่นคือ $\alpha(t) = (x(t), y(t), z(t))$ จะสามารถคำนวณความยาวของเส้นโค้งดังนี้

$$\begin{aligned} \text{ความยาวของเส้นโค้ง } \alpha &= \int_a^b \left| \frac{d\alpha}{dt} \right| dt \\ &= \int_a^b \sqrt{\left(\frac{dx}{dt} \right)^2 + \left(\frac{dy}{dt} \right)^2 + \left(\frac{dz}{dt} \right)^2} dt \end{aligned}$$

จากรูปแบบการหาความยาวเส้นโค้งดังกล่าวนี้ไม่มีพจน์ที่แสดงให้เห็นว่าเส้นโค้งอยู่ในพื้นผิว ดังนั้นต้องมีการเปลี่ยนรูปแบบของเส้นโค้งดังนี้

กำหนดให้ $\mathbf{x} : U \rightarrow S$ เป็นส่วนของพื้นผิวที่มีพิกัดที่ต่อเนื่องใน S สมมุติให้ $\alpha \subset \mathbf{x}(U)$



รูปที่ 2.14 ความยาวในพื้นผิวปรกติ S

กระจาย α ในพจน์ของพิกัด $\hat{\alpha} = \mathbf{x}^{-1} \circ \alpha : [a, b] \rightarrow U \subset \mathbb{R}^2$, $\hat{\alpha}(t) = (u_1(t), u_2(t))$

แล้ว $\alpha = \mathbf{x} \circ \hat{\alpha}$ นั่นคือ $\alpha(t) = \mathbf{x}(\hat{\alpha}(t))$

ดังนั้น $\alpha(t) = \mathbf{x}(u_1(t), u_2(t))$

โดยกฎลูกโซ่ จะได้

$$\frac{d\alpha}{dt} = \frac{\partial \mathbf{x}}{\partial u_1} \frac{du_1}{dt} + \frac{\partial \mathbf{x}}{\partial u_2} \frac{du_2}{dt} = \mathbf{x}_1 \frac{du_1}{dt} + \mathbf{x}_2 \frac{du_2}{dt}$$

หรือ

$$\frac{d\alpha}{dt} = \sum_i \frac{du_i}{dt} \mathbf{x}_i \quad (2.6)$$

เอกสารนี้เป็นเอกสารที่สงวนไว้สำหรับการใช้งานเพื่อการศึกษาเท่านั้น ไม่อนุญาตให้นำไปใช้ประโยชน์ด้านการค้า ไม่ว่ากรณีใดๆ ทั้งสิ้น อีกทั้งห้ามมิให้ดัดแปลงเนื้อหา และต้องอ้างอิงถึงเจ้าของเอกสารทุกครั้งที่มีการนำไปใช้

โดยที่ $\frac{du_i}{dt}, i=1,2$ เป็นส่วนประกอบของเวกเตอร์สัมผัสที่ขึ้นอยู่กับฐาน (basis) ของ

$\{\mathbf{x}_1, \mathbf{x}_2\}$ คำนวณโดยใช้ผลคูณจุดของสมการ (2.6) จะได้

$$\begin{aligned} \left\langle \frac{d\alpha}{dt}, \frac{d\alpha}{dt} \right\rangle &= \left\langle \sum_i \frac{du_i}{dt} \mathbf{x}_i, \sum_j \frac{du_j}{dt} \mathbf{x}_j \right\rangle \\ &= \sum_{i,j} \frac{du_i}{dt} \frac{du_j}{dt} \langle \mathbf{x}_i, \mathbf{x}_j \rangle \end{aligned}$$

จะได้

$$\left\langle \frac{d\alpha}{dt}, \frac{d\alpha}{dt} \right\rangle = \sum_{i,j=1}^2 g_{ij} \frac{du_i}{dt} \frac{du_j}{dt} \quad (2.7)$$

เพราะฉะนั้น สำหรับอัตราเร็วในพิกัดในพื้นที่ผิวจะได้

$$\left| \frac{d\alpha}{dt} \right| = \sqrt{\sum_{i,j=1}^2 g_{ij} \frac{du_i}{dt} \frac{du_j}{dt}} \quad (2.8)$$

สำหรับความยาวของเส้นโค้งพื้นที่ผิวจะได้

$$\begin{aligned} \text{ความยาวของเส้นโค้ง } \alpha &= \int_a^b \sqrt{\sum_{i,j=1}^2 g_{ij} \frac{du_i}{dt} \frac{du_j}{dt}} dt \\ &= \int_a^b \sqrt{g_{11} \left(\frac{du_1}{dt} \right)^2 + 2g_{12} \frac{du_1}{dt} \frac{du_2}{dt} + g_{22} \left(\frac{du_2}{dt} \right)^2} dt \end{aligned} \quad (2.9)$$

2.1.8.3 ฟังก์ชันความยาวส่วนโค้ง (Arc Length Function)

ให้ s แทนความยาวของส่วนโค้งตาม α ในพื้นที่ผิวปกติ S ใดๆ สามารถจัดรูปใหม่ในเทอมของ t ได้ดังนี้

$$s(t) = \int_a^t \sqrt{\sum_{i,j=1}^2 g_{ij} \frac{du_i}{dt} \frac{du_j}{dt}} dt \quad (2.10)$$

หาอนุพันธ์เทียบกับ t ทั้งสมการ (2.10) จะได้

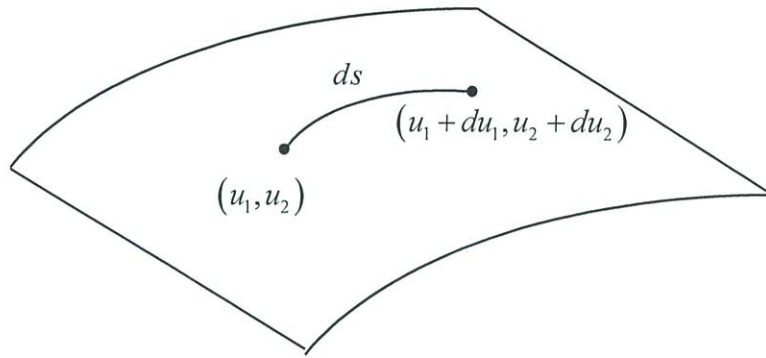
$$\frac{ds}{dt} = \sqrt{\sum_{i,j=1}^2 g_{ij} \frac{du_i}{dt} \frac{du_j}{dt}} \quad (2.11)$$

จัดรูปสมการ (2.11) จะได้

$$\begin{aligned} ds &= \sqrt{\sum_{i,j=1}^2 g_{ij} \frac{du_i}{dt} \frac{du_j}{dt}} dt \\ ds^2 &= \left(\sum_{i,j=1}^2 g_{ij} \frac{du_i}{dt} \frac{du_j}{dt} \right) dt^2 \\ &= \sum_{i,j=1}^2 g_{ij} \left(\frac{du_i}{dt} dt \right) \left(\frac{du_j}{dt} dt \right) \\ ds^2 &= \sum_{i,j=1}^2 g_{ij} du_i du_j \end{aligned} \quad (2.12)$$

เอกสารนี้เป็นเอกสารที่สงวนไว้สำหรับการใช้งานเพื่อการศึกษาเท่านั้น ไม่อนุญาตให้นำไปใช้ประโยชน์ด้านการค้า
ไม่ว่ากรณีใดๆ ทั้งสิ้น อีกทั้งห้ามมิให้ดัดแปลงเนื้อหา และต้องอ้างอิงถึงเจ้าของเอกสารทุกครั้งที่มีการนำไปใช้

แสดงดังรูปที่ 2.15



รูปที่ 2.15 รูปแบบหลักมูลที่หนึ่ง

ซึ่งสามารถเขียนในอีกรูปแบบคือ

$$ds^2 = g_{11}(du_1)^2 + 2g_{12}du_1du_2 + g_{22}(du_2)^2 \quad (2.13)$$

กำหนดให้

$$u_1 = u, u_2 = v \quad (2.14)$$

และจากสมการ(2.4)

ดังนั้น

$$ds^2 = E(du)^2 + 2Fdu dv + G(dv)^2 \quad (2.15)$$

ซึ่งเรียกสมการที่ (2.15) ว่า รูปแบบหลักมูลที่หนึ่ง (first fundamental form)

และเรียก $g_{11} = E$, $g_{12} = F$, $g_{22} = G$ ว่า สัมประสิทธิ์ของรูปแบบหลักมูลที่หนึ่ง (coefficients of first fundamental form)

บทตั้ง 2.2 [1] จากสมการ 2.15 ทำให้ได้ว่า ฟังก์ชันสามฟังก์ชัน E, F และ G มีสมบัติดังต่อไปนี้

$$EG - F^2 > 0, E > 0, G > 0$$

บน $U \subset \mathbb{R}^2$

ตัวอย่าง 2.6 จากตัวอย่าง 2.5 จะได้ว่า

$$[g_{ij}] = \begin{bmatrix} g_{\theta\theta} & g_{\theta\phi} \\ g_{\phi\theta} & g_{\phi\phi} \end{bmatrix} = \begin{bmatrix} r^2 & 0 \\ 0 & r^2 \sin^2 \theta \end{bmatrix}$$

นั่นคือ $g_{\theta\theta} = r^2$, $g_{\theta\phi} = 0$, $g_{\phi\phi} = r^2 \sin^2 \theta$

ดังนั้น

$$ds^2 = g_{\theta\theta}(d\theta)^2 + 2g_{\theta\phi}d\theta d\phi + g_{\phi\phi}(d\phi)^2 = r^2(d\theta)^2 + r^2 \sin^2 \theta (d\phi)^2 \quad \#$$

เอกสารนี้เป็นเอกสารที่สงวนไว้สำหรับการใช้งานเพื่อการศึกษาเท่านั้น ไม่อนุญาตให้นำไปใช้ประโยชน์ด้านการค้า ไม่ว่าจะกรณีใดๆ ทั้งสิ้น อีกทั้งห้ามมิให้ดัดแปลงเนื้อหา และต้องอ้างอิงถึงเจ้าของเอกสารทุกครั้งที่มีการนำไปใช้

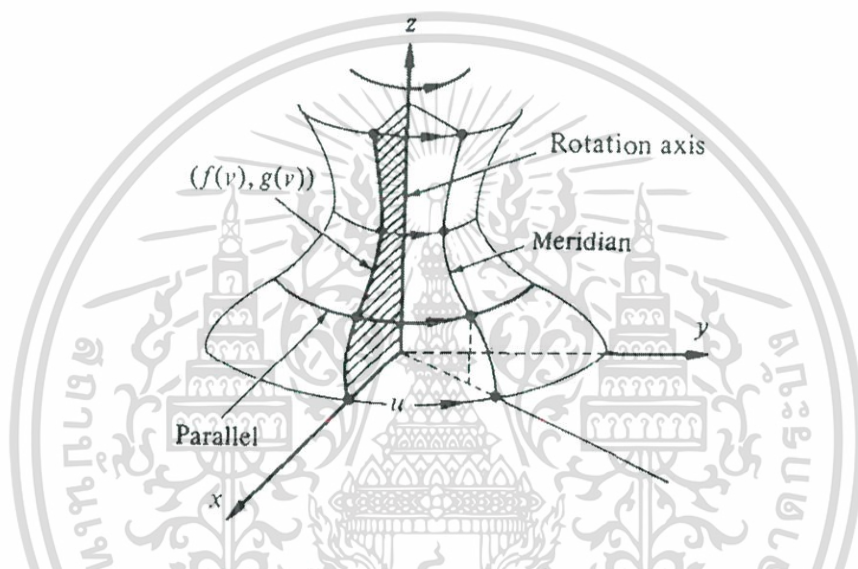
2.1.9 พื้นผิวของการหมุน (surface of revolution) [8]

ให้ $c:(a,b) \rightarrow \mathbb{R}^3$ เป็นเส้นโค้งที่หาอนุพันธ์ได้ทุกอันดับใน $S \subset \mathbb{R}^3$ โดยที่ S เป็นพื้นผิวของการหมุนเส้นโค้ง c รอบแกน z แล้ว S เรียกว่า พื้นผิวของการหมุน

กำหนดให้ $x := f(v)$ และ $z := g(v)$ เมื่อ $a < v < b$, $f(v) > 0$ เป็นภาวะอิงพารามิเตอร์สำหรับกราฟ c จะได้ภาวะอิงพารามิเตอร์

$$\mathbf{x}(u, v) := (f(v)\cos u, f(v)\sin u, g(v)) \quad (2.16)$$

จากเซตเปิด $U = \{(u, v) \in \mathbb{R}^2; 0 < u < 2\pi, a < v < b\}$ ไปยังพื้นผิวของการหมุน S ดังรูปที่ 2.16



รูปที่ 2.16 พื้นผิวของการหมุน S ใน \mathbb{R}^3 [8]

เส้นโค้งที่หาอนุพันธ์ได้ทุกอันดับที่มีการส่ง $c:(a,b) \rightarrow \mathbb{R}^3$ เป็นเส้นโค้งที่ทำให้ได้พื้นผิวของการหมุนแล้วเส้นกราฟ c เรียกว่า เส้นโค้งก่อกำเนิด (Generating curve) ของ S โดยที่แกน z เป็นแกนของการหมุน

เส้นโค้งบนพื้นผิวที่มีลักษณะเป็นวงกลมที่เกิดจากการหมุนจุดเพียงหนึ่งจุดเท่านั้นของเส้นโค้งก่อกำเนิดรอบแกนการหมุน นั่นคือ เส้นโค้งอิงพารามิเตอร์ v คงที่ เรียกว่า เส้นโค้งพาราเลล (Parallel curve) บนพื้นผิว S มีภาวะอิงพารามิเตอร์คือ

$$\mathbf{x}(u, v_0) = (f(v_0)\cos u, f(v_0)\sin u, g(v_0)) \quad (2.17)$$

นอกจากนั้นเส้นโค้งที่มีลักษณะเหมือนเส้นโค้งก่อกำเนิด และหมุนออกจากเส้นโค้งก่อกำเนิดนั้นคือ เส้นโค้งอิงพารามิเตอร์ u คงที่ เรียกว่า เส้นโค้งเมริเดียน (Meridian curve) บนพื้นผิว S มีภาวะอิงพารามิเตอร์คือ

$$\mathbf{x}(u_0, v) = (f(v)\cos u_0, f(v)\sin u_0, g(v)) \quad (2.18)$$

เอกสารนี้เป็นเอกสารที่สงวนไว้สำหรับการใช้งานเพื่อการศึกษาเท่านั้น ไม่อนุญาตให้นำไปใช้ประโยชน์ด้านการค้า ไม่ว่ากรณีใดๆ ทั้งสิ้น อีกทั้งห้ามมิให้ดัดแปลงเนื้อหา และต้องอ้างอิงถึงเจ้าของเอกสารทุกครั้งที่มีการนำไปใช้

จากสมการ (2.4) และสมการ (2.16) จะได้ว่า

$$\begin{aligned} \mathbf{x}_u &= \frac{\partial \mathbf{x}}{\partial u} = (-f(v)\sin u, f(v)\cos u, 0) \\ \mathbf{x}_v &= \frac{\partial \mathbf{x}}{\partial v} = (f'(v)\cos u, f'(v)\sin u, g'(v)) \\ g_{11} &= E = \langle \mathbf{x}_u, \mathbf{x}_u \rangle \\ &= f^2(v)\sin^2 u + f^2(v)\cos^2 u \\ &= f^2(v) \\ g_{12} &= g_{21} = F = \langle \mathbf{x}_u, \mathbf{x}_v \rangle \\ &= -f(v)f'(v)\sin u \cos u + f(v)f'(v)\sin u \cos u \\ &= 0 \\ g_{22} &= G = \langle \mathbf{x}_v, \mathbf{x}_v \rangle \\ &= (f'(v))^2 \cos^2 u + (f'(v))^2 \sin^2 u + (g'(v))^2 \end{aligned}$$

นั่นคือ

$$g_{11} = E = f^2(v), \quad g_{12} = g_{21} = F = 0, \quad g_{22} = G = f'(v)^2 + g'(v)^2 \quad (2.19)$$

และจากสมการ (2.15) จะได้ รูปแบบหลักมูลที่หนึ่งของพื้นผิวของการหมุน คือ

$$ds^2 = f^2(v)(du)^2 + (f'(v)^2 + g'(v)^2)(dv)^2 \quad (2.20)$$

2.1.10 สัญลักษณ์คริสตอฟเฟิล (Christoffel symbols)

นิยาม 2.28 กำหนดให้ $(g^{ij}) = (g_{ij})^{-1}$ นั่นคือ g^{ij} แทนส่วนประกอบ (i, j) ของอินเวอร์สของเมทริกซ์ $(g_{ij})^{-1}$

จากสูตรการผกผันของเมทริกซ์

$$\begin{bmatrix} a & b \\ c & d \end{bmatrix}^{-1} = \frac{1}{ad - bc} \begin{bmatrix} d & -b \\ -c & a \end{bmatrix}$$

จะได้

$$\begin{bmatrix} g_{11} & g_{12} \\ g_{21} & g_{22} \end{bmatrix}^{-1} = \frac{1}{g_{11}g_{22} - g_{12}^2} \begin{bmatrix} g_{22} & -g_{21} \\ -g_{12} & g_{11} \end{bmatrix}$$

ซึ่งสามารถกระจาย g^{ij} ในพจน์ของ g_{ij} ได้ดังนี้

$$\begin{aligned} g^{11} &= \frac{g_{22}}{g_{11}g_{22} - g_{12}^2} \\ g^{12} &= \frac{-g_{12}}{g_{11}g_{22} - g_{12}^2} = \frac{-g_{21}}{g_{11}g_{22} - g_{12}^2} = g^{21} \\ g^{22} &= \frac{g_{11}}{g_{11}g_{22} - g_{12}^2} \end{aligned}$$

เอกสารนี้เป็นเอกสารที่สงวนไว้สำหรับการใช้งานเพื่อการศึกษาเท่านั้น ไม่อนุญาตให้นำไปใช้ประโยชน์ด้านการค้า
ไม่ว่ากรณีใดๆ ทั้งสิ้น อีกทั้งห้ามมิให้ดัดแปลงเนื้อหา และต้องอ้างอิงถึงเจ้าของเอกสารทุกครั้งที่มีการนำไปใช้

จากความรู้ในพีชคณิตเชิงเส้น $(g^{ij})(g_{ij}) = I$

โดยที่ I เป็นเมทริกซ์เอกลักษณ์ (identity matrix) ซึ่งเท่ากับเมทริกซ์ $[\delta_i^j]$ เมื่อ δ_i^j เป็น Kronecker delta ที่นิยามโดย

$$\delta_i^j = \begin{cases} 0 & ; i = j \\ 1 & ; i \neq j \end{cases}$$

จะได้

$$(g_{ij})(g^{ij}) = (\delta_i^j)$$

กำหนดให้ $u_1 := u$, $u_2 := v$, $\mathbf{x}_i := \mathbf{x}_{u_i}$, $\mathbf{x}_{ij} := \mathbf{x}_{u_i u_j}$, $(i, j = 1, 2)$ และ $\mathbf{e}(u, v) = \frac{\mathbf{x}_u \times \mathbf{x}_v}{\|\mathbf{x}_u \times \mathbf{x}_v\|}$

เป็นเวกเตอร์ตั้งฉากกันหนึ่งหน่วย เมื่อเครื่องหมาย “ \times ” แทนด้วย ผลคูณเชิงเวกเตอร์ (Cross Product)

จาก $\{\mathbf{x}_1(u_1, u_2), \mathbf{x}_2(u_1, u_2), \mathbf{e}(u_1, u_2)\}$ เป็นฐานหลักของ \mathbb{R}^3 $\mathbf{x}_{ij}(u_1, u_2)$ สามารถเขียนเป็นผลรวมเชิงเส้นของเวกเตอร์ฐานหลักทั้งสามได้ ดังนั้นมีฟังก์ชัน $\Gamma_{ij}^k, h_{ij}(i, j, k = 1, 2)$ ซึ่งทำให้

$$\mathbf{x}_{ij}(u_1, u_2) = \sum_{k=1}^2 \Gamma_{ij}^k(u_1, u_2) \mathbf{x}_k(u_1, u_2) + h_{ij}(u_1, u_2) \cdot \mathbf{e}(u_1, u_2) \quad (2.21)$$

เป็นจริง โดยที่

$$h_{11} = L(u, v) = \mathbf{e} \cdot \mathbf{x}_{uu}(u, v), \quad h_{12} = h_{21} = M(u, v) = \mathbf{e} \cdot \mathbf{x}_{uv}(u, v), \quad h_{22} = N(u, v) = \mathbf{e} \cdot \mathbf{x}_{vv}(u, v)$$

เรียกสมการ (2.21) ว่า สมการเกาส์ (Gauss equation) และฟังก์ชัน Γ_{ij}^k เรียกว่า สัญลักษณ์คริสตอฟเฟิล (Christoffel symbols)

ทฤษฎีบท 2.4 [10] สำหรับแต่ละ i, j, k ($= 1, 2$) ที่ทำให้

$$\Gamma_{ij}^k = \frac{1}{2} \sum_{l=1}^2 g^{kl} (g_{il,j} + g_{jl,i} - g_{ij,l}) \quad (2.22)$$

เมื่อ $g_{ij,l} := \frac{\partial}{\partial u_l} g_{ij}$ และ Γ_{ij}^k อยู่ในรูปแบบ g_{ij} และอนุพันธ์ของ g_{ij}

พิสูจน์

$$g_{il} = \mathbf{x}_i \cdot \mathbf{x}_l$$

หาอนุพันธ์เทียบกับ j จะได้

$$g_{il,j} = \mathbf{x}_{ij} \cdot \mathbf{x}_l + \mathbf{x}_i \cdot \mathbf{x}_{lj}$$

โดยสมการของเกาส์ (2.21) จะได้

$$\begin{aligned} g_{il,j} &= \left(\sum_{k=1}^2 \Gamma_{ij}^k \mathbf{x}_k + h_{ij} \mathbf{e} \right) \cdot \mathbf{x}_l + \mathbf{x}_i \cdot \left(\sum_{k=1}^2 \Gamma_{lj}^k \mathbf{x}_k + h_{lj} \mathbf{e} \right) \\ &= \sum_{k=1}^2 \Gamma_{ij}^k \mathbf{x}_k \cdot \mathbf{x}_l + h_{ij} \mathbf{e} \cdot \mathbf{x}_l + \sum_{k=1}^2 \Gamma_{lj}^k \mathbf{x}_i \cdot \mathbf{x}_k + \mathbf{x}_i \cdot h_{lj} \mathbf{e} \\ &= \sum_{k=1}^2 \Gamma_{ij}^k \mathbf{x}_k \cdot \mathbf{x}_l + \sum_{k=1}^2 \Gamma_{lj}^k \mathbf{x}_i \cdot \mathbf{x}_k \end{aligned}$$

เอกสารนี้เป็นเอกสารที่สงวนไว้สำหรับการใช้งานเพื่อการศึกษาเท่านั้น ไม่อนุญาตให้นำไปใช้ประโยชน์ด้านการค้า
ไม่ว่ากรณีใดๆ ทั้งสิ้น อีกทั้งห้ามมิให้ดัดแปลงเนื้อหา และต้องอ้างอิงถึงเจ้าของเอกสารทุกครั้งที่มีการนำไปใช้

ดังนั้น

$$g_{il,j} = \sum_{k=1}^2 (\Gamma_{ij}^k g_{kl} + \Gamma_{lj}^k g_{ik}) \quad (2.22a)$$

เนื่องจากสมการ (2.22a) เป็นจริงสำหรับทุกๆ i, j, k และก็ยังคงเป็นจริงถ้าจะสลับจาก i เป็น j และจาก j เป็น i ในสมการ (2.23)

$$g_{jl,i} = \sum_{k=1}^2 (\Gamma_{ji}^k g_{kl} + \Gamma_{li}^k g_{jk}) \quad (2.23)$$

ในทำนองเดียวกันกับ ถ้าจะสลับจาก l เป็น i และจาก i เป็น l ในสมการ (2.24)

$$g_{ji,l} = \sum_{k=1}^2 (\Gamma_{jl}^k g_{ki} + \Gamma_{il}^k g_{jk}) \quad (2.24)$$

จากสมการ(2.22a) (2.23) และ (2.24) จะได้

$$\begin{aligned} g_{il,j} + g_{jl,i} - g_{ji,l} &= \sum_{k=1}^2 (\Gamma_{ij}^k g_{kl} + \Gamma_{lj}^k g_{ik}) + \sum_{k=1}^2 (\Gamma_{ji}^k g_{kl} + \Gamma_{li}^k g_{jk}) - \sum_{k=1}^2 (\Gamma_{jl}^k g_{ki} + \Gamma_{il}^k g_{jk}) \\ &= \sum_{k=1}^2 (\Gamma_{ij}^k + \Gamma_{ji}^k) g_{kl} + \sum_{k=1}^2 (\Gamma_{lj}^k - \Gamma_{il}^k) g_{ik} + \sum_{k=1}^2 (\Gamma_{li}^k - \Gamma_{il}^k) g_{jk} \end{aligned}$$

เนื่องจาก $\Gamma_{ij}^k = \Gamma_{ji}^k$ เพราะ $\mathbf{x}_{ij} = \mathbf{x}_{ji}$ เพราะฉะนั้นจะได้

$$g_{il,j} + g_{jl,i} - g_{ji,l} = 2 \sum_{k=1}^2 (\Gamma_{ij}^k) g_{kl} \quad (2.24a)$$

คูณด้วย g^{lm} ตลอดสมการ(2.24a) และผลรวมแปรไปตามตัวแปร l นั่นคือ

$$2 \sum_{k=1}^2 (\Gamma_{ij}^k) \delta_k^m = \sum_{l=1}^2 g^{lm} (g_{il,j} + g_{jl,i} - g_{ji,l})$$

เป็นจริงเมื่อ

$$\delta_k^m = \begin{cases} 1 & (\text{if } k = m) \\ 0 & (\text{if } k \neq m) \end{cases}$$

ดังนั้น

$$\Gamma_{ij}^k = \frac{1}{2} \sum_{l=1}^2 g^{kl} (g_{il,j} + g_{jl,i} - g_{ji,l}) \quad \square$$

จากทฤษฎีบท 2.4 สัญลักษณ์คริสทอฟเฟิลจะได้ว่า

$$\begin{aligned} \Gamma_{11}^1 &= \frac{1}{2} \sum_{l=1}^2 g^{1l} (g_{1l,1} + g_{l1,1} - g_{11,l}) \\ &= \frac{1}{2} [g^{11} (g_{11,1} + g_{11,1} - g_{11,1}) + g^{12} (g_{12,1} + g_{12,1} - g_{11,2})] \\ &= \frac{1}{2} \left[\frac{G}{EG - F^2} (E_u) + \left(\frac{-F}{EG - F^2} \right) (2F_u - E_v) \right] \\ &= \frac{1}{2} \left[\frac{GE_u}{EG - F^2} - \frac{2FF_u}{EG - F^2} + \frac{FE_v}{EG - F^2} \right] \end{aligned}$$

เอกสารนี้เป็นเอกสารที่สงวนไว้สำหรับการใช้งานเพื่อการศึกษาเท่านั้น ไม่อนุญาตให้นำไปใช้ประโยชน์ด้านการค้า
ไม่ว่ากรณีใดๆ ทั้งสิ้น อีกทั้งห้ามมิให้ดัดแปลงเนื้อหา และต้องอ้างอิงถึงเจ้าของเอกสารทุกครั้งที่มีการนำไปใช้

$$\begin{aligned}
&= \frac{1}{2(EG - F^2)} [GE_u - 2FF_u - FE_v] \\
\Gamma_{11}^2 &= \frac{1}{2} \sum_{l=1}^2 g^{2l} (g_{1l,1} + g_{1l,1} - g_{11,l}) \\
&= \frac{1}{2} [g^{21} (g_{11,1} + g_{11,1} - g_{11,1}) + g^{22} (g_{12,1} + g_{12,1} - g_{11,2})] \\
&= \frac{1}{2} \left[\frac{-F}{EG - F^2} (E_u) + \frac{E}{EG - F^2} (2F_u - E_v) \right] \\
&= \frac{1}{2(EG - F^2)} [-FE_u + 2F_u E - E_v E] \\
\Gamma_{12}^1 &= \frac{1}{2} \sum_{l=1}^2 g^{1l} (g_{1l,2} + g_{2l,1} - g_{12,l}) \\
&= \frac{1}{2} [g^{11} (g_{11,2} + g_{21,1} - g_{12,1}) + g^{12} (g_{12,2} + g_{22,1} - g_{12,2})] \\
&= \frac{1}{2} \left[\frac{G}{EG - F^2} (E_v + F_u - F_u) + \frac{(-F)}{EG - F^2} (F_v + G_u - F_v) \right] \\
&= \frac{1}{2(EG - F^2)} [GE_v - FG_u] \\
\Gamma_{12}^2 &= \frac{1}{2} \sum_{l=1}^2 g^{2l} (g_{1l,2} + g_{2l,1} - g_{12,l}) \\
&= \frac{1}{2} [g^{21} (g_{11,2} + g_{21,1} - g_{12,1}) + g^{22} (g_{12,2} + g_{22,1} - g_{12,2})] \\
&= \frac{1}{2} \left[\frac{-F}{EG - F^2} (E_v + F_u - F_u) + \frac{E}{EG - F^2} (G_u) \right] \\
&= \frac{1}{2(EG - F^2)} [-FE_v + EG_u] \\
\Gamma_{22}^1 &= \frac{1}{2} \sum_{l=1}^2 g^{1l} (g_{2l,2} + g_{2l,2} - g_{22,l}) \\
&= \frac{1}{2} [g^{11} (g_{21,2} + g_{21,2} - g_{22,1}) + g^{12} (g_{22,2} + g_{22,2} - g_{22,2})] \\
&= \frac{1}{2} \left[\frac{G}{EG - F^2} (2F_v - G_u) + \frac{(-F)}{EG - F^2} (G_v) \right] \\
&= \frac{1}{2(EG - F^2)} [2GF_v - GG_u - FG_v] \\
\Gamma_{22}^2 &= \frac{1}{2} \sum_{l=1}^2 g^{2l} (g_{2l,2} + g_{2l,2} - g_{22,l}) \\
&= \frac{1}{2} [g^{21} (g_{21,2} + g_{21,2} - g_{22,1}) + g^{22} (g_{22,2} + g_{22,2} - g_{22,2})] \\
&= \frac{1}{2} \left[\frac{-F}{EG - F^2} (2F_v - GL_u) + \frac{E}{EG - F^2} (G_v) \right]
\end{aligned}$$

เอกสารนี้เป็นเอกสารที่สงวนไว้สำหรับการใช้งานเพื่อการศึกษาเท่านั้น ไม่อนุญาตให้นำไปใช้ประโยชน์ด้านการค้า
ไม่ว่ากรณีใดๆ ทั้งสิ้น อีกทั้งห้ามมิให้ดัดแปลงเนื้อหา และต้องอ้างอิงถึงเจ้าของเอกสารทุกครั้งที่มีการนำไปใช้

$$= \frac{1}{2(EG - F^2)} [-2FF_v + FG_u + EG_v]$$

ดังนั้น

$$\begin{aligned}\Gamma_{11}^1 &= \frac{E_u G - 2FF_u - FE_v}{2(EG - F^2)}, \Gamma_{12}^1 = \frac{E_v G - FG_u}{2(EG - F^2)}, \\ \Gamma_{22}^1 &= \frac{2F_v G - G_u G - FG_v}{2(EG - F^2)}, \Gamma_{11}^2 = \frac{2EF_u - EE_v - FE_u}{2(EG - F^2)}, \\ \Gamma_{12}^2 &= \frac{G_u E - FE_v}{2(EG - F^2)}, \Gamma_{22}^2 = \frac{EG_v - 2F_v F + G_u F}{2(EG - F^2)}\end{aligned}\quad (2.25)$$

หรือจะพิจารณาจาก สมการเกาส์ [8] ที่อยู่ในรูปแบบ

$$\begin{aligned}\mathbf{x}_{uu} &= \Gamma_{11}^1 \mathbf{x}_u + \Gamma_{11}^2 \mathbf{x}_v + h_{11}(u_1, u_2) \cdot \mathbf{e}(u_1, u_2) \\ \mathbf{x}_{uv} &= \Gamma_{12}^1 \mathbf{x}_u + \Gamma_{12}^2 \mathbf{x}_v + h_{12}(u_1, u_2) \cdot \mathbf{e}(u_1, u_2) \\ \mathbf{x}_{vv} &= \Gamma_{22}^1 \mathbf{x}_u + \Gamma_{22}^2 \mathbf{x}_v + h_{22}(u_1, u_2) \cdot \mathbf{e}(u_1, u_2)\end{aligned}\quad (2.26)$$

ใช้ผลคูณภายในจากสมการ (2.26) กับ \mathbf{x}_u และ \mathbf{x}_v จะได้

$$\begin{aligned}\mathbf{x}_{uu} \cdot \mathbf{x}_u &= \Gamma_{11}^1 (\mathbf{x}_u \cdot \mathbf{x}_u) + \Gamma_{11}^2 (\mathbf{x}_v \cdot \mathbf{x}_u) + h_{11}(\mathbf{e} \cdot \mathbf{x}_u) \\ &= \Gamma_{11}^1 E + \Gamma_{11}^2 F \\ \mathbf{x}_{uu} \cdot \mathbf{x}_v &= \Gamma_{11}^1 (\mathbf{x}_u \cdot \mathbf{x}_v) + \Gamma_{11}^2 (\mathbf{x}_v \cdot \mathbf{x}_v) + h_{11}(\mathbf{e} \cdot \mathbf{x}_v) \\ &= \Gamma_{11}^1 F + \Gamma_{11}^2 G \\ \mathbf{x}_{uv} \cdot \mathbf{x}_u &= \Gamma_{12}^1 (\mathbf{x}_u \cdot \mathbf{x}_u) + \Gamma_{12}^2 (\mathbf{x}_v \cdot \mathbf{x}_u) + h_{12}(\mathbf{e} \cdot \mathbf{x}_u) \\ &= \Gamma_{12}^1 E + \Gamma_{12}^2 F \\ \mathbf{x}_{uv} \cdot \mathbf{x}_v &= \Gamma_{12}^1 (\mathbf{x}_u \cdot \mathbf{x}_v) + \Gamma_{12}^2 (\mathbf{x}_v \cdot \mathbf{x}_v) + h_{12}(\mathbf{e} \cdot \mathbf{x}_v) \\ &= \Gamma_{12}^1 F + \Gamma_{12}^2 G \\ \mathbf{x}_{vv} \cdot \mathbf{x}_u &= \Gamma_{22}^1 (\mathbf{x}_u \cdot \mathbf{x}_u) + \Gamma_{22}^2 (\mathbf{x}_v \cdot \mathbf{x}_u) + h_{22}(\mathbf{e} \cdot \mathbf{x}_u) \\ &= \Gamma_{22}^1 E + \Gamma_{22}^2 F \\ \mathbf{x}_{vv} \cdot \mathbf{x}_v &= \Gamma_{22}^1 (\mathbf{x}_u \cdot \mathbf{x}_v) + \Gamma_{22}^2 (\mathbf{x}_v \cdot \mathbf{x}_v) + h_{22}(\mathbf{e} \cdot \mathbf{x}_v) \\ &= \Gamma_{22}^1 F + \Gamma_{22}^2 G\end{aligned}$$

เนื่องจาก

$$\begin{aligned}\blacksquare \quad \mathbf{x}_{uu} \cdot \mathbf{x}_u &= \frac{1}{2}(\mathbf{x}_u \cdot \mathbf{x}_u)_u = \frac{1}{2}E_u \\ \mathbf{x}_{uu} \cdot \mathbf{x}_u &= (\mathbf{x}_{uu} \cdot \mathbf{x}_u + \mathbf{x}_u \cdot \mathbf{x}_{uu}) - \mathbf{x}_u \cdot \mathbf{x}_{uu} \\ &= (\mathbf{x}_u \cdot \mathbf{x}_u)_u - \mathbf{x}_u \cdot \mathbf{x}_{uu} \\ 2\mathbf{x}_{uu} \cdot \mathbf{x}_u &= (\mathbf{x}_u \cdot \mathbf{x}_u)_u \\ \mathbf{x}_{uu} \cdot \mathbf{x}_u &= \frac{1}{2}(\mathbf{x}_u \cdot \mathbf{x}_u)_u = \frac{1}{2}E_u \\ \blacksquare \quad \mathbf{x}_{uv} \cdot \mathbf{x}_u &= \frac{1}{2}(\mathbf{x}_u \cdot \mathbf{x}_u)_v = \frac{1}{2}E_v\end{aligned}$$

เอกสารนี้เป็นเอกสารที่สงวนไว้สำหรับการใช้งานเพื่อการศึกษาเท่านั้น ไม่อนุญาตให้นำไปใช้ประโยชน์ด้านการค้า
ไม่ว่ากรณีใดๆ ทั้งสิ้น อีกทั้งห้ามมิให้ดัดแปลงเนื้อหา และต้องอ้างอิงถึงเจ้าของเอกสารทุกครั้งที่มีการนำไปใช้

$$\begin{aligned}\mathbf{x}_{uv} \cdot \mathbf{x}_u &= \mathbf{x}_{uv} \cdot \mathbf{x}_u + \mathbf{x}_u \cdot \mathbf{x}_{uv} - \mathbf{x}_u \cdot \mathbf{x}_{uv} \\ &= (\mathbf{x}_u \cdot \mathbf{x}_u)_v - \mathbf{x}_u \cdot \mathbf{x}_{uv}\end{aligned}$$

$$2\mathbf{x}_{uv} \cdot \mathbf{x}_u = (\mathbf{x}_u \cdot \mathbf{x}_u)_v$$

$$\mathbf{x}_{uv} \cdot \mathbf{x}_u = \frac{1}{2}E_v$$

$$\blacksquare \quad \mathbf{x}_{uv} \cdot \mathbf{x}_v = \frac{1}{2}(\mathbf{x}_v \cdot \mathbf{x}_u)_u = \frac{1}{2}G_u$$

$$\begin{aligned}\mathbf{x}_{uv} \cdot \mathbf{x}_v &= \mathbf{x}_{uv} \cdot \mathbf{x}_v + \mathbf{x}_v \cdot \mathbf{x}_{uv} - \mathbf{x}_v \cdot \mathbf{x}_{uv} \\ &= (\mathbf{x}_u \cdot \mathbf{x}_v)_u - \mathbf{x}_v \cdot \mathbf{x}_{uv}\end{aligned}$$

$$2\mathbf{x}_{uv} \cdot \mathbf{x}_v = (\mathbf{x}_u \cdot \mathbf{x}_v)_u$$

$$\mathbf{x}_{uv} \cdot \mathbf{x}_v = \frac{1}{2}(\mathbf{x}_u \cdot \mathbf{x}_v)_u = \frac{1}{2}G_u$$

$$\blacksquare \quad \mathbf{x}_{uu} \cdot \mathbf{x}_v = F_u - \frac{1}{2}E_v$$

$$\begin{aligned}\mathbf{x}_{uu} \cdot \mathbf{x}_v &= \mathbf{x}_{uu} \cdot \mathbf{x}_v + \mathbf{x}_u \cdot \mathbf{x}_{vu} - \mathbf{x}_u \cdot \mathbf{x}_{vu} \\ &= (\mathbf{x}_{uu} \cdot \mathbf{x}_v + \mathbf{x}_u \cdot \mathbf{x}_{vu}) - \frac{1}{2}(\mathbf{x}_{uv} \cdot \mathbf{x}_u + \mathbf{x}_u \cdot \mathbf{x}_{uv})\end{aligned}$$

$$= (\mathbf{x}_u \cdot \mathbf{x}_v)_u - \frac{1}{2}(\mathbf{x}_u \cdot \mathbf{x}_u)_v$$

$$= F_u - \frac{1}{2}E_v$$

$$\blacksquare \quad \mathbf{x}_{vv} \cdot \mathbf{x}_v = \frac{1}{2}(\mathbf{x}_v \cdot \mathbf{x}_v)_v = \frac{1}{2}G_v$$

$$\begin{aligned}\mathbf{x}_v \cdot \mathbf{x}_{vv} &= (\mathbf{x}_v \cdot \mathbf{x}_{vv} + \mathbf{x}_{vv} \cdot \mathbf{x}_v) - \mathbf{x}_{vv} \cdot \mathbf{x}_v \\ &= (\mathbf{x}_v \cdot \mathbf{x}_v)_v - \mathbf{x}_{vv} \cdot \mathbf{x}_v\end{aligned}$$

$$2\mathbf{x}_v \cdot \mathbf{x}_{vv} = (\mathbf{x}_v \cdot \mathbf{x}_v)_v$$

$$\mathbf{x}_v \cdot \mathbf{x}_{vv} = \frac{1}{2}(\mathbf{x}_v \cdot \mathbf{x}_v)_v = \frac{1}{2}G_v$$

จะได้

$$\mathbf{x}_{uu} \cdot \mathbf{x}_u = \Gamma_{11}^1 E + \Gamma_{11}^2 F = \frac{1}{2}E_u \quad (2.27)$$

$$\mathbf{x}_{uu} \cdot \mathbf{x}_v = \Gamma_{11}^1 F + \Gamma_{11}^2 G = F_u - \frac{1}{2}E_v$$

$$\mathbf{x}_{uv} \cdot \mathbf{x}_u = \Gamma_{12}^1 E + \Gamma_{12}^2 F = \frac{1}{2}E_v \quad (2.28)$$

$$\mathbf{x}_{uv} \cdot \mathbf{x}_v = \Gamma_{12}^1 F + \Gamma_{12}^2 G = \frac{1}{2}G_u$$

$$\mathbf{x}_{vv} \cdot \mathbf{x}_u = \Gamma_{22}^1 E + \Gamma_{22}^2 F = F_v - \frac{1}{2}G_v \quad (2.29)$$

$$\mathbf{x}_{vv} \cdot \mathbf{x}_v = \Gamma_{22}^1 F + \Gamma_{22}^2 G = \frac{1}{2}G_v$$

จากสมการ (2.27) สามารถเขียนในรูปเมทริกซ์ได้ นั่นคือ

เอกสารนี้เป็นเอกสารที่สงวนไว้สำหรับการใช้งานเพื่อการศึกษาเท่านั้น ไม่อนุญาตให้นำไปใช้ประโยชน์ด้านการค้า ไม่ว่าจะกรณีใดๆ ทั้งสิ้น อีกทั้งห้ามมิให้ดัดแปลงเนื้อหา และต้องอ้างอิงถึงเจ้าของเอกสารทุกครั้งที่มีการนำไปใช้

$$\begin{bmatrix} E & F \\ F & G \end{bmatrix} \begin{bmatrix} \Gamma_{11}^1 \\ \Gamma_{11}^2 \end{bmatrix} = \begin{bmatrix} \frac{1}{2}E_u \\ F_u - \frac{1}{2}E_v \end{bmatrix} \quad (2.30)$$

จากกฎของคราเมอร์ (Cramer's Rule) จะได้

$$\Gamma_{11}^1 = \frac{\begin{vmatrix} \frac{1}{2}E_u & F \\ F_u - \frac{1}{2}E_v & G \end{vmatrix}}{\begin{vmatrix} E & F \\ F & G \end{vmatrix}} = \frac{\frac{1}{2}E_u G - FF_u - \frac{1}{2}FE_v}{EG - F^2} \quad (2.31)$$

$$\Gamma_{11}^2 = \frac{\begin{vmatrix} E & \frac{1}{2}E_u \\ F & F_u - \frac{1}{2}E_v \end{vmatrix}}{\begin{vmatrix} E & F \\ F & G \end{vmatrix}} = \frac{EF_u - \frac{1}{2}EE_v - \frac{1}{2}FE_u}{EG - F^2} \quad (2.32)$$

ในทำนองเดียวกัน จากสมการ (2.30) จะได้

$$\Gamma_{12}^1 = \frac{\frac{1}{2}E_v G - \frac{1}{2}FG_u}{EG - F^2} \quad (2.33)$$

$$\Gamma_{12}^2 = \frac{\frac{1}{2}G_u E - \frac{1}{2}FE_v}{EG - F^2} \quad (2.34)$$

$$\Gamma_{22}^1 = \frac{F_v G - \frac{1}{2}G_u G - \frac{1}{2}FG_v}{EG - F^2} \quad (2.35)$$

$$\Gamma_{22}^2 = \frac{\frac{1}{2}EG_v - F_v F + \frac{1}{2}G_u F}{EG - F^2} \quad (2.36)$$

เนื่องจากคู่อันดับ (u, v) เป็นคู่อันดับเชิงตั้งฉาก (Orthogonal) จากสมการ (2.19) นั่นคือ $F(u, v) = 0$ จะได้

$$\begin{aligned} \Gamma_{11}^1 &= \frac{E_u}{2E}, \Gamma_{12}^1 = \frac{E_v}{2E}, \\ \Gamma_{22}^1 &= \frac{-G_u}{2E}, \Gamma_{11}^2 = \frac{-E_v}{2G}, \\ \Gamma_{12}^2 &= \frac{G_u}{2G}, \Gamma_{22}^2 = \frac{G_v}{2G} \end{aligned} \quad (2.37)$$

เอกสารนี้เป็นเอกสารที่สงวนไว้สำหรับการใช้งานเพื่อการศึกษาเท่านั้น ไม่อนุญาตให้นำไปใช้ประโยชน์ด้านการค้า ไม่ว่าจะกรณีใดๆ ทั้งสิ้น อีกทั้งห้ามมิให้ดัดแปลงเนื้อหา และต้องอ้างอิงถึงเจ้าของเอกสารทุกครั้งที่มีการนำไปใช้

2.1.11 จีออเดซิก (Geodesics) [2]

นิยาม 2.29 ให้ $S \subset \mathbb{R}^2$ เป็นพื้นผิวที่หาอนุพันธ์ได้ และให้ $\alpha : (a, b) \rightarrow S$ เป็นฟังก์ชันที่หาอนุพันธ์ได้ แล้ว เส้นโค้ง α เป็นจีออเดซิก ก็ต่อเมื่อ

$$\frac{d\alpha'}{dt} = 0 \text{ สำหรับทุก } t \in (a, b)$$

หรือ $\alpha''(t) = 0$ สำหรับทุก $t \in (a, b)$

2.1.11.1 จีออเดซิกในระนาบ

จากนิยาม 2.29 จะได้ว่า จีออเดซิกในระนาบคือเส้น $\alpha : (a, b) \rightarrow \mathbb{R}^2$ ซึ่ง $\alpha''(t) = 0$ สำหรับทุก $t \in (a, b)$

ให้ $ax + by = c$ เป็นสมการที่ให้กราฟเป็นเส้นตรงในระนาบ xy เมื่อ a, b และ c เป็นค่าคงที่ แล้วสามารถจัดสมการให้อยู่ในรูปแบบอิงพารามิเตอร์ โดยให้

$$x = mt + p \text{ เมื่อ } m \text{ และ } p \text{ เป็นค่าคงที่ แล้ว } a(mt + p) + by = c$$

จะได้ $y = nt + q$ เมื่อ $n = \frac{-am}{b}$ และ $q = \frac{c - ap}{b}$

ดังนั้น α ในรูปแบบอิงพารามิเตอร์ t ของเส้นตรงในระนาบ คือ $\alpha(t) = (mt + p, nt + q)$

เมื่อ m, n, p และ q เป็นค่าคงที่

โดยการหาอนุพันธ์ของ α ได้ $\alpha'(t) = (m, n)$ และเมื่อหาอนุพันธ์ซ้ำได้ $\alpha''(t) = 0$

นั่นคือเส้นตรงเป็นจีออเดซิกในระนาบ

2.1.11.2 จีออเดซิกในพื้นที่ผิว

ถ้าให้ α เป็นเส้นโค้งในพื้นที่ผิว S ใน \mathbb{R}^3 ซึ่ง $\alpha''(t) = 0$ แล้วไม่สามารถหาสมการเส้นโค้ง α ได้ เนื่องจาก ถ้า $\alpha''(t) = 0$ แล้ว $\alpha'(t) = (m, n)$ เมื่อ m และ n เป็นค่าคงที่ และจะได้ $\alpha(t) = (mt + p, nt + q)$ เมื่อ m, n, p และ q เป็นค่าคงที่ ซึ่งเป็นสมการเส้นตรงไม่ใช่เส้นโค้ง

แต่เนื่องจาก $\alpha''(t) = 0$ แล้ว $\alpha(t)$ เป็นเวกเตอร์ค่าคงที่ และ $|\alpha(t)|$ เป็นค่าคงที่ ดังนั้นจะใช้สมบัติการเป็นเส้นโค้งที่มีอัตราเร็วคงที่ในการพิจารณาว่าเส้นโค้งเป็นจีออเดซิกในพื้นที่ผิวที่กำหนดหรือไม่

บทตั้ง 2.3 [2] จีออเดซิกเป็นเส้นโค้งที่มีอัตราเร็วคงที่

พิสูจน์ จากนิยาม 2.29 เส้นโค้ง $\alpha(t)$ ในพื้นที่ผิวที่หาอนุพันธ์ได้ S เป็นจีออเดซิก ก็ต่อเมื่อ

$$\alpha''(t) = 0$$

เอกสารนี้เป็นเอกสารที่สงวนไว้สำหรับการใช้งานเพื่อการศึกษาเท่านั้น ไม่อนุญาตให้นำไปใช้ประโยชน์ด้านการค้า ไม่ว่ากรณีใดๆ ทั้งสิ้น อีกทั้งห้ามมิให้ดัดแปลงเนื้อหา และต้องอ้างอิงถึงเจ้าของเอกสารทุกครั้งที่มีการนำไปใช้

ดังนั้นในการพิสูจน์ช่วงแรกจะต้องแสดงว่า

ถ้า $\alpha''(t) = 0$ แล้ว $\alpha(t)$ เป็นเส้นโค้งที่มีอัตราเร็วคงที่

และในทางกลับกันจะต้องแสดงว่า

ถ้า $\alpha(t)$ เป็นเส้นโค้งที่มีอัตราเร็วคงที่ แล้ว $\alpha''(t) = 0$

การพิสูจน์ช่วงแรก

ถ้า $\alpha''(t) = 0$ แล้ว $\alpha'(t) = (m, n)$ เมื่อ m และ n เป็นค่าคงที่ และจะได้ $|\alpha'(t)| = \sqrt{m^2 + n^2}$ นั่นคือ $\alpha(t)$ เป็นเส้นโค้งที่มีอัตราเร็วคงที่ การพิสูจน์ช่วงหลัง

ถ้า $\alpha(t)$ เป็นเส้นโค้งที่มีอัตราเร็วคงที่ แล้ว $|\alpha'(t)| = c$ เมื่อ c เป็นค่าคงที่ที่ไม่ใช่ศูนย์ เนื่องจาก $\alpha'(t) \cdot \alpha'(t) = |\alpha'(t)|^2$ ดังนั้น $\alpha'(t) \cdot \alpha'(t) = c^2$ โดยการหาอนุพันธ์ซ้ำจะได้

$$\alpha'(t) \cdot \alpha''(t) + \alpha''(t) \cdot \alpha'(t) = 0$$

นั่นคือ $\alpha'(t) \cdot \alpha''(t) = 0$

มีกรณีที่เป็นไปได้สองกรณีคือ $\alpha'(t) = 0$ หรือ $\alpha''(t) = 0$

พิจารณากรณี $\alpha'(t) = 0$ จะได้ $|\alpha'(t)| = 0$ ซึ่งเกิดข้อขัดแย้ง

แสดงว่า $\alpha'(t) \neq 0$ ดังนั้นสมการเป็นจริงเมื่อ $\alpha''(t) = 0$

จากการพิสูจน์ทั้งสองกรณี สรุปได้ว่าเส้นโค้งในพื้นผิวเป็นจีโอเดสิกก็ต่อเมื่อเส้นโค้งเป็นเส้นโค้งอัตราเร็วคงที่

#

จากบทตั้ง 2.1 สามารถสรุปได้ว่า

ถ้า $\alpha(t): (a, b) \rightarrow S$ เป็นเส้นโค้งในพื้นผิว S และ $\alpha'(t)$ เป็นจีโอเดสิกใน S แล้ว

$$\alpha''(t) \cdot \alpha'(t) = 0$$

เนื่องจากผลคูณเชิงสเกลาร์ของเวกเตอร์สองเวกเตอร์ใดๆเป็นศูนย์แล้วเวกเตอร์ทั้งสองตั้งฉากซึ่งกันและกัน ดังนั้น $\alpha''(t)$ และ $\alpha'(t)$ ตั้งฉากซึ่งกันและกัน และเนื่องจาก $\alpha'(t)$ เป็นเวกเตอร์ในแนวสัมผัสกับพื้นผิว ดังนั้นถ้า $\alpha(t): (a, b) \rightarrow S$ เป็นเส้นโค้งในพื้นผิว S แล้ว $\alpha'(t)$ เป็นจีโอเดสิกใน S ถ้า $\alpha''(t)$ ตั้งฉากกับระนาบสัมผัสกับพื้นผิว S ณ แต่ละค่าของ t ซึ่ง $t \in (a, b)$

ตัวอย่าง 2.7 จงแสดงว่าวงกลมใหญ่ในทรงกลมเป็นจีโอเดสิก

วิธีทำ ให้ a เป็นรัศมีของทรงกลม แล้วสมการของทรงกลมใหญ่เมื่อพิจารณาในระนาบ xy คือ

$$\mathbf{x}(t) = (a \cos t, a \sin t, 0) \quad (2.38)$$

โดยการหาอนุพันธ์ได้

เอกสารนี้เป็นเอกสารที่สงวนไว้สำหรับการใช้งานเพื่อการศึกษาเท่านั้น ไม่อนุญาตให้นำไปใช้ประโยชน์ด้านการค้า ไม่ว่าจะกรณีใดๆ ทั้งสิ้น อีกทั้งห้ามมิให้ดัดแปลงเนื้อหา และต้องอ้างอิงถึงเจ้าของเอกสารทุกครั้งที่มีการนำไปใช้

$$\mathbf{x}'(t) = (-a \sin t, a \cos t, 0)$$

และ

$$\mathbf{x}''(t) = (-a \cos t, -a \sin t, 0)$$

เนื่องจาก

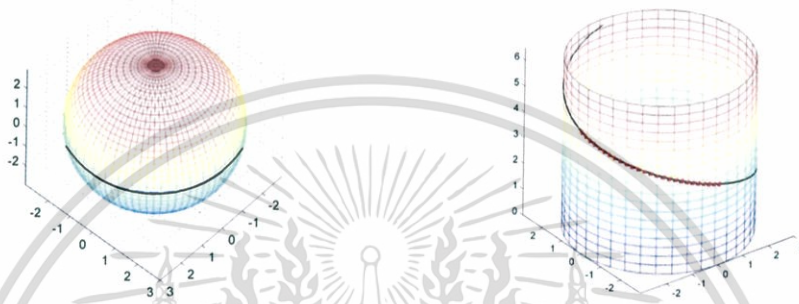
$$|\mathbf{x}'(t)| = \sqrt{a^2 \sin^2 t + a^2 \cos^2 t} = a \neq 0$$

แล้ว $\mathbf{x}(t)$ เป็นจีโอเดซิก นอกจากนี้ผลคูณเชิงสเกลาร์ของ $\mathbf{x}'(t)$ และ $\mathbf{x}''(t)$ คือ

$$\mathbf{x}'(t) \cdot \mathbf{x}''(t) = a^2 \cos t \sin t - a^2 \sin t \cos t + 0 = 0$$

นั่นคือวงกลมใหญ่ในทรงกลมเป็นจีโอเดซิกดังรูปที่ 2.17

#



รูปที่ 2.17

จีโอเดซิกในทรงกลม

รูปที่ 2.18

จีโอเดซิกในทรงกระบอกกลม

ตัวอย่าง 2.8 จงแสดงว่าเส้นเกลียวในทรงกระบอกกลมเป็นจีโอเดซิก

วิธีทำ ให้ a เป็นรัศมีของทรงกระบอกกลม และแกน z เป็นแกนของทรงกระบอก แล้วสมการของเส้นเกลียวในทรงกระบอกกลมที่ระยะช่วงเกลียวมีค่า b คือ

$$\mathbf{x}(t) = (a \cos t, a \sin t, bt) \quad (2.39)$$

โดยการหาอนุพันธ์ได้

$$\mathbf{x}'(t) = (-a \sin t, a \cos t, b)$$

และ

$$\mathbf{x}''(t) = (-a \cos t, -a \sin t, 0)$$

เนื่องจาก

$$|\mathbf{x}'(t)| = \sqrt{a^2 \sin^2 t + a^2 \cos^2 t + b^2} = \sqrt{a^2 + b^2} \neq 0$$

แล้ว $\mathbf{x}(t)$ เป็นจีโอเดซิก นอกจากนี้ผลคูณเชิงสเกลาร์ของ $\mathbf{x}'(t)$ และ $\mathbf{x}''(t)$ คือ

$$\mathbf{x}'(t) \cdot \mathbf{x}''(t) = a^2 \cos t \sin t - a^2 \sin t \cos t + 0 = 0$$

นั่นคือว่าเส้นเกลียวในทรงกระบอกกลมเป็นจีโอเดซิกดังรูปที่ 2.17

#

2.1.11.3 รูปแบบอิงพารามิเตอร์ของเส้นโค้งกับการเป็นจีโอเดซิก [2]

เส้นโค้ง $\beta(t): (-\infty, \infty) \rightarrow \mathbb{R}^3$ ที่กำหนดโดย $\beta(t) = (t^3, t^3, 0)$ ให้ภาพเป็นเส้นตรงใน

ระนาบ แต่พบว่า

เอกสารนี้เป็นเอกสารที่สงวนไว้สำหรับการใช้งานเพื่อการศึกษาเท่านั้น ไม่อนุญาตให้นำไปใช้ประโยชน์ด้านการค้า ไม่ว่าจะกรณีใดๆ ทั้งสิ้น อีกทั้งห้ามมิให้ดัดแปลงเนื้อหา และต้องอ้างอิงถึงเจ้าของเอกสารทุกครั้งที่มีการนำไปใช้

$$\beta'(t) = (3t^2, 3t^2, 0)$$

และ

$$\beta''(t) = (6t, 6t, 0)$$

$$\text{แล้ว } \beta'(t) \cdot \beta''(t) = 18t^3 + 18t^3 + 0 = 36t^3$$

นั่นคือ $\beta'(t) \cdot \beta''(t) \neq 0$ ยกเว้นเมื่อ $t=0$ แล้ว $\beta'(0) \cdot \beta''(0) = 0$

จากบทตั้ง 2.3 พบว่าจีโอเดซิกเป็นเส้นโค้งที่มีอัตราเร็วคงที่ ดังนั้นจึงต้องจัดเส้นโค้งให้อยู่ในรูปแบบอิงพารามิเตอร์อัตราเร็วหนึ่งหน่วย (parametrized unit speed) ดังตัวอย่างต่อไปนี้

จากสมการของทรงกลมใหญ่ $\mathbf{x}(t) = (a \cos t, a \sin t, 0)$ และ

$$|\mathbf{x}'(t)| = \sqrt{a^2 \sin^2 t + a^2 \cos^2 t} = a \neq 0$$

สามารถจัดเป็นรูปแบบอิงพารามิเตอร์อัตราเร็วหนึ่งหน่วยได้โดยเริ่มต้นด้วยการหาฟังก์ชันความยาวของเส้นกราฟ $s(t)$ โดย $s(t) = \int_0^t |\mathbf{x}'(\tau)| d\tau = \int_0^t a d\tau = at$

$$\text{ดังนั้น } t = \frac{s}{a} = t(s) \quad \text{นั่นคือ } s = at$$

$$\text{จะได้ } \tilde{\mathbf{x}}(s) = \mathbf{x}(t(s)) = \left(a \cos \frac{s}{a}, a \sin \frac{s}{a}, 0 \right)$$

โดยการหาอนุพันธ์ได้

$$\tilde{\mathbf{x}}'(s) = \left(-\sin \frac{s}{a}, \cos \frac{s}{a}, 0 \right)$$

และ

$$|\tilde{\mathbf{x}}'(s)| = \sqrt{\sin^2 \frac{s}{a} + \cos^2 \frac{s}{a}} = 1$$

จากบทตั้ง 2.3 ได้ว่า $\tilde{\mathbf{x}}(s)$ เป็นจีโอเดซิก

บทตั้ง 2.4 [2] ให้ $\alpha : [a, b] \rightarrow \mathbb{R}^3$ เป็นเส้นโค้งที่หาอนุพันธ์ได้ทุกอันดับ ซึ่ง α' ไม่เป็นศูนย์ใน $[a, b]$ แล้ว สามารถจัด α เป็นรูปแบบอิงพารามิเตอร์ความยาวเส้นโค้ง และถ้า $\tilde{\alpha}(s)$ อยู่ในรูปแบบอิงพารามิเตอร์ความยาวเส้นโค้งแล้ว $|\tilde{\alpha}'(s)| = 1$

พิสูจน์ ให้ $L(\alpha)$ เป็นความยาวของเส้นโค้ง α ในช่วง $[a, b]$

$s(t)$ เป็นฟังก์ชันความยาวเส้นโค้ง α ในช่วง $[a, b]$ แล้ว

$$s(t) = \int_0^t \alpha'(\tau) d\tau \text{ เมื่อ } s(a) = 0 \text{ และ } s(b) = L(\alpha)$$

โดยการหาอนุพันธ์ได้

$$\frac{d}{dt} s(t) = \|\alpha'(t)\| > 0$$

ดังนั้น $s(t)$ เป็นฟังก์ชันเพิ่มขึ้นทางเดียวแท้จริง จะได้ $s = s(t)$ มีฟังก์ชันผกผัน $t = t(s)$ ซึ่งหาอนุพันธ์ได้ทุกอันดับเมื่อ $s \in [0, L(\alpha)]$ และ $t \in [a, b]$

ให้ $\tilde{\alpha}(s) = \alpha(t(s))$ จะได้ $\tilde{\alpha}[0, L(\alpha)] = \alpha[a, b]$

เอกสารนี้เป็นเอกสารที่สงวนไว้สำหรับการใช้งานเพื่อการศึกษาเท่านั้น ไม่อนุญาตให้นำไปใช้ประโยชน์ด้านการค้า ไม่ว่าจะกรณีใดๆ ทั้งสิ้น อีกทั้งห้ามมิให้ดัดแปลงเนื้อหา และต้องอ้างอิงถึงเจ้าของเอกสารทุกครั้งที่มีการนำไปใช้

และ
$$\tilde{\alpha}'(s) = \alpha'(t(s)) = \frac{d}{dt} \alpha(t(s)) \frac{dt}{ds} = \frac{\alpha'(t)}{\frac{ds}{dt}} = \frac{\alpha'(t)}{|\alpha'(t)|}$$

นั่นคือ $\tilde{\alpha}'(s)$ เป็นเวกเตอร์สัมผัสหนึ่งหน่วยกับเส้นกราฟ c และ $|\alpha'(t)| = 1$ □

นิยาม 2.30 [10] ให้ $\alpha : [a, b] \rightarrow \mathbb{R}^3$ เป็นเส้นโค้งที่หาอนุพันธ์ได้ทุกอันดับ ถ้า α อยู่ในรูปแบบอิงพารามิเตอร์ความยาวเส้นโค้ง แล้ว จะกล่าวว่า α เป็นภาวะอิงพารามิเตอร์อัตราเร็วหนึ่งหน่วย

ทฤษฎีบท 2.5[10] $\alpha : (a, b) \rightarrow \mathbb{R}^3$ เป็นจีโอเดสิกในพื้นผิวก็ต่อเมื่อ α เป็นเส้นโค้งอิงพารามิเตอร์อัตราเร็วหนึ่งหน่วย

พิสูจน์ จากบทตั้ง 2.3 และ บทตั้ง 2.4 การพิสูจน์เสร็จสมบูรณ์ □

นิยาม 2.31 [10] ให้ $\alpha : [a, b] \rightarrow S$ เป็นเส้นโค้งที่หาอนุพันธ์ได้ในพื้นผิว S แล้วเส้นโค้ง α เรียกว่า จีโอเดสิกบน S ถ้า $\alpha''(s)$ ตั้งฉากกับปริภูมิสัมผัส $T_{\alpha(s)}(S)$ สำหรับแต่ละ $s \in (a, b)$

จากนิยาม 2.31 จะได้ว่า $\alpha'(s)$ เป็นเวกเตอร์ในแนวเส้นสัมผัสกับเส้นโค้ง $\alpha(s)$ ดังนั้น $\alpha'(s)$ อยู่ในปริภูมิสัมผัส $T_{\alpha(s)}(S)$ และ $\alpha'(s)$ ตั้งฉากกับ $\alpha''(s)$ นั่นคือ

$$\alpha'(s) \cdot \alpha''(s) = 0 \quad (2.40)$$

นิยาม 2.32 [10] ให้ $c : [a, b] \rightarrow S$ เป็นเส้นโค้งที่หาอนุพันธ์ได้ทุกอันดับ บนพื้นผิว S วงศ์เส้นโค้ง (Family of curves) $\{\psi_\tau; \tau \in (-\varepsilon, \varepsilon)\}$ นิยามบน $[a, b]$ ที่อยู่บน S จะเรียกว่า การแปรผัน (Variation) ของ c ถ้า $\psi_0 = c$, $\psi_{\tau(s)} = c(s)$ ณ $s = a, b$ และการส่ง

$$\Psi : [a, b] \times (-\varepsilon, \varepsilon) \rightarrow S$$

นิยามให้ $\Psi(t, \tau) = \psi_\tau(t)$ สามารถหาอนุพันธ์ได้ทุกอันดับ

บทตั้ง 2.5 [10] ให้ $\psi_\tau; \tau \in (-\varepsilon, \varepsilon)$ เป็นการแปรผันของเส้นโค้ง c ที่หาอนุพันธ์ได้ทุกอันดับ $\alpha : [a, b] \rightarrow S$ ซึ่งทำให้ $l := |\alpha'(t)|$ เป็นค่าคงที่บวก แล้ว

$$\frac{d}{d\tau} \Big|_0 L(\psi_\tau) = -\frac{1}{l} \int_a^b \psi_\tau(t, 0) \cdot \alpha''(t) dt \quad (2.41)$$

เป็นจริง

ทฤษฎีบท 2.6 [10] ให้ $\alpha : [a, b] \rightarrow S$ เป็นเส้นโค้งที่หาอนุพันธ์ได้ทุกอันดับบน S เมื่อ $|\alpha'(t)| \equiv |\alpha'(a)|$ แล้ว α เป็นจีโอเดซิกบน S ก็ต่อเมื่อ ทุกๆ การแปรผัน $\{\psi_\tau\}_\tau$ ของ α

$$\left. \frac{\partial}{\partial \tau} \right|_0 L(\psi_\tau) = 0 \quad (2.41)$$

บทแทรก 2.1 [10] กำหนดให้ $\alpha : [a, b] \rightarrow S$ เป็นเส้นโค้งที่หาอนุพันธ์ได้ทุกอันดับบน S เมื่อ $|\alpha'(t)| \equiv |\alpha'(a)| > 0$ ถ้า α เป็นเส้นโค้งที่สั้นที่สุดที่เชื่อมระหว่าง $\alpha(a)$ และ $\alpha(b)$ บน S แล้ว α เป็นจีโอเดซิกบน S

ทฤษฎีบท 2.7 [10] ให้ $\alpha(s) = \mathbf{x}(u_1(s), u_2(s))$ เป็นเส้นโค้งที่หาอนุพันธ์ได้ทุกอันดับบน พื้นผิว S แล้ว α เป็นจีโอเดซิก ก็ต่อเมื่อ α เป็นไปตามสมการเชิงอนุพันธ์ต่อไปนี้

$$u_i''(s) + \sum_{j,k=1}^2 \Gamma_{ij}^k(u_1(s), u_2(s)) u_j'(s) u_k'(s) = 0, \quad (i=1, 2) \quad (2.42)$$

พิสูจน์ จากสมการ

$$\alpha(s) = \mathbf{x}(u_1(s), u_2(s))$$

โดยการหาอนุพันธ์เทียบกับ s จะได้

$$\alpha'(s) = \mathbf{x}_{u_1} u_1' + \mathbf{x}_{u_2} u_2'$$

หรือ

$$\alpha'(s) = \sum_{i=1}^2 \mathbf{x}_i(u_1(s), u_2(s)) u_i'(s)$$

จากสมการ (2.21) จะได้ว่า

$$\begin{aligned} \alpha''(s) &= \sum_{i=1}^2 \mathbf{x}_i(u_1(s), u_2(s)) u_i''(s) + \sum_{i,j,k=1}^2 \Gamma_{ij}^k \mathbf{x}_k(u_1(s), u_2(s)) u_i'(s) u_j'(s) \\ &\quad + \left(\sum_{i,j=1}^2 \mathbf{x}_{ij}(u_1(s), u_2(s)) u_i'(s) u_j'(s) \right) \mathbf{e}(u_1(s), u_2(s)) \end{aligned}$$

ถ้า α เป็นจีโอเดซิกแล้ว $\alpha''(s)$ ตั้งฉากกับ S ดังนั้นจากสมการข้างต้นจะได้

$$\sum_{k=1}^2 \left(u_k''(s) + \sum_{i,j=1}^2 \Gamma_{ij}^k(u_1(s), u_2(s)) u_i'(s) u_j'(s) \right) \mathbf{x}_k(u_1(s), u_2(s)) = 0$$

เนื่องจาก $\{\mathbf{x}_1(u_1(s), u_2(s)), \mathbf{x}_2(u_1(s), u_2(s))\}$ เป็นอิสระเชิงเส้น ดังนั้นจะได้สมการเชิงอนุพันธ์

$$u_i''(s) + \sum_{j,k=1}^2 \Gamma_{ij}^k(u_1(s), u_2(s)) u_j'(s) u_k'(s) = 0, \quad (i=1, 2)$$

ในทางตรงกันข้าม ถ้า $u_i''(s) + \sum_{j,k=1}^2 \Gamma_{ij}^k(u_1(s), u_2(s)) u_j'(s) u_k'(s) = 0, \quad (i=1, 2)$ เป็นจริงแล้ว

$$\alpha''(s) = \left(\sum_{i,j=1}^2 h_{ij} u_i' u_j' \right) \mathbf{e}(u_1(s), u_2(s))$$

นั่นคือ α เป็นจีโอเดซิกบน S

เอกสารนี้เป็นเอกสารที่สงวนไว้สำหรับการใช้งานเพื่อการศึกษาเท่านั้น ไม่อนุญาตให้นำไปใช้ประโยชน์ในการค้า
ไม่ว่ากรณีใดๆ ทั้งสิ้น อีกทั้งห้ามมิให้ดัดแปลงเนื้อหา และต้องอ้างอิงถึงเจ้าของเอกสารทุกครั้งที่มีการนำไปใช้

ทฤษฎีบท 2.8 [10] จีออเดซิก $\alpha(s) = \mathbf{x}(u(s), v(s))$ บนพื้นผิวของการหมุน S ใน \mathbb{R}^3 เป็นไปตามสมการเชิงอนุพันธ์ต่อไปนี้

$$u'' + \frac{E_u}{2E} u'^2 + \frac{E_v}{E} u'v' - \frac{G_u}{2E} v'^2 = 0 \quad (2.43)$$

$$v'' - \frac{E_v}{2G} u'^2 + \frac{G_u}{G} u'v' + \frac{G_v}{2G} v'^2 = 0 \quad (2.44)$$

ในทางกลับกัน เส้นโค้ง $\alpha(s) = \mathbf{x}(u(s), v(s))$ ใน S เป็นไปตามสมการ (2.43) และ (2.44) ซึ่งเป็นจีออเดซิกบนการหมุน S

นิยาม 2.33 [10] ให้ p เป็นจุดใดๆบนพื้นผิว S แล้วสำหรับแต่ละ $\mathbf{a} \in T_p(S)$ มีจีออเดซิกเพียงหนึ่งเดียว $\alpha: (-\varepsilon, \varepsilon) \rightarrow S$ ซึ่ง $\alpha(0) = p, \alpha'(0) = \mathbf{a}$

สามารถพิจารณาในการหาสมการจีออเดซิกอีกรูปแบบหนึ่ง ดังนี้

ให้ c เป็นเส้นโค้งจีออเดซิก (geodesic curve) บนพื้นผิว $\alpha = \mathbf{x}(u(s), v(s))$ เพราะว่าเป็นพื้นผิวปกติที่มี n เป็นเส้นปกติ (เส้นตั้งฉากกับพื้นผิวซึ่งตั้งฉากกับทุกเส้นโค้ง c ที่อยู่บนพื้นผิวด้วย)



รูปที่ 2.19 เส้นตั้งฉากกับพื้นผิว

$$n \cdot \mathbf{x}_u = 0 \quad \text{และ} \quad n \cdot \mathbf{x}_v = 0 \quad (2.45)$$

เนื่องจาก $\alpha = \mathbf{x}(u(s), v(s))$ หาอนุพันธ์เทียบกับความยาวของส่วนโค้ง จะได้ เวกเตอร์สัมผัสหนึ่งหน่วยของเส้นโค้ง c นั่นคือ

$$t = \frac{d\mathbf{x}}{ds}(u(s), v(s)) = \mathbf{x}_u \frac{du}{ds} + \mathbf{x}_v \frac{dv}{ds} \quad (2.46)$$

อนุพันธ์ของเวกเตอร์สัมผัสหนึ่งหน่วยของเส้นโค้ง c บนพื้นผิว S เทียบกับความยาวของส่วนโค้งคือ

$$\frac{dt}{ds} = \mathbf{x}_u \frac{d^2u}{ds^2} + \frac{du}{ds} \left[\mathbf{x}_{uu} \frac{du}{ds} + \mathbf{x}_{uv} \frac{dv}{ds} \right] + \mathbf{x}_v \frac{d^2v}{ds^2} + \frac{dv}{ds} \left[\mathbf{x}_{vu} \frac{du}{ds} + \mathbf{x}_{vv} \frac{dv}{ds} \right]$$

เอกสารนี้เป็นเอกสารที่สงวนไว้สำหรับการใช้งานเพื่อการศึกษาเท่านั้น ไม่อนุญาตให้นำไปใช้ประโยชน์ด้านการค้า ไม่ว่าจะกรณีใดๆ ทั้งสิ้น อีกทั้งห้ามมิให้ดัดแปลงเนื้อหา และต้องอ้างอิงถึงเจ้าของเอกสารทุกครั้งที่มีการนำไปใช้

$$\begin{aligned}
&= \mathbf{x}_u \frac{d^2u}{ds^2} + \mathbf{x}_{uu} \left(\frac{du}{ds} \right)^2 + \mathbf{x}_{uv} \frac{du}{ds} \frac{dv}{ds} + \mathbf{x}_v \frac{d^2v}{ds^2} + \mathbf{x}_{vu} \frac{du}{ds} \frac{dv}{ds} + \mathbf{x}_{vv} \left(\frac{dv}{ds} \right)^2 \\
\frac{dt}{ds} &= \mathbf{x}_{uu} \left(\frac{du}{ds} \right)^2 + 2\mathbf{x}_{uv} \frac{du}{ds} \frac{dv}{ds} + \mathbf{x}_{vv} \left(\frac{dv}{ds} \right)^2 + \mathbf{x}_u \left(\frac{d^2u}{ds^2} \right) + \mathbf{x}_v \left(\frac{d^2v}{ds^2} \right) \quad (2.47)
\end{aligned}$$

จาก Frenet –Serret ที่นิยามโดย $\kappa n = \frac{dt}{ds}$ เมื่อ κ เป็นค่าความโค้ง

และจากสมการ(2.45) และ (2.47) จะได้

$$n \cdot \mathbf{x}_u = \frac{dt}{ds} \cdot \mathbf{x}_u = \kappa n \cdot \mathbf{x}_u = 0 \quad (2.48)$$

เพราะฉะนั้น

$$\begin{aligned}
0 &= \left[\mathbf{x}_{uu} \left(\frac{du}{ds} \right)^2 + 2\mathbf{x}_{uv} \frac{du}{ds} \frac{dv}{ds} + \mathbf{x}_{vv} \left(\frac{dv}{ds} \right)^2 + \mathbf{x}_u \left(\frac{d^2u}{ds^2} \right) + \mathbf{x}_v \left(\frac{d^2v}{ds^2} \right) \right] \cdot \mathbf{x}_u \\
&= (\mathbf{x}_{uu} \cdot \mathbf{x}_u) \left(\frac{du}{ds} \right)^2 + 2(\mathbf{x}_{uv} \cdot \mathbf{x}_u) \frac{du}{ds} \frac{dv}{ds} + (\mathbf{x}_{vv} \cdot \mathbf{x}_u) \left(\frac{dv}{ds} \right)^2 + (\mathbf{x}_u \cdot \mathbf{x}_u) \left(\frac{d^2u}{ds^2} \right) + (\mathbf{x}_v \cdot \mathbf{x}_u) \left(\frac{d^2v}{ds^2} \right)
\end{aligned}$$

ดังนั้น

$$(\mathbf{x}_{uu} \cdot \mathbf{x}_u) \left(\frac{du}{ds} \right)^2 + 2(\mathbf{x}_{uv} \cdot \mathbf{x}_u) \frac{du}{ds} \frac{dv}{ds} + (\mathbf{x}_{vv} \cdot \mathbf{x}_u) \left(\frac{dv}{ds} \right)^2 + E \left(\frac{d^2u}{ds^2} \right) + F \left(\frac{d^2v}{ds^2} \right) = 0 \quad (2.49)$$

ในทำนองเดียวกัน

$$n \cdot \mathbf{x}_v = \frac{dt}{ds} \cdot \mathbf{x}_v = \kappa n \cdot \mathbf{x}_v = 0$$

$$\begin{aligned}
0 &= \left[\mathbf{x}_{uu} \left(\frac{du}{ds} \right)^2 + 2\mathbf{x}_{uv} \frac{du}{ds} \frac{dv}{ds} + \mathbf{x}_{vv} \left(\frac{dv}{ds} \right)^2 + \mathbf{x}_u \left(\frac{d^2u}{ds^2} \right) + \mathbf{x}_v \left(\frac{d^2v}{ds^2} \right) \right] \cdot \mathbf{x}_v \\
&= (\mathbf{x}_{uu} \cdot \mathbf{x}_v) \left(\frac{du}{ds} \right)^2 + 2(\mathbf{x}_{uv} \cdot \mathbf{x}_v) \frac{du}{ds} \frac{dv}{ds} + (\mathbf{x}_{vv} \cdot \mathbf{x}_v) \left(\frac{dv}{ds} \right)^2 + (\mathbf{x}_u \cdot \mathbf{x}_v) \left(\frac{d^2u}{ds^2} \right) + (\mathbf{x}_v \cdot \mathbf{x}_v) \left(\frac{d^2v}{ds^2} \right)
\end{aligned}$$

ดังนั้น

$$(\mathbf{x}_{uu} \cdot \mathbf{x}_v) \left(\frac{du}{ds} \right)^2 + 2(\mathbf{x}_{uv} \cdot \mathbf{x}_v) \frac{du}{ds} \frac{dv}{ds} + (\mathbf{x}_{vv} \cdot \mathbf{x}_v) \left(\frac{dv}{ds} \right)^2 + F \left(\frac{d^2u}{ds^2} \right) + G \left(\frac{d^2v}{ds^2} \right) = 0 \quad (2.50)$$

เมื่อ E, F, G เป็นสัมประสิทธิ์ของรูปแบบมูลฐานที่หนึ่งของพื้นผิว

กำจัด $\frac{d^2v}{ds^2}$ จากสมการ(2.49) โดยดำเนินการดังนี้

นำ G คูณกับสมการ (2.49) จะได้

$$G \cdot (\mathbf{x}_{uu} \cdot \mathbf{x}_u) \left(\frac{du}{ds} \right)^2 + 2G \cdot (\mathbf{x}_{uv} \cdot \mathbf{x}_u) \frac{du}{ds} \frac{dv}{ds} + G \cdot (\mathbf{x}_{vv} \cdot \mathbf{x}_u) \left(\frac{dv}{ds} \right)^2 + GE \left(\frac{d^2u}{ds^2} \right) + GF \left(\frac{d^2v}{ds^2} \right) = 0 \quad (2.51)$$

นำ F คูณกับสมการ (2.50) จะได้

$$F \cdot (\mathbf{x}_{uu} \cdot \mathbf{x}_v) \left(\frac{du}{ds} \right)^2 + 2F \cdot (\mathbf{x}_{uv} \cdot \mathbf{x}_v) \frac{du}{ds} \frac{dv}{ds} + F \cdot (\mathbf{x}_{vv} \cdot \mathbf{x}_v) \left(\frac{dv}{ds} \right)^2 + F^2 \left(\frac{d^2u}{ds^2} \right) + FG \left(\frac{d^2v}{ds^2} \right) = 0 \quad (2.52)$$

นำสมการ (2.51) - (2.52) จะได้

เอกสารนี้เป็นเอกสารที่สงวนไว้สำหรับการใช้งานเพื่อการศึกษาเท่านั้น ไม่อนุญาตให้นำไปใช้ประโยชน์ด้านการค้า ไม่ว่าจะกรณีใดๆ ทั้งสิ้น อีกทั้งห้ามมิให้ดัดแปลงเนื้อหา และต้องอ้างอิงถึงเจ้าของเอกสารทุกครั้งที่มีการนำไปใช้

$$\begin{aligned} & (G \cdot (\mathbf{x}_{uu} \cdot \mathbf{x}_u) - F \cdot (\mathbf{x}_{uu} \cdot \mathbf{x}_v)) \left(\frac{du}{ds} \right)^2 + 2(G \cdot (\mathbf{x}_{uv} \cdot \mathbf{x}_u) - F \cdot (\mathbf{x}_{uv} \cdot \mathbf{x}_v)) \frac{du}{ds} \frac{dv}{ds} + \\ & (G \cdot (\mathbf{x}_{vv} \cdot \mathbf{x}_u) - F \cdot (\mathbf{x}_{vv} \cdot \mathbf{x}_v)) \left(\frac{dv}{ds} \right)^2 + (GE - F^2) \left(\frac{d^2u}{ds^2} \right) = 0 \end{aligned} \quad (2.53)$$

นำสมการ (2.27) (2.28) และ (2.29) แทนในสมการ (2.53) จะได้

$$\begin{aligned} & \left(G \frac{1}{2} E_u - FF_u + \frac{1}{2} FF_v \right) \left(\frac{du}{ds} \right)^2 + 2 \left(G \frac{1}{2} E_v - F \frac{1}{2} G_u \right) \frac{du}{ds} \frac{dv}{ds} + \left(GF_v - \frac{1}{2} GG_u - \frac{1}{2} FG_v \right) \left(\frac{dv}{ds} \right)^2 + \\ & (GE - F^2) \left(\frac{d^2u}{ds^2} \right) = 0 \end{aligned}$$

จัดรูปใหม่จะได้

$$\frac{d^2u}{ds^2} + \left(\frac{GE_u - 2FF_u + FF_v}{2(EG - F^2)} \right) \left(\frac{du}{ds} \right)^2 + 2 \left(\frac{GE_v - FG_u}{2(EG - F^2)} \right) \frac{du}{ds} \frac{dv}{ds} + \left(\frac{2GF_v - GG_u - FG_v}{2(EG - F^2)} \right) \left(\frac{dv}{ds} \right)^2 = 0 \quad (2.54)$$

เพราะฉะนั้น

$$\frac{d^2u}{ds^2} + \Gamma_{11}^1 \left(\frac{du}{ds} \right)^2 + 2\Gamma_{12}^1 \frac{du}{ds} \frac{dv}{ds} + \Gamma_{22}^1 \left(\frac{dv}{ds} \right)^2 = 0 \quad (2.55)$$

โดยที่

$$\begin{aligned} \Gamma_{11}^1 &= \frac{GE_u - 2FF_u + FF_v}{2(EG - F^2)} \\ \Gamma_{12}^1 &= \frac{GE_v - FG_u}{2(EG - F^2)} \\ \Gamma_{22}^1 &= \frac{2GF_v - GG_u - FG_v}{2(EG - F^2)} \end{aligned}$$

กำจัด $\frac{d^2u}{ds^2}$ จากสมการ(2.49) โดยดำเนินการดังนี้

นำ F คูณกับสมการ (2.49) จะได้

$$F(\mathbf{x}_{uu} \cdot \mathbf{x}_u) \left(\frac{du}{ds} \right)^2 + 2F(\mathbf{x}_{uv} \cdot \mathbf{x}_u) \frac{du}{ds} \frac{dv}{ds} + F(\mathbf{x}_{vv} \cdot \mathbf{x}_u) \left(\frac{dv}{ds} \right)^2 + FE \left(\frac{d^2u}{ds^2} \right) + F^2 \left(\frac{d^2v}{ds^2} \right) = 0 \quad (2.56)$$

นำ E คูณกับสมการ (2.49) จะได้

$$E \cdot (\mathbf{x}_{uu} \cdot \mathbf{x}_v) \left(\frac{du}{ds} \right)^2 + 2E \cdot (\mathbf{x}_{uv} \cdot \mathbf{x}_v) \frac{du}{ds} \frac{dv}{ds} + E \cdot (\mathbf{x}_{vv} \cdot \mathbf{x}_v) \left(\frac{dv}{ds} \right)^2 + FE \left(\frac{d^2u}{ds^2} \right) + EG \left(\frac{d^2v}{ds^2} \right) = 0 \quad (2.57)$$

นำสมการ (2.56)-(2.57)จะได้

$$\begin{aligned} & (E \cdot (\mathbf{x}_{uu} \cdot \mathbf{x}_v) - F \cdot (\mathbf{x}_{uu} \cdot \mathbf{x}_u)) \left(\frac{du}{ds} \right)^2 + 2(E \cdot (\mathbf{x}_{uv} \cdot \mathbf{x}_v) - F \cdot (\mathbf{x}_{uv} \cdot \mathbf{x}_u)) \frac{du}{ds} \frac{dv}{ds} + \\ & (E \cdot (\mathbf{x}_{vv} \cdot \mathbf{x}_v) - F \cdot (\mathbf{x}_{vv} \cdot \mathbf{x}_u)) \left(\frac{dv}{ds} \right)^2 + (EG - F^2) \left(\frac{d^2v}{ds^2} \right) = 0 \end{aligned} \quad (2.58)$$

เอกสารนี้เป็นเอกสารที่สงวนไว้สำหรับการใช้งานเพื่อการศึกษาเท่านั้น ไม่อนุญาตให้นำไปใช้ประโยชน์ด้านการค้า
ไม่ว่ากรณีใดๆ ทั้งสิ้น อีกทั้งห้ามมิให้ดัดแปลงเนื้อหา และต้องอ้างอิงถึงเจ้าของเอกสารทุกครั้งที่มีการนำไปใช้

นำสมการ (2.27) (2.28) และ (2.29) แทนในสมการ (2.58) จะได้

$$\left(EF_u - \frac{1}{2} EE_v - \frac{1}{2} FE_u \right) \left(\frac{du}{ds} \right)^2 + 2 \left(\frac{1}{2} EG_u - F \frac{1}{2} E_v \right) \frac{du}{ds} \frac{dv}{ds} + \left(E \frac{1}{2} G_v - FF_v + \frac{1}{2} FG_u \right) \left(\frac{dv}{ds} \right)^2 + (EG - F^2) \left(\frac{d^2v}{ds^2} \right) = 0$$

จัดรูปใหม่ จะได้

$$\frac{d^2v}{ds^2} + \left(\frac{2EF_u - EE_v - E_u F}{2(EG - F^2)} \right) \left(\frac{du}{ds} \right)^2 + 2 \left(\frac{EG_u - FF_v}{2(EG - F^2)} \right) \frac{du}{ds} \frac{dv}{ds} + \left(\frac{EG_v - 2FF_v + G_u F}{2(EG - F^2)} \right) \left(\frac{dv}{ds} \right)^2 = 0$$

เพราะฉะนั้น

$$\frac{d^2v}{ds^2} + \Gamma_{11}^2 \left(\frac{du}{ds} \right)^2 + 2\Gamma_{12}^2 \frac{du}{ds} \frac{dv}{ds} + \Gamma_{22}^2 \left(\frac{dv}{ds} \right)^2 = 0 \quad (2.59)$$

โดยที่ $\Gamma_{11}^2 = \frac{2EF_u - EE_v - E_u F}{2(EG - F^2)}$ $\Gamma_{12}^2 = \frac{EG_u - FF_v}{2(EG - F^2)}$ $\Gamma_{22}^2 = \frac{EG_v - 2FF_v + G_u F}{2(EG - F^2)}$

นั่นคือ ถ้ากำหนดให้ $u_1(s) = u, u_2(s) = v$ และ $\Gamma_{ij}^k = \frac{1}{2} \sum_{l=1}^2 g^{kl} (g_{i,l} + g_{j,l} - g_{l,l})$ จากสมการ (2.55)

และ (2.59) จะได้ $u_i''(s) + \sum_{j,k=1}^2 \Gamma_{ij}^k(u_1(s), u_2(s)) u_j'(s) u_k'(s) = 0, (i=1,2)$

2.1.12 ภาวะอิงพารามิเตอร์ของแคลโรล (The Clairaut Parameterization or Clairaut Patch)

สำหรับส่วนของพื้นผิวเชิงตั้งฉากซึ่ง E และ G ขึ้นอยู่กับเพียง u หรือ E และ G ขึ้นอยู่กับเพียง v จะเรียกว่าภาวะอิงพารามิเตอร์ของแคลโรล

นิยาม 2.34 สำหรับ $x(u, v)$ เป็นภาวะอิงพารามิเตอร์ของแคลโรลที่ขึ้นอยู่กับพารามิเตอร์ u เมื่อ

$$E_v = G_v = F = 0 \quad (2.60)$$

และ $x(u, v)$ เป็นภาวะอิงพารามิเตอร์ของแคลโรลที่ขึ้นอยู่กับพารามิเตอร์ v (Clairaut เมื่อ

$$E_u = G_u = F = 0 \quad (2.61)$$

เพราะฉะนั้น ภาวะอิงพารามิเตอร์บนพื้นผิวที่เกิดจากหมุน (2.16)

เป็นภาวะอิงพารามิเตอร์ของแคลโรลที่ขึ้นอยู่กับพารามิเตอร์ v เพราะฉะนั้น จากสมการ (2.37)

สัญลักษณ์คลิสทอर्फเฟิล คือ

$$\Gamma_{11}^1 = 0, \Gamma_{11}^2 = \frac{-E_v}{2G}, \Gamma_{12}^1 = \frac{E_v}{2E}, \Gamma_{12}^2 = 0, \Gamma_{22}^1 = 0, \Gamma_{22}^2 = \frac{G_v}{2G} \quad (2.62)$$

เอกสารนี้เป็นเอกสารที่สงวนไว้สำหรับการใช้งานเพื่อการศึกษาเท่านั้น ไม่อนุญาตให้นำไปใช้ประโยชน์ด้านการค้า ไม่ว่าจะกรณีใดๆ ทั้งสิ้น อีกทั้งห้ามมิให้ดัดแปลงเนื้อหา และต้องอ้างอิงถึงเจ้าของเอกสารทุกครั้งที่มีการนำไปใช้

ทฤษฎีบท 2.9 [4] สมการจีโอเดสิกบนภาวะอิงพารามิเตอร์ของเกลโรลที่ขึ้นอยู่กับพารามิเตอร์ v คือ

$$u'' + \frac{E_v}{E} u'v' = 0 \quad (2.63)$$

$$v'' - \frac{E_v}{2G} u'^2 + \frac{G_v}{2G} v'^2 = 0 \quad (2.64)$$

พิสูจน์ เนื่องจาก ภาวะอิงพารามิเตอร์บนพื้นผิวที่เกิดจากหมุน (2.16) เป็นภาวะอิงพารามิเตอร์ของเกลโรลที่ขึ้นอยู่กับพารามิเตอร์ v (v -Clairaut Patch) ซึ่งเป็นไปตามสมการ (2.61) นั่นคือ

$$E_u = G_u = F = 0 \text{ และจากทฤษฎีบท 2.8}$$

จะได้ สมการจีโอเดสิกบนภาวะอิงพารามิเตอร์ของเกลโรลที่ขึ้นอยู่กับพารามิเตอร์ v คือ

$$u'' + \frac{E_v}{E} u'v' = 0$$

และ

$$v'' - \frac{E_v}{2G} u'^2 + \frac{G_v}{2G} v'^2 = 0 \quad \square$$

จากสมการ (2.19) นั่นคือ $g_{11} = E = f^2(v)$, $g_{12} = g_{21} = F = 0$, $g_{22} = G = f'(v)^2 + g'(v)^2$ หาอนุพันธ์สมการ (2.19) เทียบ v จะได้

$$g_{1,2} = E_v = 2f(v)f'(v) \text{ และ } g_{2,2} = G_v = 2f'(v)f''(v) + 2g'(v)g''(v) \quad (2.65)$$

นำสมการ (2.65) แทนในสมการ (2.63) และสมการ (2.64)

จะได้

$$u'' + \frac{2f(v)f'(v)}{f^2(v)} u'v' = 0 \quad (2.66)$$

$$v'' - \frac{f(v)f'(v)}{f'(v)^2 + g'(v)^2} u'^2 + \frac{f'(v)f''(v) + g'(v)g''(v)}{f'(v)^2 + g'(v)^2} v'^2 = 0 \quad (2.67)$$

ทฤษฎีบท 2.10 [10] ให้ $\alpha(s) := \mathbf{x}(u(s), v(s))$ เป็นจีโอเดสิกเป็น s ถ้า $\xi(s)$ แทนมุมระหว่าง $\alpha(s)$ และพาราเลลที่ผ่าน $\mathbf{x}(u(s), v(s))$ แล้ว

$$f(v) \cos \xi(s) = c \quad (2.68)$$

เป็นอิสระจากพารามิเตอร์ s

ข้อสังเกต $f(v)$ คือรัศมีของพาราเลลที่ผ่าน $\mathbf{x}(u(s), v(s))$ แล้วสมการ $f(v) \cos \xi(s) = c$ เรียกสมการนี้ว่า **ความสัมพันธ์เกลโรล (Clairaut's relation)** และเรียก c ว่า **ค่าคงที่ของเกลโรล (Clairaut's constant)**

พิสูจน์ สำหรับจำนวนจริงที่มีค่ากำหนดที่แน่นอน s พาราเลล c ที่ผ่าน $\alpha(s)$ กำหนดโดย

$$c(s) = \mathbf{x}(u, v(s)), u \in \mathbb{R}$$

เอกสารนี้เป็นเอกสารที่สงวนไว้สำหรับการใช้งานเพื่อการศึกษาเท่านั้น ไม่อนุญาตให้นำไปใช้ประโยชน์ด้านการค้า ไม่ว่าจะกรณีใดๆ ทั้งสิ้น อีกทั้งห้ามมิให้ดัดแปลงเนื้อหา และต้องอ้างอิงถึงเจ้าของเอกสารทุกครั้งที่มีการนำไปใช้

เนื่องจาก

$$c'(u) = \mathbf{x}_u(u, v(s)) = \mathbf{x}_1(u, v(s))$$

และ

$$\alpha'(s) = \sum_{i=1}^2 \mathbf{x}_i(u(s), v(s)) u'_i(s)$$

เป็นจริง

จะได้

$$\cos \xi(s) = \frac{c'(u) \cdot \alpha'(s)}{|c'(u)| |\alpha'(s)|}$$

($\xi(s)$ เป็นมุมระหว่าง $\alpha(s)$ และพาราเลล นั่นคือเป็นมุมระหว่างเส้นสัมผัสกับ $\alpha(s)$ และเส้นสัมผัสกับพาราเลล)

$$\begin{aligned} \cos \xi(s) &= \frac{\sum_{i=1}^2 (\mathbf{x}_i \cdot \mathbf{x}_1) u'_i(s)}{\|\mathbf{x}_1(u, v(s))\| \|\alpha'(s)\|} = \frac{1}{\sqrt{E} |\alpha'(s)|} E u'_1(s) \\ &= \frac{\sqrt{E}}{a} u'_1(s) \\ &= \frac{f(v)}{a} u'_1(s) \end{aligned}$$

เมื่อ $a := |\alpha'(s)|$ เป็นค่าคงที่บวก ดังนั้น จะได้

$$f(v) \cos \xi(s) = \frac{f^2(v)}{a} u'_1(s)$$

หาอนุพันธ์ทั้งสองข้าง จะได้

$$\begin{aligned} \frac{d}{ds} f(v) \cos \xi(s) &= \frac{f(v) f'(v)}{a} u'_1(s) v'(s) + \frac{f^2(v)}{a} u''_1(s) \\ &= \frac{f^2(v)}{a} \left(\frac{f(v) f'(v)}{f^2(v)} u'_1(s) v'(s) + u''_1(s) \right) \end{aligned}$$

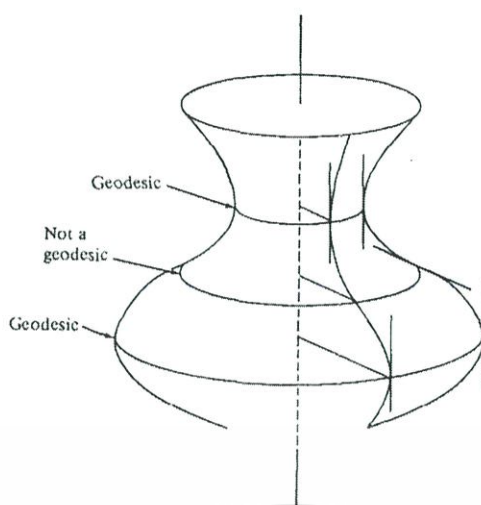
จากสมการจีโอเดซิก $u''_1(s) + \frac{f(v) f'(v)}{f^2(v)} u'_1(s) v'(s) = 0$

ดังนั้น $\frac{d}{ds} f(v) \cos \xi(s) = 0$

นั่นคือ $f(v) \cos \xi(s) = c$ เมื่อ c เป็นค่าที่

□

ถ้าพิจารณาในทางเรขาคณิต เงื่อนไขที่จำเป็นสำหรับพาราเลลของพื้นผิวของการหมุนที่เป็นจีโอเดซิก นั่นคือ เส้นสัมผัสของเส้นโค้งก่อกำเนิด ณ จุดตัดกับพาราเลลขนานกับแกนการหมุน จะทำให้พาราเลลเป็นจีโอเดซิก ดังรูปที่ 2.20



รูปที่ 2.20 เงื่อนไขที่จำเป็นสำหรับพาราเลลของพื้นผิวของการหมุนที่เป็นจีโอเดซิก [8]



เอกสารนี้เป็นเอกสารที่สงวนไว้สำหรับการใช้งานเพื่อการศึกษาเท่านั้น ไม่อนุญาตให้นำไปใช้ประโยชน์ด้านการค้า
ไม่ว่ากรณีใดๆ ทั้งสิ้น อีกทั้งห้ามมิให้ตัดแปลงเนื้อหา และต้องอ้างอิงถึงเจ้าของเอกสารทุกครั้งที่มีการนำไปใช้

2.2 งานวิจัยที่เกี่ยวข้อง

2.2.1 จีออเดซิกโดยใช้โปรแกรมสำเร็จรูปทางคณิตศาสตร์ (Geodesics Using Mathematica)

เจกอบ [6] ศึกษาสมการจีออเดซิกในพื้นที่ผิวของการหมุนในรูปแบบภาวะอิงพารามิเตอร์ของแกลโรลที่ขึ้นอยู่กับพารามิเตอร์ v ได้แก่ ทรงกลม ทรงกระบอกและทรงห่วย่าง โดยจัดรูปสมการจีออเดซิกของทรงกลมให้อยู่ในรูปปริพันธ์พร้อมกับหาผลเฉลย นอกจากนี้ยังได้ศึกษาสมการจีออเดซิกในพื้นที่ผิวของการหมุน คือ

$$u'' + \frac{E_u}{2E} u'^2 + \frac{E_v}{E} u'v' - \frac{G_u}{2E} v'^2 = 0 \quad (2.43)$$

$$v'' - \frac{E_v}{2G} u'^2 + \frac{G_u}{G} u'v' + \frac{G_v}{2G} v'^2 = 0 \quad (2.44)$$

โดยการลดรูปสมการเชิงอนุพันธ์อันดับที่สองให้เป็นสมการเชิงอนุพันธ์อันดับที่หนึ่งดังนี้

$$u' = p \Rightarrow u'' = p' \quad \text{และ} \quad v' = q \Rightarrow v'' = q'$$

จะได้ระบบสมการเชิงสองมิติ

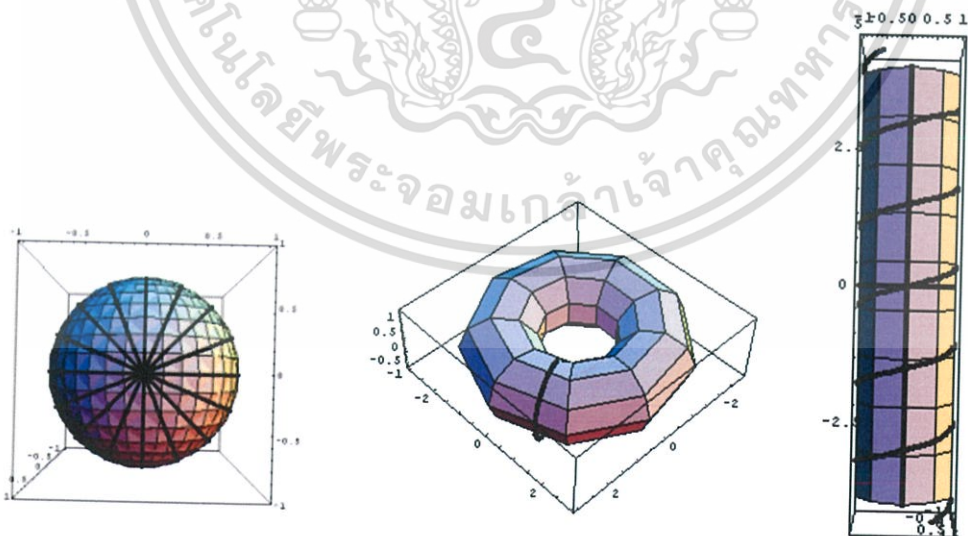
$$u' = p$$

$$v' = q$$

$$p' = -\frac{E_u}{2E} p^2 - \frac{E_v}{E} pq + \frac{G_u}{2E} q^2$$

$$q' = \frac{E_v}{2G} p^2 - \frac{G_u}{G} pq - \frac{G_v}{2G} q^2$$

จากนั้นนำระบบสมการที่ได้ ไปสร้างกราฟในโปรแกรมสำเร็จรูปทางคณิตศาสตร์ (Mathematica) ซึ่งแสดงได้ดังรูป 2.21

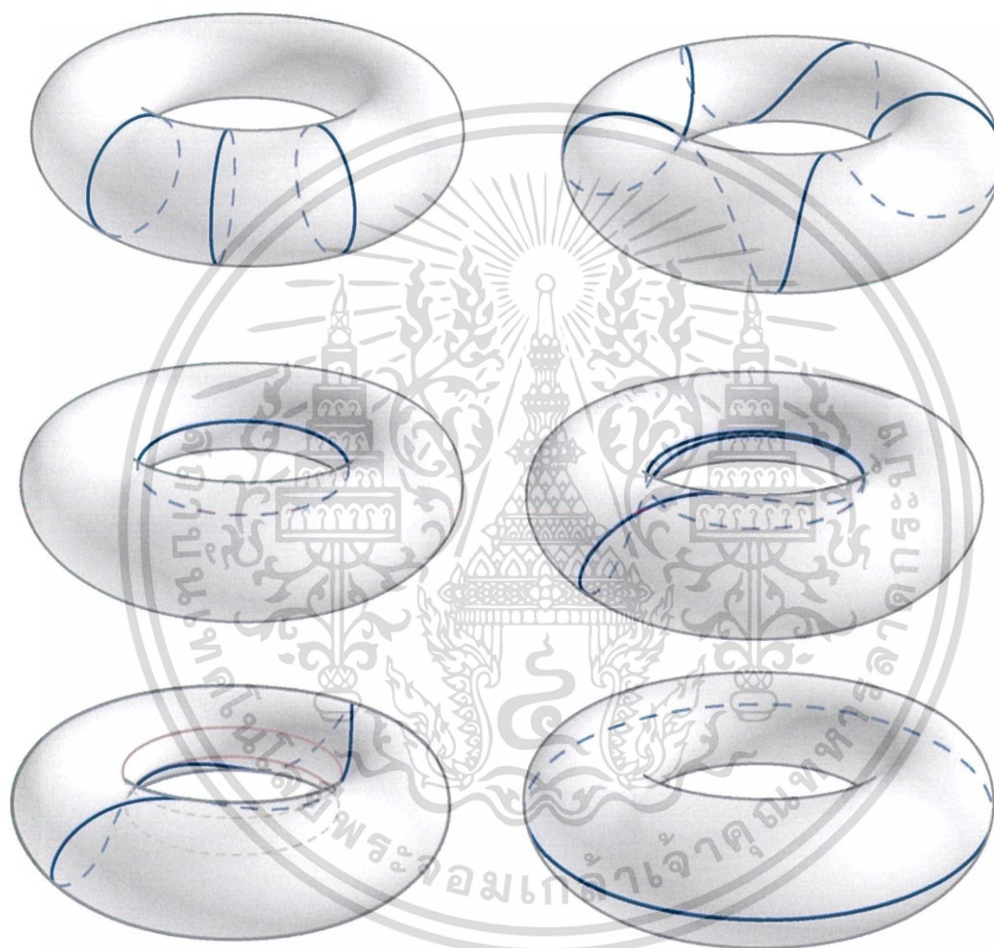


รูปที่ 2.21 จีออเดซิกบนพื้นผิวในงานวิจัยของเจกอบ

เอกสารนี้เป็นเอกสารที่สงวนไว้สำหรับการใช้งานเพื่อการศึกษาเท่านั้น ไม่อนุญาตให้นำไปใช้ประโยชน์ด้านการค้า ไม่ว่าจะกรณีใดๆ ทั้งสิ้น อีกทั้งห้ามมิให้ดัดแปลงเนื้อหา และต้องอ้างอิงถึงเจ้าของเอกสารทุกครั้งที่มีการนำไปใช้

2.2.2 ค่าความโค้งและจีโอเดสิกของทรงห่วงยาง (The Curvature and Geodesics of the Torus)

มาร์ค ไอรอน [9] ได้ศึกษาจีโอเดสิกบนพื้นผิวของทรงห่วงยางที่เป็นพื้นผิวของการหมุนในรูปแบบภาวะอิงพารามิเตอร์แกลโรลที่ขึ้นอยู่กับพารามิเตอร์ v โดยจัดรูปสมการจีโอเดสิกของทรงห่วงยางให้อยู่ในรูปปริพันธ์ และแบ่งประเภทของจีโอเดสิกที่อยู่บนทรงห่วงยางโดยพิจารณาจากความสัมพันธ์ของแกลโรลดังรูป 2.22

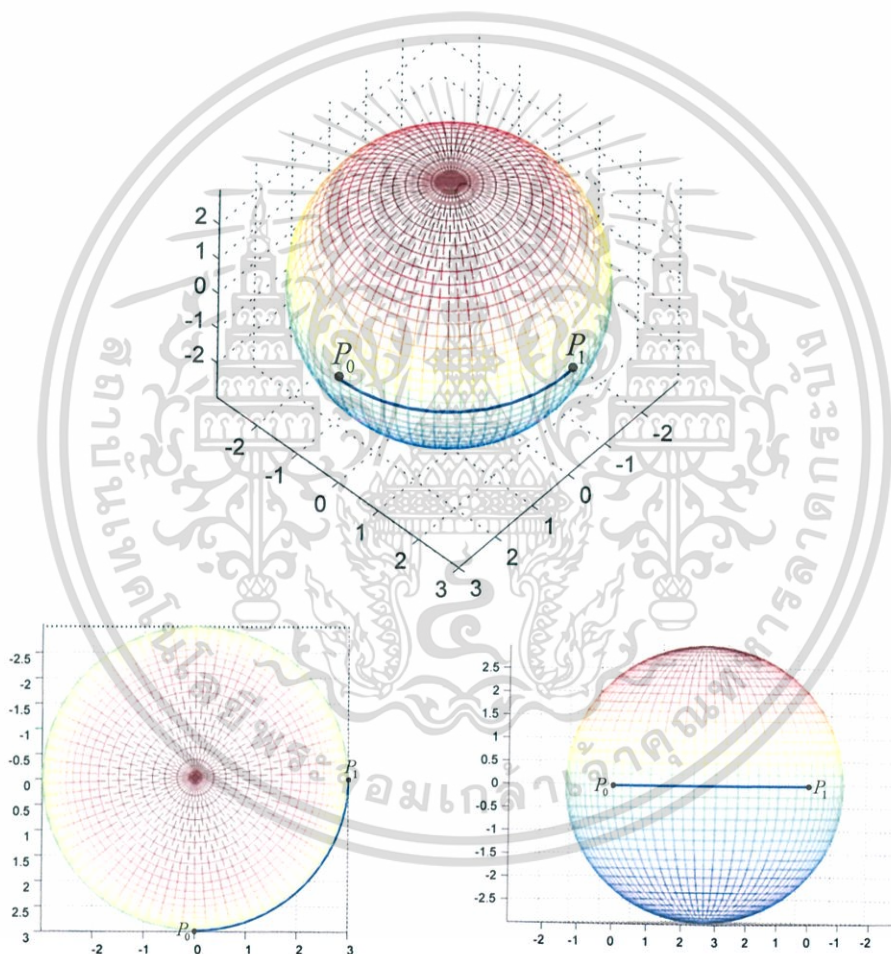


รูปที่ 2.22 จีโอเดสิกบนพื้นผิวของทรงห่วงยางในงานวิจัยของ มาร์ค ไอรอน

เอกสารนี้เป็นเอกสารที่สงวนไว้สำหรับการใช้งานเพื่อการศึกษาเท่านั้น ไม่อนุญาตให้นำไปใช้ประโยชน์ด้านการค้า
ไม่ว่ากรณีใดๆ ทั้งสิ้น อีกทั้งห้ามมิให้ดัดแปลงเนื้อหา และต้องอ้างอิงถึงเจ้าของเอกสารทุกครั้งที่มีการนำไปใช้

2.2.3 เส้นโค้งจีโอเดสิกบนพื้นผิวบางชนิดของการหมุนรอบที่มีการศึกษาเชิงตัวเลข สำหรับการคำนวณ

นายณัฐพล บุญนำ [8] ได้ศึกษาปัญหาระยะทางที่สั้นที่สุดบนพื้นผิวบางชนิดของการหมุนรอบ โดยวิเคราะห์จากสมการอิงพารามิเตอร์ของพื้นผิวนั้นๆ เส้นโค้งที่สั้นที่สุดสามารถหาได้จากการประยุกต์ของสมการ ออยเลอร์ ผลการวิจัยพบว่า บนพื้นผิวของการหมุนรอบที่ได้จากการวิจัยนั้น มีจีโอเดสิกจริง แต่ไม่ได้มีเพียงหนึ่งเดียว ทำให้จำเป็นต้องระบุเงื่อนไขโดยแยกออกเป็นกรณีต่างๆ เพื่อให้ได้คำตอบที่เป็นระยะทางที่สั้นที่สุด ในกรณีของทรงกลม จีโอเดสิกจะเป็นส่วนของวงกลมใหญ่ แสดงดังรูปที่ 2.23



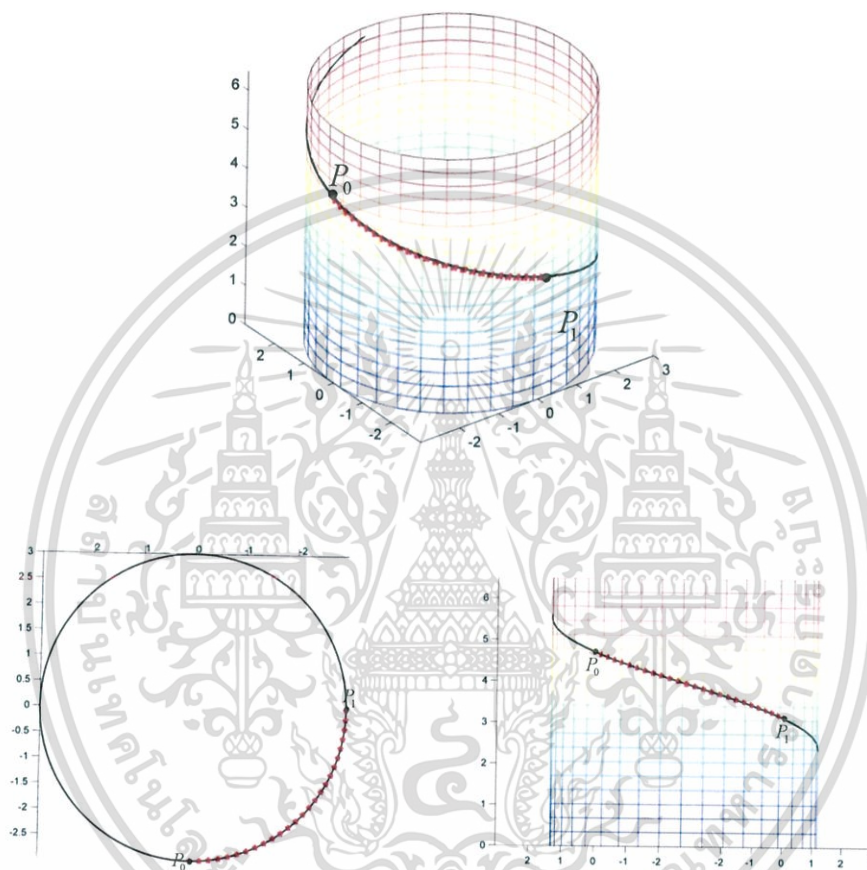
รูปที่ 2.23 กราฟของส่วนของวงกลมใหญ่ในทรงกลม

กรณีของทรงกระบอก กรณีของทรงกระบอกนั้น พิจารณาได้ 3 กรณีดังนี้

1. เมื่อค่าพารามิเตอร์ v คงที่แต่ u ไม่คงที่นั้น จะได้จีโอเดสิกเป็นส่วนหนึ่งของเส้นโค้งพาราเรล

เอกสารนี้เป็นเอกสารที่สงวนไว้สำหรับการใช้งานเพื่อการศึกษาเท่านั้น ไม่อนุญาตให้นำไปใช้ประโยชน์ด้านการค้า ไม่ว่ากรณีใดๆ ทั้งสิ้น อีกทั้งห้ามมิให้ดัดแปลงเนื้อหา และต้องอ้างอิงถึงเจ้าของเอกสารทุกครั้งที่มีการนำไปใช้

2. เมื่อค่าพารามิเตอร์ u คงที่แต่ v ไม่คงที่นั้น จะได้จีโอเดสิกบนเส้นโค้งเมอร์เดียนคือ ส่วนของเส้นตรงบนทรงกระบอก
3. เมื่อทั้งค่าพารามิเตอร์ u และ v ไม่คงที่ เมื่อกำหนดจุดสองจุดใดๆ $P_0(u_0, v_0)$ และ $P_1(u_1, v_1)$ บนทรงกระบอก แล้วจีโอเดสิกเป็นส่วนหนึ่งของเส้นเกลียว แสดงดังรูปที่ 2.24

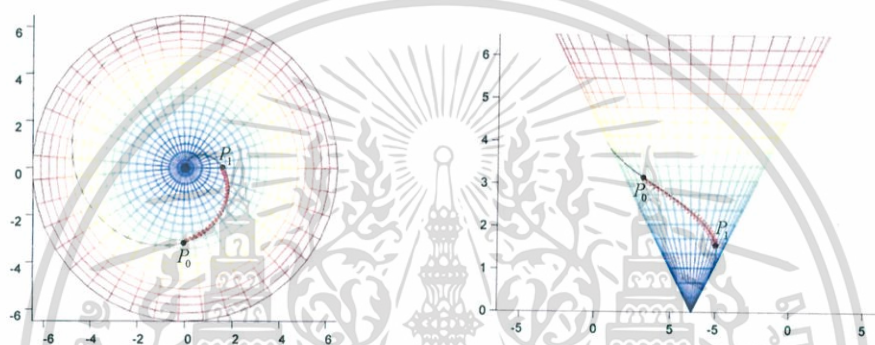
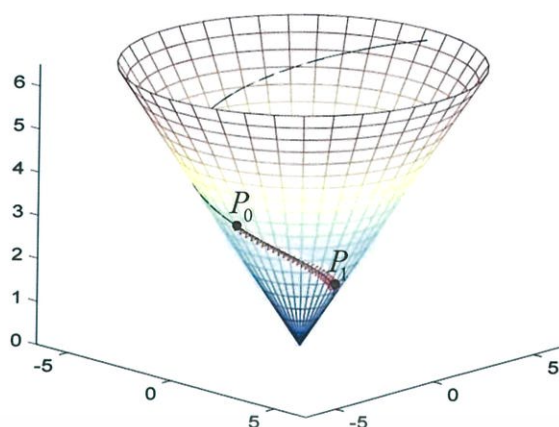


รูปที่ 2.24 กราฟของส่วนของเส้นเกลียวบนทรงกระบอก

กรณีของทรงกรวยนั้น พิจารณาได้ 2 กรณีดังนี้

1. เมื่อค่าพารามิเตอร์ u คงที่แต่ v ไม่คงที่นั้น จะได้จีโอเดสิกบนเส้นโค้งเมอร์เดียนคือ ส่วนของเส้นตรงบนทรงกรวย
2. เมื่อทั้งค่าพารามิเตอร์ u และ v ไม่คงที่ เมื่อกำหนดจุดสองจุดใดๆ $P_0(u_0, v_0)$ และ $P_1(u_1, v_1)$ บนทรงกรวย แล้วจีโอเดสิกเป็นส่วนหนึ่งของเส้นเวียนก้นหอยรูปกรวย แสดงดังรูปที่ 2.25

เอกสารนี้เป็นเอกสารที่สงวนไว้สำหรับการใช้งานเพื่อการศึกษาเท่านั้น ไม่อนุญาตให้นำไปใช้ประโยชน์ด้านการค้า ไม่ว่ากรณีใดๆ ทั้งสิ้น อีกทั้งห้ามมิให้ดัดแปลงเนื้อหา และต้องอ้างอิงถึงเจ้าของเอกสารทุกครั้งที่มีการนำไปใช้

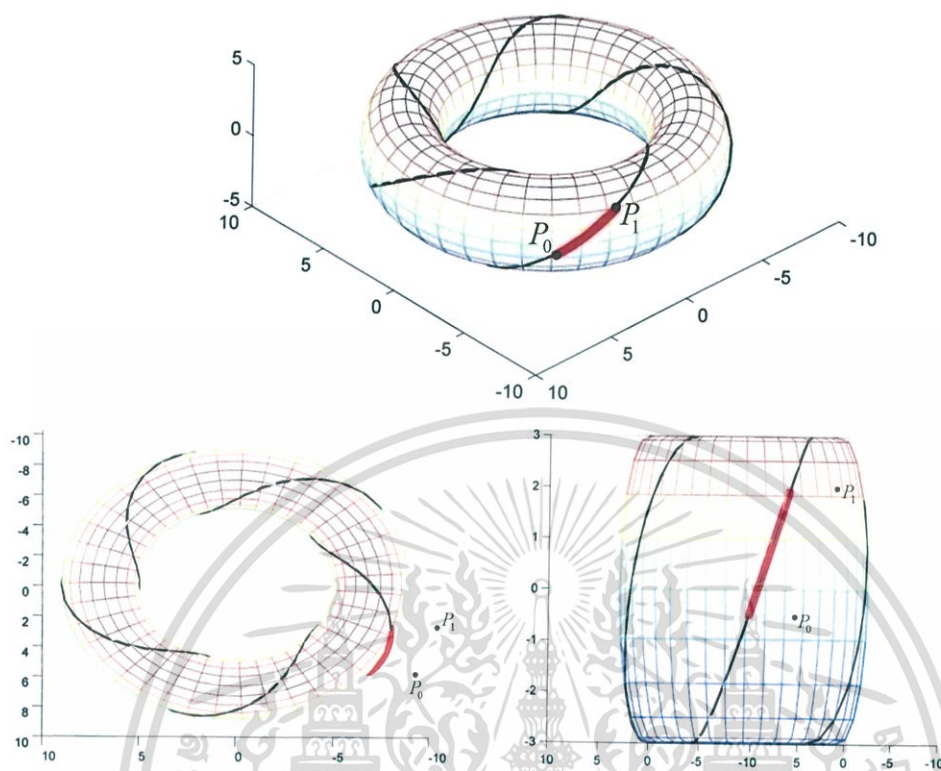


รูปที่ 2.25 กราฟของส่วนของเส้นเวียนก้นหอยรูปกรวยบนทรงกรวย

และกรณีของทรงห้วขยงนั้น พิจารณาได้ 3 กรณีดังนี้

1. เมื่อค่าพารามิเตอร์ v คงที่แต่ u ไม่คงที่นั้น จะได้จีโอเดสิกบนเส้นโค้งพาราเรลเป็นส่วนของเส้นโค้งพาราเรลที่มีลักษณะเป็นวงกลม
2. เมื่อค่าพารามิเตอร์ u คงที่แต่ v ไม่คงที่นั้น จะได้จีโอเดสิกบนเส้นโค้งเมริเดียนคือ ส่วนของวงกลมรัศมีวงในและรัศมีวงนอกของทรงห้วขยง

เมื่อทั้งค่าพารามิเตอร์ u และ v ไม่คงที่ เมื่อกำหนดจุดสองจุดใดๆ $P_0(u_0, v_0)$ และ $P_1(u_1, v_1)$ บนทรงห้วขยง แล้วจีโอเดสิกเป็นส่วนของเส้นเวียนก้นหอยรูปห้วขยง แสดงดังรูปที่ 2.26



รูปที่ 2.26 กราฟของเส้นเวียนกันหอยรูปห้วงยางบนทรงห้วงยาง

เอกสารนี้เป็นเอกสารที่สงวนไว้สำหรับการใช้งานเพื่อการศึกษาเท่านั้น ไม่อนุญาตให้นำไปใช้ประโยชน์ด้านการค้า
ไม่ว่ากรณีใดๆ ทั้งสิ้น อีกทั้งห้ามมิให้ดัดแปลงเนื้อหา และต้องอ้างอิงถึงเจ้าของเอกสารทุกครั้งที่มีการนำไปใช้

2.2.4 การศึกษาเชิงตัวเลขเพื่อคำนวณเส้นโค้งจีโอเดซิก (numerical study for computation of geodesic curves)

คาร์แชป และคณะ [5] ได้ศึกษาการคำนวณเชิงตัวเลขของจีโอเดซิกบนพื้นผิว โดยพิจารณาจากสมการจีโอเดซิกซึ่งเป็นระบบสมการเชิงอนุพันธ์แบบไม่เชิงเส้น นั่นคือ สมการ (2.42)

$$\frac{d^2u}{ds^2} = -\Gamma_{11}^1 \left(\frac{du}{ds} \right)^2 - 2\Gamma_{12}^1 \frac{du}{ds} \frac{dv}{ds} - \Gamma_{22}^1 \left(\frac{dv}{ds} \right)^2$$

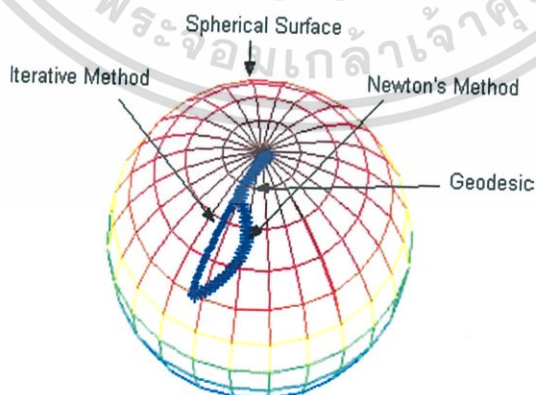
$$\frac{d^2v}{ds^2} = -\Gamma_{11}^2 \left(\frac{du}{ds} \right)^2 - 2\Gamma_{12}^2 \frac{du}{ds} \frac{dv}{ds} - \Gamma_{22}^2 \left(\frac{dv}{ds} \right)^2$$

โดยใช้วิธีผลต่างจำกัดเพื่อหาผลเฉลยของระบบสมการเชิงอนุพันธ์แบบไม่เชิงเส้น จะอยู่ในรูปแบบดังนี้

$$V_{i+1} - 2V_i + V_{i-1} = h^2 \left[-\Gamma_{11}^2(U_i, V_i) \left(\frac{U_{i+1} - U_{i-1}}{2h} \right)^2 - 2\Gamma_{12}^2(U_i, V_i) \left(\frac{U_{i+1} - U_{i-1}}{2h} \right) \times \left(\frac{V_{i+1} - V_{i-1}}{2h} \right) - \Gamma_{22}^2(U_i, V_i) \left(\frac{V_{i+1} - V_{i-1}}{2h} \right)^2 \right] \quad (2.69)$$

$$U_{i+1} - 2U_i + U_{i-1} = h^2 \left[-\Gamma_{11}^1(U_i, V_i) \left(\frac{U_{i+1} - U_{i-1}}{2h} \right)^2 - 2\Gamma_{12}^1(U_i, V_i) \left(\frac{U_{i+1} - U_{i-1}}{2h} \right) \times \left(\frac{V_{i+1} - V_{i-1}}{2h} \right) - \Gamma_{22}^1(U_i, V_i) \left(\frac{V_{i+1} - V_{i-1}}{2h} \right)^2 \right]$$

ใช้ระเบียบวิธีทำซ้ำ (Iterative method (IM)) และระเบียบวิธีนิวตัน (Newton's method) เพื่อแก้ปัญหาของสมการ (2.69) ซึ่งเป็นแบบไม่เชิงเส้น โดยการสมมติให้ผลเฉลยลู่อเข้าเมื่อผลต่างระหว่างการทำซ้ำที่ต่อเนื่องกันสองครั้งมีค่าน้อยกว่า $\varepsilon = 1 \times 10^{-4}$ ซึ่งผลลัพธ์ที่ได้หาได้จากระเบียบวิธีทำซ้ำและระเบียบวิธีนิวตัน โดยการทดลองกับพื้นผิวทรงกลมพบว่าระเบียบวิธีทำซ้ำให้ผลที่ดีกว่าระเบียบวิธีนิวตัน แสดงได้ดังรูป 2.27



รูปที่ 2.27 จีโอเดซิกบนพื้นผิวทรงกลมและการเปรียบเทียบของแต่ละวิธี

เอกสารนี้เป็นเอกสารที่สงวนไว้สำหรับการใช้งานเพื่อการศึกษาเท่านั้น ไม่อนุญาตให้นำไปใช้ประโยชน์ด้านการค้า ไม่ว่ากรณีใดๆ ทั้งสิ้น อีกทั้งห้ามมิให้ตัดแปลงเนื้อหา และต้องอ้างอิงถึงเจ้าของเอกสารทุกครั้งที่มีการนำไปใช้

บทที่ 3

วิธีดำเนินการวิจัย

ในบทนี้จะกล่าวถึงสมบัติบางประการของจีโอเดซิกบนพื้นผิวของการหมุนซึ่งจะอธิบายถึงส่วนประกอบและสมการอิงพารามิเตอร์ของแต่ละพื้นผิวของการหมุนที่ศึกษา พร้อมกับหาสมการจีโอเดซิกที่อยู่ในภาวะอิงพารามิเตอร์ของเกลโรลที่ขึ้นอยู่กับพารามิเตอร์ v นอกจากนี้ยังจัดสมการให้อยู่รูปแบบของปริพันธ์พร้อมกับหาผลเฉลย

3.1 สมบัติบางประการของจีโอเดซิก (Some properties of geodesics)

เนื่องจาก ภาวะอิงพารามิเตอร์บนพื้นผิวที่เกิดจากการหมุน (2.16) เป็นภาวะอิงพารามิเตอร์ของเกลโรลที่ขึ้นอยู่กับพารามิเตอร์ v (v-Clairaut Patch) ซึ่งเป็นไปตามสมการ (2.61) นั่นคือ

$$E_u = G_u = F = 0$$

เพราะฉะนั้น จากทฤษฎีบท 2.9 สมการจีโอเดซิกบนภาวะอิงพารามิเตอร์ของเกลโรลที่ขึ้นอยู่กับพารามิเตอร์ v คือ

$$u'' + \frac{E_v}{E} u'v' = 0$$

$$v'' - \frac{E_v}{2G} u'^2 + \frac{G_v}{2G} v'^2 = 0$$

จากสมการ (2.64) และ (2.67) จะได้

$$u'' + \frac{2f(v)f'(v)}{f^2(v)} u'v' = 0$$

$$v'' - \frac{f(v)f'(v)}{f'(v)^2 + g'(v)^2} u'^2 + \frac{f'(v)f''(v) + g'(v)g''(v)}{f'(v)^2 + g'(v)^2} v'^2 = 0$$

ต่อไปนี้จะกล่าวถึงสมบัติบางประการของจีโอเดซิกเพื่อนำไปวิเคราะห์หาจีโอเดซิกบนพื้นผิวของการหมุน

บทตั้ง 3.1 ทุกๆ เมอริเดียนเป็นจีโอเดซิก

พิสูจน์ กำหนดให้ $\mathbf{x}(u, v)$ เป็นภาวะอิงพารามิเตอร์ของเกลโรลที่ขึ้นอยู่กับพารามิเตอร์ v

จะแสดงว่า ทุกๆ เมอริเดียนเป็นจีโอเดซิก นั่นคือ $\mathbf{x}'' = 0$ (จากนิยาม 2.31)

สมมติให้ $\mathbf{x}'' \neq 0$ โดยวิธีข้อขัดแย้ง

เนื่องจากภาวะอิงพารามิเตอร์บนพื้นผิวของการหมุน จากสมการ (2.16)

$$\mathbf{x}(u, v) = (f(v)\cos u, f(v)\sin u, g(v))$$

เอกสารนี้เป็นเอกสารที่สงวนไว้สำหรับการใช้งานเพื่อการศึกษาเท่านั้น ไม่อนุญาตให้นำไปใช้ประโยชน์ด้านการค้า ไม่ว่ากรณีใดๆ ทั้งสิ้น อีกทั้งห้ามมิให้ดัดแปลงเนื้อหา และต้องอ้างอิงถึงเจ้าของเอกสารทุกครั้งที่มีการนำไปใช้

หาอนุพันธ์เทียบ v ทั้ง $F = 0$ และ $G = f'(v)^2 + g'(v)^2 = 1$ จะได้

$$F_v = (\mathbf{x}_u \cdot \mathbf{x}_v)_v = \mathbf{x}_u \cdot \mathbf{x}_{vv} + \mathbf{x}_v \cdot \mathbf{x}_{uv} = 0 \text{ และ } G_v = (\mathbf{x}_v \cdot \mathbf{x}_v)_v = \mathbf{x}_v \cdot \mathbf{x}_{vv} + \mathbf{x}_v \cdot \mathbf{x}_{vv} = 2\mathbf{x}_v \cdot \mathbf{x}_{vv} = 0$$

เนื่องจาก $\mathbf{x}_v \cdot \mathbf{x}_{uv} = (f'(v) \cos u, f'(v) \sin u, g'(v)) \cdot (-f'(v) \sin u, f'(v) \cos u, 0) = 0$

ดังนั้น

$$\mathbf{x}_u \cdot \mathbf{x}_{vv} = 0 \text{ และ } \mathbf{x}_v \cdot \mathbf{x}_{vv} = 0$$

นั่นคือ \mathbf{x}_{vv} ตั้งฉากกับ $T_p(S)$ เพราะฉะนั้น $\mathbf{x}'' = 0$ เกิดข้อขัดแย้ง

ดังนั้นทุกๆ เมอริเดียนบนพื้นผิวของการหมุนเป็นจีโอเดซิก □

บทตั้ง 3.2 มีบางพาราเลลที่เป็นจีโอเดซิกก็ต่อเมื่อ $f'(v_0) = 0$ เมื่อ $f(v)$ เป็นรัศมีของพาราเลล และ v_0 เป็นค่าคงที่

พิสูจน์ กำหนดให้ $\mathbf{x}(u, v)$ เป็นภาวะอิงพารามิเตอร์ของเกลโรลด์ที่ขึ้นอยู่กับพารามิเตอร์ v

จะแสดงว่าถ้าพาราเลลเป็นจีโอเดซิกแล้ว $f'(v_0) = 0$

โดยข้อขัดแย้ง สมมติให้ $f'(v_0) \neq 0$

พาราเลลมีภาวะอิงพารามิเตอร์คือ $\mathbf{x}(u, v_0) = (f(v_0) \cos u, f(v_0) \sin u, g(v_0))$

จากสมการจีโอเดซิกในภาวะอิงพารามิเตอร์ของเกลโรลด์ที่ขึ้นอยู่กับพารามิเตอร์ v คือ

$$u'' + \frac{E_v}{E} u'v' = 0$$

$$v'' - \frac{E_v}{2G} u'^2 + \frac{G_v}{2G} v'^2 = 0$$

เนื่องจาก $v' = v'' = 0$ จะได้

$$\frac{E_v}{2G} u'^2 = 0$$

พิจารณา $E_v(u, v_0)$

จาก

$$E(u, v_0) = \mathbf{x}_u(u, v_0) \cdot \mathbf{x}_u(u, v_0)$$

ดังนั้น

$$\begin{aligned} E_v(u, v_0) &= (\mathbf{x}_u(u, v_0) \cdot \mathbf{x}_u(u, v_0))_v \\ &= \mathbf{x}_{uv}(u, v_0) \cdot \mathbf{x}_u(u, v_0) + \mathbf{x}_u(u, v_0) \cdot \mathbf{x}_{uv}(u, v_0) \\ &= 2\mathbf{x}_{uv}(u, v_0) \cdot \mathbf{x}_u(u, v_0) \end{aligned}$$

เนื่องจาก

$$F(u, v_0) = \mathbf{x}_u(u, v_0) \cdot \mathbf{x}_v(u, v_0)$$

$$F_u(u, v_0) = (\mathbf{x}_u(u, v_0) \cdot \mathbf{x}_v(u, v_0))_u = \mathbf{x}_{uu}(u, v_0) \cdot \mathbf{x}_v(u, v_0) + \mathbf{x}_u(u, v_0) \cdot \mathbf{x}_{uv}(u, v_0)$$

จะได้

$$\mathbf{x}_{uv}(u, v_0) \cdot \mathbf{x}_u(u, v_0) = (\mathbf{x}_v(u, v_0) \cdot \mathbf{x}_u(u, v_0))_u - \mathbf{x}_v(u, v_0) \cdot \mathbf{x}_{uu}(u, v_0)$$

ดังนั้น

$$E_v(u, v_0) = 2(\mathbf{x}_v(u, v_0) \cdot \mathbf{x}_u(u, v_0))_u - 2\mathbf{x}_v(u, v_0) \cdot \mathbf{x}_{uu}(u, v_0)$$

เอกสารนี้เป็นเอกสารที่สงวนไว้สำหรับการใช้งานเพื่อการศึกษาเท่านั้น ไม่อนุญาตให้นำไปใช้ประโยชน์ด้านการค้า
ไม่ว่ากรณีใดๆ ทั้งสิ้น อีกทั้งห้ามมิให้ดัดแปลงเนื้อหา และต้องอ้างอิงถึงเจ้าของเอกสารทุกครั้งที่มีการนำไปใช้

$$= 2F_u - 2\mathbf{x}_v(u, v_0) \cdot \mathbf{x}_{uu}(u, v_0)$$

$$= 0$$

นั่นคือ $E_v(u, v_0) = 0$ เนื่องจาก $E_v(u, v_0) = 2f'(v_0)$

เพราะฉะนั้น $f'(v_0) = 0$ เกิดข้อขัดแย้ง โดยสมมติฐาน ดังนั้น ถ้าพาราเลลเป็นจีโอเดซิกแล้ว $f'(v_0) = 0$

ในทางกลับกัน จะต้องแสดงว่าถ้า $f'(v_0) = 0$ แล้ว พาราเลลเป็นจีโอเดซิก
จะแสดงว่า พาราเลลเป็นจีโอเดซิก นั่นคือ $\mathbf{x}'' = 0$ (จากนิยาม 2.31)

โดยข้อขัดแย้ง สมมติให้ $\mathbf{x}'' \neq 0$

พิจารณาจาก $E(u, v_0) = \mathbf{x}_u(u, v_0) \cdot \mathbf{x}_u(u, v_0)$

จะได้ว่า $E_v(u, v_0) = (\mathbf{x}_u(u, v_0) \cdot \mathbf{x}_u(u, v_0))_v = 2\mathbf{x}_{uv}(u, v_0) \cdot \mathbf{x}_u(u, v_0)$

เพราะฉะนั้น $\mathbf{x}_{uv}(u, v_0) \cdot \mathbf{x}_u(u, v_0) = \frac{E_v(u, v_0)}{2}$

จาก $F(u, v_0) = \mathbf{x}_u(u, v_0) \cdot \mathbf{x}_v(u, v_0)$

$$F_u(u, v_0) = (\mathbf{x}_u(u, v_0) \cdot \mathbf{x}_v(u, v_0))_u = \mathbf{x}_{uu}(u, v_0) \cdot \mathbf{x}_v(u, v_0) + \mathbf{x}_v(u, v_0) \cdot \mathbf{x}_{uu}(u, v_0)$$

จะได้ $\mathbf{x}_{uu}(u, v_0) \cdot \mathbf{x}_v(u, v_0) = (\mathbf{x}_v(u, v_0) \cdot \mathbf{x}_u(u, v_0))_u - \mathbf{x}_u(u, v_0) \cdot \mathbf{x}_{uv}(u, v_0)$

นั่นคือ $\mathbf{x}_{uu}(u, v_0) \cdot \mathbf{x}_v(u, v_0) = F_u - \frac{E_v(u, v_0)}{2}$

เนื่องจาก $\frac{E_v(u, v_0)}{2} = f'(v_0) = 0$

เพราะฉะนั้น $\mathbf{x}_{uu}(u, v_0) \cdot \mathbf{x}_v(u, v_0) = 0$

ดังนั้น $(\mathbf{x}_{uu} \cdot \mathbf{x}_v)(u, v_0) = 0$

จะได้ $\mathbf{x}'' = 0$ หรือ $\mathbf{x}' = 0$ เกิดข้อขัดแย้ง เนื่องจาก $\mathbf{x}'' \neq 0$

จะได้ว่า $f'(v_0) = 0$ แล้ว พาราเลลบนพื้นผิวของการหมุนเป็นจีโอเดซิก

นั่นคือ สำหรับบางพาราเลลบนพื้นผิวของการหมุนเป็นจีโอเดซิกก็ต่อเมื่อ $f'(v_0) = 0$ \square

ทฤษฎีบท 3.1 ให้ \mathcal{S} เป็นพื้นผิวของการหมุนใน \mathbb{R}^3 แล้วทุกๆ เมอริเดียนเป็นจีโอเดซิก และจะมีบางพาราเลลเป็นจีโอเดซิกก็ต่อเมื่อ $f'(v_0) = 0$

พิสูจน์ ตามบทตั้ง 3.1 และ 3.2 ดังนั้น การพิสูจน์เสร็จสมบูรณ์ \square

สำหรับภาวะอิงพารามิเตอร์ของเกลโรลที่ขึ้นอยู่กับพารามิเตอร์ v และกำหนดให้

$\alpha(s) = \mathbf{x}(u(s), v(s))$ เป็นจีโอเดซิกอัตราเร็วหนึ่งหน่วย

$$1 = \alpha' \cdot \alpha' = (\mathbf{x}_u u' + \mathbf{x}_v v') \cdot (\mathbf{x}_u u' + \mathbf{x}_v v') = Eu'^2 + Gv'^2 = f^2(v)u'^2 + (f'(v)^2 + g'(v)^2)v'^2 \quad (3.1)$$

เอกสารนี้เป็นเอกสารที่สงวนไว้สำหรับการใช้งานเพื่อการศึกษาเท่านั้น ไม่อนุญาตให้นำไปใช้ประโยชน์ด้านการค้า
ไม่ว่ากรณีใดๆ ทั้งสิ้น อีกทั้งห้ามมิให้ดัดแปลงเนื้อหา และต้องอ้างอิงถึงเจ้าของเอกสารทุกครั้งที่มีการนำไปใช้

จากสมการจีโอเดซิกภาวะอิงพารามิเตอร์ของเกลโรลที่ขึ้นอยู่กับพารามิเตอร์ v โดยจะพิจารณาจาก

$$u'' + \frac{E_v}{E} u'v' = 0$$

จะได้
ดังนั้น

$$0 = Eu'' + E_v v' u' = Eu'' + E'u' = (Eu')'$$

$$(Eu') = c$$

เพราะฉะนั้น

$$u' = \frac{c}{E}$$

เนื่องจากผลคูณเชิงสเกลาร์ของ α' และ x_u จะได้ว่า

$$\alpha' \cdot x_u = |\alpha'| |x_u| \cos \xi(s)$$

$$(x_u u' + x_v v') \cdot x_u = \sqrt{E} \cos \xi(s)$$

$$u'E = \sqrt{E} \cos \xi(s)$$

$$c = f(v) \cos \xi(s)$$

เพราะฉะนั้น c ค่าคงที่ของเกลโรลที่เป็นไปตามสมการทฤษฎีบท 2.10

จากสมการ(3.1) จะได้

$$1 = E \left(\frac{c}{E} \right)^2 + Gv'^2$$

$$Gv'^2 = 1 - \frac{c^2}{E}$$

$$v'^2 = \frac{E - c^2}{GE}$$

$$v' = \pm \sqrt{\frac{E - c^2}{GE}}$$

หาร u' ด้วย v' จะได้

$$\frac{du}{dv} = \frac{u'}{v'} = \frac{\frac{c}{E}}{\pm \sqrt{\frac{E - c^2}{GE}}} = \pm \frac{c\sqrt{G}}{\sqrt{E}\sqrt{E - c^2}} \quad (3.2)$$

พิจารณาพจน์ $E - c^2$ นั่นคือ $f^2(v) = E > c^2 = f^2(v) \cos^2 \xi(s)$ เนื่องจาก $0 \leq \cos^2 \xi(s) \leq 1$ และ $E - c^2 \neq 0$ ดังนั้น $E - c^2 > 0$

สำหรับภาวะอิงพารามิเตอร์ของเกลโรลที่ขึ้นอยู่กับพารามิเตอร์ v สามารถเขียนในรูปแบบปริพันธ์ คือ

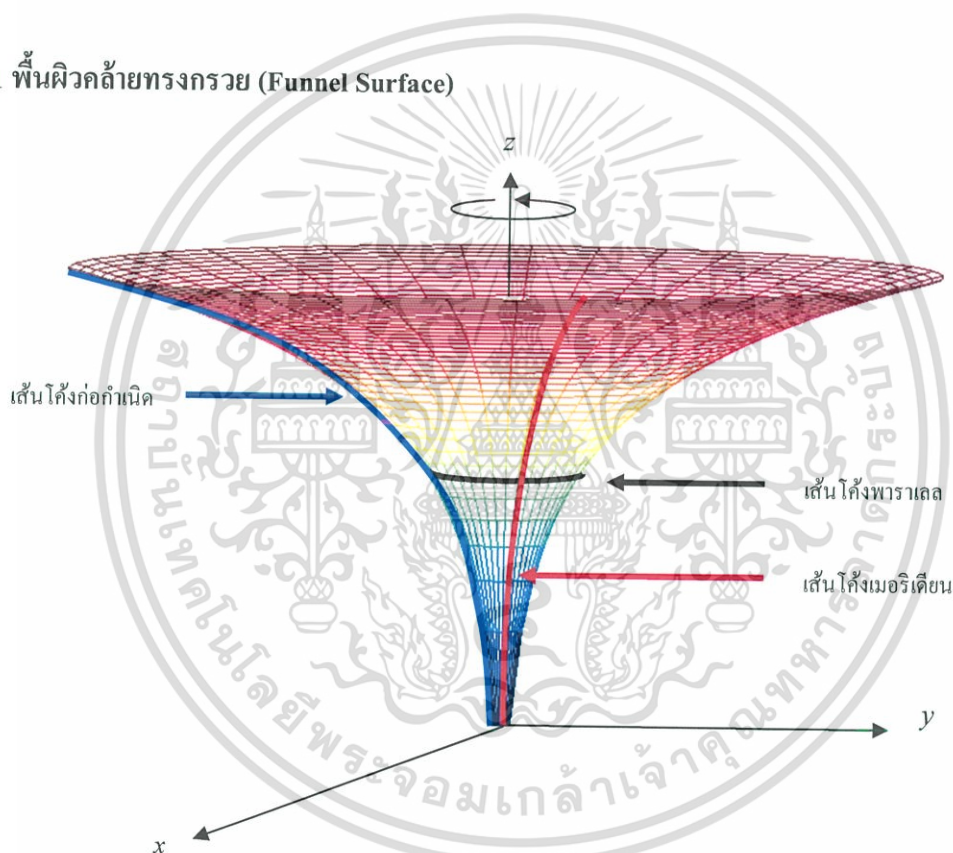
$$u = \pm \int \frac{c\sqrt{G}}{\sqrt{E}\sqrt{E - c^2}} dv \quad (3.3)$$

เอกสารนี้เป็นเอกสารที่สงวนไว้สำหรับการใช้งานเพื่อการศึกษาเท่านั้น ไม่อนุญาตให้นำไปใช้ประโยชน์ด้านการค้า
ไม่ว่ากรณีใดๆ ทั้งสิ้น อีกทั้งห้ามมิให้ดัดแปลงเนื้อหา และต้องอ้างอิงถึงเจ้าของเอกสารทุกครั้งที่มีการนำไปใช้

3.2 บางจีโอเดสิกบนบางพื้นผิวของการหมุน (Some Geodesics on Some Surface of Revolutions)

พื้นผิวของการหมุนรอบที่เป็นไปตามหัวข้อ 2.1.9 มีภาวะอิงพารามิเตอร์บนพื้นผิวของการหมุนจัดอยู่ในรูปแบบ $\mathbf{x}(u, v) = (f(v)\cos u, f(v)\sin u, g(v))$ ซึ่งเป็นภาวะอิงพารามิเตอร์ของเกลโรลที่ขึ้นอยู่กัพารามิเตอร์ v มีส่วนประกอบที่สำคัญ ได้แก่ เส้นโค้งพาราเลลและเส้นโค้งเมริเดียน นอกจากนี้ $g(v)$ เป็นระยะห่างที่ขนานกันไปกับแกนของการหมุนรอบ และ $f(v)$ เป็นรัศมีของเส้นโค้งพาราเลล ซึ่งจะศึกษาบนพื้นผิวดังต่อไปนี้

3.2.1 พื้นผิวด้ายทรงกรวย (Funnel Surface)



รูปที่ 3.1 ส่วนประกอบของพื้นผิวด้ายทรงกรวย

พื้นผิวด้ายทรงกรวย [11] เป็นพื้นผิวปกติโดยมีสมการคาร์ทีเซียนคือ

$$z = \frac{1}{a} \ln(x^2 + y^2)$$

เมื่อ $x = v\cos u, y = v\sin u$ และ $z = a \ln v$

พื้นผิวด้ายทรงกรวยเป็นพื้นผิวของการหมุนของเส้นโค้ง $g(v) = \ln v$ รอบแกน z ซึ่งเป็นแกนของการหมุน โดยมีภาวะอิงพารามิเตอร์คือ

เอกสารนี้เป็นเอกสารที่สงวนไว้สำหรับการใช้งานเพื่อการศึกษาเท่านั้น ไม่อนุญาตให้นำไปใช้ประโยชน์ด้านการค้า ไม่ว่าจะกรณีใดๆ ทั้งสิ้น อีกทั้งห้ามมิให้ดัดแปลงเนื้อหา และต้องอ้างอิงถึงเจ้าของเอกสารทุกครั้งที่มีการนำไปใช้

$$\mathbf{x}(u, v) = (v \cos u, v \sin u, a \ln v) \quad (3.4)$$

เมื่อ $f(v) = v, g(v) = \ln v$ โดยที่ $v > 0, u \in [0, 2\pi)$ และ $a > 0$

3.2.1.1 จีออเดซิกบนพื้นผิวคล้ายทรงกรวย (Geodesic on Funnel Surface)

พื้นผิวคล้ายทรงกรวยมีภาวะอิงพารามิเตอร์คือ $\mathbf{x}(u, v) = (v \cos u, v \sin u, a \ln v)$

จากสมการ (2.4) คือ

$$\begin{aligned} g_{11} &= \langle \mathbf{x}_1, \mathbf{x}_1 \rangle = \langle \mathbf{x}_u, \mathbf{x}_u \rangle = E, \\ g_{12} &= \langle \mathbf{x}_1, \mathbf{x}_2 \rangle = \langle \mathbf{x}_u, \mathbf{x}_v \rangle = \langle \mathbf{x}_2, \mathbf{x}_1 \rangle = \langle \mathbf{x}_v, \mathbf{x}_u \rangle = g_{21} = F, \\ g_{22} &= \langle \mathbf{x}_2, \mathbf{x}_2 \rangle = \langle \mathbf{x}_v, \mathbf{x}_v \rangle = G \end{aligned}$$

จากภาวะอิงพารามิเตอร์ (3.4) หาอนุพันธ์เทียบกับ u จะได้

$$\mathbf{x}_u = (-v \sin u, v \cos u, 0) \quad (3.5)$$

จากภาวะอิงพารามิเตอร์ (3.4) หาอนุพันธ์เทียบกับ v จะได้

$$\mathbf{x}_v = \left(\cos u, \sin u, \frac{a}{v} \right) \quad (3.6)$$

นำสมการ (3.5) และ (3.6) แทนในสมการ (2.4) จะได้

$$E = \mathbf{x}_u \cdot \mathbf{x}_u = ((-v \sin u)^2 + (v \cos u)^2) = v^2 \quad (3.7)$$

$$G = \mathbf{x}_v \cdot \mathbf{x}_v = (\cos^2 u + \sin^2 u + \frac{a^2}{v^2}) = 1 + \frac{a^2}{v^2} \quad (3.8)$$

จากสมการ (2.15) นั่นคือ

$$ds^2 = E(du)^2 + 2Fdudv + G(dv)^2$$

นำสมการ E (3.7) และ G (3.8) แทนในสมการ (2.15) จะได้ รูปแบบหลักมูลที่หนึ่งของพื้นผิวคล้ายทรงกรวย

$$ds^2 = v^2 du^2 + \left(1 + \frac{a^2}{v^2}\right) dv^2 \quad (3.9)$$

หาอนุพันธ์เทียบกับ u และ v กับสมการ (3.6) และ (3.7) จะได้

$$E_u = 0 \text{ และ } E_v = 2v \quad (3.10)$$

$$G_u = 0 \text{ และ } G_v = \frac{-2a}{v^3} \quad (3.11)$$

นำสมการ (3.6) (3.7) (3.10) และ (3.11) แทนในสมการ (2.63) นั่นคือ

$$u'' + \frac{E_v}{E} u' v' = 0$$

จะได้

$$u'' + \frac{2v}{v^2} u' v' = 0$$

นำสมการ (3.7) (3.8) (3.9) และ (3.10) แทนในสมการ (2.64) จะได้

$$v'' + \frac{2v}{2(1+\frac{a^2}{v^2})} (u')^2 + \frac{-2a}{2(1+\frac{a^2}{v^2})} (v')^2 = 0$$

$$v'' + \frac{v}{v^2+a^2} (u')^2 + \frac{-a}{v^2+a^2} (v')^2 = 0$$

$$v'' + \frac{v^3}{v^2+a^2} (u')^2 - \frac{a}{v(v^2+a^2)} (v')^2 = 0$$

เพราะฉะนั้น สมการจีโอเดซิกบนภาวะอิงพารามิเตอร์แกลโรดที่ขึ้นอยู่กับพารามิเตอร์ v สำหรับพื้นผิวคล้ายทรงกรวย คือ

$$u'' + \frac{2v}{v^2} u'v' = 0 \quad (3.12)$$

$$v'' + \frac{v^3}{v^2+a^2} (u')^2 - \frac{a}{v(v^2+a^2)} (v')^2 = 0 \quad (3.13)$$

นำ E, F และ G แทนในสมการ (3.3) จะได้

$$u = \pm \int \frac{c\sqrt{1+\frac{a^2}{v^2}}}{\sqrt{v^2}\sqrt{v^2-c^2}} dv \quad (3.14)$$

$$= \pm \int \frac{c\sqrt{1+\frac{a^2}{v^2}}}{\sqrt{v^2}\sqrt{v^2-c^2}} dv$$

$$= \pm \int \frac{c\sqrt{\frac{v^2+a^2}{v^2}}}{v\sqrt{v^2-c^2}} dv$$

$$= \pm c \int \frac{1}{\sqrt{v^2+a^2}} dv$$

$$= \pm c \int \frac{\sqrt{v^2+a^2}}{v^2\sqrt{v^2-c^2}} dv$$

ดังนั้น สมการจีโอเดซิกบนภาวะอิงพารามิเตอร์แกลโรดที่ขึ้นอยู่กับพารามิเตอร์ v สำหรับพื้นผิวคล้ายทรงกรวยที่อยู่ในรูปแบบปริพันธ์ คือ

$$u = \pm c \int \frac{\sqrt{v^2+a^2}}{v^2\sqrt{v^2-c^2}} dv \quad (3.15)$$

เอกสารนี้เป็นเอกสารที่สงวนไว้สำหรับการใช้งานเพื่อการศึกษาเท่านั้น ไม่อนุญาตให้นำไปใช้ประโยชน์ด้านการค้า ไม่ว่าจะกรณีใดๆ ทั้งสิ้น อีกทั้งห้ามมิให้ดัดแปลงเนื้อหา และต้องอ้างอิงถึงเจ้าของเอกสารทุกครั้งที่มีการนำไปใช้

หาผลเฉลยของสมการจืออเดซิกบนภาวะอิงพารามิเตอร์เกลโรลที่ขึ้นอยู่กับพารามิเตอร์ v สำหรับ
พื้นผิวคล้ายทรงกรวยที่อยู่ในรูปแบบปริพันธ์ (3.15) โดยวิธีการดังนี้

ให้ $v = c \cosh(x)$ และหาอนุพันธ์เทียบ v จะได้ $dv = c \sinh(x) dx$ แทนค่าในสมการ (3.15) จะได้

$$\begin{aligned} u &= \pm c \int \frac{\sqrt{c^2 \cosh^2(x) + a^2} c \sinh(x)}{c^2 \cosh^2(x) \sqrt{c^2 \cosh(x) - c^2}} dx \\ &= \pm c \int \frac{\sqrt{c^2 \cosh^2(x) + a^2} c \sinh(x)}{c^2 \cosh^2(x) \sqrt{c^2 \sinh(x)}} dx \\ u &= \pm c \int \frac{\sqrt{c^2 \cosh^2(x) + a^2}}{c^2 \cosh^2(x)} dx \end{aligned} \quad (3.16)$$

จาก

$$\int \frac{\sqrt{y^2 + a^2}}{y^2} dy = -\frac{\sqrt{y^2 + a^2}}{y^2} + \ln(y + \sqrt{y^2 + a^2}) + D \quad (3.17)$$

สามารถเขียนสมการ (3.16) ใหม่ได้ โดยกำหนดให้ $y = c \cosh(x)$ และหาอนุพันธ์เทียบ x จะได้
 $dy = c \sinh(x) dx$ นั่นคือ

$$\begin{aligned} u &= \pm c \int \frac{\sqrt{y^2 + a^2}}{y^2} \frac{dy}{c \sinh(x)} \\ &= \pm \frac{1}{\sinh(x)} \int \frac{\sqrt{y^2 + a^2}}{y^2} dy \\ u &= \pm \frac{1}{\sinh(x)} \left[-\frac{\sqrt{y^2 + a^2}}{y^2} + \ln(y + \sqrt{y^2 + a^2}) + D \right] \end{aligned} \quad (3.18)$$

เนื่องจาก $y = c \cosh(x)$ เพราะฉะนั้น

$$u = \pm \left[-\frac{\sqrt{c^2 \cosh^2 x + a^2}}{c^2 \sinh(x) \cosh^2(x)} + \frac{\ln(c \cosh(x) + \sqrt{c^2 \cosh^2(x) + a^2})}{\sinh(x)} + \frac{D}{\sinh(x)} \right] \quad (3.19)$$

และเนื่องจาก $v = c \cosh(x)$ ดังนั้น $x = \cosh^{-1}\left(\frac{v}{c}\right)$

แทนค่า $v = c \cosh(x)$ และ $x = \cosh^{-1}\left(\frac{v}{c}\right)$ ลงในสมการ (3.17) จะได้

$$\begin{aligned} u &= \mp \frac{\sqrt{c^2 \cosh^2(\cosh^{-1}(\frac{v}{c})) + a^2}}{c^2 \sinh(\cosh^{-1}(\frac{v}{c})) \cosh^2(\cosh^{-1}(\frac{v}{c}))} \pm \frac{1}{\sinh(\cosh^{-1}(\frac{v}{c}))} \\ &\quad \left[\ln(c \cosh(\cosh^{-1}(\frac{v}{c})) + \sqrt{c^2 \cosh^2(\cosh^{-1}(\frac{v}{c})) + a^2}) + D \right] \end{aligned} \quad (3.20)$$

เอกสารนี้เป็นเอกสารที่สงวนไว้สำหรับการใช้งานเพื่อการศึกษาเท่านั้น ไม่อนุญาตให้นำไปใช้ประโยชน์ด้านการค้า
ไม่ว่ากรณีใดๆ ทั้งสิ้น อีกทั้งห้ามมิให้ดัดแปลงเนื้อหา และต้องอ้างอิงถึงเจ้าของเอกสารทุกครั้งที่มีการนำไปใช้

จัดรูปจะได้

$$\begin{aligned}
 u &= \mp \frac{\sqrt{c^2 \cosh^2 \left(\cosh^{-1} \left(\frac{v}{c} \right) \right) + a^2}}{c^2 \sinh \left(\cosh^{-1} \left(\frac{v}{c} \right) \right) \cosh^2 \left(\cosh^{-1} \left(\frac{v}{c} \right) \right)} \pm \\
 &\frac{1}{\sinh \left(\cosh^{-1} \left(\frac{v}{c} \right) \right)} \left[\ln \left(c \cosh^2 \left(\cosh^{-1} \left(\frac{v}{c} \right) \right) + \sqrt{c^2 \cosh^2 \left(\cosh^{-1} \left(\frac{v}{c} \right) \right) + a^2} \right) + D \right] \\
 &= \mp \frac{\sqrt{v^2 + a^2}}{c^2 \left(\frac{v}{c} \right)^2 \sinh \left(\cosh^{-1} \left(\frac{v}{c} \right) \right)} \pm \frac{1}{\sinh \left(\cosh^{-1} \left(\frac{v}{c} \right) \right)} \left[\ln \left(v + \sqrt{c^2 \frac{v^2}{c^2} + a^2} \right) + D \right] \\
 &= \mp \frac{\sqrt{v^2 + a^2}}{v^2 \sinh \left(\cosh^{-1} \left(\frac{v}{c} \right) \right)} \pm \frac{1}{\sinh \left(\cosh^{-1} \left(\frac{v}{c} \right) \right)} \left[\ln \left(v + \sqrt{v^2 + a^2} \right) + D \right]
 \end{aligned}$$

ดังนั้น สมการผลเฉลยของจีโอเดซิกที่อยู่ในรูปแบบภาวะอิงพารามิเตอร์แกลโรดที่ขึ้นอยู่กับพารามิเตอร์ v สำหรับพื้นผิวคล้ายทรงกรวยคือ

$$u = \mp \frac{\sqrt{v^2 + a^2}}{v^2 \sinh \left(\cosh^{-1} \left(\frac{v}{c} \right) \right)} \pm \frac{1}{\sinh \left(\cosh^{-1} \left(\frac{v}{c} \right) \right)} \left[\ln \left(v + \sqrt{v^2 + a^2} \right) + D \right] \quad (3.21)$$

เมื่อ D เป็นค่าคงที่จากการหาปริพันธ์ และ c คือ ค่าคงที่ของแกลโรด

3.2.2 ทรงพาราโบล (Paraboloid)

ทรงพาราโบล [11] เป็นพื้นผิวปกติโดยมีสมการคาร์ทีเซียนคือ

$$\frac{x^2}{a^2} + \frac{y^2}{b^2} = \frac{z}{c}$$

กำหนดให้ $a = b$ และ $c = 1$

$$\frac{x^2}{a^2} + \frac{y^2}{a^2} = z$$

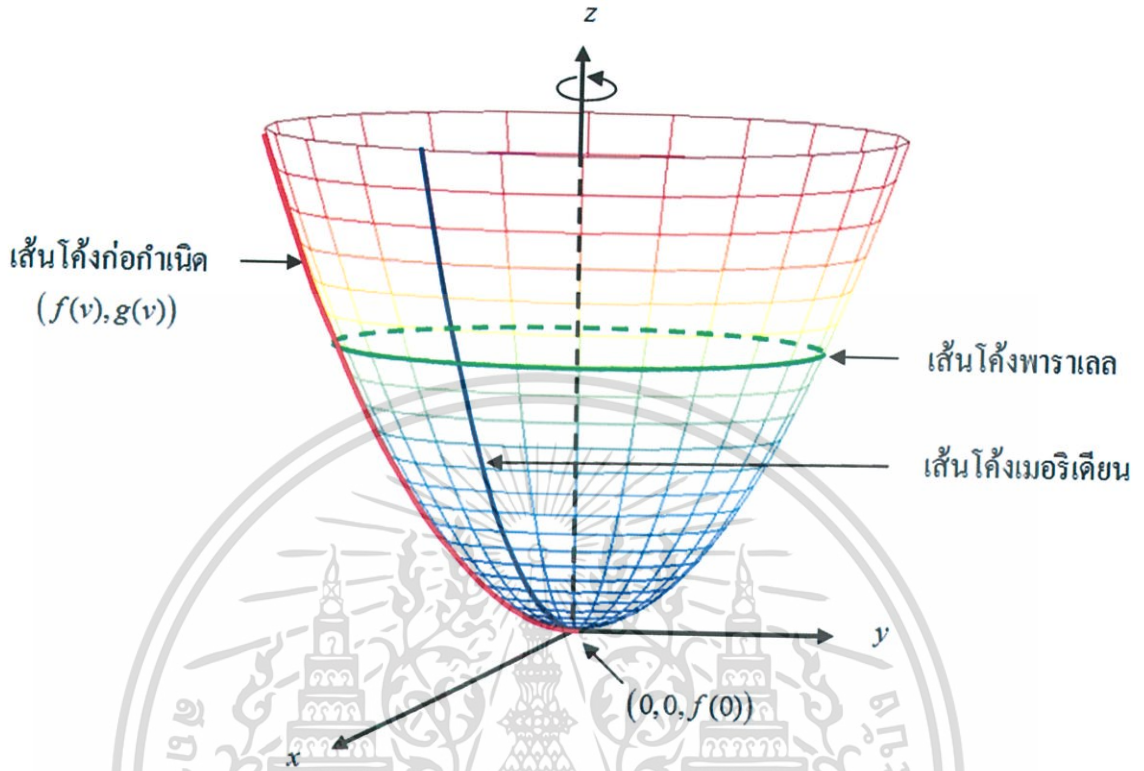
เมื่อ $x = av \cos u$, $y = av \sin u$ และ $z = v^2$

ทรงพาราโบลเป็นพื้นผิวของการหมุนของพาราโบลที่ตัดกับแกนการหมุนที่จุด $(0, 0, f(0))$ ซึ่งเป็นจุดตัดของแกน z กับพื้นผิวเรียกว่า จุดยอด (vertex) ของพื้นผิวและเป็นรูปทรงเปิดมีภาวะอิงพารามิเตอร์ คือ

$$\mathbf{x}(u, v) = (av \cos u, av \sin u, v^2) \quad (3.22)$$

เอกสารนี้เป็นเอกสารที่สงวนไว้สำหรับการใช้งานเพื่อการศึกษาเท่านั้น ไม่อนุญาตให้นำไปใช้ประโยชน์ด้านการค้า ไม่ว่ากรณีใดๆ ทั้งสิ้น อีกทั้งห้ามมิให้ดัดแปลงเนื้อหา และต้องอ้างอิงถึงเจ้าของเอกสารทุกครั้งที่มีการนำไปใช้

เมื่อ $f(v) = av, g(v) = v^2$ โดยที่ $v > 0, u \in [0, 2\pi)$ และ a เป็นรัศมีของทรงพาราโบล



รูปที่ 3.2 ส่วนประกอบบนพื้นผิวของการหมุนรอบของทรงพาราโบล

3.2.2.1 จีออเดสิกบนทรงพาราโบล (Geodesic on Paraboloid)

ทรงพาราโบลามีภาวะอิงพารามิเตอร์คือ $\mathbf{x}(u, v) = (av \cos u, av \sin u, v^2)$

คำนวณสัมประสิทธิ์ E, F และ G ของรูปแบบหลักมูลที่หนึ่งโดยการหาอนุพันธ์ย่อยของ \mathbf{x} (3.22) นั่นคือ หาอนุพันธ์เทียบ \mathbf{x} (3.22) กับ u จะได้

$$\mathbf{x}_u = (-av \sin u, av \cos u, 0) \quad (3.23)$$

หาอนุพันธ์เทียบ \mathbf{x} (3.22) กับ v จะได้

$$\mathbf{x}_v = (a \cos u, a \sin u, 2v) \quad (3.24)$$

เนื่องจาก $g_{11} = \mathbf{x}_u \cdot \mathbf{x}_u = E$, $g_{12} = \mathbf{x}_u \cdot \mathbf{x}_v = \mathbf{x}_v \cdot \mathbf{x}_u = g_{21} = F$ และ $g_{22} = \mathbf{x}_v \cdot \mathbf{x}_v = G$, จะได้แทนค่าสมการ (3.5) และ (3.6) เพื่อหาค่า E, F และ G จะได้

$$\begin{aligned} E &= \mathbf{x}_u \cdot \mathbf{x}_u = (-av \sin u, v \cos u, 0) \cdot (-av \sin u, v \cos u, 0) \\ &= ((-av \sin u)^2 + (av \cos u)^2) \\ &= a^2 v^2 \sin^2 u + a^2 v^2 \cos^2 u \end{aligned}$$

เอกสารนี้เป็นเอกสารที่สงวนไว้สำหรับการใช้งานเพื่อการศึกษาเท่านั้น ไม่อนุญาตให้นำไปใช้ประโยชน์ด้านการค้า ไม่ว่าจะกรณีใดๆ ทั้งสิ้น อีกทั้งห้ามมิให้ดัดแปลงเนื้อหา และต้องอ้างอิงถึงเจ้าของเอกสารทุกครั้งที่มีการนำไปใช้

ดังนั้น
$$E = a^2 v^2 \quad (3.25)$$

$$\begin{aligned} F &= \mathbf{x}_u \cdot \mathbf{x}_v = (-av \sin u, av \cos u, 0) \cdot (a \cos u, a \sin u, 2v) \\ &= -a^2 v \sin u \cos u + a^2 v \sin u \cos u \\ &= 0 \end{aligned}$$

ดังนั้น
$$F = 0 \quad (3.26)$$

$$\begin{aligned} G &= \mathbf{x}_v \cdot \mathbf{x}_v = (a \cos u, a \sin u, 2v) \cdot (a \cos u, a \sin u, 2v) \\ &= (a^2 \cos^2 u + a^2 \sin^2 u + 4v^2) \\ &= a^2 + 4v^2 \end{aligned}$$

ดังนั้น
$$G = a^2 + 4v^2 \quad (3.27)$$

จากสมการ(2.15) นั่นคือ

$$ds^2 = E(du)^2 + 2Fdudv + G(dv)^2$$

นำสมการ E (3.25) และ G (3.27) แทนในสมการ (2.15) จะได้ รูปแบบหลักมูลที่หนึ่งของทรงพาราโบล

$$ds^2 = a^2 v^2 du^2 + (a^2 + 4v^2) dv^2 \quad (3.28)$$

หาอนุพันธ์ E, F และ G เทียบกับ u และ v จะได้

$$E_u = 0 \quad \text{และ} \quad E_v = 2a^2 v \quad (3.29)$$

$$G_u = 0 \quad \text{และ} \quad G_v = 8v \quad (3.30)$$

นำสมการ (3.25) (3.27) (3.29) และ (3.30) แทนในสมการ (2.63) นั่นคือ

$$u'' + \frac{E_v}{E} u'v' = 0$$

จะได้

$$u'' + \frac{2a^2 v}{a^2 v^2} u'v' = u'' + \frac{2}{v} u'v' = 0$$

นำสมการ (3.25) (3.27) (3.29) และ (3.30) แทนในสมการ (2.63) นั่นคือ

$$v'' - \frac{E_v}{2G} (u')^2 + \frac{G_v}{2G} (v')^2 = 0$$

จะได้

$$v'' - \frac{2a^2 v}{2(a^2 + 4v^2)} (u')^2 + \frac{8v}{2(a^2 + 4v^2)} (v')^2 = 0$$

$$v'' - \frac{a^2 v}{(a^2 + 4v^2)} (u')^2 + \frac{4v}{(a^2 + 4v^2)} (v')^2 = 0$$

เอกสารนี้เป็นเอกสารที่สงวนไว้สำหรับการใช้งานเพื่อการศึกษาเท่านั้น ไม่อนุญาตให้นำไปใช้ประโยชน์ด้านการค้า
ไม่ว่ากรณีใดๆ ทั้งสิ้น อีกทั้งห้ามมิให้ดัดแปลงเนื้อหา และต้องอ้างอิงถึงเจ้าของเอกสารทุกครั้งที่มีการนำไปใช้

เพราะฉะนั้น สมการจีโอเดซิกบนภาวะอิงพารามิเตอร์แกลโรลที่ขึ้นอยู่กับพารามิเตอร์ v สำหรับทรงพาราโบลาคือ

$$u'' + \frac{2}{v}u'v' = 0 \quad (3.31)$$

$$v'' - \frac{a^2v}{(a^2 + 4v^2)}(u')^2 + \frac{4v}{(a^2 + 4v^2)}(v')^2 = 0 \quad (3.32)$$

นำ E, F และ G แทนในสมการ (3.3) จะได้

$$u = \pm \int \frac{c\sqrt{a^2 + 4v^2}}{\sqrt{a^2v^2}\sqrt{a^2v^2 - c^2}} dv \quad (3.33)$$

ดังนั้น สมการจีโอเดซิกบนภาวะอิงพารามิเตอร์แกลโรลที่ขึ้นอยู่กับพารามิเตอร์ v สำหรับทรงพาราโบลาคืออยู่ในรูปแบบปริพันธ์ คือ

$$u = \pm \int \frac{c\sqrt{a^2 + 4v^2}}{av\sqrt{a^2v^2 - c^2}} dv \quad (3.34)$$

จากสมการ (2.68) ทฤษฎีบท 2.10 (ความสัมพันธ์แกลโรล) และเนื่องจาก $f(v) = av$ ดังนั้น

$$av \cos \xi(s) = c \quad (3.35)$$

นำสมการ (3.36) แทนใน สมการ (3.35) จะได้

$$\begin{aligned} u &= \pm \int \frac{av \cos \xi(s) \sqrt{a^2 + 4v^2}}{av \sqrt{a^2v^2 - a^2v^2 \cos^2 \xi(s)}} dv \\ &= \pm \int \frac{\cos \xi(s) \sqrt{a^2 + 4v^2}}{\sqrt{a^2v^2(1 - \cos^2 \xi(s))}} v \\ &= \pm \int \frac{\cos \xi(s) \sqrt{a^2 + 4v^2}}{av \sqrt{\sin^2 \xi(s)}} dv \\ &= \pm \frac{\cos \xi(s)}{a \sin \xi(s)} \int \frac{\sqrt{a^2 + 4v^2}}{v} dv \\ &= \pm \frac{\cot \xi(s)}{a} \int \frac{\sqrt{a^2 + 4v^2}}{v} dv \\ u &= \pm \frac{\cot \xi(s)}{a} \int \frac{\sqrt{a^2 + 4v^2}}{v} dv \end{aligned} \quad (3.36)$$

เนื่องจาก
$$\int \frac{\sqrt{a^2 + x^2}}{x} dx = \sqrt{a^2 + x^2} - a \ln \left| \frac{a + \sqrt{a^2 + x^2}}{x} \right| + D$$

เมื่อ D เป็นค่าคงที่ของการปริพันธ์

เอกสารนี้เป็นเอกสารที่สงวนไว้สำหรับการใช้งานเพื่อการศึกษาเท่านั้น ไม่อนุญาตให้นำไปใช้ประโยชน์ด้านการค้า ไม่ว่าจะกรณีใดๆ ทั้งสิ้น อีกทั้งห้ามมิให้ดัดแปลงเนื้อหา และต้องอ้างอิงถึงเจ้าของเอกสารทุกครั้งที่มีการนำไปใช้

จากสมการ (3.36) จะได้

$$u = \pm \frac{2 \cot \xi(s)}{a} \int \frac{\sqrt{a^2 + 4v^2}}{2v} dv$$

$$= \pm \frac{2 \cot \xi(s)}{a} \left[\sqrt{a^2 + 4v^2} - a \ln \left| \frac{a + \sqrt{a^2 + 4v^2}}{2v} \right| + D \right]$$

ดังนั้น สมการผลเฉลยของสมการจ้อเดซิกบนภาวะอิงพารามิเตอร์แกลโรลที่ขึ้นอยู่กับพารามิเตอร์ v สำหรับทรงพาราโบลาคือ

$$u = \pm \frac{2 \cot \xi(s)}{a} \left[\sqrt{a^2 + 4v^2} - a \ln \left| \frac{a + \sqrt{a^2 + 4v^2}}{2v} \right| + D \right] \tag{3.37}$$

3.2.3 ทรงไฮเพอร์โบล (Hyperboloid of One Sheet)

ทรงไฮเพอร์โบล [11] หรือ ทรงไฮเพอร์โบลาค้นเดียวเป็นพื้นผิวปกติโดยมีสมการคาร์ทีเซียนคือ

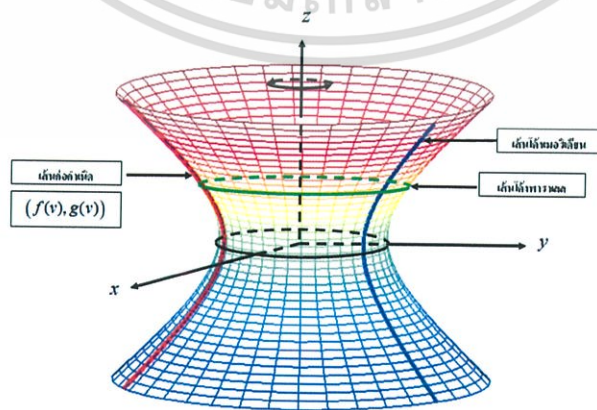
$$\frac{x^2}{a^2} + \frac{y^2}{a^2} - \frac{z^2}{b^2} = 1$$

เมื่อ $x = a\sqrt{1+v^2} \cos u, y = a\sqrt{1+v^2} v \sin u$ และ $z = bv$

ทรงไฮเพอร์โบลาคือพื้นผิวของการหมุน โดยการหมุนไฮเพอร์โบลารอบแกน z และทรงไฮเพอร์โบลาคือรูปทรงเปิดมีภาวะอิงพารามิเตอร์คือ

$$x(u, v) = (a\sqrt{1+v^2} \cos u, a\sqrt{1+v^2} v \sin u, bv) \tag{3.38}$$

เมื่อ $f(v) = bv, g(v) = a\sqrt{1+v^2}$ โดยที่ $u \in [0, 2\pi)$ a เป็นรัศมีของทรงพาราโบลาคือ b เป็นค่าคงที่ใดๆ



รูปที่ 3.3 ส่วนประกอบบนพื้นผิวของการหมุนรอบของทรงไฮเพอร์โบล

เอกสารนี้เป็นเอกสารที่สงวนไว้สำหรับการใช้งานเพื่อการศึกษาเท่านั้น ไม่อนุญาตให้นำไปใช้ประโยชน์ด้านการค้า ไม่ว่าจะกรณีใดๆ ทั้งสิ้น อีกทั้งห้ามมิให้ดัดแปลงเนื้อหา และต้องอ้างอิงถึงเจ้าของเอกสารทุกครั้งที่มีการนำไปใช้

3.2.3.1 จีออเดสิกบนทรงไฮเพอร์โบลอยด์ (Geodesic on Hyperboloid of One Sheet)

ทรงพาราโบลามีภาวะอิงพารามิเตอร์คือ

$$\mathbf{x}(u, v) = (a\sqrt{1+v^2} \cos u, a\sqrt{1+v^2} \sin u, bv)$$

คำนวณสัมประสิทธิ์ E, F และ G ของรูปแบบหลักมูลที่หนึ่งโดยการหาอนุพันธ์ย่อยของ \mathbf{x} (3.38) นั่นคือ

หาอนุพันธ์เทียบกับ \mathbf{x} (3.38) กับ u จะได้

$$\mathbf{x}_u = (-a\sqrt{1+v^2} \sin u, a\sqrt{1+v^2} \cos u, 0) \quad (3.39)$$

หาอนุพันธ์เทียบกับ \mathbf{x} (3.38) กับ v จะได้

$$\mathbf{x}_v = \left(\frac{av}{\sqrt{1+v^2}} \cos u, \frac{av}{\sqrt{1+v^2}} \sin u, b \right) \quad (3.40)$$

เนื่องจาก $g_{11} = \mathbf{x}_u \cdot \mathbf{x}_u = E$, $g_{12} = \mathbf{x}_u \cdot \mathbf{x}_v = \mathbf{x}_v \cdot \mathbf{x}_u = g_{21} = F$ และ $g_{22} = \mathbf{x}_v \cdot \mathbf{x}_v = G$, จะได้

แทนสมการ (3.39) และ (3.40) เพื่อหาค่า E, F และ G จะได้

$$\begin{aligned} E &= \mathbf{x}_u \cdot \mathbf{x}_u \\ &= (-a\sqrt{1+v^2} \sin u, a\sqrt{1+v^2} \cos u, 0) \cdot (-a\sqrt{1+v^2} \sin u, a\sqrt{1+v^2} \cos u, 0) \\ &= a^2(1+v^2) \sin^2 u + a^2(1+v^2) \cos^2 u \\ &= a^2(1+v^2) \end{aligned}$$

ดังนั้น

$$E = a^2(1+v^2) \quad (3.41)$$

$$\begin{aligned} F &= \mathbf{x}_u \cdot \mathbf{x}_v \\ &= (-a\sqrt{1+v^2} \sin u, a\sqrt{1+v^2} \cos u, 0) \cdot \left(\frac{av}{\sqrt{1+v^2}} \cos u, \frac{av}{\sqrt{1+v^2}} \sin u, b \right) \\ &= -a^2 v \sin u \cos u + a^2 v \sin u \cos u \\ &= 0 \end{aligned}$$

ดังนั้น

$$F = 0 \quad (3.42)$$

$$G = \mathbf{x}_v \cdot \mathbf{x}_v$$

$$\begin{aligned} &= \left(\frac{av}{\sqrt{1+v^2}} \cos u, \frac{av}{\sqrt{1+v^2}} \sin u, b \right) \cdot \left(\frac{av}{\sqrt{1+v^2}} \cos u, \frac{av}{\sqrt{1+v^2}} \sin u, b \right) \\ &= \frac{a^2 v^2}{1+v^2} \cos^2 u + \frac{a^2 v^2}{1+v^2} \sin^2 u + b^2 \\ &= \frac{a^2 v^2}{1+v^2} + b^2 \end{aligned}$$

เอกสารนี้เป็นเอกสารที่สงวนไว้สำหรับการใช้งานเพื่อการศึกษาเท่านั้น ไม่อนุญาตให้นำไปใช้ประโยชน์ด้านการค้า
ไม่ว่ากรณีใดๆ ทั้งสิ้น อีกทั้งห้ามมิให้ดัดแปลงเนื้อหา และต้องอ้างอิงถึงเจ้าของเอกสารทุกครั้งที่มีการนำไปใช้

ดังนั้น
$$G = \frac{a^2 v^2}{1+v^2} + b^2 \quad (3.43)$$

จากสมการ(2.15) นั่นคือ

$$ds^2 = E(du)^2 + 2Fdudv + G(dv)^2$$

นำสมการ E (3.41) F (3.42) และ G (3.43) แทนในสมการ (2.15) จะได้ รูปแบบหลักมูลที่หนึ่งของทรงไฮเพอร์โบล

$$ds^2 = a^2(1+v^2)du^2 + \frac{a^2 v^2}{1+v^2} + b^2 dv^2 \quad (3.44)$$

หาอนุพันธ์ E และ G เทียบกับ u และ v จะได้

$$E_u = 0 \text{ และ } E_v = 2a^2v \quad (3.45)$$

$$G_u = 0 \text{ และ } G_v = \frac{a^2(1+v^2)2v - a^2v^2(2v)}{(1+v^2)^2} = \frac{a^2 2v(1+v^2 - v^2)}{(1+v^2)^2} = \frac{2a^2v}{(1+v^2)^2} \quad (3.46)$$

นำสมการ (3.41) (3.43) (3.45) และ (3.46) แทนในสมการ (2.63)

จะได้

$$u'' + \frac{2a^2v}{a^2(1+v^2)} u'v' = 0$$

นำสมการ (3.41) (3.43) (3.45) และ (3.46) แทนในสมการ (2.64)

จะได้

$$v'' - \frac{2a^2v}{2\left(\frac{a^2v^2}{1+v^2} + b^2\right)} (u')^2 + \frac{\frac{2a^2v}{(1+v^2)^2}}{2\left(\frac{a^2v^2}{1+v^2} + b^2\right)} (v')^2 = 0$$

$$v'' - \frac{2a^2v}{2\left(\frac{a^2v^2 + b^2(1+v^2)}{1+v^2}\right)} (u')^2 + \frac{\frac{2a^2v}{(1+v^2)^2}}{2\left(\frac{a^2v^2 + b^2(1+v^2)}{1+v^2}\right)} (v')^2 = 0$$

$$v'' - \frac{2a^2v}{2\left(\frac{a^2v^2 + b^2(1+v^2)}{1+v^2}\right)} (u')^2 + \frac{\frac{2a^2v}{(1+v^2)^2}}{2(a^2v^2 + b^2(1+v^2))} (v')^2 = 0$$

$$v'' + \frac{a^2v(1+v^2)}{a^2v^2 + b^2(1+v^2)} u'^2 + \frac{a^2v}{(1+v^2)(a^2v^2 + b^2(1+v^2))} v'^2 = 0$$

เอกสารนี้เป็นเอกสารที่สงวนไว้สำหรับการใช้งานเพื่อการศึกษาเท่านั้น ไม่อนุญาตให้นำไปใช้ประโยชน์ด้านการค้า ไม่ว่าจะกรณีใดๆ ทั้งสิ้น อีกทั้งห้ามมิให้ดัดแปลงเนื้อหา และต้องอ้างอิงถึงเจ้าของเอกสารทุกครั้งที่มีการนำไปใช้

เพราะฉะนั้น สมการจีโอเดซิกบนภาวะอิงพารามิเตอร์แกโลโรลที่ขึ้นอยู่กับพารามิเตอร์ v สำหรับทรงไฮเพอร์โบลาคือ

$$u'' + \frac{2a^2v}{a^2(1+v^2)} u'v' = 0 \quad (3.47)$$

$$v'' + \frac{a^2v(1+v^2)}{a^2v^2 + b^2(1+v^2)} u'^2 + \frac{a^2v}{(1+v^2)(a^2v^2 + b^2(1+v^2))} v'^2 = 0 \quad (3.48)$$

นำ E, F และ G แทนในสมการ (3.3) จะได้

$$\begin{aligned} u &= \pm \int \frac{c\sqrt{a^2v^2 + b^2}}{\sqrt{a^2(1+v^2)}\sqrt{a^2(1+v^2) - c^2}} dv \\ &= \pm \int \frac{c\sqrt{a^2v^2 + b^2(1+v^2)}}{a\sqrt{(1+v^2)}\sqrt{a^2(1+v^2) - c^2}} dv \\ &= \pm \int \frac{\sqrt{1+v^2}}{a\sqrt{1+v^2}\sqrt{a^2(1+v^2) - c^2}} dv \\ &= \pm \int \frac{c\sqrt{a^2v^2 + b^2(1+v^2)}}{a(1+v^2)\sqrt{a^2(1+v^2) - c^2}} dv \end{aligned}$$

ดังนั้น สมการจีโอเดซิกบนภาวะอิงพารามิเตอร์แกโลโรลที่ขึ้นอยู่กับพารามิเตอร์ v สำหรับทรงไฮเพอร์โบลาคืออยู่ในรูปแบบปริพันธ์ คือ

$$u = \pm \int \frac{c\sqrt{a^2v^2 + b^2(1+v^2)}}{a(1+v^2)\sqrt{a^2(1+v^2) - c^2}} dv \quad (3.49)$$

จากสมการ (2.68) และเนื่องจาก $f(v) = a\sqrt{1+v^2}$ จะได้

$$a\sqrt{1+v^2} \cos \zeta(s) = c \quad (3.50)$$

นำสมการ ((3.50) แทนใน (3.49) จะได้

$$\begin{aligned}
u &= \pm \int \frac{\sqrt{1+v^2} \cos \xi(s) \sqrt{a^2 v^2 + b^2 (1+v^2)}}{(1+v^2) \sqrt{a^2 (1+v^2) - a^2 (1+v^2) \cos^2 \xi(s)}} dv \\
&= \pm \int \frac{\cos \xi(s) \sqrt{a^2 v^2 + b^2 (1+v^2)}}{\sqrt{1+v^2} \sqrt{a^2 (1+v^2) - a^2 (1+v^2) \cos^2 \xi(s)}} dv \\
&= \pm \int \frac{\cos \xi(s) \sqrt{a^2 v^2 + b^2 (1+v^2)}}{\sqrt{1+v^2} \sqrt{a^2 (1+v^2) (1 - \cos^2 \xi(s))}} dv \\
&= \pm \int \frac{\cos \xi(s) \sqrt{a^2 v^2 + b^2 (1+v^2)}}{\sqrt{1+v^2} a \sqrt{1+v^2} \sqrt{\sin^2 \xi(s)}} dv \\
&= \pm \frac{\cos \xi(s)}{a \sin \xi(s)} \int \frac{\sqrt{a^2 v^2 + b^2 (1+v^2)}}{(1+v^2)} dv \\
u &= \pm \frac{\tan \xi(s)}{a} \int \frac{\sqrt{a^2 v^2 + b^2 (1+v^2)}}{(1+v^2)} dv
\end{aligned} \tag{3.51}$$

กำหนดให้ $a = b$ จากสมการ (3.51) จะได้

$$\begin{aligned}
u &= \pm \frac{\tan \xi(s)}{a} \int \frac{\sqrt{a^2 v^2 + a^2 (1+v^2)}}{(1+v^2)} dv \\
&= \pm \frac{\tan \xi(s)}{a} \int \frac{a \sqrt{v^2 + (1+v^2)}}{(1+v^2)} dv \\
u &= \pm \tan \xi(s) \int \frac{\sqrt{1+2v^2}}{1+v^2} dv
\end{aligned} \tag{3.52}$$

ใช้ Mathematica ซึ่งเป็นโปรแกรมทางคณิตศาสตร์ช่วยในการปริพันธ์จะได้

$$u = \pm \frac{\tan \xi(s)}{4} \left[4\sqrt{2} \sin^{-1}(\sqrt{2}v) + \ln(32 + 96v^2 - 64v\sqrt{1+2v^2}) - \ln(32(1+3v^2 + 2v\sqrt{1+2v^2})) \right]$$

ดังนั้น สมการผลเฉลยของสมการจืออเดซิกบนภาวะอิงพารามิเตอร์แกดโรลด์ที่ขึ้นอยู่กับพารามิเตอร์ v สำหรับไฮเพอร์โบลาคือ

$$u = \pm \frac{\tan \xi(s)}{4} \left[4\sqrt{2} \sin^{-1}(\sqrt{2}v) + \ln(32 + 96v^2 - 64v\sqrt{1+2v^2}) - \ln(32(1+3v^2 + 2v\sqrt{1+2v^2})) \right] + D \tag{3.53}$$

เมื่อ D เป็นค่าคงที่จากการการปริพันธ์

เอกสารนี้เป็นเอกสารที่สงวนไว้สำหรับการใช้งานเพื่อการศึกษาเท่านั้น ไม่อนุญาตให้นำไปใช้ประโยชน์ด้านการค้า ไม่ว่ากรณีใดๆ ทั้งสิ้น อีกทั้งห้ามมิให้ดัดแปลงเนื้อหา และต้องอ้างอิงถึงเจ้าของเอกสารทุกครั้งที่มีการนำไปใช้

3.2.4 ทรงไฮเพอร์โบลาสองชั้น (Hyperboloid of two sheet)

ทรงไฮเพอร์โบลาสองชั้น [11] เป็นพื้นผิวปกติโดยมีสมการคาร์ทีเซียนคือ

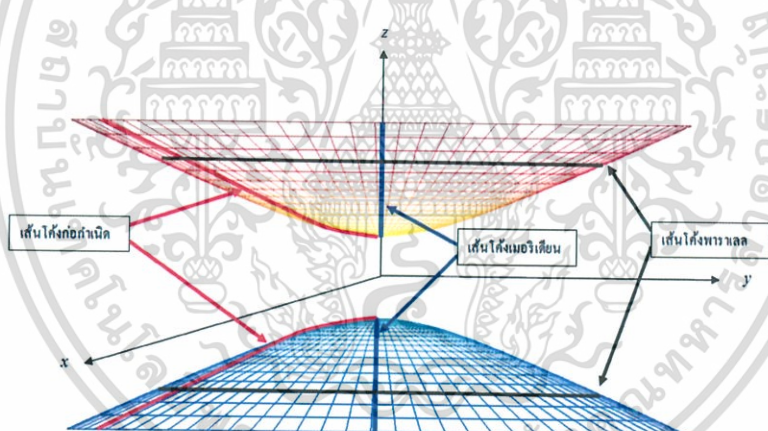
$$\frac{x^2}{a^2} + \frac{y^2}{a^2} - \frac{z^2}{b^2} = 1$$

เมื่อ $x = a \sinh v \cos u$, $y = a \sinh v \sin u$ และ $z = b \cosh v$

ทรงไฮเพอร์โบลาสองชั้นเป็นพื้นผิวของการหมุนที่ตัดกับแกนการหมุนโดยมีลักษณะตัดแกน z สองจุดโดยจุดแรกจะตัดในแนวแกน z ทางด้านบน อีกจุดจะตัดในแนวแกน z ทางด้านล่าง โดยส่วนบนและส่วนล่างของรูปจะเป็นรูปทรงแบบเปิด โดยทรงไฮเพอร์โบลาสองชั้นมีภาวะอิงพารามิเตอร์คือ

$$\mathbf{x}(u, v) = (a \sinh v \cos u, a \sinh v \sin u, b \cosh v) \quad (3.54)$$

เมื่อ $f(v) = a \sinh v$, $g(v) = b \cosh v$ โดยที่ $v \in (-\infty, \infty)$, $u \in [0, 2\pi)$ a เป็นระยะทางในแนวแกน x และแกน y b เป็นระยะทางในแนวแกน z



รูปที่ 3.4 ส่วนประกอบบนพื้นผิวของการหมุนรอบของทรงไฮเพอร์โบลาสองชั้น

3.2.4.1 จีออเดสิกบนทรงไฮเพอร์โบลาสองชั้น (Geodesic on Hyperboloid of two sheet)

ทรงไฮเพอร์โบลาสองชั้น มีภาวะอิงพารามิเตอร์คือ

$$\mathbf{x}(u, v) = (a \sinh v \cos u, a \sinh v \sin u, b \cosh v)$$

คำนวณสัมประสิทธิ์ E, F และ G ของรูปแบบหลักมูลที่หนึ่งโดยการหาอนุพันธ์ย่อยของ \mathbf{x} (3.54) นั่นคือ หาอนุพันธ์เทียบ \mathbf{x} (3.54) กับ u จะได้

$$\mathbf{x}_u = (-a \sinh v \sin u, a \sinh v \cos u, 0) \quad (3.55)$$

หาอนุพันธ์เทียบ \mathbf{x} (3.54) กับ v จะได้

เอกสารนี้เป็นเอกสารที่สงวนไว้สำหรับการใช้งานเพื่อการศึกษาเท่านั้น ไม่อนุญาตให้นำไปใช้ประโยชน์ด้านการค้า ไม่ว่าจะกรณีใดๆ ทั้งสิ้น อีกทั้งห้ามมิให้ดัดแปลงเนื้อหา และต้องอ้างอิงถึงเจ้าของเอกสารทุกครั้งที่มีการนำไปใช้

$$\mathbf{x}_v = (a \cosh v \cos u, a \cosh v \sin u, b \sinh v) \quad (3.56)$$

เนื่องจาก $g_{11} = \mathbf{x}_u \cdot \mathbf{x}_u = E$, $g_{12} = \mathbf{x}_u \cdot \mathbf{x}_v = \mathbf{x}_v \cdot \mathbf{x}_u = g_{21} = F$ และ $g_{22} = \mathbf{x}_v \cdot \mathbf{x}_v = G$, จะได้แทนค่าสมการ (3.55) และ (3.56) เพื่อหาค่า E, F และ G จะได้

$$E = \mathbf{x}_u \cdot \mathbf{x}_u = a^2 \sinh^2 v \sin^2 u + a^2 \sinh^2 v \cos^2 u = a^2 \sinh^2 v$$

ดังนั้น
$$E = a^2 \sinh^2 v \quad (3.57)$$

$$F = \mathbf{x}_u \cdot \mathbf{x}_v = -a \sinh v \sin u a \cosh v \cos u + a \sinh v \cos u a \cosh v \sin u + (0) b \sinh v$$

ดังนั้น
$$F = 0 \quad (3.58)$$

$$G = \mathbf{x}_v \cdot \mathbf{x}_v = a^2 \cosh^2 v \cos^2 u + a^2 \cosh^2 v \sin^2 u + b^2 \sinh^2 v$$

ดังนั้น
$$G = a^2 \cosh^2 v + b^2 \sinh^2 v \quad (3.59)$$

จากสมการ(2.15) นั่นคือ

$$ds^2 = E(du)^2 + 2Fdudv + G(dv)^2$$

นำสมการ E (3.57) และ G (3.58) แทนในสมการ (2.15) จะได้ รูปแบบหลักมูลที่หนึ่งของทรงไฮเพอร์โบลาลสองชั้น

$$ds^2 = a^2 \sinh^2 v du^2 + (a^2 \cosh^2 v + b^2 \sinh^2 v) dv^2 \quad (3.60)$$

หาอนุพันธ์ E เทียบกับ u และ v จะได้

$$E_u = 0 \text{ และ } E_v = 2a^2 \sinh v \cosh v$$

ดังนั้น

$$E_v = 2a^2 \sinh v \cosh v \quad (3.61)$$

หาอนุพันธ์ G เทียบกับ u และ v จะได้

$$G_u = 0 \text{ และ } G_v = 2a^2 \cosh v \sinh v + 2b^2 \sinh v \cosh v$$

ดังนั้น

$$G_v = 2(a^2 + b^2) \cosh v \sinh v \quad (3.62)$$

นำสมการ (3.57) (3.58) (3.61) และ (3.62) แทนในสมการ (2.63) จะได้

$$u'' + \frac{2a^2 \sinh v \cosh v}{a^2 \sinh^2 v} u'v' = 0$$

$$u'' + \frac{2 \cosh v}{\sinh v} u'v' = 0$$

นำสมการ (3.57) (3.58) (3.61) และ (3.62) แทนในสมการ (2.64) จะได้

$$v'' + \frac{2a^2 \sinh v \cosh v}{2(a^2 \cosh^2 v + b^2 \sinh^2 v)} u'^2 + \frac{2(a^2 + b^2) \cosh v \sinh v}{2(a^2 \cosh^2 v + b^2 \sinh^2 v)} v'^2 = 0$$

เอกสารนี้เป็นเอกสารที่สงวนไว้สำหรับการใช้งานเพื่อการศึกษาเท่านั้น ไม่อนุญาตให้นำไปใช้ประโยชน์ด้านการค้า ไม่ว่าจะกรณีใดๆ ทั้งสิ้น อีกทั้งห้ามมิให้ดัดแปลงเนื้อหา และต้องอ้างอิงถึงเจ้าของเอกสารทุกครั้งที่มีการนำไปใช้

เพราะฉะนั้น สมการจีโอเดซิกบนภาวะอิงพารามิเตอร์แกลโรลที่ขึ้นอยู่กับพารามิเตอร์ v สำหรับทรงไฮเพอร์โบลาสองชั้น คือ

$$u'' + 2 \coth v u' v' = 0 \quad (3.63)$$

$$v'' + \frac{a^2 \sinh v \cosh v}{(a^2 \cosh^2 v + b^2 \sinh^2 v)} u'^2 + \frac{(a^2 + b^2) \cosh v \sinh v}{(a^2 \cosh^2 v + b^2 \sinh^2 v)} v'^2 = 0 \quad (3.64)$$

นำ E, F และ G แทนในสมการ (3.3) จะได้

$$u = \pm \int \frac{c \sqrt{a^2 \cosh^2 v + b^2 \sinh^2 v}}{\sqrt{a^2 \sinh^2 v} \sqrt{a^2 \sinh^2 v - c^2}} dv$$

ดังนั้น สมการจีโอเดซิกบนภาวะอิงพารามิเตอร์แกลโรลที่ขึ้นอยู่กับพารามิเตอร์ v สำหรับทรงไฮเพอร์โบลาสองชั้น ที่อยู่ในรูปแบบปริพันธ์ คือ

$$u = \pm \int \frac{c \sqrt{a^2 \cosh^2 v + b^2 \sinh^2 v}}{a \sinh v \sqrt{a^2 \sinh^2 v - c^2}} dv \quad (3.65)$$

จากสมการ (2.68) และเนื่องจาก $f(v) = a \sinh v$ จะได้

$$a \sinh v \cos \xi(s) = c \quad (3.66)$$

นำสมการ ((3.66) แทนใน (3.65) จะได้

$$\begin{aligned} u &= \pm \int \frac{a \sinh v \cos \xi(s) \sqrt{a^2 \cosh^2 v + b^2 \sinh^2 v}}{a \sinh v \sqrt{a^2 \sinh^2 v - a^2 \sinh^2 v \cos^2 \xi(s)}} dv \\ &= \pm \int \frac{\cos \xi(s) \sqrt{a^2 \cosh^2 v + b^2 \sinh^2 v}}{\sqrt{a^2 \sinh^2 v - a^2 \sinh^2 v \cos^2 \xi(s)}} dv \\ &= \pm \int \frac{\cos \xi(s) \sqrt{a^2 \cosh^2 v + b^2 \sinh^2 v}}{a \sinh v \sqrt{1 - \cos^2 \xi(s)}} dv \\ &= \pm \frac{\cos \xi(s)}{a \sin \xi(s)} \int \frac{\sqrt{a^2 \cosh^2 v + b^2 \sinh^2 v}}{\sinh v} dv \end{aligned}$$

กำหนดให้ $a = b$ จะได้

$$\begin{aligned} u &= \pm \frac{\cos \xi(s)}{a \sin \xi(s)} \int \frac{a \sqrt{\cosh^2 v + \sinh^2 v}}{\sinh v} dv \\ u &= \pm \cot \xi(s) \int \frac{\sqrt{\cosh^2 v + \sinh^2 v}}{\sinh v} dv \end{aligned}$$

ใช้ Mathematica ซึ่งเป็นโปรแกรมทางคณิตศาสตร์ช่วยในการหาปริพันธ์จะได้

เอกสารนี้เป็นเอกสารที่สงวนไว้สำหรับการใช้งานเพื่อการศึกษาเท่านั้น ไม่อนุญาตให้นำไปใช้ประโยชน์ด้านการค้า ไม่ว่าจะกรณีใดๆ ทั้งสิ้น อีกทั้งห้ามมิให้ดัดแปลงเนื้อหา และต้องอ้างอิงถึงเจ้าของเอกสารทุกครั้งที่มีการนำไปใช้

$$u = \pm \cot \xi(s) \left[-\tanh^{-1} \left(\frac{\cosh v}{\cosh 2v} \right) + \sqrt{2} \ln \left(\sqrt{2} \cosh v + \sqrt{\cosh 2v} \right) + D \right]$$

ดังนั้น สมการผลเฉลยของสมการจีโอเดสิกบนภาวะอิงพารามิเตอร์แกลโรลที่ขึ้นอยู่กับพารามิเตอร์ v สำหรับไฮเพอร์โบลาสองชั้นคือ

$$u = \pm \cot \xi(s) \left[-\tanh^{-1} \left(\frac{\cosh v}{\cosh 2v} \right) + \sqrt{2} \ln \left(\sqrt{2} \cosh v + \sqrt{\cosh 2v} \right) + D \right] \quad (3.67)$$

เมื่อ D เป็นค่าคงที่จากการปริพันธ์

3.2.5 แคทีนอยด์ (Catenoid)

แคทีนอยด์[11] เป็นพื้นผิวของการหมุนของแคทีนารี (Catenary) ซึ่งสมการคาร์ทีเซียนของแคทีนารีจะอยู่ในรูป

$$y = a \cosh\left(\frac{x}{a}\right)$$

และในรูปของพิกัดเชิงกระบอกคือ

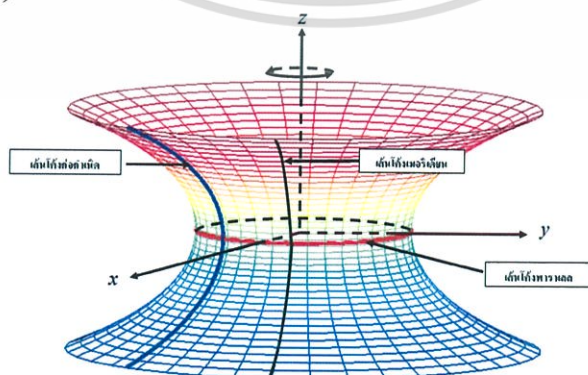
$$x = r \cos u, y = r \sin u, z = v$$

เมื่อ $r = a \cosh\left(\frac{v}{a}\right)$

แคทีนอยด์เป็นพื้นผิวของการหมุนที่ไม่ตัดกับแกนการหมุน สำหรับแคทีนอยด์เป็นรูปทรงเปิดและมีค่าความโค้งเฉลี่ย (mean curvature) เป็นศูนย์ทุกๆ จุดบนพื้นผิว ซึ่งจะกล่าวได้ว่า แคทีนอยด์เป็น minimal surface โดยแคทีนอยด์มีภาวะอิงพารามิเตอร์ คือ

$$\mathbf{x}(u, v) = \left(a \cosh\left(\frac{v}{a}\right) \cos u, a \cosh\left(\frac{v}{a}\right) \sin u, v \right) \quad (3.68)$$

เมื่อ $f(v) = a \cosh\left(\frac{v}{a}\right), g(v) = v$ โดยที่ $u \in [0, 2\pi)$



รูปที่ 3.5 ส่วนประกอบบนพื้นผิวของการหมุนรอบของแคทีนอยด์

เอกสารนี้เป็นเอกสารที่สงวนไว้สำหรับการใช้งานเพื่อการศึกษาเท่านั้น ไม่อนุญาตให้นำไปใช้ประโยชน์ด้านการค้า ไม่ว่าจะกรณีใดๆ ทั้งสิ้น อีกทั้งห้ามมิให้ดัดแปลงเนื้อหา และต้องอ้างอิงถึงเจ้าของเอกสารทุกครั้งที่มีการนำไปใช้

3.2.5.1 จีออเดสิกบนแคทีนอยด์ (Geodesic on Catenoid)

แคทีนอยด์มีภาวะอิงพารามิเตอร์คือ $\mathbf{x}(u, v) = \left(a \cosh\left(\frac{v}{a}\right) \cos u, a \cosh\left(\frac{v}{a}\right) \sin u, v \right)$

คำนวณสัมประสิทธิ์ E, F และ G ของรูปแบบหลักมูลที่หนึ่งโดยการหาอนุพันธ์ย่อยของ \mathbf{x} (3.68) นั่นคือ หาอนุพันธ์เทียบ \mathbf{x} (3.68) กับ u จะได้

$$\mathbf{x}_u = \left(-a \cosh\left(\frac{v}{a}\right) \sin u, a \cosh\left(\frac{v}{a}\right) \cos u, 0 \right) \quad (3.69)$$

หาอนุพันธ์เทียบ \mathbf{x} (3.68) กับ v จะได้

$$\mathbf{x}_v = \left(\sinh\left(\frac{v}{a}\right) \cos u, \sinh\left(\frac{v}{a}\right) \sin u, 1 \right) \quad (3.70)$$

เนื่องจาก $g_{11} = \mathbf{x}_u \cdot \mathbf{x}_u = E$, $g_{12} = \mathbf{x}_u \cdot \mathbf{x}_v = \mathbf{x}_v \cdot \mathbf{x}_u = g_{21} = F$ และ $g_{22} = \mathbf{x}_v \cdot \mathbf{x}_v = G$, จะได้แทนค่าสมการ (3.69) และ (3.70) เพื่อหาค่า E, F และ G จะได้

$$E = \mathbf{x}_u \cdot \mathbf{x}_u = a^2 \cosh^2\left(\frac{v}{a}\right) \sin^2 u + a^2 \cosh^2\left(\frac{v}{a}\right) \cos^2 u$$

ดังนั้น

$$E = a^2 \cosh^2\left(\frac{v}{a}\right) \quad (3.71)$$

$$F = \mathbf{x}_u \cdot \mathbf{x}_v = -a \cosh\left(\frac{v}{a}\right) \sin u \sinh\left(\frac{v}{a}\right) \cos u + a \cosh\left(\frac{v}{a}\right) \cos u \sinh\left(\frac{v}{a}\right) \sin u + 0 = 0$$

ดังนั้น

$$F = 0 \quad (3.72)$$

$$\begin{aligned} G &= \mathbf{x}_v \cdot \mathbf{x}_v = \sinh^2\left(\frac{v}{a}\right) \cos^2 u + \sinh^2\left(\frac{v}{a}\right) \sin^2 u + 1 \\ &= \sinh^2\left(\frac{v}{a}\right) + 1 \end{aligned}$$

ดังนั้น

$$G = \cosh^2\left(\frac{v}{a}\right) \quad (3.73)$$

จากสมการ(2.15) นั่นคือ

$$ds^2 = E(du)^2 + 2Fdudv + G(dv)^2$$

นำสมการ E (3.72) และ G (3.73) แทนในสมการ (2.15) จะได้ รูปแบบหลักมูลที่หนึ่งของแคทีนอยด์

$$ds^2 = a^2 \cosh^2\left(\frac{v}{a}\right) du^2 + \cosh^2\left(\frac{v}{a}\right) dv^2 \quad (3.74)$$

หาอนุพันธ์ E เทียบกับ u และ v จะได้

$$E_u = 0 \quad \text{และ} \quad E_v = 2 \frac{a^2}{a} \cosh\left(\frac{v}{a}\right) \sinh\left(\frac{v}{a}\right)$$

ดังนั้น

$$E_v = 2a \cosh\left(\frac{v}{a}\right) \sinh\left(\frac{v}{a}\right) \quad (3.75)$$

หาอนุพันธ์ G เทียบกับ u และ v จะได้

$$G_u = 0 \text{ และ } G_v = \frac{2}{a} \cosh\left(\frac{v}{a}\right) \sinh\left(\frac{v}{a}\right)$$

ดังนั้น

$$G_v = \frac{2}{a} \cosh\left(\frac{v}{a}\right) \sinh\left(\frac{v}{a}\right) \quad (3.76)$$

นำสมการ (3.71) (3.73) (3.75) และ (3.76) แทนในสมการ (2.63) จะได้

$$u'' + \frac{2a \cosh\left(\frac{v}{a}\right) \sinh\left(\frac{v}{a}\right)}{a^2 \cosh^2\left(\frac{v}{a}\right)} u' v' = 0$$

นำสมการ (3.64) (3.66) (3.68) และ (3.69) แทนในสมการ (2.64) จะได้

$$v'' - \frac{2a \cosh\left(\frac{v}{a}\right) \sinh\left(\frac{v}{a}\right)}{2 \cosh^2\left(\frac{v}{a}\right)} u'^2 + \frac{\frac{2}{a} \cosh\left(\frac{v}{a}\right) \sinh\left(\frac{v}{a}\right)}{2 \cosh^2\left(\frac{v}{a}\right)} v'^2 = 0$$

$$v'' - a \frac{\sinh\left(\frac{v}{a}\right)}{\cosh\left(\frac{v}{a}\right)} u'^2 + \frac{\sinh\left(\frac{v}{a}\right)}{a \cosh\left(\frac{v}{a}\right)} v'^2 = 0$$

เพราะฉะนั้น สมการจีโอเดซิกบนภาวะอิงพารามิเตอร์แกลโรลที่ขึ้นอยู่กับพารามิเตอร์ v สำหรับแคทีนอยด์ คือ

$$u'' + \frac{2}{a} \tanh\left(\frac{v}{a}\right) u' v' = 0 \quad (3.77)$$

$$v'' - a \tanh\left(\frac{v}{a}\right) u'^2 + \frac{1}{a} \tanh\left(\frac{v}{a}\right) v'^2 = 0 \quad (3.78)$$

แทนค่า E, F และ G ในสมการ (3.3) จะได้

$$u = \pm c \int \frac{\sqrt{\cosh^2\left(\frac{v}{a}\right)}}{\sqrt{a^2 \cosh^2\left(\frac{v}{a}\right)} \sqrt{a^2 \cosh^2\left(\frac{v}{a}\right) - c^2}} dv$$

เอกสารนี้เป็นเอกสารที่สงวนไว้สำหรับการใช้งานเพื่อการศึกษาเท่านั้น ไม่อนุญาตให้นำไปใช้ประโยชน์ด้านการค้า
ไม่ว่ากรณีใดๆ ทั้งสิ้น อีกทั้งห้ามมิให้ดัดแปลงเนื้อหา และต้องอ้างอิงถึงเจ้าของเอกสารทุกครั้งที่มีการนำไปใช้

$$\begin{aligned}
 u &= \pm c \int \frac{\cosh\left(\frac{v}{a}\right)}{a \cosh\left(\frac{v}{a}\right) \sqrt{a^2 \cosh^2\left(\frac{v}{a}\right) - c^2}} dv \\
 &= \pm c \int \frac{1}{a \sqrt{a^2 \cosh^2\left(\frac{v}{a}\right) - c^2}} dv
 \end{aligned}$$

ดังนั้น สมการจีโอเดสิกบนภาวะอิงพารามิเตอร์แกลโรลที่ขึ้นอยู่กับพารามิเตอร์ v สำหรับแคทีนอยด์ที่อยู่ในรูปแบบปริพันธ์ คือ

$$u = \pm \frac{c}{a} \int \frac{1}{\sqrt{a^2 \cosh^2\left(\frac{v}{a}\right) - c^2}} dv \quad (3.79)$$

จากสมการ (2.68) และเนื่องจาก $f(v) = a \cosh\left(\frac{v}{a}\right)$ ดังนั้น

$$a \cosh\left(\frac{v}{a}\right) \cos \xi(s) = c \quad (3.80)$$

นำสมการ ((3.80) แทนใน (3.79) จะได้

$$u = \pm \frac{1}{a} \int \frac{a \cosh\left(\frac{v}{a}\right) \cos \xi(s)}{\sqrt{a^2 \cosh^2\left(\frac{v}{a}\right) - a^2 \cosh^2\left(\frac{v}{a}\right) \cos^2 \xi(s)}} dv$$

$$u = \pm \frac{1}{a} \int \frac{a \cosh\left(\frac{v}{a}\right) \cos \xi(s)}{a \cosh\left(\frac{v}{a}\right) \sqrt{1 - \cos^2 \xi(s)}} dv$$

$$u = \pm \frac{1}{a} \frac{\cos \xi(s)}{\sin \xi(s)} \int dv$$

$$u = \pm \frac{1}{a} \cot \xi(s) \int dv$$

ดังนั้น สมการผลเฉลยของสมการจีโอเดสิกบนภาวะอิงพารามิเตอร์แกลโรลที่ขึ้นอยู่กับพารามิเตอร์ v สำหรับแคทีนอยด์คือ

$$u = \pm \frac{1}{a} \cot \xi(s) [v + D] \quad (3.81)$$

เมื่อ D เป็นค่าคงที่จากการปริพันธ์

เอกสารนี้เป็นเอกสารที่สงวนไว้สำหรับการใช้งานเพื่อการศึกษาเท่านั้น ไม่อนุญาตให้นำไปใช้ประโยชน์ด้านการค้า ไม่ว่ากรณีใดๆ ทั้งสิ้น อีกทั้งห้ามมิให้ดัดแปลงเนื้อหา และต้องอ้างอิงถึงเจ้าของเอกสารทุกครั้งที่มีการนำไปใช้

3.2.6 พื้นผิวแบบดิงดง (Ding Dong Surface)

พื้นผิวแบบดิงดง [11] มีสมการคาร์ทีเซียนคือ

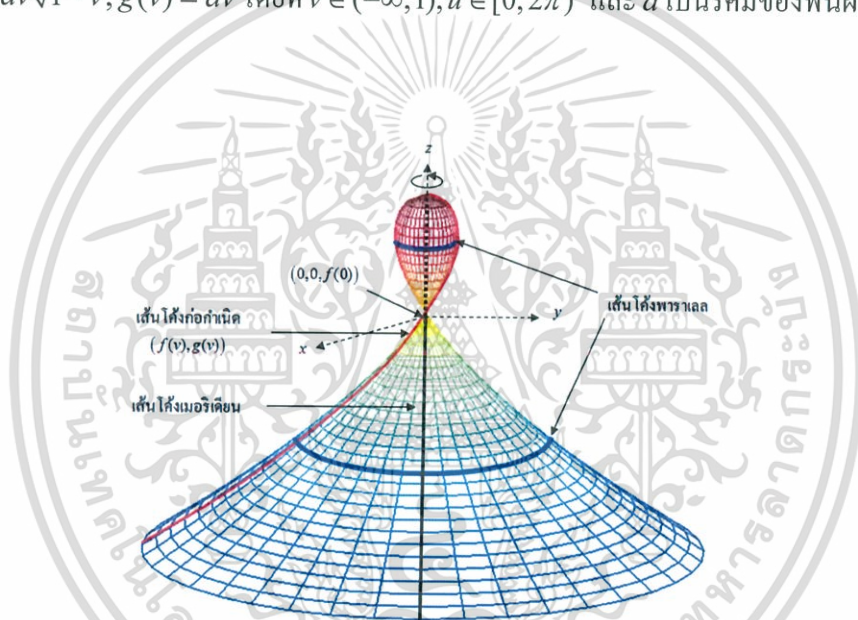
$$x^2 + y^2 = (1-z)^2$$

เมื่อ $x = av\sqrt{1-v} \cos u, y = av\sqrt{1-v} \sin u$ และ $z = av$

พื้นผิวแบบดิงดงเป็นพื้นผิวของการหมุนที่ตัดกับแกนการหมุนที่จุด $(0, 0, f(0))$ ซึ่งเป็นจุดตัดของแกน z กับพื้นผิว สำหรับพื้นผิวแบบดิงดงซึ่งส่วนบนของรูปเป็นรูปทรงปิดและส่วนล่างเป็นรูปทรงเปิด โดยพื้นผิวแบบดิงดงมีภาวะอิงพารามิเตอร์ คือ

$$\mathbf{x}(u, v) = (a\sqrt{1-v} \cdot v \cos u, a\sqrt{1-v} \cdot v \sin u, av) \quad (3.82)$$

เมื่อ $f(v) = av\sqrt{1-v}, g(v) = av$ โดยที่ $v \in (-\infty, 1), u \in [0, 2\pi)$ และ a เป็นรัศมีของพื้นผิวแบบดิงดง ดังรูปที่ 3.6



รูปที่ 3.6 ส่วนประกอบบนพื้นผิวของการหมุนรอบของพื้นผิวแบบดิงดง

3.2.6.1 จีออเดสิกบนพื้นผิวแบบดิงดง (Geodesic on Ding Dong Surface)

พื้นผิวแบบดิงดงมีภาวะอิงพารามิเตอร์คือ $\mathbf{x}(u, v) = (a\sqrt{1-v} \cdot v \cos u, a\sqrt{1-v} \cdot v \sin u, av)$

คำนวณสัมประสิทธิ์ E, F และ G ของรูปแบบหลักมูลที่หนึ่งโดยการหาอนุพันธ์ย่อยของ \mathbf{x} (3.82) นั่นคือ หาอนุพันธ์เทียบ \mathbf{x} (3.82) กับ u จะได้

$$\mathbf{x}_u = (-a\sqrt{1-v} \cdot v \sin u, a\sqrt{1-v} \cdot v \cos u, 0) \quad (3.83)$$

หาอนุพันธ์เทียบ \mathbf{x} (3.82) กับ v จะได้

$$\mathbf{x}_v = \left(a \left(\sqrt{1-v} + \frac{-v}{2\sqrt{1-v}} \right) \cos u, a \left(\sqrt{1-v} + \frac{-v}{2\sqrt{1-v}} \right) \sin u, a \right) \quad (3.84)$$

เอกสารนี้เป็นเอกสารที่สงวนไว้สำหรับการใช้งานเพื่อการศึกษาเท่านั้น ไม่อนุญาตให้นำไปใช้ประโยชน์ด้านการค้า ไม่ว่าจะกรณีใดๆ ทั้งสิ้น อีกทั้งห้ามมิให้ดัดแปลงเนื้อหา และต้องอ้างอิงถึงเจ้าของเอกสารทุกครั้งที่มีการนำไปใช้

เนื่องจาก $g_{11} = \mathbf{x}_u \cdot \mathbf{x}_u = E$, $g_{12} = \mathbf{x}_u \cdot \mathbf{x}_v = \mathbf{x}_v \cdot \mathbf{x}_u = g_{21} = F$ และ $g_{22} = \mathbf{x}_v \cdot \mathbf{x}_v = G$, จะได้
แทนค่าสมการ (3.83) และ (3.84) เพื่อหาค่า E, F และ G จะได้

$$E = \mathbf{x}_u \cdot \mathbf{x}_u = a^2(1-v)\cos^2 u + a^2(1-v)v^2\sin^2 u = a^2(1-v)v^2$$

ดังนั้น

$$E = a^2(1-v)v^2 \quad (3.85)$$

$$F = \mathbf{x}_u \cdot \mathbf{x}_v = -a\sqrt{1-v} \cdot v\sin u \cdot a\left(\sqrt{1-v} + \frac{-v}{2\sqrt{1-v}}\right)\cos u +$$

$$a\left(\sqrt{1-v} + \frac{-v}{2\sqrt{1-v}}\right)\sin u \cdot a\sqrt{1-v} \cdot v\cos u + a(0)$$

$$= 0$$

ดังนั้น

$$F = 0 \quad (3.86)$$

$$G = \mathbf{x}_v \cdot \mathbf{x}_v = a^2\left(\sqrt{1-v} - \frac{v}{2\sqrt{1-v}}\right)^2\cos^2 u + a^2\left(\sqrt{1-v} - \frac{v}{2\sqrt{1-v}}\right)^2\sin^2 u + a^2$$

$$= a^2\left(\sqrt{1-v} - \frac{v}{2\sqrt{1-v}}\right)^2(\cos^2 u + \sin^2 u) + a^2$$

$$= a^2\left(\sqrt{1-v} - \frac{v}{2\sqrt{1-v}}\right)^2 + a^2$$

$$= a^2\left(\left(\sqrt{1-v} - \frac{v}{2\sqrt{1-v}}\right)^2 + 1\right)$$

$$= a^2\left((1-v) - 2\sqrt{1-v} \cdot \frac{v}{2\sqrt{1-v}} + \frac{v^2}{4(1-v)} + 1\right)$$

$$= a^2\left((1-v) - v + \frac{v^2}{4(1-v)} + 1\right)$$

$$= a^2\left(1-v-v + \frac{v^2}{4(1-v)} + 1\right)$$

$$= a^2\left(2-2v + \frac{v^2}{4-4v}\right)$$

$$= a^2\left(\frac{8-8v-8v+8v^2+v^2}{4-4v}\right)$$

$$= a^2\left(\frac{8-16v+9v^2}{4-4v}\right)$$

$$= a^2\left(\frac{9v^2-16v+8}{4-4v}\right)$$

เอกสารนี้เป็นเอกสารที่สงวนไว้สำหรับการใช้งานเพื่อการศึกษาเท่านั้น ไม่อนุญาตให้นำไปใช้ประโยชน์ด้านการค้า
ไม่ว่ากรณีใดๆ ทั้งสิ้น อีกทั้งห้ามมิให้ดัดแปลงเนื้อหา และต้องอ้างอิงถึงเจ้าของเอกสารทุกครั้งที่มีการนำไปใช้

ดังนั้น
$$G = a^2 \left(\frac{9v^2 - 16v + 8}{4 - 4v} \right) \quad (3.87)$$

จากสมการ(2.15) นั่นคือ

$$ds^2 = E(du)^2 + 2Fdudv + G(dv)^2$$

นำสมการ $E(3.85)$ $F(3.86)$ และ $G(3.87)$ แทนในสมการ (2.15) จะได้ รูปแบบหลักมูลที่หนึ่งของพื้นผิวแบบโค้ง

$$ds^2 = a^2(1-v)v^2 du^2 + a^2 \left(\frac{9v^2 - 16v + 8}{4 - 4v} \right) dv^2 \quad (3.88)$$

หาอนุพันธ์ E เทียบกับ u และ v จะได้

$$\begin{aligned} E_u &= 0 \text{ และ } E_v = a^2((1-v)2v + v^2(-1)) \\ &= a^2(2v - 2v^2 - v^2) \\ &= a^2(2v - 3v^2) \end{aligned}$$

ดังนั้น

$$E_v = a^2(2v - 3v^2) \quad (3.89)$$

หาอนุพันธ์ G เทียบกับ u และ v จะได้

$$\begin{aligned} G_u &= 0 \text{ และ } G_v = a^2 \left[\frac{(4-4v)(18v-16) - (9v^2-16v+8)(-4)}{(4-4v)^2} \right] \\ &= a^2 \left[\frac{(72v-64-72v^2+64v) + (36v^2-64v+32)}{(4-4v)^2} \right] \\ &= \frac{a^2(-36v^2+72v-32)}{4^2(1-v)^2} \\ &= \frac{a^2(-9v^2+18v-8)}{4(1-v)^2} \end{aligned}$$

ดังนั้น

$$G_u = 0 \text{ และ } G_v = \frac{a^2(-9v^2+18v-8)}{4(1-v)^2} \quad (3.90)$$

นำสมการ (3.85) (3.87) (3.89) และ (3.90) แทนในสมการ (2.63) จะได้

$$u'' + \frac{(2v-3v^2)}{(1-v)v^2} u'v' = 0$$

นำสมการ (3.85) (3.87) (3.89) และ (3.90) แทนในสมการ (2.64) จะได้

เอกสารนี้เป็นเอกสารที่สงวนไว้สำหรับการใช้งานเพื่อการศึกษาเท่านั้น ไม่อนุญาตให้นำไปใช้ประโยชน์ด้านการค้า ไม่ว่าจะกรณีใดๆ ทั้งสิ้น อีกทั้งห้ามมิให้ดัดแปลงเนื้อหา และต้องอ้างอิงถึงเจ้าของเอกสารทุกครั้งที่มีการนำไปใช้

$$v'' - \frac{(2v-3v^2)(2-2v)}{(9v^2-16v+8)}u'^2 + \frac{(-9v^2+18v-8)}{2(1-v)(av^2-16v+8)}v'^2 = 0$$

เพราะฉะนั้น สมการจีโอเดซิกบนภาวะอิงพารามิเตอร์แกลโรลที่ขึ้นอยู่กับพารามิเตอร์ v สำหรับพื้นผิวแบบดิงดง คือ

$$u'' + \frac{(2v-3v^2)}{(1-v)v^2}u'v' = 0 \quad (3.91)$$

$$v'' - \frac{(2v-3v^2)(2-2v)}{(9v^2-16v+8)}u'^2 + \frac{(-9v^2+18v-8)}{2(1-v)(av^2-16v+8)}v'^2 = 0 \quad (3.92)$$

นำ E, F และ G แทนในสมการ (3.3) จะได้

$$\begin{aligned} u &= \pm c \int \frac{\sqrt{a^2(9v^2-16v+8)}}{\sqrt{a^2(1-v)v^2} \sqrt{a^2(1-v)v^2 - c^2}} dv \\ &= \pm c \int \frac{a\sqrt{(9v^2-16v+8)}}{av\sqrt{1-v} \sqrt{a^2(1-v)v^2 - c^2}} dv \\ &= \pm \frac{c}{2} \int \frac{\sqrt{(9v^2-16v+8)}}{v\sqrt{1-v} \sqrt{a^2(1-v)v^2 - c^2}} dv \\ &= \pm \frac{c}{2} \int \frac{\sqrt{-9v+7+\frac{15}{1-v}}}{v\sqrt{1-v} \sqrt{a^2(1-v)v^2 - c^2}} dv \end{aligned}$$

ดังนั้น สมการจีโอเดซิกบนภาวะอิงพารามิเตอร์แกลโรลที่ขึ้นอยู่กับพารามิเตอร์ v สำหรับพื้นผิวแบบดิงดงที่อยู่ในรูปแบบปริพันธ์ คือ

$$u = \pm \frac{c}{2} \int \frac{\sqrt{-9v+7+\frac{15}{1-v}}}{v\sqrt{1-v} \sqrt{a^2(1-v)v^2 - c^2}} dv \quad (3.93)$$

จากสมการ (2.68) และเนื่องจาก $f(v) = av\sqrt{1-v}$ ดังนั้น

$$av\sqrt{1-v} \cos \xi(s) = c \quad (3.94)$$

นำสมการ ((3.94) แทนใน (3.93) จะได้

เอกสารนี้เป็นเอกสารที่สงวนไว้สำหรับการใช้งานเพื่อการศึกษาเท่านั้น ไม่อนุญาตให้นำไปใช้ประโยชน์ด้านการค้า ไม่ว่าจะกรณีใดๆ ทั้งสิ้น อีกทั้งห้ามมิให้ดัดแปลงเนื้อหา และต้องอ้างอิงถึงเจ้าของเอกสารทุกครั้งที่มีการนำไปใช้

$$u = \pm \frac{1}{2} \int \frac{av\sqrt{1-v} \cos \xi(s) \sqrt{-9v+7+\frac{15}{1-v}}}{v\sqrt{1-v} \sqrt{a^2(1-v)v^2 - a^2(1-v)v^2 \cos^2 \xi(s)}} dv$$

$$u = \pm \frac{a \cos \xi(s)}{2} \int \frac{\sqrt{-9v+7+\frac{15}{1-v}}}{\sqrt{a^2(1-v)v^2(1-\cos^2 \xi(s))}} dv$$

$$u = \pm \frac{a \cos \xi(s)}{2} \int \frac{\sqrt{-9v+7+\frac{15}{1-v}}}{av\sqrt{1-v} \sqrt{\sin^2 \xi(s)}} dv$$

$$u = \pm \frac{\cos \xi(s)}{2 \sin \xi(s)} \int \frac{\sqrt{-9v+7+\frac{15}{1-v}}}{v\sqrt{1-v}} dv$$

ใช้ Mathematica ซึ่งเป็นโปรแกรมทางคณิตศาสตร์ช่วยในการปริพันธ์

ดังนั้น สมการผลเฉลยของสมการจืออเดซิกบนภาวะอิงพารามิเตอร์เกลโรดที่ขึ้นอยู่กับพารามิเตอร์ v สำหรับแกทีนอยด์คือ

$$u = \pm \frac{\cot \xi(s)}{6\sqrt{22-16v+9v^2}} \left[\sqrt{1-v} \sqrt{\frac{-22+16v-9v^2}{-1-v}} \left(-8 \sinh \left(\frac{-8+9v}{\sqrt{13v}} \right) + 3 \left(\sqrt{22-16v+9v^2} \right) + \sqrt{22} \ln |11\sqrt{22v}| - \sqrt{22} \ln |22-8v+\sqrt{22}\sqrt{22-16v+9v^2}| \right) + D \right] \quad (3.95)$$

เมื่อ D เป็นค่าคงที่จากการปริพันธ์

3.2.7 พื้นผิวแบบคิส (Kiss Surface)

พื้นผิวแบบคิส [11] มีสมการคาร์ทีเซียนคือ

$$x^2 + y^2 = (1-z)z^4$$

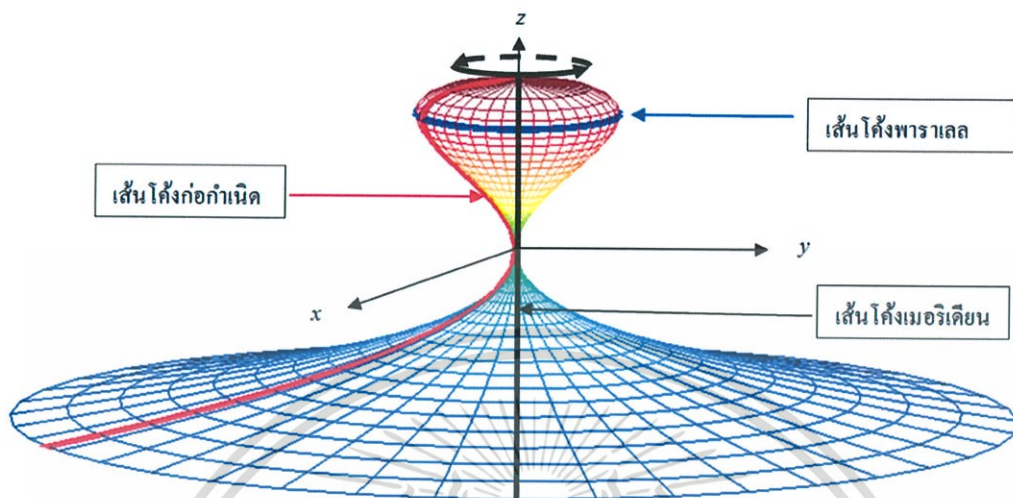
เมื่อ $x = av^2 \sqrt{\frac{1-v}{2}} \cos u$, $y = av^2 \sqrt{\frac{1-v}{2}} \sin u$ และ $z = av$

พื้นผิวแบบคิสเป็นพื้นผิวของการหมุนรอบแกนการหมุน ซึ่งพื้นผิวแบบคิสมีลักษณะเป็นทั้งรูปทรงแบบปิดและเปิด โดยที่ส่วนบนของรูปเป็นรูปทรงแบบปิดและส่วนล่างเป็นรูปทรงแบบเปิด นอกจากนี้ยังมีลักษณะคล้ายกับพื้นผิวแบบดิงคอง โดยพื้นผิวแบบคิสมีภาวะอิงพารามิเตอร์ คือ

$$\mathbf{x}(u, v) = \left(av^2 \sqrt{\frac{1-v}{2}} \cos u, av^2 \sqrt{\frac{1-v}{2}} \sin u, av \right) \quad (3.96)$$

เอกสารนี้เป็นเอกสารที่สงวนไว้สำหรับการใช้งานเพื่อการศึกษาเท่านั้น ไม่อนุญาตให้นำไปใช้ประโยชน์ด้านการค้า ไม่ว่าจะกรณีใดๆ ทั้งสิ้น อีกทั้งห้ามมิให้ดัดแปลงเนื้อหา และต้องอ้างอิงถึงเจ้าของเอกสารทุกครั้งที่มีการนำไปใช้

เมื่อ $f(v) = av^2 \sqrt{\frac{1-v}{2}}$, $g(v) = av$ โดยที่ $v \in (-\infty, 1)$, $u \in [0, 2\pi)$ และ a เป็นค่าคงที่ใดๆ (รูปที่ 3.7)



รูปที่ 3.7 ส่วนประกอบบนพื้นผิวของการหมุนรอบของพื้นผิวแบบคิส

3.2.7.1 จีออเดสิกบนพื้นผิวแบบคิส (Geodesic on Kiss Surface)

พื้นผิวแบบคิสคองมีภาวะอิงพารามิเตอร์คือ $\mathbf{x}(u, v) = \left(av^2 \sqrt{\frac{1-v}{2}} \cos u, av^2 \sqrt{\frac{1-v}{2}} \sin u, av \right)$

คำนวณสัมประสิทธิ์ E, F และ G ของรูปแบบหลักมูลที่หนึ่งโดยการหาอนุพันธ์ย่อยของ \mathbf{x} (3.96) นั่นคือ หาอนุพันธ์เทียบ \mathbf{x} (3.96) กับ u จะได้

$$\mathbf{x}_u = \left(-av \sqrt{\frac{1-v}{2}} \sin u, av \sqrt{\frac{1-v}{2}} \cos u, 0 \right) \quad (3.97)$$

หาอนุพันธ์เทียบ \mathbf{x} (3.96) กับ v จะได้

$$\begin{aligned} \mathbf{x}_v &= \left(a \left[\frac{v^2 \left(\frac{-1}{2} \right)}{2\sqrt{\frac{1-v}{2}}} + 2v \sqrt{\frac{1-v}{2}} \right] \cos u, a \left[\frac{v^2 \left(\frac{-1}{2} \right)}{2\sqrt{\frac{1-v}{2}}} + 2v \sqrt{\frac{1-v}{2}} \right] \sin u, a \right) \\ &= \left(a \left[-\frac{v^2}{4\sqrt{\frac{1-v}{2}}} + 2v \sqrt{\frac{1-v}{2}} \right] \cos u, a \left[-\frac{v^2}{4\sqrt{\frac{1-v}{2}}} + 2v \sqrt{\frac{1-v}{2}} \right] \sin u, a \right) \end{aligned}$$

เอกสารนี้เป็นเอกสารที่สงวนไว้สำหรับการใช้งานเพื่อการศึกษาเท่านั้น ไม่อนุญาตให้นำไปใช้ประโยชน์ด้านการค้า ไม่ว่าจะกรณีใดๆ ทั้งสิ้น อีกทั้งห้ามมิให้ดัดแปลงเนื้อหา และต้องอ้างอิงถึงเจ้าของเอกสารทุกครั้งที่มีการนำไปใช้

$$= \left(a \left[\frac{-v^2 + 8v \left(\frac{1-v}{2} \right)}{4\sqrt{\frac{1-v}{2}}} \right] \cos u, a \left[\frac{-v^2 + 8v \left(\frac{1-v}{2} \right)}{4\sqrt{\frac{1-v}{2}}} \right] \sin u, a \right)$$

$$= \left(a \left[\frac{-v^2 + 4v - 4v^2}{4\sqrt{\frac{1-v}{2}}} \right] \cos u, a \left[\frac{-v^2 + 4v - 4v^2}{4\sqrt{\frac{1-v}{2}}} \right] \sin u, a \right)$$

ดังนั้น

$$\mathbf{x}_v = \left(a \left[\frac{-5v^2 + 4v}{4\sqrt{\frac{1-v}{2}}} \right] \cos u, a \left[\frac{-5v^2 + 4v}{4\sqrt{\frac{1-v}{2}}} \right] \sin u, a \right) \quad (3.97)$$

เนื่องจาก $g_{11} = \mathbf{x}_u \cdot \mathbf{x}_u = E$, $g_{12} = \mathbf{x}_u \cdot \mathbf{x}_v = \mathbf{x}_v \cdot \mathbf{x}_u = g_{21} = F$ และ $g_{22} = \mathbf{x}_v \cdot \mathbf{x}_v = G$, จะได้

นำสมการ (3.96) และ (3.97) แทนในสมการ (2.4) จะได้

$$E = \mathbf{x}_u \cdot \mathbf{x}_u = \left(a^2 v^4 \left(\frac{1-v}{2} \right) \sin^2 u + a^2 v^4 \left(\frac{1-v}{2} \right) \cos^2 u \right) = a^2 v^4 \left(\frac{1-v}{2} \right)$$

ดังนั้น

$$E = a^2 v^4 \left(\frac{1-v}{2} \right) \quad (3.98)$$

$$F = \mathbf{x}_u \cdot \mathbf{x}_v = -av \sqrt{\frac{1-v}{2}} \sin u \cdot a \left[\frac{-5v^2 + 4v}{4\sqrt{\frac{1-v}{2}}} \right] \cos u + av \sqrt{\frac{1-v}{2}} \cos u \cdot a \left[\frac{-5v^2 + 4v}{4\sqrt{\frac{1-v}{2}}} \right] \sin u + 0 \cdot a$$

ดังนั้น

$$F = 0 \quad (3.99)$$

$$G = \mathbf{x}_v \cdot \mathbf{x}_v = a^2 \left(\frac{-5v^2 + 4v}{4\sqrt{\frac{1-v}{2}}} \right)^2 \cos^2 u + a^2 \left(\frac{-5v^2 + 4v}{4\sqrt{\frac{1-v}{2}}} \right)^2 \sin^2 u + a^2 = a^2 \left(\frac{-5v^2 + 4v}{4\sqrt{\frac{1-v}{2}}} \right)^2 + a^2$$

$$= a^2 \left(\frac{(-5v^2 + 4v)^2}{16 \left(\frac{1-v}{2} \right)} \right) + a^2$$

$$= \frac{a^2 (25v^4 - 40v^3 + 16v^2) + (8(1-v))a^2}{8(1-v)}$$

เอกสารนี้เป็นเอกสารที่สงวนไว้สำหรับการใช้งานเพื่อการศึกษาเท่านั้น ไม่อนุญาตให้นำไปใช้ประโยชน์ด้านการค้า
ไม่ว่ากรณีใดๆ ทั้งสิ้น อีกทั้งห้ามมิให้ดัดแปลงเนื้อหา และต้องอ้างอิงถึงเจ้าของเอกสารทุกครั้งที่มีการนำไปใช้

ดังนั้น

$$G = \frac{a^2(25v^4 - 40v^3 + 16v^2 - 8v + 8)}{8(1-v)} \quad (3.100)$$

จากสมการ(2.15) นั่นคือ

$$ds^2 = E(du)^2 + 2Fdudv + G(dv)^2$$

นำสมการ E (3.98) F (3.99) และ G (3.100) แทนในสมการ (2.15) จะได้รูปแบบหลักมูลที่หนึ่งของพื้นผิวแบบคิส

$$ds^2 = a^2v^4 \left(\frac{1-v}{2} \right) du^2 + \frac{a^2(25v^4 - 40v^3 + 16v^2 - 8v + 8)}{8(1-v)} dv^2 \quad (3.101)$$

หาอนุพันธ์ E เทียบกับ u และ v จะได้

$$E_u = 0 \text{ และ } E_v = \frac{-a^2v^4}{2} + 2a^2v^3(1-v) \quad (3.102)$$

หาอนุพันธ์ G เทียบกับ u และ v จะได้

$$\begin{aligned} G_u &= 0 \text{ และ} \\ G_v &= \frac{[a^2(100v^3 - 120v^2 + 32v - 8)8(1-v) - a^2(25v^4 - 40v^3 + 16v^2 - 8v + 8)(-8)]}{64(1-v)^2} \\ &= \frac{[a^2(-64 + 320v - 121v^2 + 1760v^3 - 800v^4) - a^2(-64 + 64v - 128v^2 + 320v^3 - 200v^4)]}{64(1-v)^2} \end{aligned} \quad (3.103)$$

ดังนั้น

$$G_v = a^2(v-1)^2v(32-211v+180v^2) \quad (3.103)$$

นำสมการ (3.98) (3.100) (3.101) และ (3.103) แทนในสมการ (2.63) จะได้

$$u'' + \frac{\left(\frac{-a^2v^4}{2} + 2a^2v^3(1-v) \right)}{a^2v^4 \left(\frac{1-v}{2} \right)} u'v' = u'' + \left(\frac{-3}{1-v} + \frac{4}{(1-v)v} \right) u'v' = 0$$

นำสมการ (3.98) (3.100) (3.101) และ (3.103) แทนในสมการ (2.64) จะได้

$$v'' + \frac{\left(-a^2 \frac{v^2}{2} + 2a^2v^3(1-v) \right)}{2a^2 \left(\frac{25v^4 - 40v^3 + 16v^2 - 8v + 8}{8(1-v)} \right)} u'^2 + \frac{a^2(v-1)^2v(32-211v+180v^2)}{2a^2 \left(\frac{25v^4 - 40v^3 + 16v^2 - 8v + 8}{8(1-v)} \right)} v'^2 = 0$$

เพราะฉะนั้น สมการจีโอเดซิกบนภาวะอิงพารามิเตอร์แกลโรลที่ขึ้นอยู่กับพารามิเตอร์ v สำหรับพื้นผิวแบบคิส คือ

$$u'' + \left(\frac{-3}{1-v} + \frac{4}{(1-v)v} \right) u'v' = 0 \quad (3.104)$$

$$v'' + \frac{\left(-\frac{v^2}{2} + 2v^3(1-v)\right)}{\left(2-4v+6v^2-14v^3+\frac{65v^4}{4}-\frac{25v^5}{4}\right)} u'^2 + \frac{(v-1)^2 v(32-211v+180v^2)}{\left(2-4v+6v^2-14v^3+\frac{65v^4}{4}-\frac{25v^5}{4}\right)} v'^2 = 0$$

(3.105)

นำ E, F และ G แทนในสมการ (3.3) จะได้

$$u = \pm c \int \frac{\sqrt{\frac{a^2(25v^4-40v^3+16v^2-8v+8)}{8(1-v)}}}{\sqrt{a^2v^4\left(\frac{1-v}{2}\right)}\sqrt{a^2v^4\left(\frac{1-v}{2}\right)-c^2}} dv$$

$$= \pm c \int \frac{\sqrt{\frac{(25v^4-40v^3+16v^2-8v+8)}{8(1-v)}}}{v^2\sqrt{\left(\frac{1-v}{2}\right)}\sqrt{a^2v^4\left(\frac{1-v}{2}\right)-c^2}} dv$$

ดังนั้น สมการจีโอเดสิกบนภาวะอิงพารามิเตอร์เกลโรลที่ขึ้นอยู่กับพารามิเตอร์ v สำหรับพื้นผิวแบบคิสที่อยู่ในรูปแบบปริพันธ์ คือ

$$u = \pm c \int \frac{\sqrt{\frac{(25v^4-40v^3+16v^2-8v+8)}{8(1-v)}}}{v^2\sqrt{\left(\frac{1-v}{2}\right)}\sqrt{a^2v^4\left(\frac{1-v}{2}\right)-c^2}} dv \quad (3.106)$$

จากสมการ (2.68) และเนื่องจาก $f(v) = av^2\sqrt{\frac{1-v}{2}}$ ดังนั้น

$$av^2\sqrt{\frac{1-v}{2}} \cos \xi(s) = c \quad (3.107)$$

นำสมการ (3.107) แทนใน (3.106) จะได้

$$u = \pm \int \frac{av^2\sqrt{\frac{1-v}{2}} \cos \xi(s) \sqrt{\frac{(25v^4-40v^3+16v^2-8v+8)}{8(1-v)}}}{v^2\sqrt{\left(\frac{1-v}{2}\right)}\sqrt{a^2v^4\left(\frac{1-v}{2}\right)-a^2v^4\left(\frac{1-v}{2}\right)\cos^2 \xi(s)}} dv$$

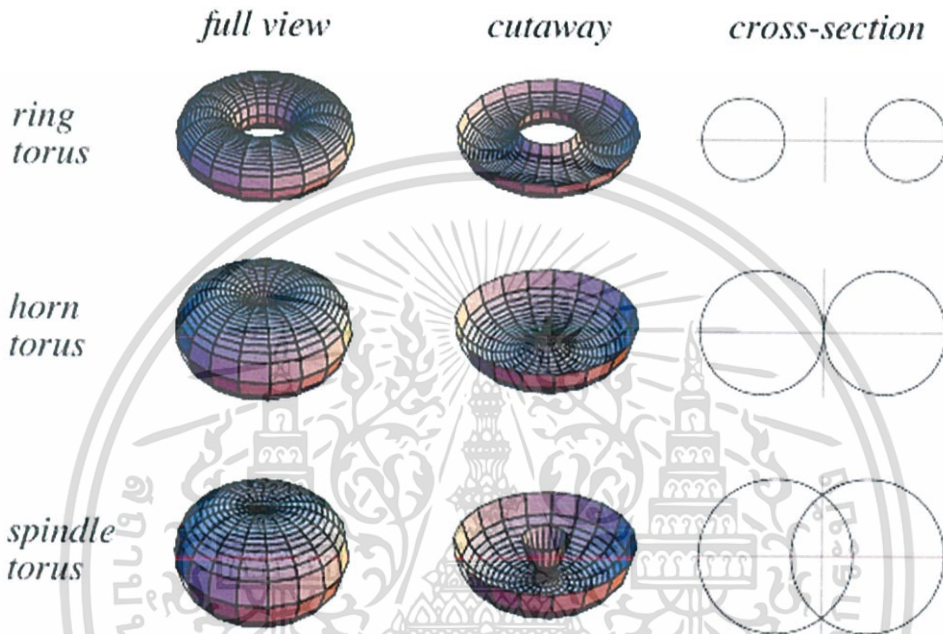
เอกสารนี้เป็นเอกสารที่สงวนไว้สำหรับการใช้งานเพื่อการศึกษาเท่านั้น ไม่อนุญาตให้นำไปใช้ประโยชน์ด้านการค้า ไม่ว่าจะกรณีใดๆ ทั้งสิ้น อีกทั้งห้ามมิให้ดัดแปลงเนื้อหา และต้องอ้างอิงถึงเจ้าของเอกสารทุกครั้งที่มีการนำไปใช้

$$\begin{aligned}
 u &= \pm \int \frac{a \cos \xi(s) \sqrt{\frac{(25v^4 - 40v^3 + 16v^2 - 8v + 8)}{8(1-v)}}}{\sqrt{a^2 v^4 \left(\frac{1-v}{2}\right) (1 - \cos^2 \xi(s))}} dv \\
 u &= \pm \int \frac{a \cos \xi(s) \sqrt{\frac{(25v^4 - 40v^3 + 16v^2 - 8v + 8)}{8(1-v)}}}{av^2 \sqrt{\frac{1-v}{2}} \sqrt{\sin^2 \xi(s)}} dv \\
 u &= \pm \frac{\cos \xi(s)}{\sin \xi(s)} \int \frac{\sqrt{\frac{(25v^4 - 40v^3 + 16v^2 - 8v + 8)}{8(1-v)}}}{v^2 \sqrt{\frac{1-v}{2}}} dv \\
 u &= \pm \cot \xi(s) \int \frac{\sqrt{\frac{(25v^4 - 40v^3 + 16v^2 - 8v + 8)}{8(1-v)}}}{v^2 \sqrt{\frac{1-v}{2}}} dv
 \end{aligned} \tag{3.108}$$

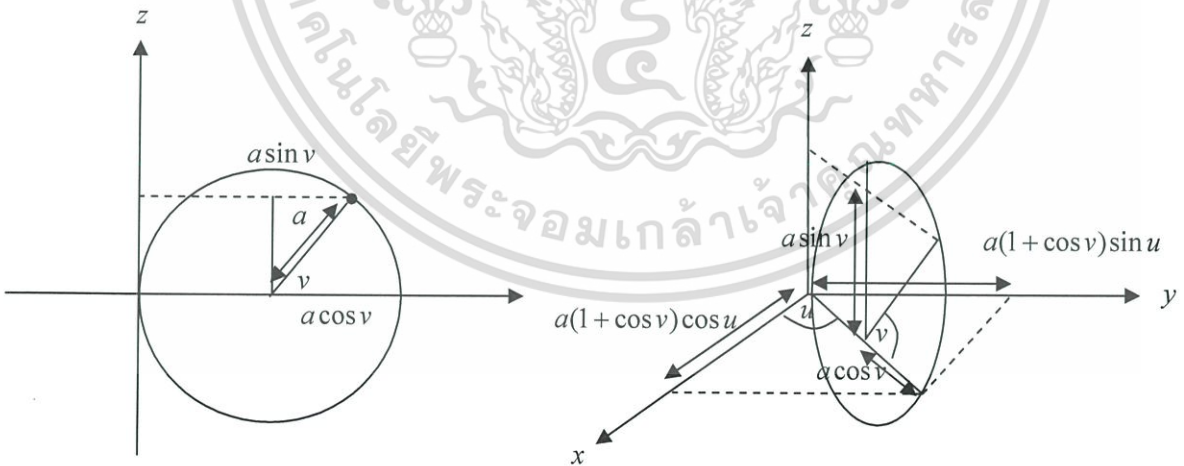
เนื่องจากสมการจีโอเดสิกบนภาวะอิงพารามิเตอร์เกลโรลที่ขึ้นอยู่กับพารามิเตอร์ v สำหรับพื้นผิวแบบคิส (3.108) อยู่ในรูป Elliptic Integral ที่ยุ่งยากจึงไม่สามารถหาผลเฉลยของสมการด้วยปริพันธ์เอกมูล

3.2.8 ทรงห่วงยางแบบฮอร์น (Horn torus)

ทรงห่วงยางแบบฮอร์น [11] เป็นพื้นผิวของการหมุนที่ตัดกับแกนการหมุน (แกน z) สำหรับทรงห่วงยางแบบฮอร์นเป็นรูปทรงแบบปิด โดยแบ่งออกเป็น 3 ประเภทได้แก่ Ring torus Horn torus และ Spindle torus ดังรูปที่ 3.8



รูปที่ 3.8 ประเภทของทรงห่วงยาง



รูปที่ 3.9 พิกัดบนทรงห่วงยางแบบฮอร์น

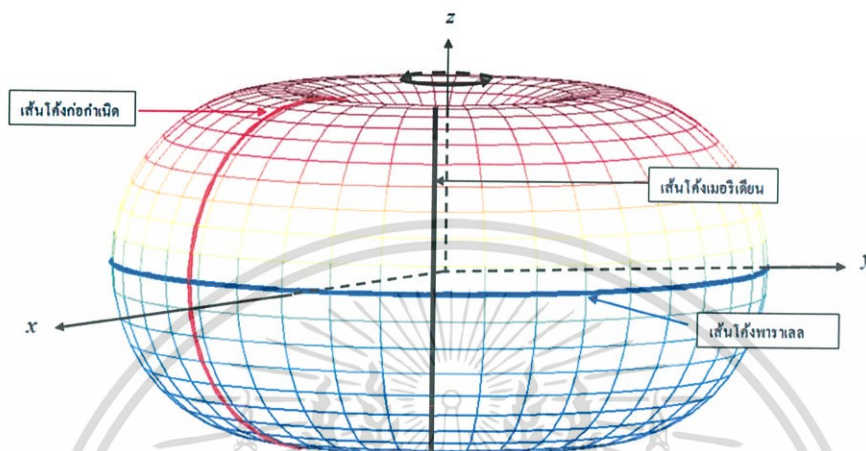
จากรูปที่ 3.9 จะได้ $x = a(1 + \cos v) \cos u$, $y = a(1 + \cos v) \sin u$ และ $z = a \sin v$

เอกสารนี้เป็นเอกสารที่สงวนไว้สำหรับการใช้งานเพื่อการศึกษาเท่านั้น ไม่อนุญาตให้นำไปใช้ประโยชน์ด้านการค้า ไม่ว่าจะกรณีใดๆ ทั้งสิ้น อีกทั้งห้ามมิให้ดัดแปลงเนื้อหา และต้องอ้างอิงถึงเจ้าของเอกสารทุกครั้งที่มีการนำไปใช้

โดยทรงห่วงยางแบบฮอร์นมีภาวะอิงพารามิเตอร์ คือ

$$\mathbf{x}(u, v) = (a(1 + \cos v) \cos u, a(1 + \cos v) \sin u, a \sin v) \quad (3.109)$$

เมื่อ $f(v) = a(1 + \cos v)$, $g(v) = a \sin v$ โดยที่ $v, u \in [0, 2\pi)$ และ a เป็นค่าคงที่ใดๆ



รูปที่ 3.10 ส่วนประกอบบนพื้นผิวของการหมุนรอบของทรงห่วงยางแบบฮอร์น

3.2.8.1 จีออเดสิกบนทรงห่วงยางแบบฮอร์น (Geodesic on Horn torus)

ทรงห่วงยางแบบฮอร์นมีภาวะอิงพารามิเตอร์คือ

$$\mathbf{x}(u, v) = (a(1 + \cos v) \cos u, a(1 + \cos v) \sin u, a \sin v)$$

คำนวณสัมประสิทธิ์ E, F และ G ของรูปแบบหลักมูลที่หนึ่งโดยการหาอนุพันธ์ย่อยของ \mathbf{x} (3.109)

นั่นคือ หาอนุพันธ์เทียบ \mathbf{x} (3.109) กับ u จะได้

$$\mathbf{x}_u = (-a(1 + \cos v) \sin u, a(1 + \cos v) \cos u, 0) \quad (3.110)$$

หาอนุพันธ์เทียบ \mathbf{x} (3.109) กับ v จะได้

$$\mathbf{x}_v = (-a \sin v \cos u, -a \sin v \sin u, a \cos v) \quad (3.111)$$

เนื่องจาก $g_{11} = \mathbf{x}_u \cdot \mathbf{x}_u = E$, $g_{12} = \mathbf{x}_u \cdot \mathbf{x}_v = \mathbf{x}_v \cdot \mathbf{x}_u = g_{21} = F$ และ $g_{22} = \mathbf{x}_v \cdot \mathbf{x}_v = G$, จะได้

นำสมการ (3.110) และ (3.111) แทนในสมการ (2.4) จะได้

$$\begin{aligned} E &= \mathbf{x}_u \cdot \mathbf{x}_u = a^2(1 + \cos v)^2 \sin^2 u + a^2(1 + \cos v)^2 \cos^2 u \\ &= a^2(1 + \cos v)^2 (\sin^2 u + \cos^2 u) \end{aligned}$$

$$\text{ดังนั้น} \quad E = a^2(1 + \cos v)^2 \quad (3.112)$$

$$F = \mathbf{x}_u \cdot \mathbf{x}_v = a^2(1 + \cos v)^2 \sin u \sin v \cos u - a^2(1 + \cos v) \cos u \sin v \sin u + (0)a \cos v$$

$$\text{ดังนั้น} \quad F = 0 \quad (3.113)$$

เอกสารนี้เป็นเอกสารที่สงวนไว้สำหรับการใช้งานเพื่อการศึกษาเท่านั้น ไม่อนุญาตให้นำไปใช้ประโยชน์ด้านการค้า
ไม่ว่ากรณีใดๆ ทั้งสิ้น อีกทั้งห้ามมิให้ดัดแปลงเนื้อหา และต้องอ้างอิงถึงเจ้าของเอกสารทุกครั้งที่มีการนำไปใช้

$$\begin{aligned}
 G = \mathbf{x}_v \cdot \mathbf{x}_v &= a^2 \sin^2 v \cos^2 u + a^2 \sin^2 v \sin^2 u + a^2 \cos^2 v \\
 &= a^2 \sin^2 v (\cos^2 u + \sin^2 u) + a^2 \cos^2 v \\
 &= a^2 (\sin^2 v + \cos^2 v)
 \end{aligned}$$

ดังนั้น
$$G = a^2 \quad (3.114)$$

จากสมการ(2.15) นั่นคือ

$$ds^2 = E(du)^2 + 2Fdudv + G(dv)^2$$

นำสมการ E (3.112) และ G (3.114) แทนในสมการ (2.15) จะได้ รูปแบบหลักมูลที่หนึ่งของทรงหว่ง
 ยางแบบฮอว์น

$$ds^2 = a^2(1 + \cos v)^2 du^2 + a^2 dv^2 \quad (3.115)$$

หาอนุพันธ์ E เทียบกับ u และ v จะได้

$$E_u = 0 \text{ และ } E_v = -2a^2(1 + \cos v) \sin v$$

ดังนั้น

$$E_v = -2a^2(1 + \cos v) \sin v \quad (3.116)$$

หาอนุพันธ์ G เทียบกับ u และ v จะได้

$$G_u = 0 \text{ และ } G_v = 0$$

ดังนั้น

$$G_v = 0 \quad (3.117)$$

นำสมการ (3.112) (3.114) (3.116) และ (3.117) แทนในสมการ (2.63) จะได้

$$u'' + \frac{(-2)a^2(1 + \cos v) \sin v}{a^2(1 + \cos v)^2} u'v' = 0$$

$$u'' - \frac{2 \sin v}{(1 + \cos v)} u'v' = 0$$

$$u'' - \frac{\sin v}{1 + \cos v} u'v' = 0$$

$$u'' - \frac{\sin v}{\cos^2 \frac{v}{2}} u'v' = 0$$

$$u'' - \frac{2 \sin \frac{v}{2} \cos \frac{v}{2}}{\cos^2 \frac{v}{2}} u'v' = 0$$

เอกสารนี้เป็นเอกสารที่สงวนไว้สำหรับการใช้งานเพื่อการศึกษาเท่านั้น ไม่อนุญาตให้นำไปใช้ประโยชน์ด้านการค้า
 ไม่ว่ากรณีใดๆ ทั้งสิ้น อีกทั้งห้ามมิให้ดัดแปลงเนื้อหา และต้องอ้างอิงถึงเจ้าของเอกสารทุกครั้งที่มีการนำไปใช้

$$u'' - \frac{2 \sin \frac{v}{2}}{\cos \frac{v}{2}} u' v' = 0$$

นำสมการ (3.112) (3.114) (3.116) และ (3.117) แทนในสมการ (2.64) จะได้

$$v'' - \frac{-2a^2(1+\cos v)\sin v}{2a^2} u'^2 + (0)v'^2 = 0$$

เพราะฉะนั้น สมการจีโอเดซิกบนภาวะอิงพารามิเตอร์แกลโรลที่ขึ้นอยู่กับพารามิเตอร์ v สำหรับทรงห่วงยางแบบฮอว์น คือ

$$u'' - 2 \tan \frac{v}{2} u' v' = 0 \quad (3.118)$$

$$v'' + (1+\cos v)\sin v u'^2 = 0 \quad (3.119)$$

แทนค่า E, F และ G ในสมการ (3.3) จะได้

$$\begin{aligned} u &= \pm \int \frac{c\sqrt{a^2}}{\sqrt{a^2(1+\cos v)^2} \sqrt{a^2(1+\cos v)^2 - c^2}} dv \\ &= \pm \int \frac{ca}{a(1+\cos v)\sqrt{a^2(1+\cos v)^2 - c^2}} dv \end{aligned}$$

ดังนั้น สมการจีโอเดซิกบนภาวะอิงพารามิเตอร์แกลโรลที่ขึ้นอยู่กับพารามิเตอร์ v สำหรับทรงห่วงยางแบบฮอว์นที่อยู่ในรูปแบบปริพันธ์ คือ

$$u = \pm \int \frac{c}{(1+\cos v)\sqrt{a^2(1+\cos v)^2 - c^2}} dv \quad (3.120)$$

จากสมการ (2.68) และเนื่องจาก $f(v) = a(1+\cos v)$ ดังนั้น

$$a(1+\cos v)\cos \xi(s) = c \quad (3.121)$$

นำสมการ ((3.120) แทนใน (3.121) จะได้

$$\begin{aligned} u &= \pm \int \frac{a(1+\cos v)\cos \xi(s)}{(1+\cos v)\sqrt{a^2(1+\cos v)^2 - a^2(1+\cos v)^2 \cos^2 \xi(s)}} dv \\ &= \pm \int \frac{a \cos \xi(s)}{a(1+\cos v)\sqrt{1-\cos^2 \xi(s)}} dv \\ &= \pm \frac{\cos \xi(s)}{\sin \xi(s)} \int \frac{1}{(1+\cos v)} dv \\ &= \pm \cot \xi(s) \int \frac{1}{(1+\cos v)} dv \end{aligned}$$

เอกสารนี้เป็นเอกสารที่สงวนไว้สำหรับการใช้งานเพื่อการศึกษาเท่านั้น ไม่อนุญาตให้นำไปใช้ประโยชน์ด้านการค้า ไม่ว่าจะกรณีใดๆ ทั้งสิ้น อีกทั้งห้ามมิให้ดัดแปลงเนื้อหา และต้องอ้างอิงถึงเจ้าของเอกสารทุกครั้งที่มีการนำไปใช้

$$\begin{aligned}
 u &= \pm \cot \zeta(s) \int \frac{1}{2(1+\cos v)} dv \\
 &= \pm \cot \zeta(s) \int \frac{1}{2 \cos^2 \frac{v}{2}} dv \\
 &= \pm \cot \zeta(s) \int \frac{\sec^2 \frac{v}{2}}{2} dv \\
 &= \pm \cot \zeta(s) \int \frac{\sec^2 \frac{v}{2}}{2} d\left(\frac{v}{2}\right)
 \end{aligned}$$

ดังนั้น สมการผลเฉลยของสมการจืออเดซิกบนภาวะอิงพารามิเตอร์เกลโรลที่ขึ้นอยู่กับพารามิเตอร์ v สำหรับทรงหว่างยางแบบฮอรันคือ

$$u = \pm \cot \zeta(s) \left(\tan \left(\frac{v}{2} \right) + D \right) \quad (3.122)$$

เมื่อ D เป็นค่าคงที่จากการปริพันธ์

เอกสารนี้เป็นเอกสารที่สงวนไว้สำหรับการใช้งานเพื่อการศึกษาเท่านั้น ไม่อนุญาตให้นำไปใช้ประโยชน์ด้านการค้า
ไม่ว่ากรณีใดๆ ทั้งสิ้น อีกทั้งห้ามมิให้ดัดแปลงเนื้อหา และต้องอ้างอิงถึงเจ้าของเอกสารทุกครั้งที่มีการนำไปใช้

บทที่ 4

ผลการวิจัย

จากบทที่ 3 ได้หารูปแบบหลักมูลที่หนึ่ง สมการจีโอเดซิกบนภาวะอิงพารามิเตอร์เกลโรลที่ขึ้นอยู่กับพารามิเตอร์ v และสมการจีโอเดซิกบนภาวะอิงพารามิเตอร์เกลโรลที่ขึ้นอยู่กับพารามิเตอร์ v ที่อยู่ในรูปแบบปริพันธ์ของรูปทรงต่างๆ ซึ่งเป็นพื้นผิวของการหมุนแล้ว ในบทนี้ในส่วนแรกจะให้ความสัมพันธ์ของเกลโรลนำมาวิเคราะห์ลักษณะจีโอเดซิกที่อยู่บนพื้นผิวของการหมุน โดยจะแบ่งประเภทของจีโอเดซิกตามค่าคงที่ของเกลโรล พร้อมทั้งใช้โปรแกรมสำเร็จรูปทางคณิตศาสตร์ (MATLAB) ในการแสดงจีโอเดซิกบนพื้นผิวของการหมุนในแต่ละรูปทรง ส่วนที่สองจะแบ่งประเภทของรูปทรงต่างๆ ที่เป็นพื้นผิวของการหมุนออกเป็น 3 ประเภทได้แก่ พื้นผิวของการหมุนแบบเปิด พื้นผิวของการหมุนแบบปิดและพื้นผิวของการหมุนทั้งเปิดและปิดแล้วจะใช้ข้อสรุปจากหัวข้อแรกเพื่อวิเคราะห์จีโอเดซิกที่อยู่บนพื้นผิวของการหมุนทั้งสามประเภท

4.1 การวิเคราะห์ลักษณะของบางจีโอเดซิกบนพื้นผิวของการหมุนโดยใช้ความสัมพันธ์ของเกลโรล

จากค่าคงที่ของเกลโรล (c) จะให้จีโอเดซิกที่แตกต่างกันบนพื้นผิวของการหมุน ดังนั้นเราจะแบ่งประเภทของบางจีโอเดซิกบนพื้นผิวของการหมุน โดยใช้ **ทฤษฎีบท 2.10** (ความสัมพันธ์ของเกลโรล) และ **ทฤษฎีบท 3.1** นั่นคือ ทุกๆ เมอริเดียนเป็นจีโอเดซิก และจะมีบางพาราเดลเป็นจีโอเดซิกก็ต่อเมื่อ $f'(v_0) = 0$ จากความสัมพันธ์ของเกลโรล โดย $\xi(s)$ แทนมุมระหว่าง $\alpha(s)$ และพาราเดลที่ผ่าน $x(u(s), v(s))$ แล้ว

$$f(v) \cos \xi(s) = c \quad (2.68)$$

เมื่อ c คือค่าคงที่ของเกลโรล

ต่อไปนี้จะพิจารณาแต่พื้นผิวโดยใช้คุณสมบัติข้างต้น และจะกำหนดให้ v มีค่าน้อยๆ

4.1.1 การวิเคราะห์ลักษณะของบางจีโอเดซิกบนพื้นผิวคล้ายทรงกรวยโดยใช้ความสัมพันธ์ของเกลโรล

เนื่องจากพื้นผิวคล้ายทรงกรวยมีภาวะอิงพารามิเตอร์คือ

$$x(u, v) = (av \cos u, av \sin u, \ln v)$$

เมื่อ $f(v) = av, g(v) = \ln v$ โดยที่ $v > 0, u \in [0, 2\pi)$ และ $a > 0$

เอกสารนี้เป็นเอกสารที่สงวนไว้สำหรับการใช้งานเพื่อการศึกษาเท่านั้น ไม่อนุญาตให้นำไปใช้ประโยชน์ด้านการค้า ไม่ว่าจะกรณีใดๆ ทั้งสิ้น อีกทั้งห้ามมิให้ดัดแปลงเนื้อหา และต้องอ้างอิงถึงเจ้าของเอกสารทุกครั้งที่มีการนำไปใช้

ดังนั้น ความสัมพันธ์ของแกลโรลของพื้นผิวคล้ายทรงกรวย จะเป็นไปตาม

$$av \cos \zeta(s) = c \quad (4.1)$$

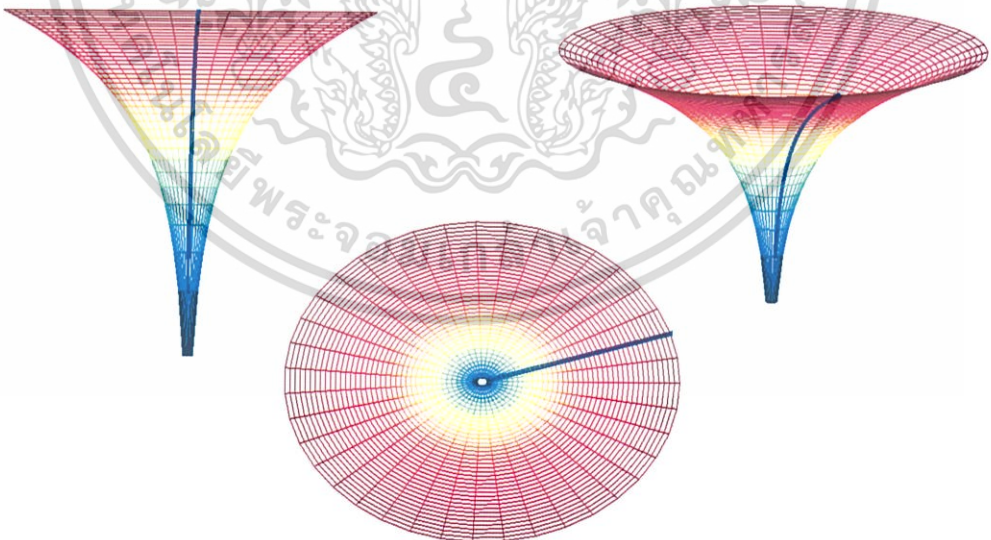
ต่อไปจะพิจารณาความสัมพันธ์ของแกลโรลบนพื้นผิวคล้ายทรงกรวย โดยแบ่งเป็น 3 ประเภท ได้แก่

1. ทุกๆ เมอริเดียนบนพื้นผิวคล้ายทรงกรวยเป็นจีโอเดซิก เมื่อ $c = 0$

กำหนดให้ $\alpha(s) = \mathbf{x}(u(s), v(s))$ เป็นเมอริเดียนบนพื้นผิวคล้ายทรงกรวย เนื่องจาก $\zeta(s)$ เป็นมุมระหว่าง \mathbf{x}_u กับเส้นสัมผัสของเมอริเดียน (α') ดังนั้น $\zeta = \frac{\pi}{2}$ จากความสัมพันธ์ของแกลโรลของพื้นผิวคล้ายทรงกรวย (4.1) โดยแทนค่า $\zeta = \frac{\pi}{2}$ จะได้

$$c = av \cos\left(\frac{\pi}{2}\right) = 0 \quad (4.2)$$

เนื่องจากทฤษฎีบท 3.1 นั่นคือ ทุกๆ เมอริเดียนเป็นจีโอเดซิก ดังนั้น ทุกๆ เมอริเดียนบนพื้นผิวคล้ายทรงกรวยเป็นจีโอเดซิก โดยค่าคงที่ของแกลโรล $c = 0$ แสดงได้ดังรูปที่ 4.1



รูปที่ 4.1. ทุกๆ เมอริเดียนบนพื้นผิวคล้ายทรงกรวยเป็นจีโอเดซิก โดยค่าคงที่ของแกลโรล $c = 0$

เอกสารนี้เป็นเอกสารที่สงวนไว้สำหรับการใช้งานเพื่อการศึกษาเท่านั้น ไม่อนุญาตให้นำไปใช้ประโยชน์ด้านการค้า ไม่ว่ากรณีใดๆ ทั้งสิ้น อีกทั้งห้ามมิให้ดัดแปลงเนื้อหา และต้องอ้างอิงถึงเจ้าของเอกสารทุกครั้งที่มีการนำไปใช้

2. ไม่มีพาราเลลบนพื้นผิวคล้ายทรงกรวยเป็นจีโอเดซิก

กำหนดให้ $\alpha(s) = \mathbf{x}(u(s), v(s))$ เป็นพาราเลลบนพื้นผิวคล้ายทรงกรวย เนื่องจาก $\xi(s)$ เป็นมุมระหว่าง \mathbf{x}_u กับเส้นสัมผัสของเมอริเดียน (α') ดังนั้น $\xi = 0$ จากความสัมพันธ์ของแกลโรลของพื้นผิวคล้ายทรงกรวย (4.1) โดยแทนค่า $\xi = 0$ จะได้

$$c = av \cos(0) = av \quad (4.3)$$

เนื่องจาก ทฤษฎีบท 3.1 นั่นคือ จะมีบางพาราเลลเป็นจีโอเดซิกก็ต่อเมื่อ $f'(v_0) = 0$ และจาก $f(v) = av$ โดยหาอนุพันธ์ $f(v)$ เทียบกับ v จะได้

$$f'(v) = a \neq 0 \quad (4.4)$$

จากสมการที่ (4.4) ไม่เป็นไปตามเงื่อนไข $f'(v_0) = 0$

เพราะฉะนั้น ไม่มีพาราเลลบนพื้นผิวคล้ายทรงกรวยเป็นจีโอเดซิก

3. บางจีโอเดซิกบนพื้นผิวคล้ายทรงกรวยที่มีลักษณะไม่ตั้งฉากกับเมอริเดียน เมื่อ $|c| < |a|$

สำหรับกรณีอื่นๆ โดยจีโอเดซิกบนพื้นผิวคล้ายทรงกรวยที่มีลักษณะไม่ตั้งฉากกับเมอริเดียน เพราะฉะนั้นจีโอเดซิกบนพื้นผิวคล้ายทรงกรวยจะเป็นไปตามความสัมพันธ์ของแกลโรลของบนพื้นผิวคล้ายทรงกรวย (4.1) นั่นคือ

$$c = av \cos \xi(s)$$

ยกกำลังทั้งสองข้างของสมการจะได้

$$c^2 = a^2 v^2 \cos^2 \xi(s)$$

เนื่องจาก $0 \leq \cos^2 \xi(s) \leq 1$ จะได้

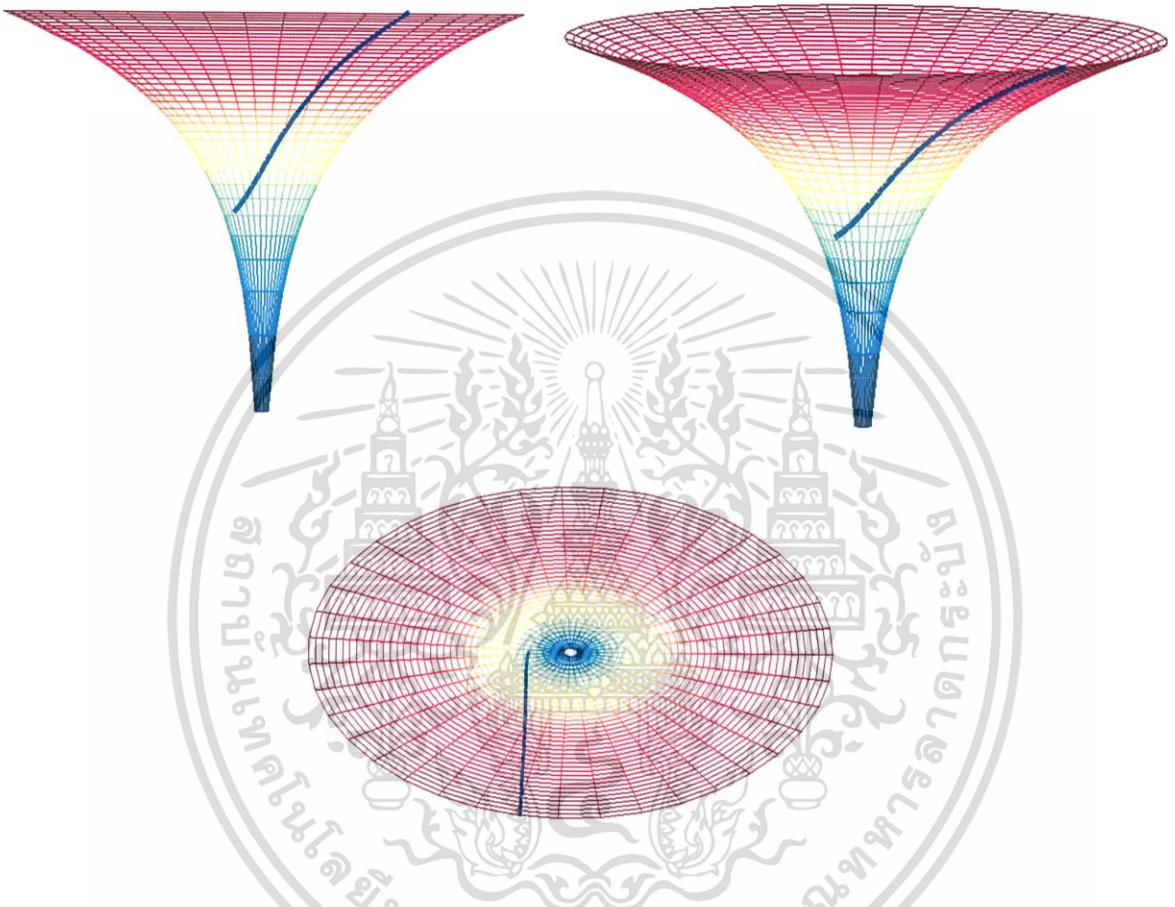
$$c^2 = a^2 v^2 \cos^2 \xi(s) \leq a^2 v^2$$

เนื่องจาก $v > 0$ และกำหนดให้ v มีค่าน้อยๆ ดังนั้น

$$|c| < |a| \quad (4.5)$$

ต่อไปนี้จะแสดงตัวอย่างของบางจีโอเดซิกบนพื้นผิวคล้ายทรงกรวยที่มีลักษณะไม่ตั้งฉากกับเมอริเดียน ใช้โปรแกรมสำเร็จรูปทางคณิตศาสตร์ (MATLAB) ในการแสดงจีโอเดซิกบนพื้นผิวคล้ายทรงกรวยโดยกำหนดให้จุดเริ่มต้นที่ (u_0, v_0) และมีทิศทาง $\left(\frac{du}{ds}, \frac{dv}{ds}\right)$

ตัวอย่างที่ 4.1 กำหนดจุดเริ่มต้นที่ $(u_0, v_0) = (\pi, 0.5)$ และมีทิศทาง $\left(\frac{du}{ds}, \frac{dv}{ds}\right) = (1, 0.1)$ แสดงได้ดังรูปที่ 4.2



รูปที่ 4.2 จีออเดสิกบนพื้นผิวคล้ายทรงกรวยที่ไม่ตั้งฉากกับเมอริเดียน โดยมีจุดเริ่มต้นที่

$$(u_0, v_0) = (\pi, 0.5) \text{ และมีทิศทาง } \left(\frac{du}{ds}, \frac{dv}{ds}\right) = (1, 0.1)$$

เอกสารนี้เป็นเอกสารที่สงวนไว้สำหรับการใช้งานเพื่อการศึกษาเท่านั้น ไม่อนุญาตให้นำไปใช้ประโยชน์ด้านการค้า
ไม่ว่ากรณีใดๆ ทั้งสิ้น อีกทั้งห้ามมิให้ดัดแปลงเนื้อหา และต้องอ้างอิงถึงเจ้าของเอกสารทุกครั้งที่มีการนำไปใช้

4.1.2 การวิเคราะห์ลักษณะของบางจีโอเดซิกบนทรงพาราโบลาคือใช้ความสัมพันธ์ของแกลโรล

เนื่องจากทรงพาราโบลามีภาวะอิงพารามิเตอร์คือ

$$\mathbf{x}(u, v) = (av \cos u, av \sin u, v^2)$$

เมื่อ $f(v) = av, g(v) = v^2$ โดยที่ $v > 0, u \in [0, 2\pi)$ และ $a > 0$

ดังนั้น ความสัมพันธ์ของแกลโรลของทรงพาราโบลาคือจะเป็นไปตาม

$$av \cos \xi(s) = c \quad (4.6)$$

ต่อไปจะพิจารณาความสัมพันธ์ของแกลโรลบนทรงพาราโบลาคือ โดยแบ่งเป็น 3 ประเภท ได้แก่

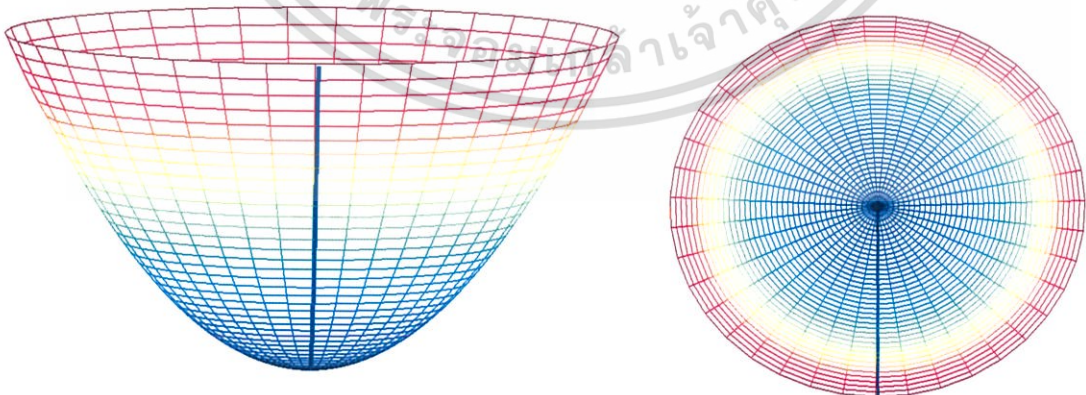
1. ทุกๆ เมอริเดียนบนทรงพาราโบลาคือเป็นจีโอเดซิก เมื่อ $c = 0$

กำหนดให้ $\alpha(s) = \mathbf{x}(u(s), v(s))$ เป็นเมอริเดียนบนทรงพาราโบลาคือเนื่องจาก $\xi(s)$ เป็นมุมระหว่าง \mathbf{x}_u กับเส้นสัมผัสของเมอริเดียน (α') ดังนั้น $\xi = \frac{\pi}{2}$ จากความสัมพันธ์ของแกลโรลของทรงพาราโบลาคือ (4.6) โดยแทนค่า $\xi = \frac{\pi}{2}$ จะได้

$$c = av \cos\left(\frac{\pi}{2}\right) = 0 \quad (4.7)$$

เนื่องจากทฤษฎีบท 3.1 นั่นคือ ทุกๆ เมอริเดียนเป็นจีโอเดซิก

ดังนั้น ทุกๆ เมอริเดียนบนทรงพาราโบลาคือเป็นจีโอเดซิก โดยค่าคงที่ของแกลโรล $c = 0$ แสดงได้ดังรูปที่ 4.3.



รูปที่ 4.3 เมอริเดียนบนทรงพาราโบลาคือเป็นจีโอเดซิกโดยค่าคงที่ของแกลโรล $c = 0$

เอกสารนี้เป็นเอกสารที่สงวนไว้สำหรับการใช้งานเพื่อการศึกษาเท่านั้น ไม่อนุญาตให้นำไปใช้ประโยชน์ด้านการค้า ไม่ว่าจะกรณีใดๆ ทั้งสิ้น อีกทั้งห้ามมิให้ดัดแปลงเนื้อหา และต้องอ้างอิงถึงเจ้าของเอกสารทุกครั้งที่มีการนำไปใช้

2. ไม่มีพาราเลลบนทรงพาราโบล่าเป็นจีโอเดซิก

กำหนดให้ $\alpha(s) = \mathbf{x}(u(s), v(s))$ เป็นพาราเลลบนทรงพาราโบล่า เนื่องจาก $\xi(s)$ เป็นมุมระหว่าง \mathbf{x}_u กับเส้นสัมผัสของเมอริเดียน (α') ดังนั้น $\xi = 0$ จากความสัมพันธ์ของเกลโรลของทรงพาราโบล่า (4.6) โดยแทนค่า $\xi = 0$ จะได้

$$c = av \cos(0) = av \quad (4.8)$$

เนื่องจาก ทฤษฎีบท 3.1 นั่นคือ จะมีบางพาราเลลเป็นจีโอเดซิกก็ต่อเมื่อ $f'(v_0) = 0$ และจาก $f(v) = av$ โดยหาอนุพันธ์ $f(v)$ เทียบกับ v จะได้

$$f'(v_0) = a \neq 0$$

นั่นคือ $f'(v_0) \neq 0$ ดังนั้น ไม่มีพาราเลลที่เป็นจีโอเดซิกบนทรงพาราโบล่า

3. บางจีโอเดซิกบนทรงพาราโบล่าที่มีลักษณะไม่ตั้งฉากกับเมอริเดียน เมื่อ $|c| < |a|$

สำหรับกรณีอื่นๆ โดยจีโอเดซิกบนทรงพาราโบล่าที่มีลักษณะไม่ตั้งฉากกับเมอริเดียน เพราะฉะนั้นจีโอเดซิกบนทรงพาราโบล่าจะเป็นไปตามความสัมพันธ์ของเกลโรลของทรงพาราโบล่า (4.6) นั่นคือ

$$c = (av\sqrt{1-v}) \cos \xi(s)$$

ยกกำลังทั้งสองข้างของสมการ และ เนื่องจาก $0 \leq \cos^2 \xi(s) \leq 1$ จะได้

$$\begin{aligned} c^2 &= a^2 v^2 \cos^2 \xi(s) \\ &\leq a^2 v^2 \end{aligned}$$

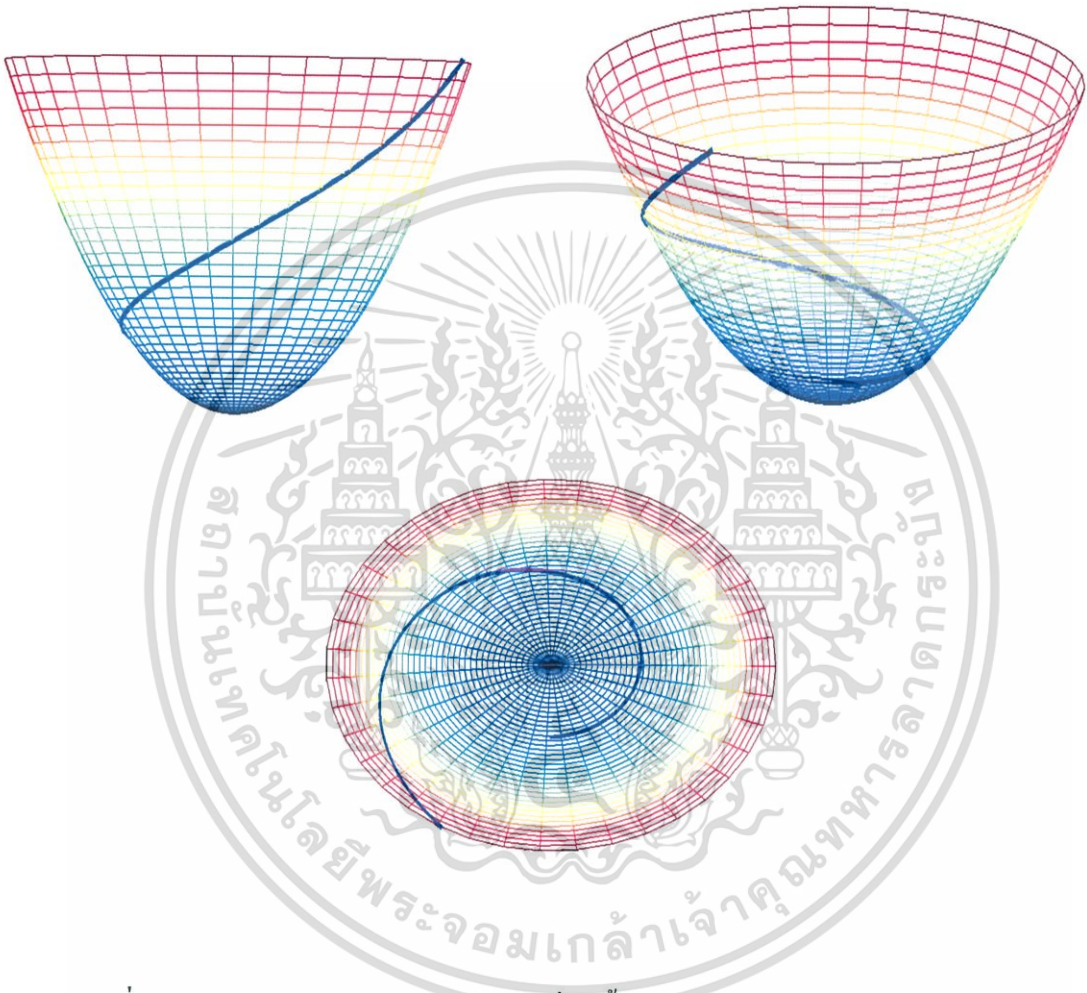
เนื่องจาก $v > 0$ และกำหนดให้ v มีค่าน้อยๆ จะได้

$$\text{เพราะฉะนั้น} \quad |c| < |a| \quad (4.9)$$

นั่นคือค่าคงที่เกลโรลจะมีค่าเป็นค่าคงที่ใดๆ

ดังนั้น จะมีบางจีโอเดซิกบนทรงพาราโบล่าที่มีลักษณะไม่ตั้งฉากกับเมอริเดียนเป็นไปตามความสัมพันธ์ของเกลโรล นั่นคือ $|c| < |a|$ ต่อไปนี้จะแสดงตัวอย่างของบางจีโอเดซิกบนพื้นผิวคล้ายทรงกรวยที่มีลักษณะไม่ตั้งฉากกับเมอริเดียน ใช้โปรแกรมสำเร็จรูปทางคณิตศาสตร์ (MATLAB) ในการแสดงจีโอเดซิกบนทรงพาราโบล่าโดยกำหนดให้จุดเริ่มต้นที่ (u_0, v_0) และมีทิศทาง $\left(\frac{du}{ds}, \frac{dv}{ds}\right)$

ตัวอย่างที่ 4.2 กำหนดจุดเริ่มต้นที่ $(u_0, v_0) = \left(\frac{\pi}{2}, -\frac{\pi}{2}\right)$ และมีทิศทาง $\left(\frac{du}{ds}, \frac{dv}{ds}\right) = (1, 0.1)$ แสดงได้
 ดังรูปที่ 4.4



รูปที่ 4.4 บางจีโอเดซิกบนทรงพาราโบลาที่ไม่ตั้งฉากกับเมอริเดียน โดยมีจุดเริ่มต้นที่

$$(u_0, v_0) = \left(\frac{\pi}{2}, -\frac{\pi}{2}\right) \text{ และมีทิศทาง } \left(\frac{du}{ds}, \frac{dv}{ds}\right) = (1, 0.1)$$

เอกสารนี้เป็นเอกสารที่สงวนไว้สำหรับการใช้งานเพื่อการศึกษาเท่านั้น ไม่อนุญาตให้นำไปใช้ประโยชน์ด้านการค้า
 ไม่ว่ากรณีใดๆ ทั้งสิ้น อีกทั้งห้ามมิให้ดัดแปลงเนื้อหา และต้องอ้างอิงถึงเจ้าของเอกสารทุกครั้งที่มีการนำไปใช้

4.1.3. การพิจารณาลักษณะของบางจีโอเดซิกบนทรงไฮเพอร์โบล่าโดยใช้ความสัมพันธ์ของแกลโรล

ทรงไฮเพอร์โบล่าเป็นรูปทรงเปิดมีภาวะอิงพารามิเตอร์ คือ

$$\mathbf{x}(u, v) = (a\sqrt{1+v^2} \cos u, a\sqrt{1+v^2} \sin u, bv)$$

เมื่อ $f(v) = bv, g(v) = a\sqrt{1+v^2}$ โดยที่ $u \in [0, 2\pi)$ $a > 0$ และ $b > 0$

ดังนั้น ความสัมพันธ์ของแกลโรลของทรงไฮเพอร์โบล่าจะเป็นไปตาม

$$a\sqrt{1+v^2} \cos \xi(s) = c \quad (4.10)$$

ต่อไปจะพิจารณาความสัมพันธ์ของแกลโรลบนบนทรงไฮเพอร์โบล่า โดยแบ่งเป็น 3 ประเภท ได้แก่

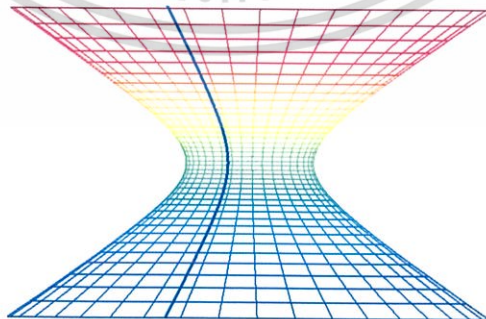
1. ทุกๆ เมอริเดียนบนทรงไฮเพอร์โบล่าเป็นจีโอเดซิก เมื่อ $c = 0$

กำหนดให้ $\alpha(s) = \mathbf{x}(u(s), v(s))$ เป็นเมอริเดียนบนทรงไฮเพอร์โบล่า เนื่องจาก $\xi(s)$ เป็นมุมระหว่าง \mathbf{x}_u กับเส้นสัมผัสของเมอริเดียน (α') ดังนั้น $\xi = \frac{\pi}{2}$ จากความสัมพันธ์ของแกลโรลของบนทรงไฮเพอร์โบล่า (4.10) โดยแทนค่า $\xi = \frac{\pi}{2}$ ในสมการ (4.10) จะได้

$$c = a\sqrt{1+v^2} \cos\left(\frac{\pi}{2}\right) = 0 \quad (4.11)$$

โดยทฤษฎีบท 3.1 นั่นคือ ทุกๆ เมอริเดียนเป็นจีโอเดซิก

ดังนั้น ทุกๆ เมอริเดียนบนทรงไฮเพอร์โบล่าเป็นจีโอเดซิก โดยค่าคงที่ของแกลโรล $c = 0$ แสดงได้ดังรูปที่ 4.5.



รูปที่ 4.5 ทุกๆ เมอริเดียนบนบนทรงไฮเพอร์โบล่าเป็นจีโอเดซิก โดยค่าคงที่ของแกลโรล $c = 0$

2. บางพาราเลลบนทรงไฮเพอร์โบล่าเป็นจีโอเดสิกเมื่อ $c = a$ โดยที่ $v_0 = 0$

กำหนดให้ $\alpha(s) = \mathbf{x}(u(s), v(s))$ เป็นพาราเลลบนบนทรงไฮเพอร์โบล่า เนื่องจาก $\xi(s)$ เป็นมุมระหว่าง \mathbf{x}_u กับเส้นสัมผัสของเมริเดียน (α') ดังนั้น $\xi = 0$ จากความสัมพันธ์ของเกลโรลของทรงไฮเพอร์โบล่า (4.10) โดยแทนค่า $\xi = 0$ จะได้

$$c = a(1+v^2) \cos(0) = a(1+v^2) \quad (4.12)$$

โดยทฤษฎีบท 3.1 นั่นคือ จะมีบางพาราเลลเป็นจีโอเดสิกก็ต่อเมื่อ $f'(v_0) = 0$ และจาก $f(v) = a\sqrt{1+v^2}$ โดยหาอนุพันธ์ $f(v)$ เทียบกับ v จะได้

$$f'(v) = \frac{2av}{\sqrt{1+v^2}} \quad (4.13)$$

จากเงื่อนไข $f'(v_0) = 0$ และสมการ (4.13) จะได้

$$f'(v_0) = \frac{2av_0}{\sqrt{1+v_0^2}} = 0$$

เมื่อ $v_0 = 0$

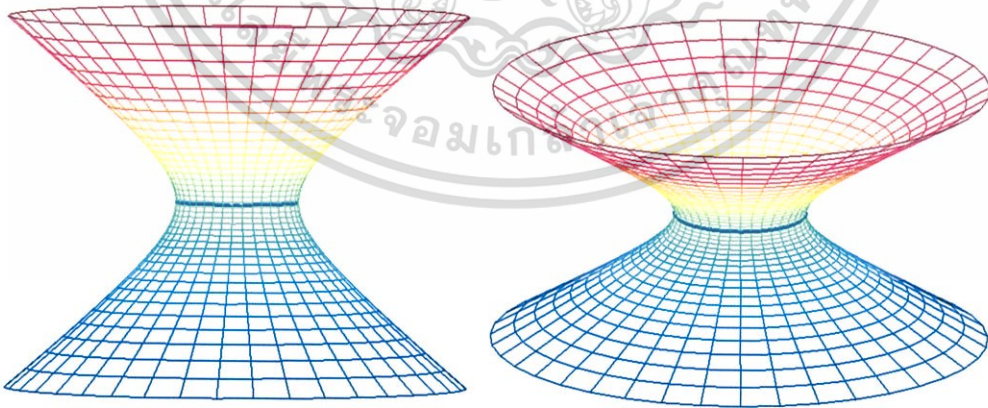
แทนค่า $v_0 = 0$ สมการ (4.12) จะได้

$$c = a(1+(0)^2) = a$$

ดังนั้น

$$c = a \quad (4.14)$$

เพราะฉะนั้น จะมีบางพาราเลลบนทรงไฮเพอร์โบล่าเป็นจีโอเดสิกก็ต่อเมื่อ $f'(v_0) = 0$ โดยที่ $v_0 = 0$ และค่าคงที่ของเกลโรลจะเป็นไปตาม $c = a$ ซึ่งแสดงได้ดังรูปที่



รูปที่ 4.6. บางพาราเลลบนทรงไฮเพอร์โบล่าเป็นจีโอเดสิกก็ต่อเมื่อ $f'(v_0) = 0$ โดยที่ $v_0 = 0$ และค่าคงที่ของเกลโรลจะเป็นไปตาม $c = a$

เอกสารนี้เป็นเอกสารที่สงวนไว้สำหรับการใช้งานเพื่อการศึกษาเท่านั้น ไม่อนุญาตให้นำไปใช้ประโยชน์ด้านการค้า ไม่ว่ากรณีใดๆ ทั้งสิ้น อีกทั้งห้ามมิให้ดัดแปลงเนื้อหา และต้องอ้างอิงถึงเจ้าของเอกสารทุกครั้งที่มีการนำไปใช้

3. บางจีโอเดซิกบนทรงไฮเพอร์โบลามีลักษณะไม่ตั้งฉากกับเมอร์เดียน เมื่อ $|c| < |a|$

สำหรับกรณีอื่นๆ โดยจีโอเดซิกบนทรงไฮเพอร์โบลามีลักษณะไม่ตั้งฉากกับเมอร์เดียน เพราะฉะนั้นจีโอเดซิกบนทรงพาราโบลาคจะเป็นไปตามความสัมพันธ์ของแกนโรลของทรงไฮเพอร์โบล่า (4.10) นั่นคือ

$$\begin{aligned}c &= a\sqrt{1+v^2} \cos \xi(s) \\c^2 &= \left(a\sqrt{1+v^2}\right)^2 \cos^2 \xi(s) \\c^2 &\leq \left(a\sqrt{1+v^2}\right)^2 \\c^2 &\leq a^2(1+v^2)\end{aligned}$$

เนื่องจาก $v > 0$ และกำหนดให้ v มีค่าน้อยๆ จะได้

$$c^2 \leq a^2$$

แต่ในกรณีไม่พิจารณา $c = a$ เพราะฉะนั้น

เพราะฉะนั้น

$$|c| < |a|$$

(4.15)

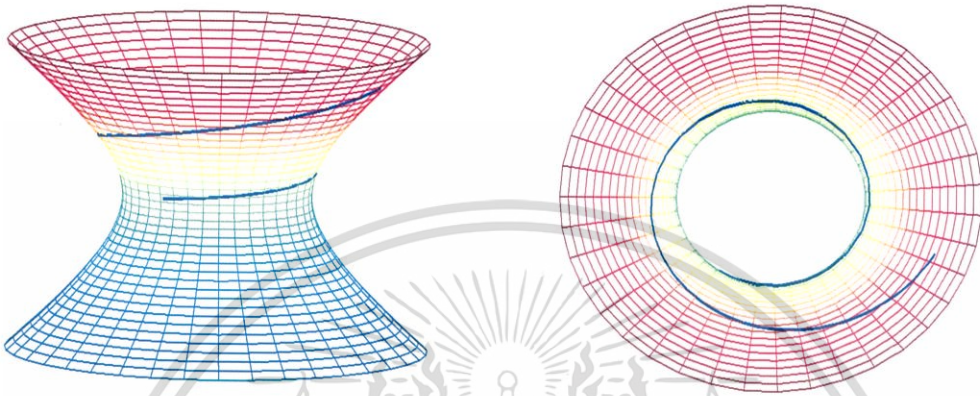
ดังนั้น จะมีบางจีโอเดซิกบนทรงไฮเพอร์โบล่าที่มีลักษณะไม่ตั้งฉากกับเมอร์เดียนโดยที่ค่าคงที่ของแกนโรลจะเป็นไปตาม $c = a$

ดังนั้น จะมีบางจีโอเดซิกบนทรงไฮเพอร์โบล่าที่มีลักษณะไม่ตั้งฉากกับเมอร์เดียนเป็นไปตามความสัมพันธ์ของแกนโรล นั่นคือ $|c| < |a|$ ต่อไปนี้จะแสดงตัวอย่างของบางจีโอเดซิกบนทรงไฮเพอร์โบล่าที่มีลักษณะไม่ตั้งฉากกับเมอร์เดียน ใช้โปรแกรมสำเร็จรูปทางคณิตศาสตร์ (MATLAB) ในการแสดงจีโอเดซิกบนทรงไฮเพอร์โบล่าโดยกำหนดให้จุดเริ่มต้นที่ (u_0, v_0) และมีทิศทาง

$$\left(\frac{du}{ds}, \frac{dv}{ds}\right)$$

ตัวอย่างที่ 4.3 กำหนดจุดเริ่มต้นที่ $(u_0, v_0) = (1, 1)$ และมีทิศทาง $\left(\frac{du}{ds}, \frac{dv}{ds}\right) = (0.1, 0.1)$ แสดงได้ดัง

รูปที่ 4.7

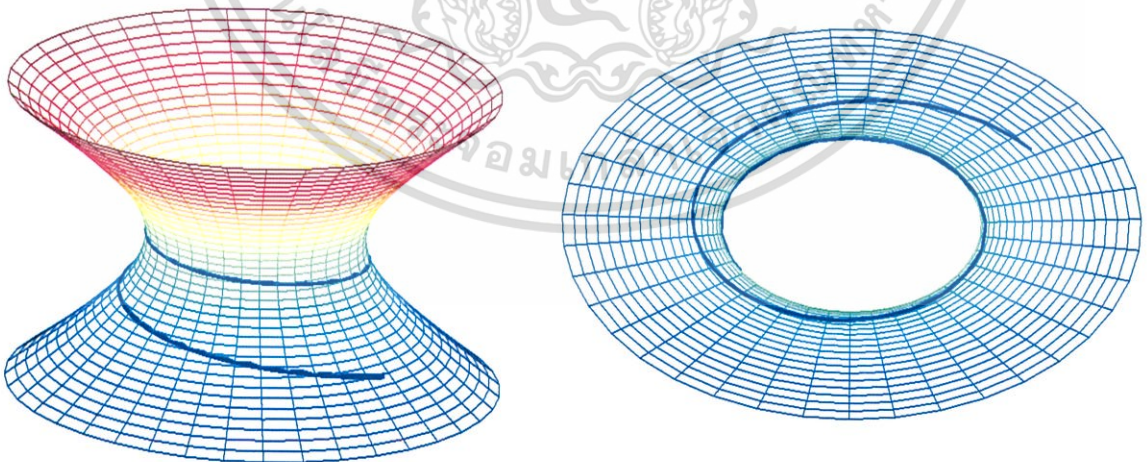


รูปที่ 4.7 บางจีโอเดสิกบนทรงไฮเพอร์โบลาคี่ที่ไม่ตั้งฉากกับเมอริเดียน โดยมีจุดเริ่มต้นที่

$$(u_0, v_0) = (1, 1) \text{ และมีทิศทาง } \left(\frac{du}{ds}, \frac{dv}{ds}\right) = (0.1, 0.1)$$

ตัวอย่างที่ 4.4 กำหนดจุดเริ่มต้นที่ $(u_0, v_0) = (1, 1)$ และมีทิศทาง $\left(\frac{du}{ds}, \frac{dv}{ds}\right) = (0.1, -0.1)$ แสดงได้

ดังรูปที่ 4.8



รูปที่ 4.8 บางจีโอเดสิกบนทรงไฮเพอร์โบลาคี่ที่ไม่ตั้งฉากกับเมอริเดียน โดยมีจุดเริ่มต้นที่

$$(u_0, v_0) = (1, 1) \text{ และมีทิศทาง } \left(\frac{du}{ds}, \frac{dv}{ds}\right) = (0.1, -0.1)$$

เอกสารนี้เป็นเอกสารที่สงวนไว้สำหรับการใช้งานเพื่อการศึกษาเท่านั้น ไม่อนุญาตให้นำไปใช้ประโยชน์ด้านการค้า
ไม่ว่ากรณีใดๆ ทั้งสิ้น อีกทั้งห้ามมิให้ดัดแปลงเนื้อหา และต้องอ้างอิงถึงเจ้าของเอกสารทุกครั้งที่มีการนำไปใช้

4.1.4. การพิจารณาลักษณะของบางจีโอเดสิกบนทรงไฮเพอร์โบลาสองชั้น โดยใช้ความสัมพันธ์ของแกลโรล

ทรงไฮเพอร์โบลาสองชั้นมีภาวะอิงพารามิเตอร์ คือ

$$\mathbf{x}(u, v) = (a \sinh v \cos u, a \sinh v \sin u, b \cosh v)$$

เมื่อ $f(v) = a \sinh v, g(v) = b \cosh v$ โดยที่ $v \in (-\infty, \infty), u \in [0, \pi), a > 0$ และ $b > 0$

จากสมการ (2.68) ดังนั้น ความสัมพันธ์ของแกลโรลของทรงไฮเพอร์โบลาสองชั้นจะเป็นไปตาม

$$a \sinh v \cos \xi(s) = c \quad (4.16)$$

ต่อไปจะพิจารณาความสัมพันธ์ของแกลโรลบนทรงไฮเพอร์โบลาสองชั้น โดยแบ่งเป็น 3 ประเภทได้แก่

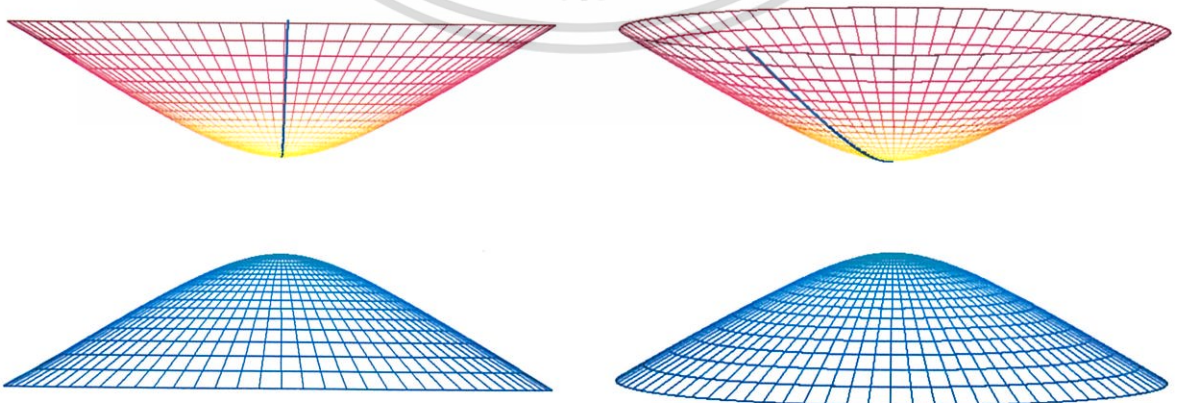
1. ทุกๆ เมอริเดียนบนทรงไฮเพอร์โบลาสองชั้นเป็นจีโอเดสิก เมื่อ $c = 0$

กำหนดให้ $\alpha(s) = \mathbf{x}(u(s), v(s))$ เป็นเมอริเดียนบนทรงไฮเพอร์โบลาสองชั้น เนื่องจาก $\xi(s)$ เป็นมุมระหว่าง \mathbf{x}_u กับเส้นสัมผัสของเมอริเดียน (α') ดังนั้น $\xi = \frac{\pi}{2}$ จากความสัมพันธ์ของแกลโรลของทรงไฮเพอร์โบลาสองชั้น (4.16) โดยแทนค่า $\xi = \frac{\pi}{2}$ จะได้

$$c = a \sinh v \cos\left(\frac{\pi}{2}\right) = 0 \quad (4.17)$$

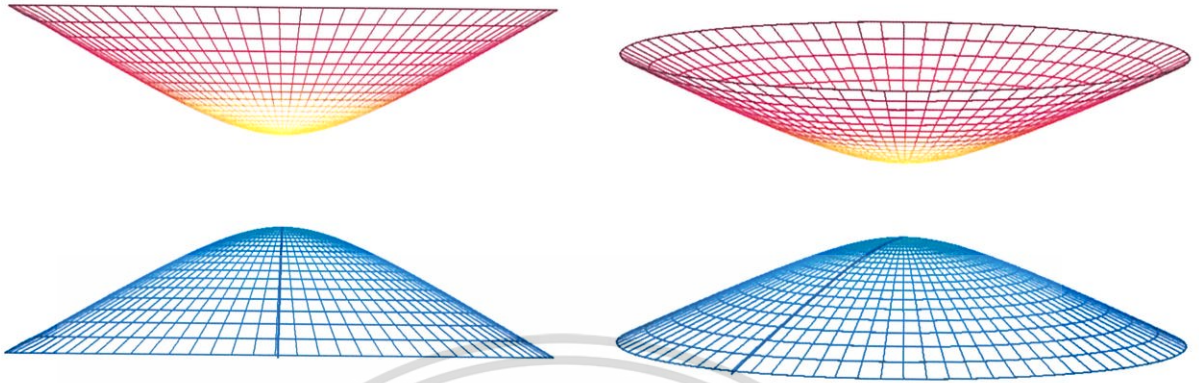
โดยทฤษฎีบท 3.1 นั่นคือ ทุกๆ เมอริเดียนเป็นจีโอเดสิก

ดังนั้น ทุกๆ เมอริเดียนบนทรงไฮเพอร์โบลาสองชั้นเป็นจีโอเดสิก โดยค่าคงที่ของแกลโรล $c = 0$ แสดงได้ดังรูปที่ 4.9



รูปที่ 4.9 ก) ทุกๆ เมอริเดียนบนทรงไฮเพอร์โบลาสองชั้นบนเป็นจีโอเดสิก

เอกสารนี้เป็นเอกสารที่สงวนไว้สำหรับการใช้งานเพื่อการศึกษาเท่านั้น ไม่อนุญาตให้นำไปใช้ประโยชน์ด้านการค้า ไม่ว่าจะกรณีใดๆ ทั้งสิ้น อีกทั้งห้ามมิให้ดัดแปลงเนื้อหา และต้องอ้างอิงถึงเจ้าของเอกสารทุกครั้งที่มีการนำไปใช้



รูปที่ 4.9 ข) ทุกๆ เมอริเดียนบนทรงไฮเพอร์โบลาคี่นล่างเป็นจีโอเดซิก

รูปที่ 4.9 ทุกๆ เมอริเดียนบนทรงไฮเพอร์โบลาคี่นบนเป็นจีโอเดซิก

โดยค่าคงที่ของแกลโรล $c = 0$

2. ไม่มีพาราเลลบนทรงไฮเพอร์โบลาคี่นที่เป็นจีโอเดซิก

กำหนดให้ $\alpha(s) = \mathbf{x}(u(s), v(s))$ เป็นพาราเลลบนทรงไฮเพอร์โบลาคี่น เนื่องจาก $\xi(s)$ เป็นมุมระหว่าง \mathbf{x}_u กับเส้นสัมผัสของเมอริเดียน (α') ดังนั้น $\xi = 0$ จากความสัมพันธ์ของแกลโรลของทรงไฮเพอร์โบลาคี่น (4.16) โดยแทนค่า $\xi = 0$ จะได้

$$c = a \sinh v \cos(0) = a \sinh v \quad (4.18)$$

โดยทฤษฎีบท 3.1 นั่นคือ จะมีบางพาราเลลเป็นจีโอเดซิกก็ต่อเมื่อ $f'(v_0) = 0$ และจาก $f(v) = a \sinh v$ โดยหาอนุพันธ์ $f(v)$ เทียบกับ v จะได้

$$f'(v) = a \cosh v \quad (4.19)$$

เนื่องจาก $\cosh v \neq 0$

เพราะฉะนั้น $f'(v_0) \neq 0$

ดังนั้น ไม่มีพาราเลลบนทรงไฮเพอร์โบลาคี่นที่เป็นจีโอเดซิก

3 บางจีโอเดซิกบนทรงไฮเพอร์โบลาคี่นที่มีลักษณะไม่ตั้งฉากกับเมอริเดียน เมื่อ $|c| < |a|$

สำหรับกรณีอื่นๆ โดยจีโอเดซิกบนทรงพาราโบลามีลักษณะไม่ตั้งฉากกับเมอริเดียน เพราะฉะนั้นจีโอเดซิกบนทรงพาราโบลาคี่นจะเป็นไปตามความสัมพันธ์ของแกลโรลของทรงไฮเพอร์โบลาคี่น (4.16) นั่นคือ

เอกสารนี้เป็นเอกสารที่สงวนไว้สำหรับการใช้งานเพื่อการศึกษาเท่านั้น ไม่อนุญาตให้นำไปใช้ประโยชน์ด้านการค้า ไม่ว่าจะกรณีใดๆ ทั้งสิ้น อีกทั้งห้ามมิให้ดัดแปลงเนื้อหา และต้องอ้างอิงถึงเจ้าของเอกสารทุกครั้งที่มีการนำไปใช้

$$c = a \sinh v \cos \xi(s)$$

ยกกำลังทั้งสองข้าง จะได้

$$\begin{aligned} c^2 &= (a \sinh v)^2 \cos^2 \xi(s) \\ &\leq a^2 \sinh^2 v \\ &\leq a^2 \end{aligned}$$

เนื่องจาก $v > 0$ และกำหนดให้ v มีค่าน้อยๆ จะได้

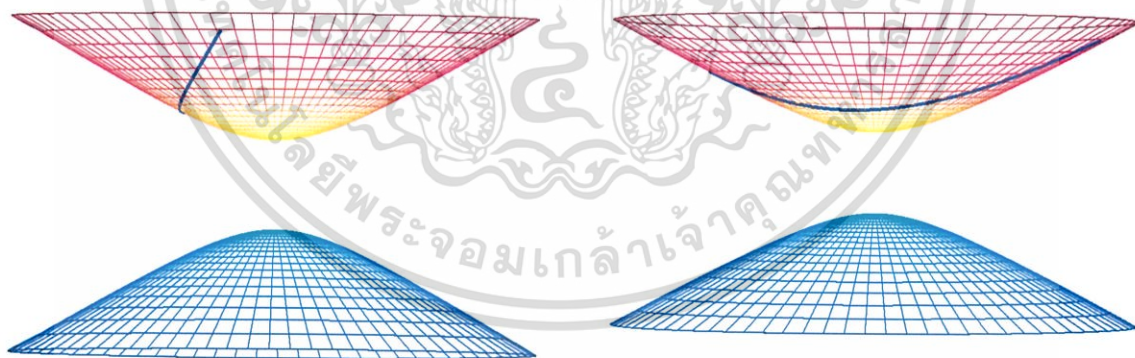
$$c^2 < a^2$$

เพราะฉะนั้น

$$|c| < |a| \quad (4.20)$$

ดังนั้น จะมีบางจีโอเดสิกบนทรงไฮเพอร์โบลาสองชั้นที่มีลักษณะไม่ตั้งฉากกับเมอริเดียน เป็นไปตามความสัมพันธ์ของเกลโรล นั่นคือ $|c| < |a|$ ต่อไปนี้จะแสดงตัวอย่างของบางจีโอเดสิกบนทรงไฮเพอร์โบลาสองชั้นที่มีลักษณะไม่ตั้งฉากกับเมอริเดียน ใช้โปรแกรมสำเร็จรูปทางคณิตศาสตร์ (MATLAB) ในการแสดงจีโอเดสิกบนทรงไฮเพอร์โบลาสองชั้นโดยกำหนดให้จุดเริ่มต้นที่ (u_0, v_0) และมีทิศทาง $\left(\frac{du}{ds}, \frac{dv}{ds}\right)$

ตัวอย่างที่ 4.5 กำหนดจุดเริ่มต้นที่ $(u_0, v_0) = \left(\frac{\pi}{2}, -\frac{\pi}{2}\right)$ และมีทิศทาง $\left(\frac{du}{ds}, \frac{dv}{ds}\right) = (0.1, 0.1)$ แสดงได้ดังรูปที่ 4.10



รูปที่ 4.10 บางจีโอเดสิกบนทรงไฮเพอร์โบลาสองชั้นบนที่ไม่ตั้งฉากกับเมอริเดียน โดยมีจุดเริ่มต้นที่

$$(u_0, v_0) = \left(\frac{\pi}{2}, -\frac{\pi}{2}\right) \text{ และมีทิศทาง } \left(\frac{du}{ds}, \frac{dv}{ds}\right) = (0.1, 0.1)$$

เอกสารนี้เป็นเอกสารที่สงวนไว้สำหรับการใช้งานเพื่อการศึกษาเท่านั้น ไม่อนุญาตให้นำไปใช้ประโยชน์ด้านการค้า ไม่ว่ากรณีใดๆ ทั้งสิ้น อีกทั้งห้ามมิให้ดัดแปลงเนื้อหา และต้องอ้างอิงถึงเจ้าของเอกสารทุกครั้งที่มีการนำไปใช้

4.1.5. การพิจารณาลักษณะของบางจีโอเดสิกบนแคทีนอยด์โดยใช้ความสัมพันธ์ของเกลโรล

แคทีนอยด์มีภาวะอิงพารามิเตอร์ คือ

$$\mathbf{x}(u, v) = \left(a \cosh\left(\frac{v}{a}\right) \cos u, a \cosh\left(\frac{v}{a}\right) \sin u, v \right)$$

เมื่อ $f(v) = a \cosh\left(\frac{v}{a}\right)$, $g(v) = v$ โดยที่ $u \in [0, 2\pi)$ และ $a > 0$

จากสมการ (2.68) ดังนั้น ความสัมพันธ์ของเกลโรลของแคทีนอยด์จะเป็นไปตาม

$$a \cosh\left(\frac{v}{a}\right) \cos \xi(s) = c \quad (4.21)$$

ต่อไปจะพิจารณาความสัมพันธ์ของเกลโรลบนแคทีนอยด์ โดยแบ่งเป็น 3 ประเภท ได้แก่

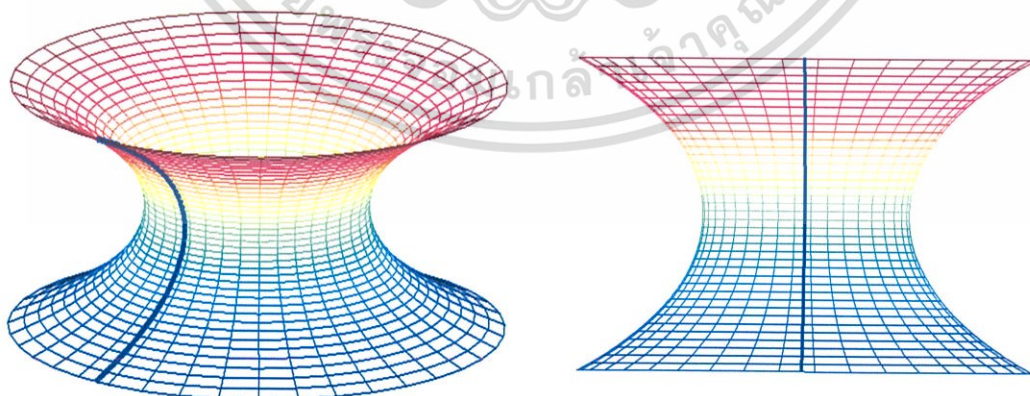
1. ทุกๆ เมอริเดียนบนแคทีนอยด์เป็นจีโอเดสิก เมื่อ $c = 0$

กำหนดให้ $\alpha(s) = \mathbf{x}(u(s), v(s))$ เป็นเมอริเดียนบนแคทีนอยด์ เนื่องจาก $\xi(s)$ เป็นมุมระหว่าง \mathbf{x}_u กับเส้นสัมผัสของเมอริเดียน (α') ดังนั้น $\xi = \frac{\pi}{2}$ จากความสัมพันธ์ของเกลโรลของแคทีนอยด์ (4.21) โดยแทนค่า $\xi = \frac{\pi}{2}$ ในสมการ (4.22) จะได้

$$c = a \cosh\left(\frac{v}{a}\right) \cos \frac{\pi}{2} = 0 \quad (4.22)$$

โดยทฤษฎีบท 3.1 นั่นคือ ทุกๆ เมอริเดียนเป็นจีโอเดสิก

ดังนั้น ทุกๆ เมอริเดียนบนแคทีนอยด์เป็นจีโอเดสิก โดยค่าคงที่ของเกลโรล $c = 0$ แสดงได้ดังรูปที่ 4.11



รูปที่ 4.11. ทุกๆ เมอริเดียนบนแคทีนอยด์เป็นจีโอเดสิก โดยค่าคงที่ของเกลโรล $c = 0$

เอกสารนี้เป็นเอกสารที่สงวนไว้สำหรับการใช้งานเพื่อการศึกษาเท่านั้น ไม่อนุญาตให้นำไปใช้ประโยชน์ด้านการค้า ไม่ว่าจะกรณีใดๆ ทั้งสิ้น อีกทั้งห้ามมิให้ดัดแปลงเนื้อหา และต้องอ้างอิงถึงเจ้าของเอกสารทุกครั้งที่มีการนำไปใช้

2. บางพาราเลลบนแคทีนอยด์เป็นจีโอเดซิกเมื่อ $c = a$ โดยที่ $v_0 = 0$

กำหนดให้ $\alpha(s) = \mathbf{x}(u(s), v(s))$ เป็นพาราเลลบนแคทีนอยด์ เนื่องจาก $\xi(s)$ เป็นมุมระหว่าง \mathbf{x}_u กับเส้นสัมผัสของเมริเดียน (α') ดังนั้น $\xi = 0$ จากความสัมพันธ์ของแกลโรลของแคทีนอยด์ (4.21) โดยแทนค่า $\xi = 0$ จะได้

$$c = a \cosh\left(\frac{v}{a}\right) \cos 0 = a \cosh\left(\frac{v}{a}\right) \quad (4.23)$$

โดยทฤษฎีบท 3.1 นั่นคือ จะมีบางพาราเลลบนแคทีนอยด์เป็นจีโอเดซิกก็ต่อเมื่อ $f'(v_0) = 0$ และจาก

$f(v) = a \cosh\left(\frac{v}{a}\right)$ โดยหาอนุพันธ์ $f'(v)$ เทียบกับ v จะได้

$$f'(v) = \sinh\left(\frac{v}{a}\right) \quad (4.24)$$

จากเงื่อนไข $f'(v_0) = 0$ และสมการ (4) จะได้

$$\sinh\left(\frac{v_0}{a}\right) = 0$$

เมื่อ $v_0 = 0$

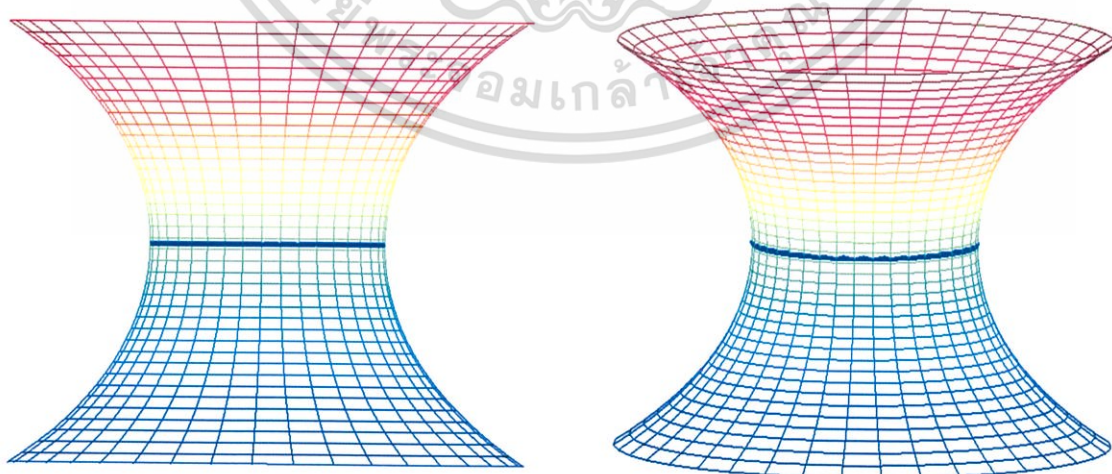
ดังนั้น แทนค่า $v_0 = 0$ สมการ (4.23) จะได้

$$c = a \cosh\left(\frac{0}{a}\right) = a$$

ดังนั้น

$$c = a \quad (4.25)$$

เพราะฉะนั้น จะมีบางพาราเลลบนแคทีนอยด์เป็นจีโอเดซิกก็ต่อเมื่อ $f'(v_0) = 0$ โดยที่ $v_0 = 0$ และค่าคงที่ของแกลโรลจะเป็นไปตาม $c = a$ ซึ่งแสดงได้ดังรูปที่ 4.12



รูปที่ 4.12. บางพาราเลลบนแคทีนอยด์เป็นจีโอเดซิกก็ต่อเมื่อ $f'(v_0) = 0$ โดยที่ $v_0 = 0$ และค่าคงที่ของแกลโรลจะเป็นไปตาม $c = a$

เอกสารนี้เป็นเอกสารที่สงวนไว้สำหรับการใช้งานเพื่อการศึกษาเท่านั้น ไม่อนุญาตให้นำไปใช้ประโยชน์ด้านการค้า ไม่ว่าจะกรณีใดๆ ทั้งสิ้น อีกทั้งห้ามมิให้ดัดแปลงเนื้อหา และต้องอ้างอิงถึงเจ้าของเอกสารทุกครั้งที่มีการนำไปใช้

3. บางจีโอเดซิกบนแคทีนอยด์ที่มีลักษณะไม่ตั้งฉากกับเมอริเดียน เมื่อ $|c| < |a|$

สำหรับกรณีอื่นๆ โดยจีโอเดซิกบนแคทีนอยด์ที่มีลักษณะไม่ตั้งฉากกับเมอริเดียน เพราะฉะนั้นจีโอเดซิกบนแคทีนอยด์จะเป็นไปตามความสัมพันธ์ของแกลโรลของแคทีนอยด์ (4.21) นั่นคือ

$$a \cosh\left(\frac{v}{a}\right) \cos \xi(s) = c$$

ยกกำลังทั้งสองข้างของสมการ จะได้

$$\begin{aligned} c^2 &= a^2 \cosh^2\left(\frac{v}{a}\right) \cos^2 \xi(s) \\ &\leq a^2 \cosh^2\left(\frac{v}{a}\right) \\ &\leq a^2 \end{aligned}$$

แต่ในกรณีนี้ไม่พิจารณา $c = a$

เพราะฉะนั้น

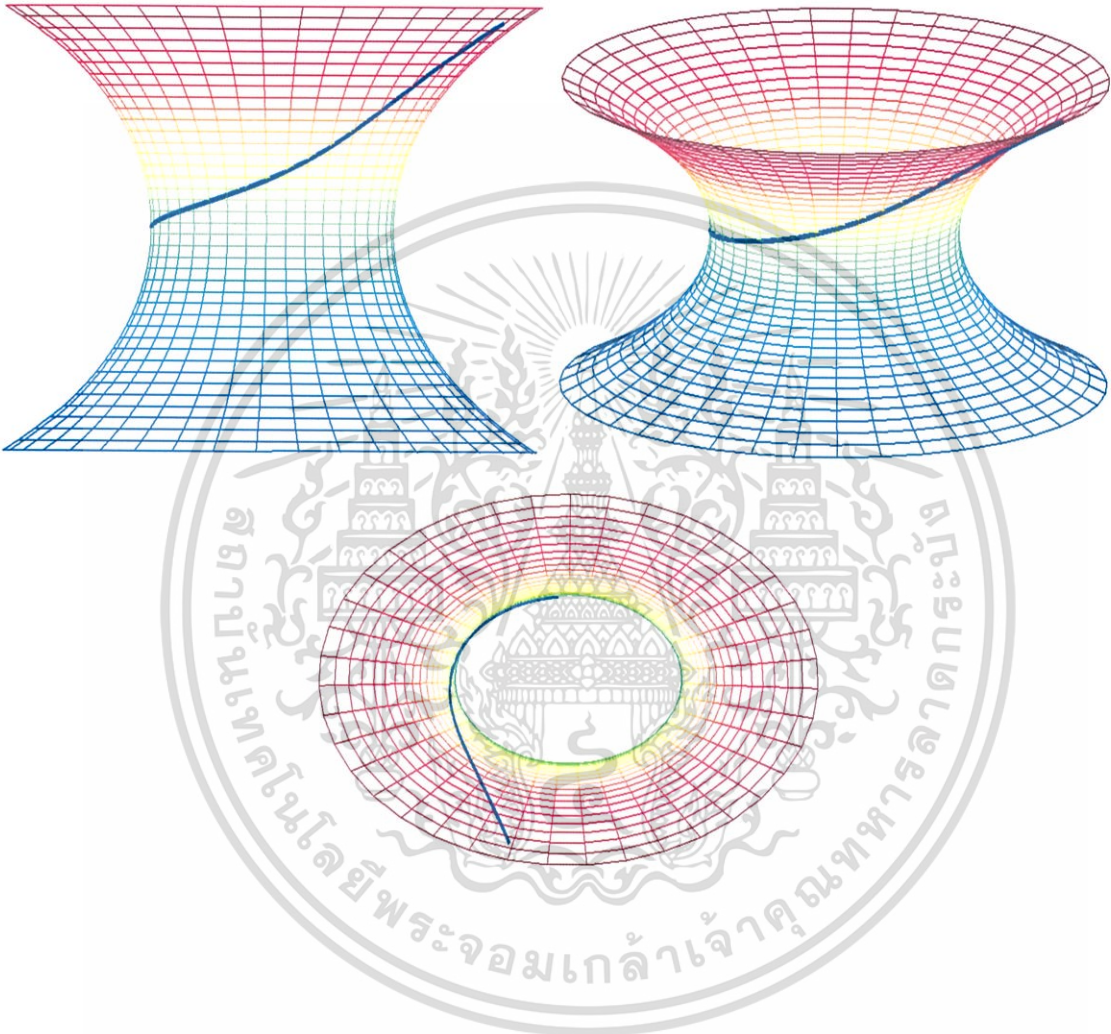
$$|c| < |a|$$

(4.26)

ดังนั้น สำหรับบางจีโอเดซิกบนแคทีนอยด์ที่มีลักษณะไม่ตั้งฉากกับเมอริเดียน ค่าคงที่ของแกลโรลจะเป็นไปตาม $|c| < |a|$

ดังนั้น จะมีบางจีโอเดซิกบนแคทีนอยด์ที่มีลักษณะไม่ตั้งฉากกับเมอริเดียนเป็นไปตามความสัมพันธ์ของแกลโรล นั่นคือ $|c| < |a|$. ต่อไปนี้จะแสดงตัวอย่างของบางจีโอเดซิกบนแคทีนอยด์ที่มีลักษณะไม่ตั้งฉากกับเมอริเดียน ใช้โปรแกรมสำเร็จรูปทางคณิตศาสตร์ (MATLAB) ในการแสดงจีโอเดซิกบนแคทีนอยด์โดยกำหนดให้จุดเริ่มต้นที่ (u_0, v_0) และมีทิศทาง $\left(\frac{du}{ds}, \frac{dv}{ds}\right)$

ตัวอย่างที่ 4.6 กำหนดจุดเริ่มต้นที่ $(u_0, v_0) = (0.1, 0)$ และมีทิศทาง $\left(\frac{du}{ds}, \frac{dv}{ds}\right) = (1, 0.1)$ แสดงได้ดังรูปที่ 4.13



รูปที่ 4.13 บางจีโอเดสิกบนแคทินอยด์ที่ไม่ตั้งฉากกับเมอร์เดียน โดยมีกำหนดจุดเริ่มต้นที่

$$(u_0, v_0) = (0.1, 0) \text{ และมีทิศทาง } \left(\frac{du}{ds}, \frac{dv}{ds}\right) = (1, 0.1)$$

เอกสารนี้เป็นเอกสารที่สงวนไว้สำหรับการใช้งานเพื่อการศึกษาเท่านั้น ไม่อนุญาตให้นำไปใช้ประโยชน์ด้านการค้า
ไม่ว่ากรณีใดๆ ทั้งสิ้น อีกทั้งห้ามมิให้ดัดแปลงเนื้อหา และต้องอ้างอิงถึงเจ้าของเอกสารทุกครั้งที่มีการนำไปใช้

4.1.6. การพิจารณาลักษณะของบางจีโอเดซิกบนพื้นผิวแบบดิงคองโดยใช้ความสัมพันธ์ของเกลโรล
พื้นผิวแบบดิงคองมีภาวะอิงพารามิเตอร์ คือ

$$\mathbf{x}(u, v) = (a\sqrt{1-v} \cdot v \cos u, a\sqrt{1-v} \cdot v \sin u, av)$$

เมื่อ $f(v) = av\sqrt{1-v}$, $g(v) = av$ โดยที่ $v \in (-\infty, 1)$, $u \in [0, 2\pi)$ และ $a > 0$

จากสมการ (2.68) ดังนั้น ความสัมพันธ์ของเกลโรลของพื้นผิวแบบดิงคองจะเป็นไปตาม

$$(av\sqrt{1-v}) \cos \xi(s) = c \quad (4.27)$$

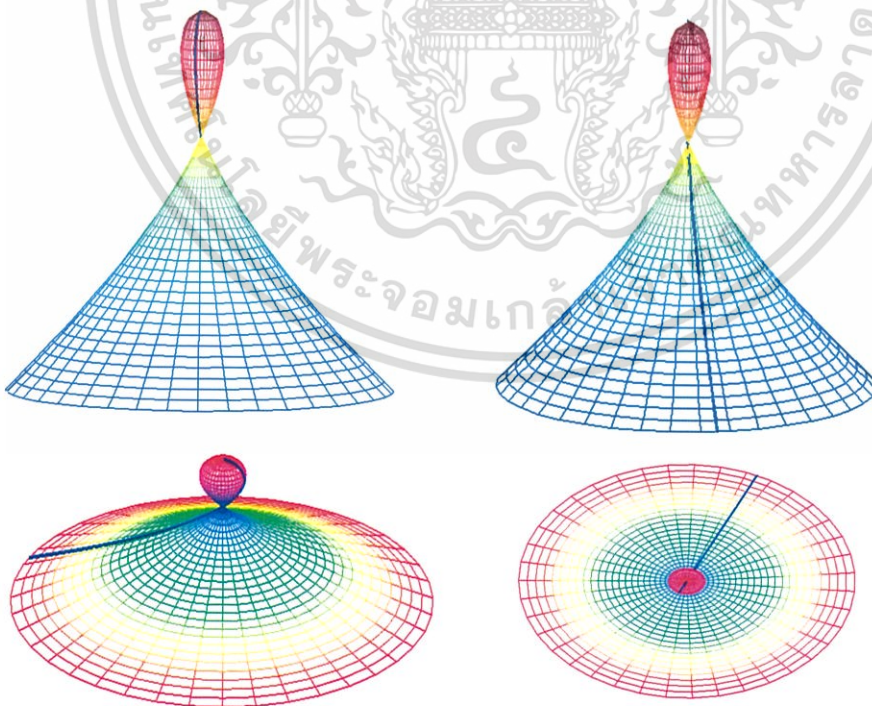
ต่อไปจะพิจารณาความสัมพันธ์ของเกลโรลบนพื้นผิวแบบดิงคอง โดยแบ่งเป็น 3 ประเภท ได้แก่

1. ทุกๆ เมอริเดียนบนพื้นผิวแบบดิงคองเป็นจีโอเดซิก เมื่อ $c = 0$

กำหนดให้ $\alpha(s) = \mathbf{x}(u(s), v(s))$ เป็นเมอริเดียนบนพื้นผิวแบบดิงคอง เนื่องจาก $\xi(s)$ เป็นมุมระหว่าง \mathbf{x}_u กับเส้นสัมผัสของเมอริเดียน (α') ดังนั้น $\xi = \frac{\pi}{2}$ จากความสัมพันธ์ของเกลโรลของพื้นผิวดิงคอง (4.27) โดยแทนค่า $\xi = \frac{\pi}{2}$ ในสมการ (4.27) จะได้

$$c = (av\sqrt{1-v}) \cos\left(\frac{\pi}{2}\right) = 0 \quad (4.28)$$

โดยทฤษฎีบท 3.1 นั่นคือ ทุกๆ เมอริเดียนเป็นจีโอเดซิก แสดงได้ดังรูปที่ 4.14.



รูปที่ 4.14 ทุกๆ เมอริเดียนบนพื้นผิวแบบดิงคองเป็นจีโอเดซิก โดยค่าคงที่ของเกลโรล $c = 0$

เอกสารนี้เป็นเอกสารที่สงวนไว้สำหรับการใช้งานเพื่อการศึกษาเท่านั้น ไม่อนุญาตให้นำไปใช้ประโยชน์ด้านการค้า
ไม่ว่ากรณีใดๆ ทั้งสิ้น อีกทั้งห้ามมิให้ดัดแปลงเนื้อหา และต้องอ้างอิงถึงเจ้าของเอกสารทุกครั้งที่มีการนำไปใช้

2. บางพาราเลลบนพื้นผิวแบบดิงคองเป็นจีโอเดซิกเมื่อ $c = \frac{2\sqrt{3}}{9}a$ โดยที่ $v_0 = \frac{2}{3}$

กำหนดให้ $\alpha(s) = \mathbf{x}(u(s), v(s))$ เป็นพาราเลลบนพื้นผิวแบบดิงคอง เนื่องจาก $\xi(s)$ เป็นมุมระหว่าง \mathbf{x}_u กับเส้นสัมผัสของเมอร์ริเดียน (α') ดังนั้น $\xi = 0$ จากความสัมพันธ์ของเกลโรลของพื้นผิวแบบดิงคอง (4.27) โดยแทนค่า $\xi = 0$ จะได้

$$c = (av\sqrt{1-v})\cos(0) = av\sqrt{1-v} \quad (4.29)$$

โดยทฤษฎีบท 3.1 นั่นคือ จะมีบางพาราเลลเป็นจีโอเดซิกก็ต่อเมื่อ $f'(v_0) = 0$ และจาก $f(v) = av\sqrt{1-v}$ โดยหาอนุพันธ์ $f(v)$ เทียบกับ v จะได้

$$\begin{aligned} f'(v) &= a \left(\frac{-v}{2\sqrt{1-v}} + \sqrt{1-v} \right) \\ &= a \left(\frac{-v + 2(1-v)}{2\sqrt{1-v}} \right) \\ &= a \left(\frac{-v + 2 - 2v}{2\sqrt{1-v}} \right) \end{aligned}$$

ดังนั้น

$$f'(v) = a \left(\frac{2-3v}{2\sqrt{1-v}} \right) \quad (4.30)$$

จากเงื่อนไข $f'(v_0) = 0$ และสมการ (4.30) จะได้

$$2\sqrt{1-v_0} \neq 0$$

โดยที่ $v_0 \in (-\infty, 1)$ และ

$$a(2-3v_0) = 0 \quad (4.31)$$

$$a = 0 \wedge 2 - 3v_0 = 0$$

พิจารณา $2 - 3v_0 = 0$ จะได้ $v_0 = \frac{2}{3}$ ซึ่งเป็นไปตามเงื่อนไข $v \in (-\infty, 1)$

แทนค่า $v = \frac{2}{3}$ ในสมการ (4.29) จะได้

$$c = a \left(\frac{2}{3} \right) \sqrt{1 - \frac{2}{3}} = a \left(\frac{2}{3} \right) \frac{1}{\sqrt{3}} = \frac{2\sqrt{3}}{9}a$$

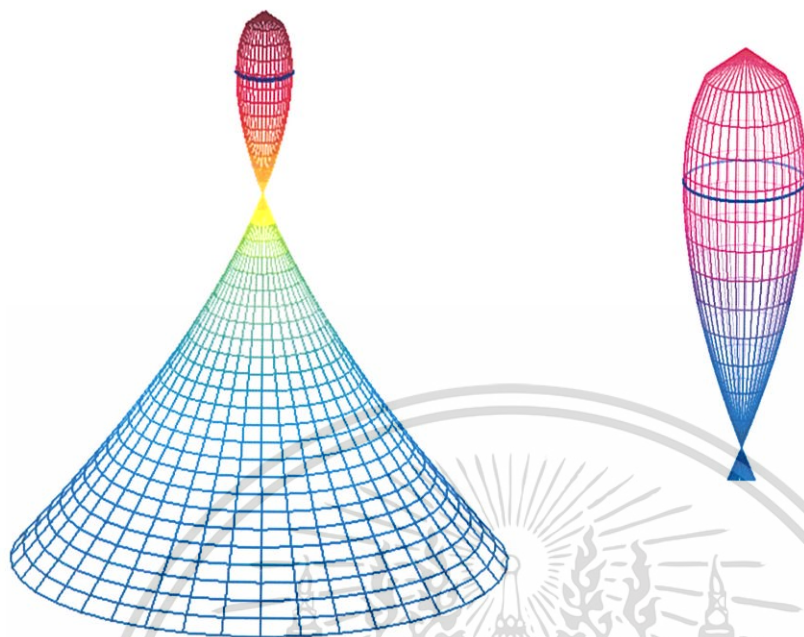
ดังนั้น

$$c = \frac{2\sqrt{3}}{9}a \quad (4.32)$$

เพราะฉะนั้น จะมีบางพาราเลลบนพื้นผิวแบบดิงคองเป็นจีโอเดซิกก็ต่อเมื่อ $f'(v_0) = 0$ โดยที่ $v_0 = \frac{2}{3}$

และค่าคงที่ของเกลโรลจะเป็นไปตาม $c = \frac{2\sqrt{3}}{9}a$ ซึ่งแสดงได้ดังรูปที่ 4.15

เอกสารนี้เป็นเอกสารที่สงวนไว้สำหรับการใช้งานเพื่อการศึกษาเท่านั้น ไม่อนุญาตให้นำไปใช้ประโยชน์ด้านการค้า ไม่ว่าจะกรณีใดๆ ทั้งสิ้น อีกทั้งห้ามมิให้ดัดแปลงเนื้อหา และต้องอ้างอิงถึงเจ้าของเอกสารทุกครั้งที่มีการนำไปใช้



รูปที่ 4.15. บางพาราเลลบนพื้นผิวแบบดิงดองเป็นจีโอเดซิกก็ต่อเมื่อ $f'(v_0) = 0$ โดยที่ $v_0 = \frac{2}{3}$ และค่าคงที่ของเกลโรลจะเป็นไปตาม $c = \frac{2\sqrt{3}}{9}a$

3. บางจีโอเดซิกบนพื้นผิวแบบดิงดองที่มีลักษณะไม่ตั้งฉากกับเมอริเดียน เมื่อ $|c| \leq |a|$

สำหรับกรณีอื่นๆ โดยจีโอเดซิกบนพื้นผิวแบบดิงดองมีลักษณะไม่ตั้งฉากกับเมอริเดียน เพราะฉะนั้นจีโอเดซิกบนพื้นผิวแบบดิงดองจะเป็นไปตามความสัมพันธ์ของเกลโรลของพื้นผิวแบบดิงดอง (4.27) นั่นคือ

$$c = (av\sqrt{1-v}) \cos \xi(s)$$

ยกกำลังทั้งสองข้างของสมการ จะได้

$$\begin{aligned} c^2 &= (av\sqrt{1-v})^2 \cos^2 \xi(s) \\ &\leq (av\sqrt{1-v})^2 \\ &= a^2 v^2 (1-v) \end{aligned}$$

เนื่องจาก $v \in (-\infty, 1)$ ดังนั้นในพจน์ v^2 และ $1-v$ มีค่าเป็นบวกเสมอ ดังนั้น

$$c^2 < a^2$$

เอกสารนี้เป็นเอกสารที่สงวนไว้สำหรับการใช้งานเพื่อการศึกษาเท่านั้น ไม่อนุญาตให้นำไปใช้ประโยชน์ด้านการค้า ไม่ว่ากรณีใดๆ ทั้งสิ้น อีกทั้งห้ามมิให้ดัดแปลงเนื้อหา และต้องอ้างอิงถึงเจ้าของเอกสารทุกครั้งที่มีการนำไปใช้

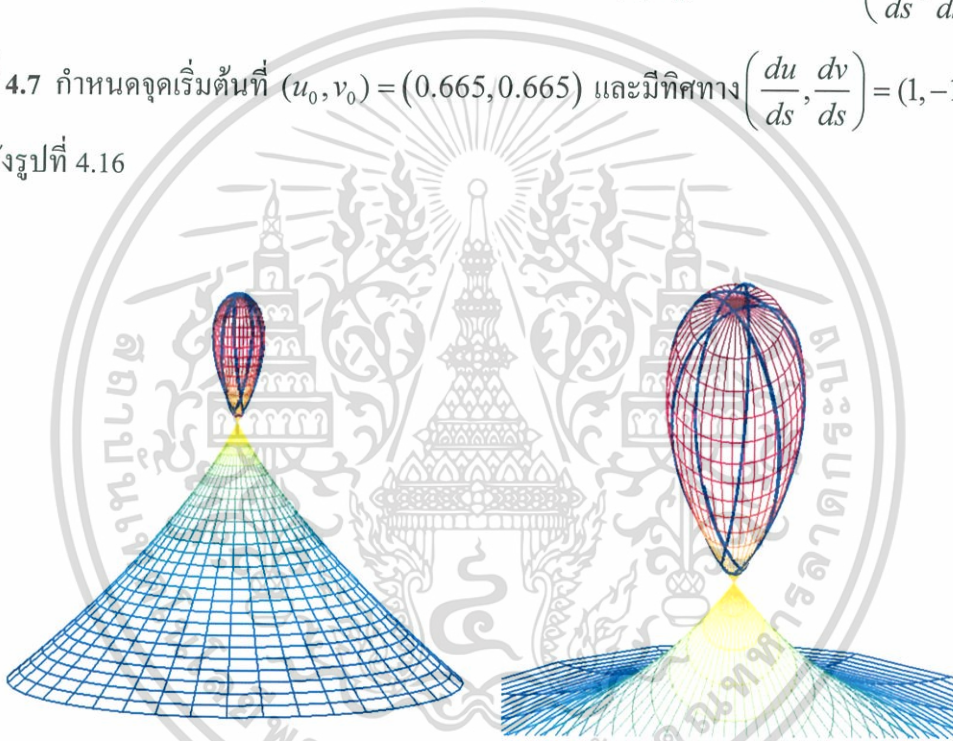
เพราะฉะนั้น

$$|c| < |a| \quad (4.33)$$

ดังนั้น จะมีบางจีโอเดซิกบนพื้นผิวแบบคิงคองที่มีลักษณะไม่ตั้งฉากกับเมอร์เดียนเป็นไปตามความสัมพันธ์ของแกลโรล นั่นคือ $|c| < |a|$ ต่อไปนี้จะแสดงตัวอย่างของบางจีโอเดซิกบนพื้นผิวแบบคิงคองที่มีลักษณะไม่ตั้งฉากกับเมอร์เดียน ใช้โปรแกรมสำเร็จรูปทางคณิตศาสตร์ (MATLAB) ในการแสดงจีโอเดซิกบนพื้นผิวแบบคิงคองโดยกำหนดให้จุดเริ่มต้นที่ (u_0, v_0) และมีทิศทาง $\left(\frac{du}{ds}, \frac{dv}{ds}\right)$

ตัวอย่างที่ 4.7 กำหนดจุดเริ่มต้นที่ $(u_0, v_0) = (0.665, 0.665)$ และมีทิศทาง $\left(\frac{du}{ds}, \frac{dv}{ds}\right) = (1, -1)$

แสดงได้ดังรูปที่ 4.16

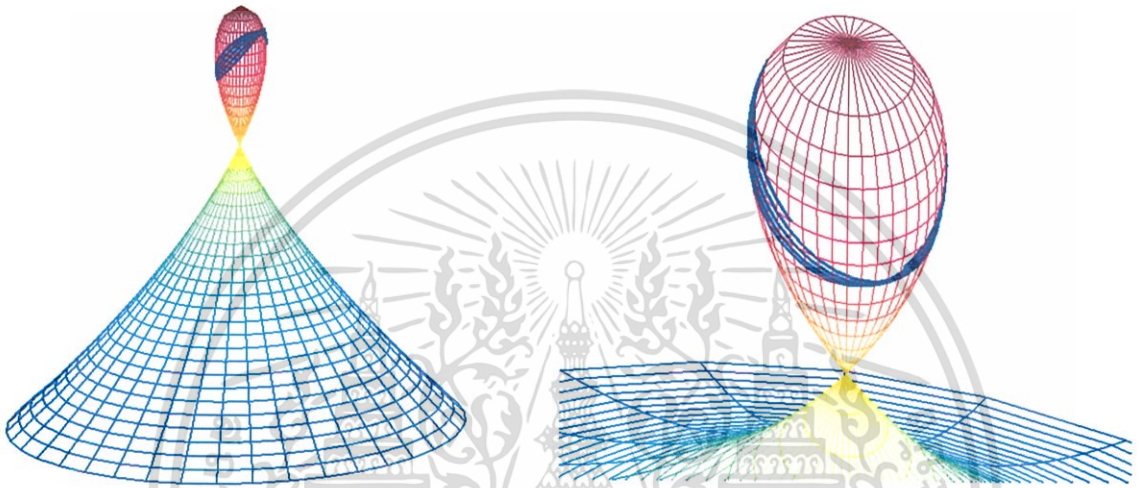


รูปที่ 4.16 จีโอเดซิกบนพื้นผิวแบบคิงคองที่ไม่ตั้งฉากกับเมอร์เดียน โดยมีจุดเริ่มต้นที่

$$(u_0, v_0) = (0.665, 0.665) \text{ และมีทิศทาง } \left(\frac{du}{ds}, \frac{dv}{ds}\right) = (1, -1)$$

เอกสารนี้เป็นเอกสารที่สงวนไว้สำหรับการใช้งานเพื่อการศึกษาเท่านั้น ไม่อนุญาตให้นำไปใช้ประโยชน์ด้านการค้า
ไม่ว่ากรณีใดๆ ทั้งสิ้น อีกทั้งห้ามมิให้ดัดแปลงเนื้อหา และต้องอ้างอิงถึงเจ้าของเอกสารทุกครั้งที่มีการนำไปใช้

ตัวอย่างที่ 4.8 กำหนดจุดเริ่มต้นที่ $(u_0, v_0) = (1, 0.5)$ และมีทิศทาง $\left(\frac{du}{ds}, \frac{dv}{ds}\right) = (1, 0.1)$ แสดงได้ดังรูปที่ 4.17



รูปที่ 4.17 จีออเดซิกบนพื้นผิวแบบดิงคองที่ไม่ตั้งฉากกับเมอริเดียน โดยมีจุดเริ่มต้นที่ $(u_0, v_0) = (1, 0.5)$ และมีทิศทาง $\left(\frac{du}{ds}, \frac{dv}{ds}\right) = (1, 0.1)$

เอกสารนี้เป็นเอกสารที่สงวนไว้สำหรับการใช้งานเพื่อการศึกษาเท่านั้น ไม่อนุญาตให้นำไปใช้ประโยชน์ด้านการค้า ไม่ว่ากรณีใดๆ ทั้งสิ้น อีกทั้งห้ามมิให้ดัดแปลงเนื้อหา และต้องอ้างอิงถึงเจ้าของเอกสารทุกครั้งที่มีการนำไปใช้

4.1.7. การพิจารณาลักษณะของบางจีโอเดซิกบนพื้นผิวแบบคิสโดยใช้ความสัมพันธ์ของแกลโรล

พื้นผิวแบบคิสมีภาวะอิงพารามิเตอร์ คือ

$$\mathbf{x}(u, v) = \left(av^2 \sqrt{\frac{1-v}{2}} \cos u, av^2 \sqrt{\frac{1-v}{2}} \sin u, av \right)$$

เมื่อ $f(v) = av^2 \sqrt{\frac{1-v}{2}}$, $g(v) = av$ โดยที่ $v \in (-\infty, 1)$, $u \in [0, 2\pi)$ และ a เป็นค่าคงที่ใดๆ

จากสมการ (2.68) ดังนั้น ความสัมพันธ์ของแกลโรลของพื้นผิวแบบคิสจะเป็นไปตาม

$$\left(av^2 \sqrt{\frac{1-v}{2}} \right) \cos \xi(s) = c \quad (4.34)$$

ต่อไปจะพิจารณาความสัมพันธ์ของแกลโรลบนพื้นผิวแบบคิส โดยแบ่งเป็น 3 ประเภท ได้แก่

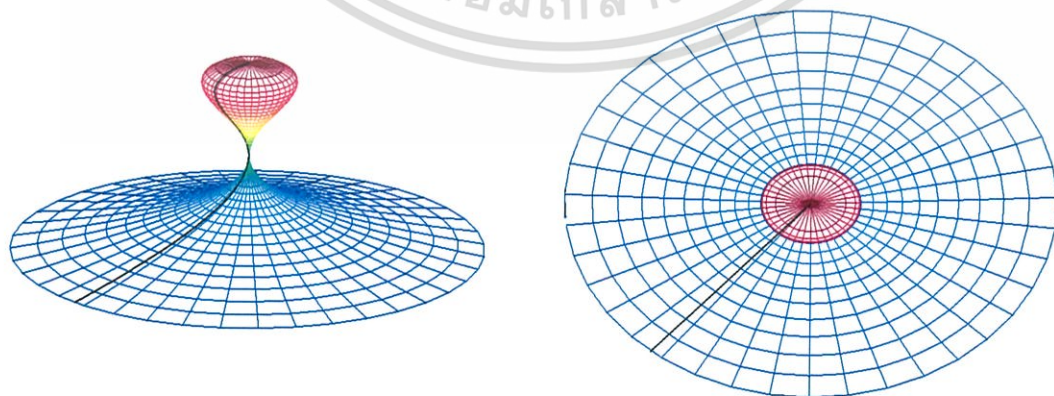
1. ทุกๆ เมอริเดียนบนพื้นผิวแบบคิสเป็นจีโอเดซิก เมื่อ $c = 0$

กำหนดให้ $\alpha(s) = \mathbf{x}(u(s), v(s))$ เป็นเมอริเดียนบนพื้นผิวแบบคิส เนื่องจาก $\xi(s)$ เป็นมุมระหว่าง \mathbf{x}_u กับเส้นสัมผัสของเมอริเดียน (α') ดังนั้น $\xi = \frac{\pi}{2}$ จากความสัมพันธ์ของแกลโรลของพื้นผิวแบบคิส (4.34) โดยแทนค่า $\xi = \frac{\pi}{2}$ จะได้

$$c = \left(av^2 \sqrt{\frac{1-v}{2}} \right) \cos \frac{\pi}{2} = 0 \quad (4.35)$$

โดยทฤษฎีบท 3.1 นั่นคือ ทุกๆ เมอริเดียนเป็นจีโอเดซิก

ดังนั้น ทุกๆ เมอริเดียนบนพื้นผิวแบบคิสเป็นจีโอเดซิก โดยค่าคงที่ของแกลโรล $c = 0$ แสดงได้ดังรูปที่ 4.18



รูปที่ 4.18 ทุกๆ เมอริเดียนบนพื้นผิวแบบคิสเป็นจีโอเดซิก โดยค่าคงที่ของแกลโรล $c = 0$

เอกสารนี้เป็นเอกสารที่สงวนไว้สำหรับการใช้งานเพื่อการศึกษาเท่านั้น ไม่อนุญาตให้นำไปใช้ประโยชน์ด้านการค้า ไม่ว่าจะกรณีใดๆ ทั้งสิ้น อีกทั้งห้ามมิให้ดัดแปลงเนื้อหา และต้องอ้างอิงถึงเจ้าของเอกสารทุกครั้งที่มีการนำไปใช้

2. บางพาราเลลบนพื้นผิวแบบคิสเป็นจีโอเดซิกเมื่อ $c = \frac{2\sqrt{3}}{9}a$ โดยที่ $v_0 = \frac{4}{5}$

กำหนดให้ $\alpha(s) = \mathbf{x}(u(s), v(s))$ เป็นพาราเลลบนพื้นผิวแบบคิส เนื่องจาก $\xi(s)$ เป็นมุมระหว่าง \mathbf{x}_u กับเส้นสัมผัสของเมริเดียน (α') ดังนั้น $\xi = 0$ จากความสัมพันธ์ของเกลโรลของพื้นผิวแบบคิส (4.34) โดยแทนค่า $\xi = 0$ จะได้

$$c = \left(av^2 \sqrt{\frac{1-v}{2}} \right) \cos 0 = av^2 \sqrt{\frac{1-v}{2}} \quad (4.36)$$

โดย ทฤษฎีบท 3.1 นั่นคือ จะมีบางพาราเลลเป็นจีโอเดซิกก็ต่อเมื่อ $f'(v_0) = 0$ และจาก

$f(v) = av^2 \sqrt{\frac{1-v}{2}}$ โดยหาอนุพันธ์ $f(v)$ เทียบกับ v จะได้

$$\begin{aligned} f'(v) &= a \left(\frac{-\frac{v^2}{2}}{2\sqrt{\frac{1-v}{2}}} + 2v\sqrt{\frac{1-v}{2}} \right) \\ &= a \left(\frac{-v^2}{4\sqrt{\frac{1-v}{2}}} + 2v\sqrt{\frac{1-v}{2}} \right) \\ &= a \left(\frac{-v^2 + 8v\left(\frac{1-v}{2}\right)}{4\sqrt{\frac{1-v}{2}}} \right) \\ &= a \left(\frac{-v^2 + 4v(1-v)}{4\sqrt{\frac{1-v}{2}}} \right) \end{aligned}$$

ดังนั้น

$$f'(v) = a \left(\frac{-5v^2 + 4v}{4\sqrt{\frac{1-v}{2}}} \right) \quad (4.37)$$

จากเงื่อนไข $f'(v_0) = 0$ และสมการ (4.37) จะได้

$$4\sqrt{\frac{1-v_0}{2}} \neq 0$$

เอกสารนี้เป็นเอกสารที่สงวนไว้สำหรับการใช้งานเพื่อการศึกษาเท่านั้น ไม่อนุญาตให้นำไปใช้ประโยชน์ด้านการค้า ไม่ว่าจะกรณีใดๆ ทั้งสิ้น อีกทั้งห้ามมิให้ดัดแปลงเนื้อหา และต้องอ้างอิงถึงเจ้าของเอกสารทุกครั้งที่มีการนำไปใช้

โดยที่ $v_0 \in (-\infty, 1)$ และ

$$a(-5v_0^2 + 4v_0) = 0 \quad (4.38)$$

$$a = 0 \wedge -5v_0^2 + 4v_0 = 0$$

พิจารณา $-5v_0^2 + 4v_0 = 0$ โดยการแยกตัวประกอบจะได้

$$v_0(-5v_0 + 4) = 0$$

ดังนั้น $v_0 = 0$ หรือ $v_0 = \frac{4}{5}$ ซึ่งเป็นไปตามเงื่อนไข $v \in (-\infty, 1)$

แทนค่า $v_0 = \frac{4}{5}$ สมการ (4.36) จะได้

$$c = a \left(\frac{4}{5}\right)^2 \sqrt{\frac{1 - \left(\frac{4}{5}\right)}{2}}$$

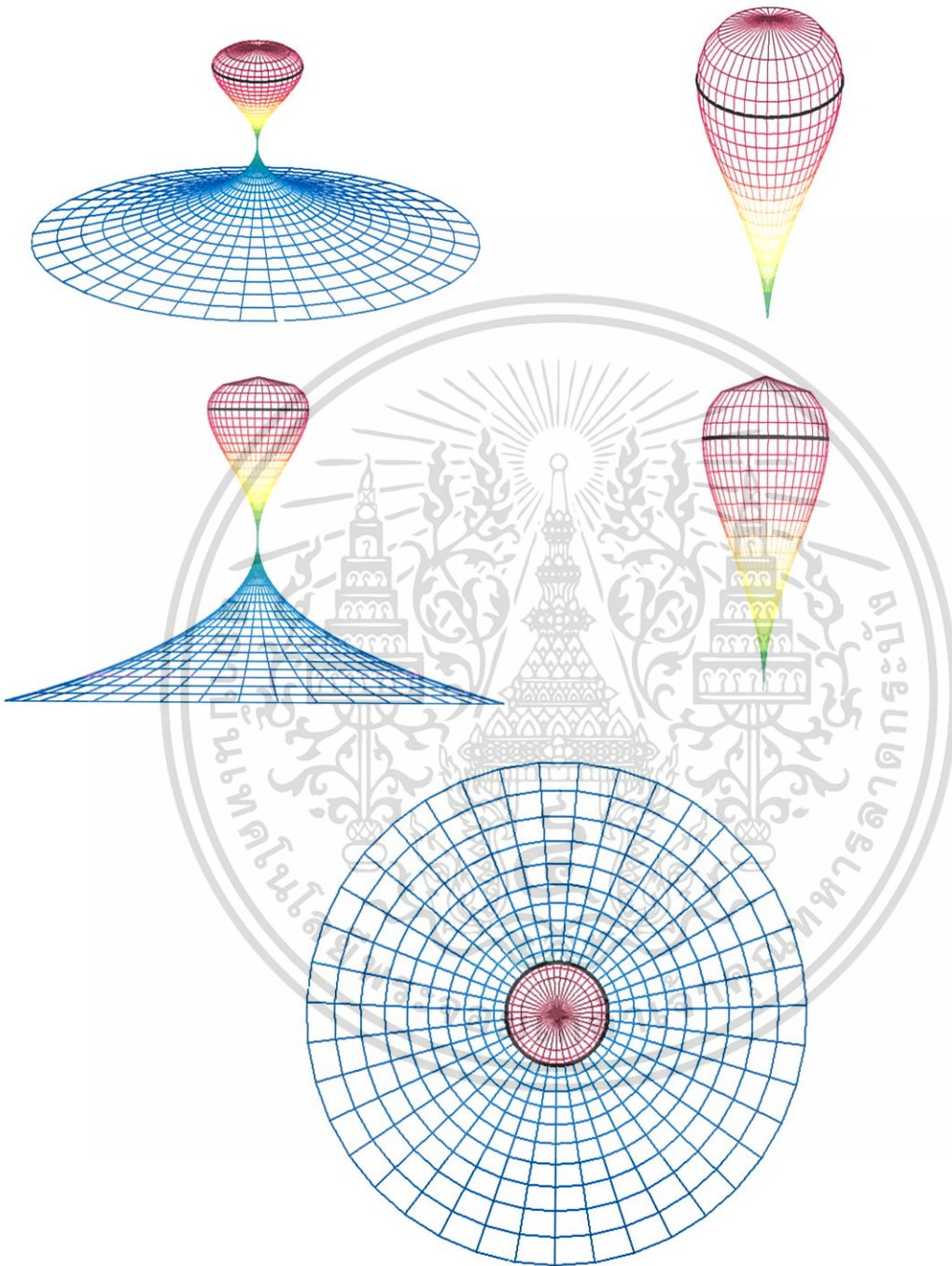
$$c = 0.4a$$

ดังนั้น

(4.39)

เพราะฉะนั้น จะมีบางพาราเลลบนพื้นผิวแบบคิสเป็นจีโอเดซิกก็ต่อเมื่อ $f'(v_0) = 0$ โดยที่ $v_0 = \frac{4}{5}$ และ

ค่าคงที่ของแกลโรลจะเป็นไปตาม $c = 0.4a$ ซึ่งแสดงได้ดังรูปที่ 4.19



รูปที่ 4.19 บางพาราเลลบนพื้นผิวแบบคิสเป็นจีโอเดซิกก็ต่อเมื่อ $f'(v_0) = 0$ โดยที่ $v_0 = \frac{4}{5}$ และ

ค่าคงที่ของแกลโรลจะเป็นไปตาม $c = 0.4a$

เอกสารนี้เป็นเอกสารที่สงวนไว้สำหรับการใช้งานเพื่อการศึกษาเท่านั้น ไม่อนุญาตให้นำไปใช้ประโยชน์ด้านการค้า
ไม่ว่ากรณีใดๆ ทั้งสิ้น อีกทั้งห้ามมิให้ดัดแปลงเนื้อหา และต้องอ้างอิงถึงเจ้าของเอกสารทุกครั้งที่มีการนำไปใช้

3. บางจีโอเดซิกบนพื้นผิวแบบคิสที่มีลักษณะไม่ตั้งฉากกับเมอร์เดียน เมื่อ $|c| < |a|$

สำหรับกรณีอื่นๆ โดยจีโอเดซิกบนแบบคิสที่มีลักษณะไม่ตั้งฉากกับเมอร์เดียน จะเป็นไปตามความสัมพันธ์ของเกลโรลของพื้นผิวแบบคิส (4.34) นั่นคือ

$$\left(av^2 \sqrt{\frac{1-v}{2}} \right) \cos \xi(s) = c$$

ยกกำลังทั้งสองข้างของสมการ จะได้

$$c^2 = \left(av^2 \sqrt{\frac{1-v}{2}} \right)^2 \cos^2 \xi(s)$$

$$\leq a^2 v^4 \left(\frac{1-v}{2} \right)$$

เนื่องจาก $v \in (-\infty, 1)$ ดังนั้นในพจน์ v^4 และ $\frac{1-v}{2}$ มีค่าเป็นบวกเสมอ ดังนั้น

$$c^2 \leq a^2$$

นั่นคือ

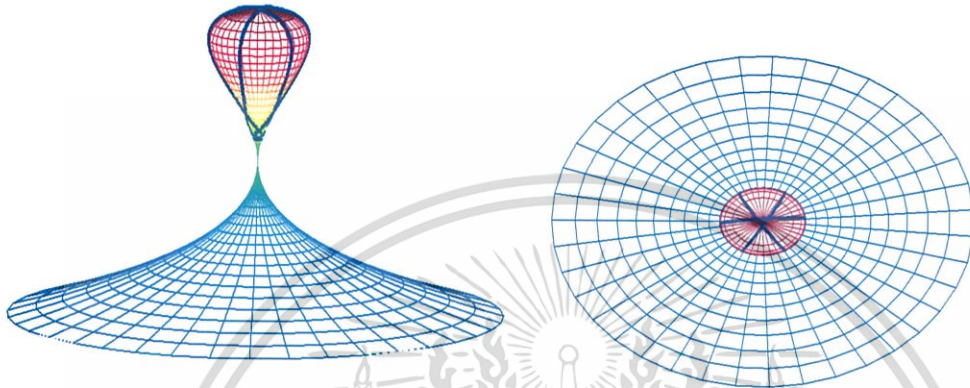
$$|c| < |a|$$

(4.40)

เพราะฉะนั้น บางจีโอเดซิกบนพื้นผิวแบบคิสที่มีลักษณะไม่ตั้งฉากกับเมอร์เดียนจะเป็นตามความสัมพันธ์ของเกลโรล คือ $|c| < |a|$

ดังนั้น จะมีบางจีโอเดซิกบนพื้นผิวแบบคิสที่มีลักษณะไม่ตั้งฉากกับเมอร์เดียนเป็นไปตามความสัมพันธ์ของเกลโรล นั่นคือ $|c| < |a|$ ต่อไปนี้จะแสดงตัวอย่างของบางจีโอเดซิกบนพื้นผิวแบบคิสที่มีลักษณะไม่ตั้งฉากกับเมอร์เดียน ใช้โปรแกรมสำเร็จรูปทางคณิตศาสตร์ (MATLAB) ในการแสดงจีโอเดซิกบนแบบคิสโดยกำหนดให้จุดเริ่มต้นที่ (u_0, v_0) และมีทิศทาง $\left(\frac{du}{ds}, \frac{dv}{ds} \right)$

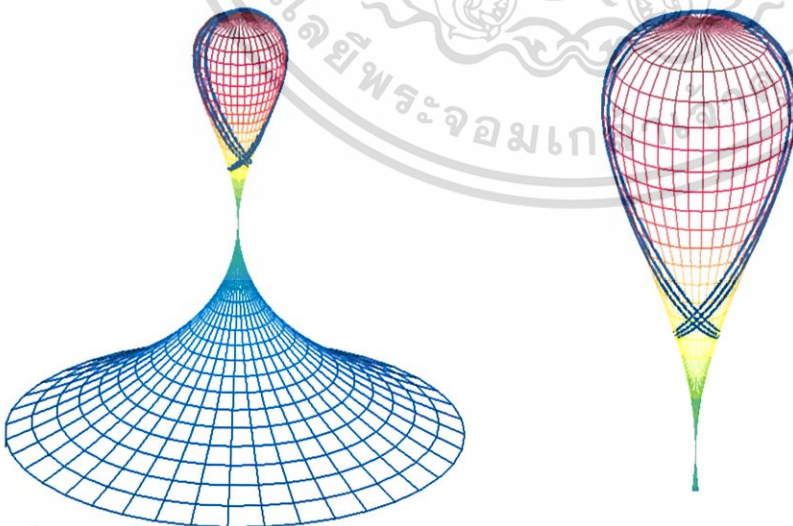
ตัวอย่างที่ 4.9 กำหนดจุดเริ่มต้นที่ $(u_0, v_0) = (0.5, 0.5)$ และมีทิศทาง $\left(\frac{du}{ds}, \frac{dv}{ds}\right) = (0.5, -1)$ แสดง
ได้ดังรูปที่ 4.20



รูปที่ 4.20 จีออเดซิกบนพื้นผิวแบบคิสที่ไม่ตั้งฉากกับเมอริเดียน โดยมีจุดเริ่มต้นที่

$$(u_0, v_0) = (0.5, 0.5) \text{ และมีทิศทาง } \left(\frac{du}{ds}, \frac{dv}{ds}\right) = (0.5, -1)$$

ตัวอย่างที่ 4.10 กำหนดจุดเริ่มต้นที่ $(u_0, v_0) = (0.8, 0.8)$ และมีทิศทาง $\left(\frac{du}{ds}, \frac{dv}{ds}\right) = (0.1, 0.1)$ แสดง
ได้ดังรูปที่ 4.21

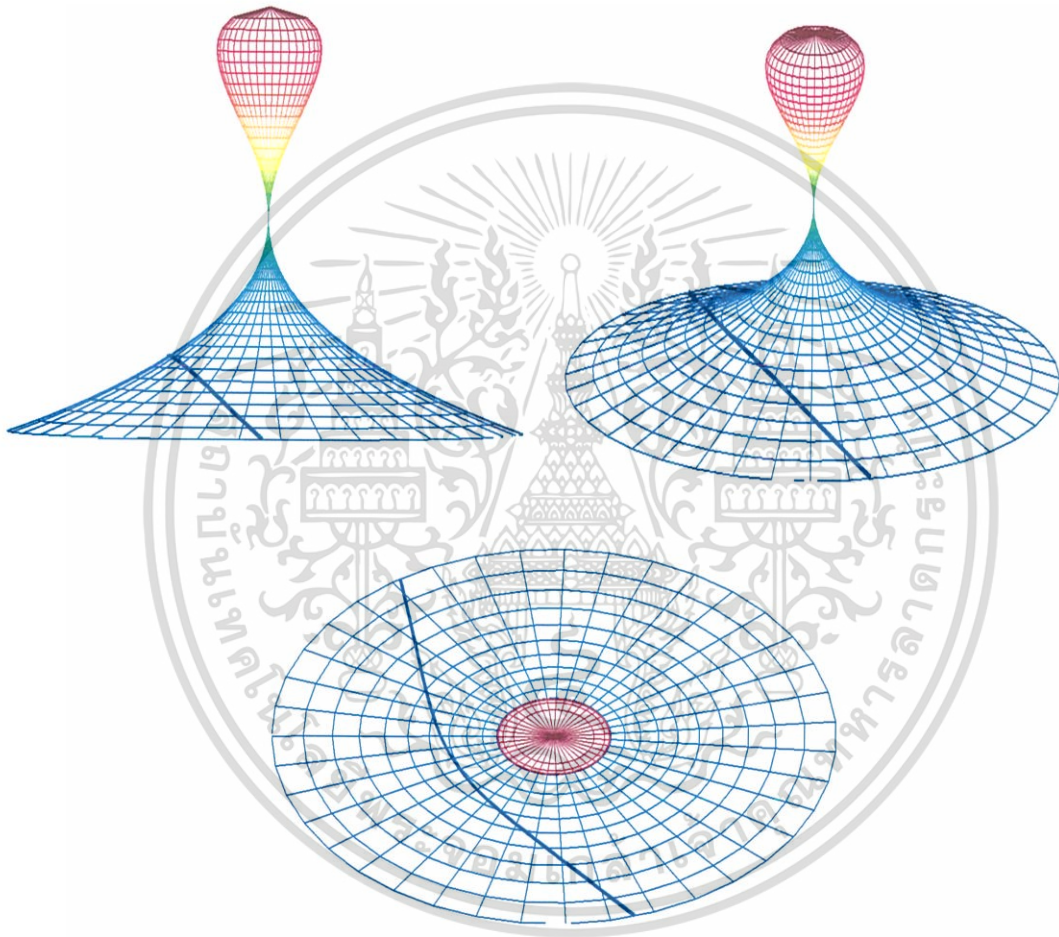


รูปที่ 4.21 จีออเดซิกบนพื้นผิวแบบคิสที่ไม่ตั้งฉากกับเมอริเดียน โดยมีจุดเริ่มต้นที่

$$(u_0, v_0) = (0.8, 0.8) \text{ และมีทิศทาง } \left(\frac{du}{ds}, \frac{dv}{ds}\right) = (0.1, 0.1)$$

เอกสารนี้เป็นเอกสารที่สงวนไว้สำหรับการใช้งานเพื่อการศึกษาเท่านั้น ไม่อนุญาตให้นำไปใช้ประโยชน์ด้านการค้า
ไม่ว่ากรณีใดๆ ทั้งสิ้น อีกทั้งห้ามมิให้ดัดแปลงเนื้อหา และต้องอ้างอิงถึงเจ้าของเอกสารทุกครั้งที่มีการนำไปใช้

ตัวอย่างที่ 4.11 กำหนดจุดเริ่มต้นที่ $(u_0, v_0) = (1, 0.5)$ และมีทิศทาง $\left(\frac{du}{ds}, \frac{dv}{ds}\right) = (-0.1, -0.1)$ แสดง
ได้ดังรูปที่ 4.22



รูปที่ 4.22 จีออเดซิกบนพื้นผิวแบบคิสที่ไม่ตั้งฉากกับเมอร์เดียน

โดยมีจุดเริ่มต้นที่ $(u_0, v_0) = (1, 0.5)$ และมีทิศทาง $\left(\frac{du}{ds}, \frac{dv}{ds}\right) = (-0.1, -0.1)$

เอกสารนี้เป็นเอกสารที่สงวนไว้สำหรับการใช้งานเพื่อการศึกษาเท่านั้น ไม่อนุญาตให้นำไปใช้ประโยชน์ด้านการค้า
ไม่ว่ากรณีใดๆ ทั้งสิ้น อีกทั้งห้ามมิให้ดัดแปลงเนื้อหา และต้องอ้างอิงถึงเจ้าของเอกสารทุกครั้งที่มีการนำไปใช้

4.1.8. การพิจารณาลักษณะของบางจีโอเดซิกบนทรงห่วงยางแบบฮอว์นโดยใช้ความสัมพันธ์ของแกลโรล

ทรงห่วงยางแบบฮอว์นมีภาวะอิงพารามิเตอร์ คือ

$$\mathbf{x}(u, v) = (a(1 + \cos v) \cos u, a(1 + \cos v) \sin u, a \sin v)$$

เมื่อ $f(v) = a(1 + \cos v)$, $g(v) = a \sin v$ โดยที่ $v, u \in [0, 2\pi)$ และ $a > 0$

จากสมการ (2.68) ดังนั้น ความสัมพันธ์ของแกลโรลของทรงห่วงยางแบบฮอว์นจะเป็นไปตาม

$$a(1 + \cos v) \cos \xi(s) = c \quad (4.41)$$

ต่อไปจะพิจารณาความสัมพันธ์ของแกลโรลบนทรงห่วงยางแบบฮอว์น โดยแบ่งเป็น 3 ประเภท ได้แก่

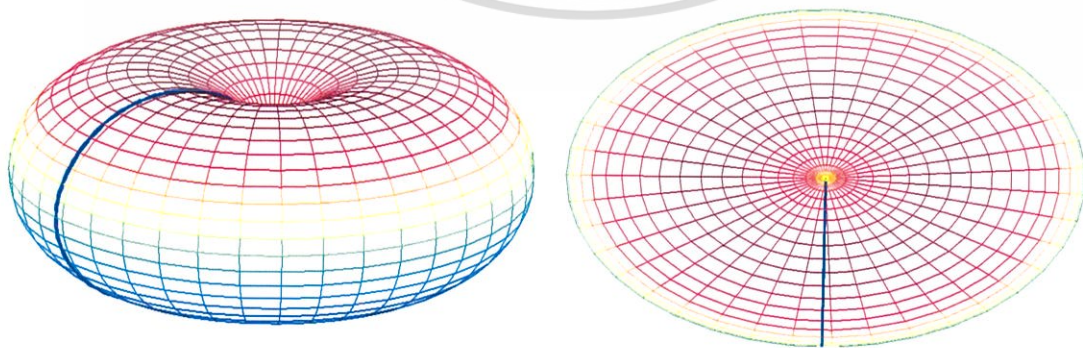
1. ทุกๆ เมอริเดียนบนทรงห่วงยางแบบฮอว์นเป็นจีโอเดซิก เมื่อ $c = 0$

กำหนดให้ $\alpha(s) = \mathbf{x}(u(s), v(s))$ เป็นเมอริเดียนบนทรงห่วงยางแบบฮอว์น เนื่องจาก $\xi(s)$ เป็นมุมระหว่าง \mathbf{x}_u กับเส้นสัมผัสของเมอริเดียน (α') ดังนั้น $\xi = \frac{\pi}{2}$ จากความสัมพันธ์ของแกลโรลของทรงห่วงยางแบบฮอว์น(4.41) โดยแทนค่า $\xi = \frac{\pi}{2}$ จะได้

$$c = a(1 + \cos v) \cos\left(\frac{\pi}{2}\right) = 0 \quad (4.42)$$

โดยทฤษฎีบท 3.1 นั่นคือ ทุกๆ เมอริเดียนเป็นจีโอเดซิก

ดังนั้น ทุกๆ เมอริเดียนบนทรงห่วงยางแบบฮอว์นเป็นจีโอเดซิก โดยค่าคงที่ของแกลโรล $c = 0$ ได้ดังรูปที่ 4.23.



รูปที่ 4.23 ทุกๆ เมอริเดียนบนทรงห่วงยางแบบฮอว์นเป็นจีโอเดซิก โดยค่าคงที่ของแกลโรล $c = 0$

เอกสารนี้เป็นเอกสารที่สงวนไว้สำหรับการใช้งานเพื่อการศึกษาเท่านั้น ไม่อนุญาตให้นำไปใช้ประโยชน์ด้านการค้า ไม่ว่ากรณีใดๆ ทั้งสิ้น อีกทั้งห้ามมิให้ดัดแปลงเนื้อหา และต้องอ้างอิงถึงเจ้าของเอกสารทุกครั้งที่มีการนำไปใช้

2. บางพาราเลลบนทรงห้วงยางแบบฮอว์นเป็นจืออเดซิกเมื่อ $c = 2a$ โดยที่ $v_0 = 0, 2\pi$

กำหนดให้ $\alpha(s) = \mathbf{x}(u(s), v(s))$ เป็นพาราเลลบนทรงห้วงยางแบบฮอว์น เนื่องจาก $\xi(s)$ เป็นมุมระหว่าง \mathbf{x}_u กับเส้นสัมผัสของเมอริเดียน (α') ดังนั้น $\xi = 0$ จากความสัมพันธ์ของเกลโรลของทรงห้วงยางแบบฮอว์น (4.41) โดยแทนค่า $\xi = 0$ จะได้

$$c = a(1 + \cos v)\cos(0) = a(1 + \cos v) \quad (4.43)$$

โดยทฤษฎีบท 3.1 นั่นคือ จะมีบางพาราเลลเป็นจืออเดซิกก็ต่อเมื่อ $f'(v_0) = 0$ และจาก $f(v) = a(1 + \cos v)$ โดยหาอนุพันธ์ $f(v)$ เทียบกับ v จะได้

$$f'(v) = -a \sin v \quad (4.44)$$

จากเงื่อนไข $f'(v_0) = 0$ และสมการ (4) จะได้

$$f(v_0) = a \sin v_0 = 0$$

เมื่อ $v_0 = 0, \pi, 2\pi, \dots, n\pi \quad \forall n \in \mathbb{Z}$ แต่ $v \in [0, 2\pi]$

ดังนั้น

$$v_0 = 0, \pi, 2\pi \quad (4.45)$$

แทนค่า $v_0 = 0, \pi, 2\pi$ สมการ (4.44) จะได้

$$c = a(1 + \cos(0)) = 2a,$$

$$c = a(1 + \cos(\pi)) = 0,$$

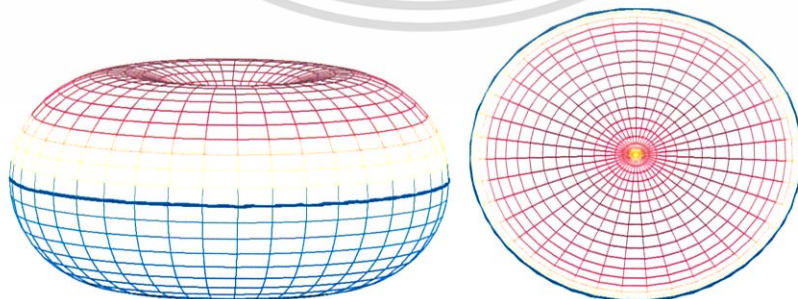
$$c = a(1 + \cos(2\pi)) = 2a$$

แต่ในกรณีแรกได้พิจารณา $c = 0$ ดังนั้นสำหรับในกรณีนี้จะได้

$$c = 2a \quad (4.46)$$

เมื่อ $v_0 = 0, 2\pi$

เพราะฉะนั้น จะมีบางพาราเลลบนทรงห้วงยางแบบฮอว์นเป็นจืออเดซิกก็ต่อเมื่อ $f'(v_0) = 0$ โดยที่ $v_0 = 0, 2\pi$ และค่าคงที่ของเกลโรลจะเป็นไปตาม $c = 2a$ ซึ่งแสดงได้ดังรูปที่ 4.21



รูปที่ 4.21. บางพาราเลลบนทรงห้วงยางแบบฮอว์นเป็นจืออเดซิกก็ต่อเมื่อ $f'(v_0) = 0$ โดยที่ $v_0 = 0, 2\pi$ และค่าคงที่ของเกลโรลจะเป็นไปตาม $c = 2a$

3. บางจีโอเดซิกบนทรงห้วงยางแบบฮอว์นที่มีลักษณะไม่ตั้งฉากกับเมอร์เดียน เมื่อ $|c| < 2|a|$

สำหรับกรณีอื่นๆ โดยจีโอเดซิกบนทรงห้วงยางแบบฮอว์น มีลักษณะไม่ตั้งฉากกับเมอร์เดียน เพราะฉะนั้นจีโอเดซิกบนทรงห้วงยางแบบฮอว์น จะเป็นไปตามความสัมพันธ์ของเกลโรลของทรงห้วงยางแบบฮอว์น (4.41) นั่นคือ

$$c = a(1 + \cos v)\cos \xi(s)$$

ยกกำลังทั้งสองข้างของสมการ จะได้

$$\begin{aligned} c^2 &= (a(1 + \cos v))^2 \cos^2 \xi(s) \\ &\leq (a(1 + \cos v))^2 \\ &= a^2 (1 + \cos v)^2 \\ &= 4a^2 \frac{(1 + \cos v)^2}{4} \\ &= 4a^2 \left(\cos^2 \frac{v}{2} \right)^2 \\ &\leq 4a^2 \end{aligned}$$

ดังนั้น

แต่ในกรณีไม่พิจารณา $c = 2a$

เพราะฉะนั้น

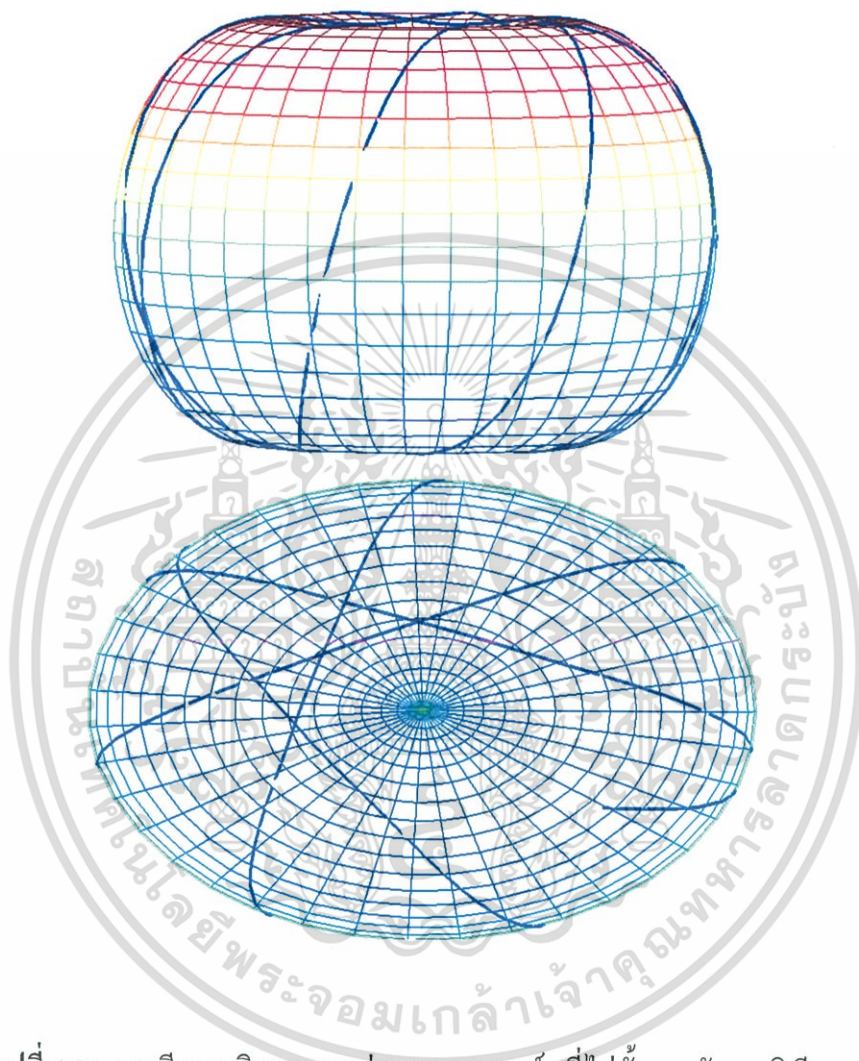
$$|c| \leq 2|a|$$

$$|c| < 2|a|$$

(4.47)

ดังนั้น จะมีบางจีโอเดซิกบนทรงห้วงยางแบบฮอว์น ที่มีลักษณะไม่ตั้งฉากกับเมอร์เดียนเป็นไปตามความสัมพันธ์ของเกลโรล นั่นคือ $|c| < 2|a|$ ต่อไปนี้จะแสดงตัวอย่างของบางจีโอเดซิกบนทรงห้วงยางแบบฮอว์น มีลักษณะไม่ตั้งฉากกับเมอร์เดียน ใช้โปรแกรมสำเร็จรูปทางคณิตศาสตร์ (MATLAB) ในการแสดงจีโอเดซิกบนทรงห้วงยางแบบฮอว์น โดยกำหนดให้จุดเริ่มต้นที่ (u_0, v_0) และมีทิศทาง $\left(\frac{du}{ds}, \frac{dv}{ds} \right)$

ตัวอย่างที่ 4.10 กำหนดจุดเริ่มต้นที่ $(u_0, v_0) = (\pi/2, \pi/2)$ และมีทิศทาง $\left(\frac{du}{ds}, \frac{dv}{ds}\right) = (0.1, 0.1)$
แสดงได้ดังรูปที่ 4.22



รูปที่ 4.22 บางจีโอเดซิกบนทรงห่วยางแบบฮอว์นที่ไม่ตั้งฉากกับเมอร์ริเดียน
โดยมีจุดเริ่มต้นที่ $(u_0, v_0) = (\pi/2, \pi/2)$ และมีทิศทาง $\left(\frac{du}{ds}, \frac{dv}{ds}\right) = (0.1, 0.1)$

เอกสารนี้เป็นเอกสารที่สงวนไว้สำหรับการใช้งานเพื่อการศึกษาเท่านั้น ไม่อนุญาตให้นำไปใช้ประโยชน์ด้านการค้า
ไม่ว่ากรณีใดๆ ทั้งสิ้น อีกทั้งห้ามมิให้ดัดแปลงเนื้อหา และต้องอ้างอิงถึงเจ้าของเอกสารทุกครั้งที่มีการนำไปใช้

4.2 บางจีโอเดซิกบนพื้นผิวของการหมุนโดยพิจารณาจากลักษณะของพื้นผิว

สำหรับในหัวข้อนี้จะแบ่งประเภทของรูปทรงต่างๆ ที่เป็นพื้นผิวของการหมุนออกเป็น 3 ประเภทได้แก่ พื้นผิวของการหมุนแบบเปิด พื้นผิวของการหมุนแบบปิดและพื้นผิวของการหมุนทั้งเปิดและปิดแล้วจะใช้ข้อสรุปจากหัวข้อแรกเพื่อวิเคราะห์จีโอเดซิกที่อยู่บนพื้นผิวของการหมุนทั้งสามประเภท

4.2.1 บางจีโอเดซิกบนพื้นผิวของการหมุนที่มีลักษณะเปิด

พื้นผิวของการหมุน	เมอริเดียนที่เป็นจีโอเดซิก	พาราเลลที่เป็นจีโอเดซิก	จีโอเดซิกที่มีลักษณะไม่ตั้งฉากกับเมอริเดียน
ทรงกระบอก [1]	มี	มี	มี
ทรงกรวย [1]	มี	ไม่มี	มี
พื้นผิวคล้ายทรงกรวย	มี	ไม่มี	มี
ทรงพาราโบลา	มี	ไม่มี	มี
ทรงไฮเพอร์โบลา	มี	มี	มี
ทรงไฮเพอร์โบลาสองชั้น	มี	ไม่มี	มี
แคทินอยด์	มี	มี	มี

ตารางที่ 4.1 การแบ่งประเภทของพื้นผิวของการหมุนที่มีลักษณะเปิด

จากตารางที่ 4.1 จะเห็นได้ว่าทุกๆ พื้นผิวของการหมุนที่มีลักษณะเปิดมีเมอริเดียนที่เป็นจีโอเดซิกและมีจีโอเดซิกที่มีลักษณะไม่ตั้งฉากกับเมอริเดียน แต่พื้นผิวของการหมุนที่มีลักษณะเปิดที่มีเส้นสัมผัสของเส้นโค้งก่อกำเนิด ณ จุดตัดกับพาราเลลที่ไม่ขนานกับแกนการหมุนจะไม่มีพาราเลลที่เป็นจีโอเดซิก ได้แก่ ทรงกรวย [1] พื้นผิวคล้ายทรงกรวย ทรงพาราโบลา ทรงไฮเพอร์โบลาสองชั้น โดยมี 3 รูปทรงที่มีจุดตัดกับแกนการหมุน นั่นคือ ทรงกรวย [1] ทรงพาราโบลา ทรงไฮเพอร์โบลาสองชั้น

4.2.2 บางจีโอเดซิกบนพื้นผิวของการหมุนที่มีลักษณะปิด

พื้นผิวของการหมุน	เมอริเดียนที่เป็นจีโอเดซิก	พาราเลลที่เป็นจีโอเดซิก	จีโอเดซิกที่มีลักษณะไม่ตั้งฉากกับเมอริเดียน
ทรงกลม [1]	มี	มี	มี
ทรงห้วขาง [9]	มี	มี	มี
ทรงห้วขางแบบฮอรั่น	มี	มี	มี

ตารางที่ 4.2 การแบ่งประเภทของพื้นผิวของการหมุนที่มีลักษณะปิด

จากตารางที่ 4.2 จะเห็นได้ว่าทุกๆ พื้นผิวของการหมุนที่มีลักษณะปิดมีจีโอเดซิกทั้งสามลักษณะ นั่นคือ ทุกๆ เมอริเดียนที่เป็นจีโอเดซิก มีพาราเลลที่เป็นจีโอเดซิก นั่นคือ มีเส้นสัมผัสของเส้นโค้งก่อกำเนิด ณ จุดตัดกับพาราเลลที่ขนานกับแกนการหมุนและพื้นผิวของการหมุนที่มีลักษณะปิดมีจีโอเดซิกที่มีลักษณะไม่ตั้งฉากกับเมอริเดียน

4.2.3 บางจีโอเดซิกบนพื้นผิวของการหมุนที่มีลักษณะทั้งปิดและเปิด

พื้นผิวของการหมุน	เมอริเดียนที่เป็นจีโอเดซิก	พาราเลลที่เป็นจีโอเดซิก	จีโอเดซิกที่มีลักษณะไม่ตั้งฉากกับเมอริเดียน
พื้นผิวแบบดิงดง	มี	มี	มี
พื้นผิวแบบคิส	มี	มี	มี

ตารางที่ 4.3 การแบ่งประเภทของพื้นผิวของการหมุนที่มีลักษณะทั้งปิดและเปิด

จากตารางที่ 4.3 จะเห็นได้ว่าทุกๆ พื้นผิวของการหมุนที่มีลักษณะทั้งปิดและเปิดมีจีโอเดซิกทั้งสามลักษณะ นั่นคือทุกๆ เมอริเดียนที่เป็นจีโอเดซิก มีพาราเลลที่เป็นจีโอเดซิก นั่นคือ มีเส้นสัมผัสของเส้นโค้งก่อกำเนิด ณ จุดตัดกับพาราเลลที่ขนานกับแกนการหมุนและพื้นผิวของการหมุนที่มีลักษณะทั้งปิดและเปิดมีจีโอเดซิกที่มีลักษณะไม่ตั้งฉากกับเมอริเดียน

เอกสารนี้เป็นเอกสารที่สงวนไว้สำหรับการใช้งานเพื่อการศึกษาเท่านั้น ไม่อนุญาตให้นำไปใช้ประโยชน์ด้านการค้า ไม่ว่ากรณีใดๆ ทั้งสิ้น อีกทั้งห้ามมิให้ดัดแปลงเนื้อหา และต้องอ้างอิงถึงเจ้าของเอกสารทุกครั้งที่มีการนำไปใช้

บทที่ 5

สรุปผลการวิจัยและข้อเสนอแนะ

5.1 สรุปผลวิจัย

รูปแบบหลักมูลที่หนึ่งบนพื้นผิวของการหมุนที่ศึกษา สามารถสรุปได้ดังตารางที่ 5.1

พื้นผิวของการหมุน	รูปแบบหลักมูลที่หนึ่ง
พื้นผิวคล้ายทรงกรวย	$ds^2 = a^2 v^2 du^2 + (a^2 + \frac{1}{v^2}) dv^2$
ทรงพาราโบล่า	$ds^2 = a^2 v^2 du^2 + (a^2 + 4v^2) dv^2$
ทรงไฮเพอร์โบล่า	$ds^2 = a^2 (1+v^2) du^2 + \left(\frac{a^2 v^2}{1+v^2} + b^2 \right) dv^2$
ทรงไฮเพอร์โบล่าสองชั้น	$ds^2 = a^2 \sinh^2 v du^2 + (a^2 \cosh^2 v + b^2 \sinh^2 v) dv^2$
แคทีนอยด์	$ds^2 = a^2 \cosh^2 \left(\frac{v}{a} \right) du^2 + \cosh^2 \left(\frac{v}{a} \right) dv^2$
พื้นผิวแบบดิงดอง	$ds^2 = a^2 (1-v) v^2 du^2 + a^2 \left(\frac{9v^2 - 16v + 8}{4 - 4v} \right) dv^2$
พื้นผิวแบบคิส	$ds^2 = a^2 v^4 \left(\frac{1-v}{2} \right) du^2 + \frac{a^2 (25v^4 - 40v^3 + 16v^2 - 8v + 8)}{8(1-v)} dv^2$
ทรงห่วยางแบบฮอร์น	$ds^2 = a^2 (1 + \cos v)^2 du^2 + a^2 dv^2$

ตารางที่ 5.1 รูปแบบหลักมูลที่หนึ่งของพื้นผิวของการหมุนที่ศึกษา

เอกสารนี้เป็นเอกสารที่สงวนไว้สำหรับการใช้งานเพื่อการศึกษาเท่านั้น ไม่อนุญาตให้นำไปใช้ประโยชน์ด้านการค้า
ไม่ว่ากรณีใดๆ ทั้งสิ้น อีกทั้งห้ามมิให้ดัดแปลงเนื้อหา และต้องอ้างอิงถึงเจ้าของเอกสารทุกครั้งที่มีการนำไปใช้

ระบบสมการเชิงอนุพันธ์อันดับที่สองซึ่งเป็นจีโอเดซิกบนพื้นผิวที่ศึกษา สามารถสรุปได้ดังตารางที่ 5.2

พื้นผิวของการหมุน	สมการจีโอเดซิกบนภาวะอิงพารามิเตอร์เกลโรล ที่ขึ้นอยู่กับพารามิเตอร์ v
พื้นผิวคล้ายทรงกรวย	$u'' + \frac{2v}{v^2} u'v' = 0$ $v'' + \frac{a^2 v^3}{a^2 v^2 + 1} (u')^2 - \frac{1}{v(a^2 v^2 + 1)} (v')^2 = 0$
ทรงพาราโบล่า	$u'' + \frac{2}{v} u'v' = 0$ $v'' - \frac{a^2 v}{(a^2 + 4v^2)} (u')^2 + \frac{4v}{(a^2 + 4v^2)} (v')^2 = 0$
ทรงไฮเพอร์โบล่า	$u'' + \frac{2a^2 v}{a^2(1+v^2)} u'v' = 0$ $v'' + \frac{a^2 v(1+v^2)}{a^2 v^2 + b^2(1+v^2)} (u')^2 + \frac{a^2 v}{(1+v^2)(a^2 v^2 + b^2(1+v^2))} (v')^2 = 0$
ทรงไฮเพอร์โบล่าสองชั้น	$u'' + 2 \coth v u'v' = 0$ $v'' + \frac{a^2 \sinh v \cosh v}{(a^2 \cosh^2 v + b^2 \sinh^2 v)} (u')^2 + \frac{(a^2 + b^2) \cosh v \sinh v}{(a^2 \cosh^2 v + b^2 \sinh^2 v)} (v')^2 = 0$
แคทีนอยด์	$u'' + \frac{2}{a} \tanh\left(\frac{v}{a}\right) u'v' = 0$ $v'' - a \tanh\left(\frac{v}{a}\right) (u')^2 + \frac{1}{a} \tanh\left(\frac{v}{a}\right) (v')^2 = 0$
พื้นผิวแบบดิงดอง	$u'' + \frac{(2v-3v^2)}{(1-v)v^2} u'v' = 0$ $v'' - \frac{(2v-3v^2)(2-2v)}{(9v^2-16v+8)} (u')^2 + \frac{(-9v^2+18v-8)}{2(1-v)(9v^2-16v+8)} (v')^2 = 0$
พื้นผิวแบบคิส	$u'' + \left(\frac{-3}{1-v} + \frac{4}{(1-v)v}\right) u'v' = 0$ $v'' + \frac{\left(\frac{-v^2}{2} + 2v^3(1-v)\right)}{\left(2-4v+6v^2-14v^3 + \frac{65v^4}{4} - \frac{25v^5}{4}\right)} (u')^2 + \frac{(v-1)^2 v(32-211v+180v^2)}{\left(2-4v+6v^2-14v^3 + \frac{65v^4}{4} - \frac{25v^5}{4}\right)} (v')^2 = 0$
ทรงห่วยางแบบซอร์น	$u'' - 2 \tan \frac{v}{2} u'v' = 0$ $v'' + (1 + \cos v) \sin v (v')^2 = 0$

ตารางที่ 5.2 สมการจีโอเดซิกบนภาวะอิงพารามิเตอร์เกลโรลที่ขึ้นอยู่กับพารามิเตอร์ v ของพื้นผิวที่ศึกษา

เอกสารนี้เป็นเอกสารที่สงวนไว้สำหรับการใช้งานเพื่อการศึกษาเท่านั้น ไม่อนุญาตให้นำไปใช้ประโยชน์ด้านการค้า
ไม่ว่ากรณีใดๆ ทั้งสิ้น อีกทั้งห้ามมิให้ดัดแปลงเนื้อหา และต้องอ้างอิงถึงเจ้าของเอกสารทุกครั้งที่มีการนำไปใช้

สมการจีโอเดซิกบนภาวะอิงพารามิเตอร์แกลโรลที่ขึ้นอยู่กับพารามิเตอร์ v ที่อยู่ในรูปแบบปริพันธ์จะเป็นไปตามตารางที่ 5.3

พื้นผิวของการหมุน	สมการจีโอเดซิกบนภาวะอิงพารามิเตอร์แกลโรลที่ขึ้นอยู่กับพารามิเตอร์ v ที่อยู่ในรูปแบบปริพันธ์
พื้นผิวคล้ายทรงกรวย	$u = \pm \int \frac{c\sqrt{a^2v^2+1}}{av^2\sqrt{a^2v^2-c^2}} dv$
ทรงพาราโบลา	$u = \pm \int \frac{c\sqrt{a^2+4v^2}}{av\sqrt{a^2v^2-c^2}} dv$
ทรงไฮเพอร์โบลา	$u = \pm \int \frac{c\sqrt{\frac{a^2v^2}{1+v^2}+b^2}}{a\sqrt{1+v^2}\sqrt{a^2(1+v^2)-c^2}} dv$
ทรงไฮเพอร์โบลาสองชั้น	$u = \pm \int \frac{c\sqrt{a^2 \cosh^2 v + b^2 \sinh^2 v}}{a \sinh v \sqrt{a^2 \sinh^2 v - c^2}} dv$
แคทีนอยด์	$u = \pm \frac{c}{a} \int \frac{1}{\sqrt{a^2 \cosh^2\left(\frac{v}{a}\right) - c^2}} dv$
พื้นผิวแบบดิงดอง	$u = \pm \frac{c}{2} \int \frac{\sqrt{-9v+7+\frac{15}{1-v}}}{v\sqrt{1-v}\sqrt{a^2(1-v)v^2-c^2}} dv$
พื้นผิวแบบกิส	$u = \pm c \int \frac{\sqrt{(25v^4-40v^3+16v^2-8v+8)/8(1-v)}}{v^2\sqrt{\left(\frac{1-v}{2}\right)\sqrt{a^2v^4\left(\frac{1-v}{2}\right)-c^2}} dv$
ทรงห่วยางแบบฮอร์น	$u = \pm \int \frac{c}{(1+\cos v)\sqrt{a^2(1+\cos v)^2-c^2}} dv$

ตารางที่ 5.3 สมการจีโอเดซิกบนภาวะอิงพารามิเตอร์แกลโรลที่ขึ้นอยู่กับพารามิเตอร์ v ที่อยู่ในรูปแบบปริพันธ์ของพื้นผิวที่ศึกษา

เอกสารนี้เป็นเอกสารที่สงวนไว้สำหรับการใช้งานเพื่อการศึกษาเท่านั้น ไม่อนุญาตให้นำไปใช้ประโยชน์ด้านการค้า ไม่ว่าจะกรณีใดๆ ทั้งสิ้น อีกทั้งห้ามมิให้ดัดแปลงเนื้อหา และต้องอ้างอิงถึงเจ้าของเอกสารทุกครั้งที่มีการนำไปใช้

สมการผลเฉลยของสมการจืออเดซิกบนภาวะอิงพารามิเตอร์แกลโรลที่ขึ้นอยู่กัพพารามิเตอร์ v ที่อยู่ในรูปแบบปริพันธ์จะเป็นไปตามตารางที่ 5.4

พื้นผิวของการ หมุน	สมการผลเฉลยของสมการจืออเดซิกบนภาวะอิงพารามิเตอร์แกลโรล ที่ขึ้นอยู่กัพพารามิเตอร์ v ที่อยู่ในรูปแบบปริพันธ์
พื้นผิวคล้ายทรง กรวย	$u = \mp \frac{\sqrt{v^2 + a^2}}{v^2 \sinh(\cosh^{-1}(\frac{v}{c}))} \pm \frac{1}{\sinh(\cosh^{-1}(\frac{v}{c}))} \left[\ln(v + \sqrt{v^2 + a^2}) + D \right]$
ทรงพาราโบล่า	$u = \pm \frac{2 \cot \xi(s)}{a} \left[\sqrt{a^2 + 4v^2} - a \ln \left \frac{a + \sqrt{a^2 + 4v^2}}{2v} \right + D \right]$
ทรง ไฮเพอร์โบล่า	$u = \pm \frac{\tan \xi(s)}{4} \left[4\sqrt{2} \sin^{-1}(\sqrt{2}v) + \ln(32 + 96v^2 - 64v\sqrt{1 + 2v^2}) - \ln(32(1 + 3v^2 + 2v\sqrt{1 + 2v^2})) \right]$
ทรง ไฮเพอร์โบล่า สองชิ้น	$u = \pm \cot \xi(s) \left[-\tanh^{-1}\left(\frac{\cosh v}{\cosh 2v}\right) + \sqrt{2} \ln(\sqrt{2} \cosh v + \sqrt{\cosh 2v}) + D \right]$
แคทีนอยด์	$u = \pm \frac{1}{a} \cot \xi(s) [v + D]$
พื้นผิวแบบดิง คอง	$u = \pm \frac{\cot \xi(s)}{6\sqrt{22 - 16v + 9v^2}} \left[\sqrt{1-v} \sqrt{\frac{-22 + 16v - 9v^2}{-1-v}} \left(-8 \sinh\left(\frac{-8 + 9v}{\sqrt{13v}}\right) + 3(\sqrt{22 - 16v + 9v^2}) + \sqrt{22} \ln 11\sqrt{22}v - \sqrt{22} \ln 22 - 8v + \sqrt{22}\sqrt{22 - 16v + 9v^2} \right) + D \right]$
พื้นผิวแบบคิส	-
ทรงห่วยาง แบบฮอร์น	$u = \pm \cot \xi(s) \left(\tan\left(\frac{v}{2}\right) + D \right)$

ตารางที่ 5.4 สมการผลเฉลยของสมการจืออเดซิกบนภาวะอิงพารามิเตอร์แกลโรล

ที่ขึ้นอยู่กัพพารามิเตอร์ v ที่อยู่ในรูปแบบปริพันธ์ของพื้นผิวที่ศึกษา

เอกสารนี้เป็นเอกสารที่สงวนไว้สำหรับการใช้งานเพื่อการศึกษาเท่านั้น ไม่อนุญาตให้นำไปใช้ประโยชน์ด้านการค้า
ไม่ว่ากรณีใดๆ ทั้งสิ้น อีกทั้งห้ามมิให้ดัดแปลงเนื้อหา และต้องอ้างอิงถึงเจ้าของเอกสารทุกครั้งที่มีการนำไปใช้

ในงานวิจัยนี้ได้มีสมบัติบางประการของจีโอเดซิกบนบางพื้นผิวที่เกิดจากการหมุนกราฟที่อยู่ในรูปภาวะอิงพารามิเตอร์เกลโรลที่ขึ้นอยู่กับพารามิเตอร์ v นั่นคือ ทุกๆ เมอริเดียน บนพื้นผิวที่เกิดจากการหมุนเป็นจีโอเดซิก และจะมีบางพาราเลลบนพื้นผิวที่เกิดจากการหมุนเป็นจีโอเดซิกก็ต่อเมื่อ $f'(v_0) = 0$ เมื่อ $f(v)$ เป็นรัศมีของพาราเลล และ v_0 เป็นค่าคงที่ ต่อไปนี้จะแบ่งประเภทของรูปทรงต่างๆที่เป็นพื้นผิวของการหมุนเพื่อจะพิจารณาลักษณะของจีโอเดซิกบนรูปทรงนั้น โดยวิเคราะห์จากลักษณะจีโอเดซิกจากความสัมพันธ์ของเกลโรลสำหรับบางกรณี ดังตารางที่ 5.5

พื้นผิวของการหมุน	เมอริเดียน	พาราเลล	จีโอเดซิกที่มีลักษณะไม่ตั้งฉากกับเมอริเดียน
ทรงกลม [1]	$c = 0$	$c = a$	$ c < a $
ทรงกระบอก [1]	$c = 0$	$c = a$	$ c < a $
ทรงกรวย [1]	$c = 0$	-	$ c \leq a $
ทรงห้วข่าง [9]	$c = 0$	$c = R + a$ or $c = R - a$	$ c < R + a $
พื้นผิวคล้ายทรงกรวย	$c = 0$	-	$ c < a $
ทรงพาราโบลา	$c = 0$	-	$ c < a $
ทรงไฮเพอร์โบลา	$c = 0$	$c = a$	$ c < a $
ทรงไฮเพอร์โบลาสองชั้น	$c = 0$	-	$ c < a $
แคทีนอยด์	$c = 0$	$c = a$	$ c < a $
พื้นผิวแบบดิงดอง	$c = 0$	$c = \frac{2\sqrt{3}}{9} a$	$ c < a $
พื้นผิวแบบคิส	$c = 0$	$c = \frac{2\sqrt{3}}{9} a$	$ c < a $
ทรงห้วข่างแบบฮอร์น	$c = 0$	$c = 2a$	$ c < 2 a $

ตารางที่ 5.5 การแบ่งประเภทของบางจีโอเดซิกบนพื้นผิวของการหมุนโดย
ใช้ความสัมพันธ์ของเกลโรล

เอกสารนี้เป็นเอกสารที่สงวนไว้สำหรับการใช้งานเพื่อการศึกษาเท่านั้น ไม่อนุญาตให้นำไปใช้ประโยชน์ด้านการค้า
ไม่ว่ากรณีใดๆ ทั้งสิ้น อีกทั้งห้ามมิให้ดัดแปลงเนื้อหา และต้องอ้างอิงถึงเจ้าของเอกสารทุกครั้งที่มีการนำไปใช้

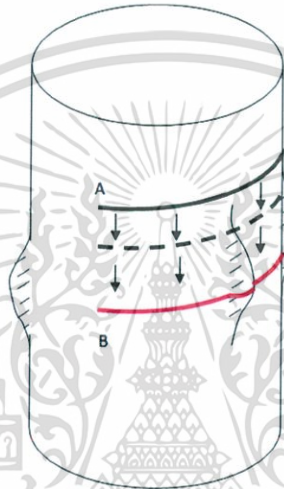
จากตารางที่ 5.4 จะได้ว่าสารารดสรุปได้ดังนี้

1. ทรงกรวย [1] พื้นผิวคล้ายทรงกรวย ทรงพาราโบล่าและทรงไฮเพอร์โบล่าสองชิ้นเป็นพื้นผิวแบบเปิดที่มีจุดตัดกับแกนหมุน ยกเว้นพื้นผิวคล้ายทรงกรวยเพียงรูปเดียวที่พื้นผิวไม่ตัดกับแกนการหมุน โดยรูปทรงที่กล่าวมาข้างต้นจะไม่สามารถหาค่าคงที่ของแกลโรลครบทั้งสามประเภท เนื่องจากไม่มีพาราเลลที่เป็นจีโอเดสิก นั่นคือ พื้นผิวของการหมุนที่มีเส้นสัมผัสของเส้นโค้งก่อกำเนิด จุดตัดกับพาราเลลไม่ขนานกับแกนการหมุนทำให้ไม่มีพาราเลลที่เป็นจีโอเดสิก
2. ทรงกลม [1] ทรงกระบอก [1] ทรงห่วย่าง [9] ทรงไฮเพอร์โบล่าแคทีนอยด์ พื้นผิวแบบดิ่งดอง พื้นผิวแบบคิสและทรงห่วย่างแบบฮอร์นเป็นพื้นผิวแบบปิด ยกเว้น ทรงกระบอกเพียงรูปเดียว มีค่าคงที่ของแกลโรลครบทั้งสามประเภท มีเส้นสัมผัสของเส้นโค้งก่อกำเนิด จุดตัดกับพาราเลลซึ่งขนานกับแกนการหมุนทำให้มีพาราเลลที่เป็นจีโอเดสิก

5.2 ข้อเสนอแนะและแนวทางของการพัฒนางานวิจัย

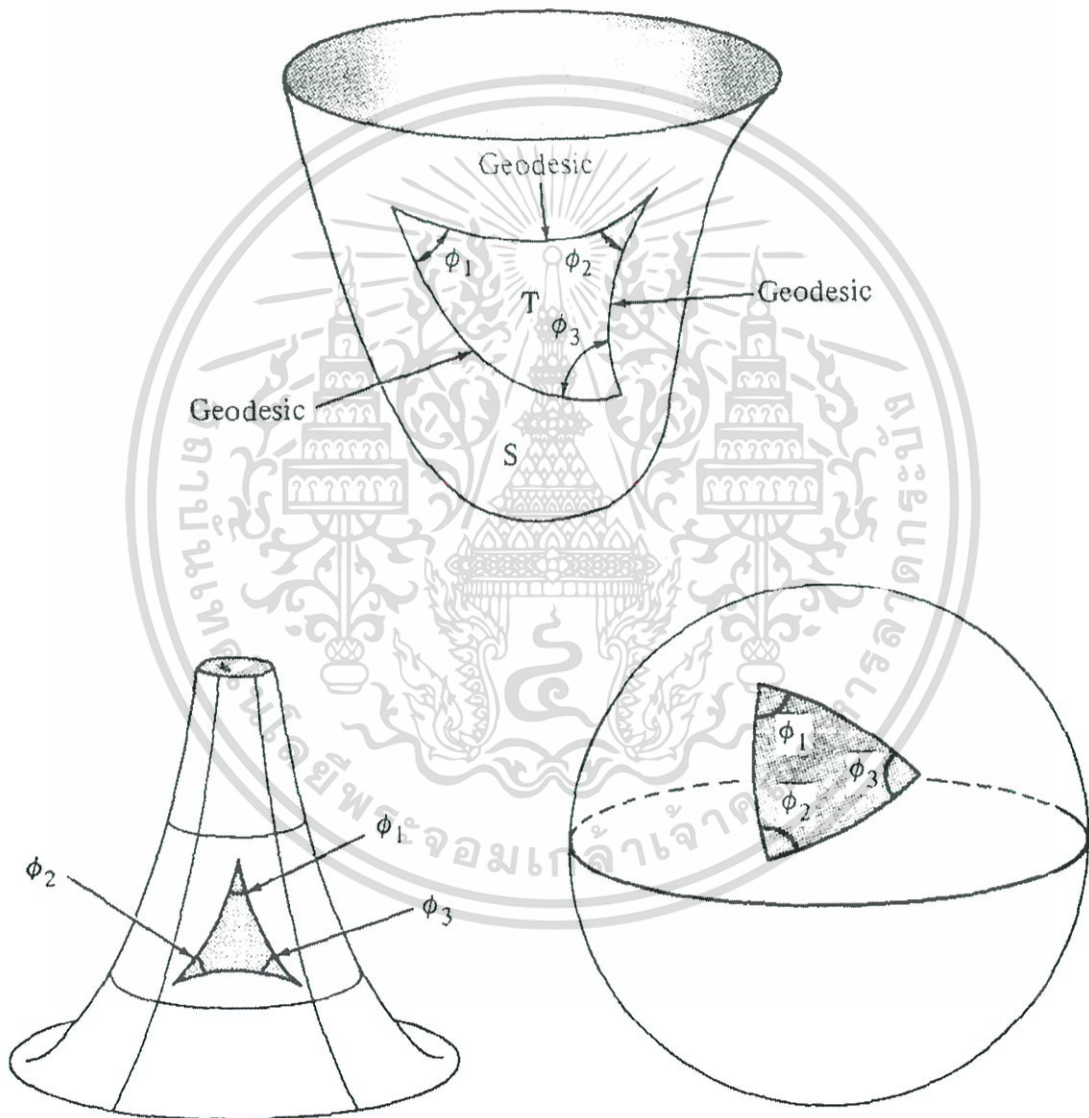
1. ในงานวิจัยนี้ได้ศึกษาบางสมบัติของจีโอเดสิกบนพื้นผิวของการหมุน ซึ่งเป็นจุดเริ่มต้นเพื่อเป็นแนวทางในการพัฒนาต่อไปยังการพิจารณาบนพื้นผิวใดๆ ในสามมิติ
2. สมการจีโอเดสิกบนภาวะอิงพารามิเตอร์แกลโรลที่ขึ้นอยู่กับพารามิเตอร์ v ที่อยู่ในรูปแบบปริพันธ์นั้นยุ่งยากในการหาผลเฉลยเนื่องจากสมการจะอยู่ในรูปแบบ Elliptic Integral ดังนั้น ในการพัฒนางานวิจัยเรื่องนี้จะต้องศึกษา Elliptic Integral เพื่อเป็นเครื่องมือในการหาผลเฉลย
3. ในงานวิจัยนี้ได้แสดงเส้นโค้งจีโอเดสิกบนพื้นผิวที่เกิดจากการหมุนซึ่งเขียนเป็นโปรแกรมใน MATLAB โดยกำหนดให้จุดเริ่มต้นที่ (u_0, v_0) และมีทิศทาง $\left(\frac{du}{ds}, \frac{dv}{ds}\right)$ สำหรับการพัฒนางานวิจัยชิ้นนี้จะโดยกำหนดให้จุดเริ่มต้นที่ (u_0, v_0) และจุดสุดท้ายที่ (u_1, v_1) หรือกำหนดทิศทางโดยใช้ความสัมพันธ์ของแกลโรล แล้วเขียนเป็นโปรแกรมเพื่อแสดงเส้นโค้งจีโอเดสิกบนพื้นผิวที่เกิดจากการหมุน

4. เนื่องจากในงานวิจัยเรื่องนี้ได้แสดงเส้นโค้งจีโอเดซิกอยู่บนพื้นผิวที่ปรับเรียบ สำหรับในการพัฒนางานวิจัยอาจจะพิจารณาเส้นโค้งจีโอเดซิกอยู่บนพื้นผิวใดๆ ที่ไม่ปรับเรียบ ตัวอย่างเช่น กำหนดให้ A เป็นเส้นโค้งจีโอเดซิก ถ้าเลื่อนเส้นโค้งจีโอเดซิก A บนพื้นผิวที่ปรับเรียบ ลงมาเรื่อยๆ จึงถึงเส้นโค้ง B บนพื้นผิวที่ไม่ปรับเรียบ ดังรูปที่ 5.1 แล้วเส้นโค้ง B มีสมบัติอย่างไร สมบัติของเส้นโค้งจีโอเดซิก A แตกต่างกับเส้นโค้ง B หรือไม่ และเส้นโค้ง B เป็นจีโอเดซิกด้วยหรือไม่ ซึ่งอาจจะพิจารณาเส้นโค้งจีโอเดซิก A เป็นเมอริเดียน พาราเลล หรือในรูปแบบที่ไม่ตั้งฉากกับเมอริเดียน



รูปที่ 5.1 การเคลื่อนเส้นโค้งจีโอเดซิก A ถึงเส้นโค้ง B บนพื้นผิวที่ไม่ปรับเรียบ

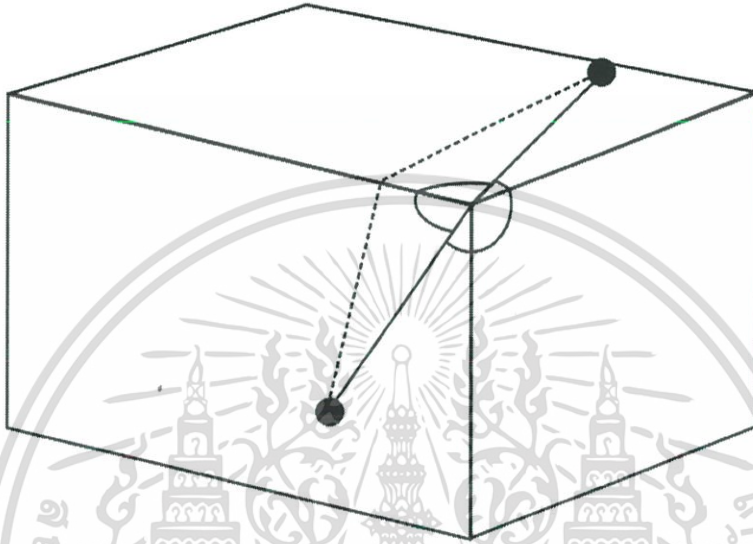
5. เนื่องจากในงานวิจัยชิ้นนี้ ได้ศึกษาจีโอเดสิกเพียงเส้นเดียวบนพื้นผิวของการหมุน สำหรับในการพัฒนางานวิจัยจะพิจารณาเส้นโค้งจีโอเดสิกสามเส้นที่เชื่อมจุดสามจุดซึ่งลักษณะคล้ายสามเหลี่ยมบนพื้นผิวของการหมุนหรือพื้นผิวปรับเรียบ โดยเรียกจีโอเดสิกที่ลักษณะคล้ายสามเหลี่ยมนี้ว่า สามเหลี่ยมจีโอเดสิก (Geodesic triangle) ดังรูปที่ 5.2 จะศึกษาสมบัติของสามเหลี่ยมจีโอเดสิกบนพื้นผิวพื้นผิวของการหมุนหรือพื้นผิวปรับเรียบ



รูปที่ 5.2 สามเหลี่ยมจีโอเดสิก (Geodesic Triangle)

เอกสารนี้เป็นเอกสารที่สงวนไว้สำหรับการใช้งานเพื่อการศึกษาเท่านั้น ไม่อนุญาตให้นำไปใช้ประโยชน์ด้านการค้า ไม่ว่าจะกรณีใดๆ ทั้งสิ้น อีกทั้งห้ามมิให้ดัดแปลงเนื้อหา และต้องอ้างอิงถึงเจ้าของเอกสารทุกครั้งที่มีการนำไปใช้

6. จีออเดซิกบนพื้นผิวที่ไม่ปรับเรียบหรือพื้นผิวที่ไม่ต่อเนื่อง ซึ่งเรียกว่า **จีออเดซิกแบบไม่ต่อเนื่อง (Discrete geodesics)** ดังรูปที่ 5.3 สำหรับในการพัฒนางานวิจัยจะพิจารณาจีออเดซิกแบบไม่ต่อเนื่อง โดยใช้ความสัมพันธ์ของเกลโรล โดยการกำหนดมุมตามความสัมพันธ์ของเกลโรล



รูปที่ 5.3 จีออเดซิกแบบไม่ต่อเนื่อง (Discrete Geodesics)

เอกสารนี้เป็นเอกสารที่สงวนไว้สำหรับการใช้งานเพื่อการศึกษาเท่านั้น ไม่อนุญาตให้นำไปใช้ประโยชน์ด้านการค้า ไม่ว่าจะกรณีใดๆ ทั้งสิ้น อีกทั้งห้ามมิให้ดัดแปลงเนื้อหา และต้องอ้างอิงถึงเจ้าของเอกสารทุกครั้งที่มีการนำไปใช้

เอกสารอ้างอิง

- [1] ณัฐพล บุญนำ, “เส้นโค้งจีโอเดสิกบนพื้นผิวบางชนิดของการหมุนรอบที่มีการศึกษาเชิงตัวเลข สำหรับการคำนวณ”, วิทยานิพนธ์, สถาบันเทคโนโลยีพระจอมเกล้าเจ้าคุณทหารลาดกระบัง, 2553.
- [2] รศ.ภัคคินี ชิตสกุล, “เอกสารประกอบการเรียน รายวิชา Differential Geometry”, สถาบันเทคโนโลยีพระจอมเกล้าเจ้าคุณทหารลาดกระบัง, 2553.
- [3] Alfred Gray, Elsa Abbena, Simon Salamon. **Modern Differential Geometry of Curves and Surface with Mathematica**. 3rd Edition. Boca Raton : Chapman & Hall/CRC. 2006.
- [4] Barrett O’Neill. **Elementary Differential Geometry**. Revised 2nd Edition. San Diego: Academic. 2006.
- [5] Emin Kasap, Mustafa Yapici, F. Talay Akyildiz. **A numerical study for computation of geodesic curves**. Applied Mathematics and Computation 171 (2005) 1206–1213.
- [6] Jacob Lewis. **Geodesics Using Mathematica**. Columbia University. (n.d.).
- [7] John Oprea. **Differential Geometry and Its Applications**. 2nd Edition. Washington, DC : The Mathematical Association of America. 2007.
- [8] M. P. do Carmo. **Differential Geometry of Curves and Surfaces**. Prentice-Hall, Englewood Cliffs, New Jersey. 1976.
- [9] Mark L. Irons. 2005. **The Curvature and Geodesics of the Torus**.
<http://www.rdrop.com/~half/math/torus/index.xhtml>.
- [10] Minoru Tanaka. 2000. **Behaviors of Geodesics on a Surface of Revolution**. Department of Mathematics, Tokai University.
- [11] <http://mathworld.wolfram.com>

ภาคผนวก



เอกสารนี้เป็นเอกสารที่สงวนไว้สำหรับการใช้งานเพื่อการศึกษาเท่านั้น ไม่อนุญาตให้นำไปใช้ประโยชน์ด้านการค้า
ไม่ว่ากรณีใดๆ ทั้งสิ้น อีกทั้งห้ามมิให้ดัดแปลงเนื้อหา และต้องอ้างอิงถึงเจ้าของเอกสารทุกครั้งที่มีการนำไปใช้

1. โปรแกรมในการแสดงเส้นโค้งจีโอเดสิกบนพื้นผิวของการหมุน

สำหรับโปรแกรมในการแสดงเส้นโค้งจีโอเดสิกบนพื้นผิวของการหมุน จะเขียนบน
MATLAB โดยเขียนเป็น M File แสดงได้ดังนี้

```
geodesic1
syms u v;
u=sym('u');
v=sym('v');

%สมการเชิงพหามิตอร์
a=1;
x=a*v.*sqrt(1-v).*cos(u);
y=a*v.*sqrt(1-v).*sin(u);
z=a*v;

%time interval
dt=[0,5*pi];
%เงื่อนไขเริ่มต้น INIT=[uinit;vinit;vinit;dvinit]
INIT=[0.5;-0.5;0.5;-1];
surface(x,y,z);
hold on

geodesic2(x,y,z);
C=ans;

[t,X]=ode45('geodesic3',dt,INIT,[],C)

u=X(:,1);
v=X(:,3);
x=subs(x);
y=subs(y);
z=subs(z);
plot3(x,y,z)
u=sym('u');
v=sym('v');

%สมการเชิงพหามิตอร์
a=1;
x=a*v.*sqrt(1-v).*cos(u);
y=a*v.*sqrt(1-v).*sin(u);
z=a*v;

%time interval
```

เอกสารนี้เป็นเอกสารที่สงวนไว้สำหรับการใช้งานเพื่อการศึกษาเท่านั้น ไม่อนุญาตให้นำไปใช้ประโยชน์ด้านการค้า
ไม่ว่ากรณีใดๆ ทั้งสิ้น อีกทั้งห้ามมิให้ตัดแปลงเนื้อหา และต้องอ้างอิงถึงเจ้าของเอกสารทุกครั้งที่มีการนำไปใช้

```

dt=[0,5*pi];
%เงื่อนไขเริ่มต้น INIT=[uinit;duinit;vinit;dvinit]
INIT=[0.5;-0.5;0.5;-1];

surface(x,y,z);
hold on

geodesic2(x,y,z);
C=ans;

[t,X]=ode45('geodesic3',dt,INIT,[],C)

u=X(:,1);
v=X(:,3);
x=subs(x);
y=subs(y);
z=subs(z);
plot3(x,y,z)
=====

```

geodesic2

```

function C=geodesic2(x,y,z)

U=[x;y;z];
XsubU=diff(U,'u');
XsubV=diff(U,'v');
E=simple(XsubU.*XsubU);
G=simple(XsubV.*XsubV);

EsubU=diff(E,'u');
EsubV=diff(E,'v');
GsubU=diff(G,'u');
GsubV=diff(G,'v');

C=[E;G;EsubU;EsubV;GsubU;GsubV];
=====

```

geodesic3

```

function xp=geodesic3(t,xx,flag,C);

xp=zeros(4,1);

u=xx(1);
v=xx(3);

H=(C(3)/(2*C(1)));
H=subs(H);

```

เอกสารนี้เป็นเอกสารที่สงวนไว้สำหรับการใช้งานเพื่อการศึกษาเท่านั้น ไม่อนุญาตให้นำไปใช้ประโยชน์ด้านการค้า
ไม่ว่ากรณีใดๆ ทั้งสิ้น อีกทั้งห้ามมิให้ดัดแปลงเนื้อหา และต้องอ้างอิงถึงเจ้าของเอกสารทุกครั้งที่มีการนำไปใช้

```

I=subs(C(4)/C(1));
J=subs(C(5)/(2*C(1)));
K=subs(C(4)/(2*C(2)));
L=subs(C(5)/C(2));
M=subs(C(6)/(2*C(2)));

xp(1)=xx(2);
xp(2)=-I*xx(2)*xx(4);
xp(3)=xx(4);
xp(4)=K*xx(2)^2-M*xx(4)^2;

```

surface

```

function f=surface(x,y,z)
[u,v]=meshgrid(linspace(0,2*pi,40),linspace(-2,1,40));
x=subs(x);
y=subs(y);
z=subs(z);
mesh(x,y,z)
hold on

```



เอกสารนี้เป็นเอกสารที่สงวนไว้สำหรับการใช้งานเพื่อการศึกษาเท่านั้น ไม่อนุญาตให้นำไปใช้ประโยชน์ด้านการค้า
ไม่ว่ากรณีใดๆ ทั้งสิ้น อีกทั้งห้ามมิให้ดัดแปลงเนื้อหา และต้องอ้างอิงถึงเจ้าของเอกสารทุกครั้งที่มีการนำไปใช้



2. ผลงานที่นำเสนอสู่การประชุมทางวิชาการ

เอกสารนี้เป็นเอกสารที่สงวนไว้สำหรับการใช้งานเพื่อการศึกษาเท่านั้น ไม่อนุญาตให้นำไปใช้ประโยชน์ด้านการค้า
ไม่ว่ากรณีใดๆ ทั้งสิ้น อีกทั้งห้ามมิให้ดัดแปลงเนื้อหา และต้องอ้างอิงถึงเจ้าของเอกสารทุกครั้งที่มีการนำไปใช้

สมบัติบางประการของจีโอเดสิกบนทรงพาราโบล่าโดยความสัมพันธ์ของแคลโรล

Some Properties of Geodesic on Paraboloid by Clariout's Relation

วงศ์วิศรุต เขื่องสดุง¹ และภักคินี ชิตสกุล¹Wongvisarut Khuangsatsung¹ and Pakkinee Chitsakul¹

บทคัดย่อ

ในงานวิจัยนี้ผู้วิจัยจะศึกษาสมบัติบางประการของจีโอเดสิกบนทรงพาราโบล่าซึ่งเป็นพื้นผิวของการหมุนที่ตัดกับแกนของการหมุนและเป็นรูปทรงแบบเปิดในรูปแบบภาวะอิงพารามิเตอร์แคลโรลที่ขึ้นอยู่กับพารามิเตอร์ v โดยพิจารณาจากความสัมพันธ์ของแคลโรล อีกทั้งได้หาสมการผลเฉลยของจีโอเดสิกที่อยู่ในรูปแบบภาวะอิงพารามิเตอร์แคลโรลที่ขึ้นอยู่กับพารามิเตอร์ v

คำสำคัญ : จีโอเดสิก พื้นผิวของการหมุน ความสัมพันธ์ของแคลโรล

ABSTRACT

In this paper, we study some properties of geodesic on paraboloid which is surface of revolution intersect with axis of rotation and is open surface in the Clariout parameterization's form depend on parameter v by considering from Clariout's relation. And then, we find solution of geodesic in the Clariout parameterization's form depend on parameter v .

Key Words : Geodesic, Surface of revolution, Clariout's relation

E-mail : wongvisarut@gmail.com

คำนำ

นิยามของจีโอเดสิก (Geodesic) บนพื้นผิวใดๆ คือเส้นโค้งเชิงเดียวบนพื้นผิว ซึ่งสำหรับจุดใดๆ ที่แตกต่างกันสองจุดบนพื้นผิว แล้วเส้นจีโอเดสิกที่เชื่อมจุดทั้งสองจะให้ระยะทางที่สั้นที่สุด เพราะฉะนั้น เส้นโค้งบนพื้นผิวเป็นจีโอเดสิกก็ต่อเมื่อเวกเตอร์ตั้งฉากกับเส้นโค้งขนานกับเวกเตอร์ตั้งฉากกับพื้นผิว นั่นคือ $\alpha' \perp \alpha = 0$

Jacob Lewis [3] ได้นำเสนอการศึกษาจีโอเดสิกบนพื้นผิวของทรงกลมและทรงห้วงยางที่เป็นพื้นผิวของการหมุน (Surface of revolution) โดยเป็นพื้นผิวแบบเปิด และทรงกระบอกเป็นพื้นผิวของการหมุนโดยเป็นพื้นผิวแบบเปิด สำหรับพื้นผิวของทรงกลม ทรงกระบอกและทรงห้วงยางจะอยู่ในรูปแบบภาวะอิงพารามิเตอร์แคลโรลที่ขึ้นอยู่กับพารามิเตอร์ v (v -Clariout parameterization หรือ v -clairaut patch) โดยใช้โปรแกรมสำเร็จรูปในการวิเคราะห์รูปภาพ ต่อมาจากนั้น Mark L. Irons [6] ได้ศึกษาจีโอเดสิกบนพื้นผิวของทรงห้วงยางที่เป็นพื้นผิวของ

¹ สาขาวิชาคณิตศาสตร์ คณะวิทยาศาสตร์ สถาบันเทคโนโลยีพระจอมเกล้าเจ้าคุณทหารลาดกระบัง กรุงเทพฯ 10520

Department of Mathematics, Faculty of Science, King Mongkut's Institute of Technology Ladkrabang, Bangkok 10520

เอกสารนี้เป็นเอกสารสงวนไว้สำหรับการใช้งานเพื่อการศึกษาเท่านั้น ไม่อนุญาตให้นำไปใช้ประโยชน์ด้านการค้า

การหมุนซึ่งเป็นพื้นผิวแบบปิด โดยเปรียบเทียบระหว่างผลเฉลยของสมการจีโอเดซิกกับผลเฉลยที่อยู่ในรูปแบบภาวะอิงพารามิเตอร์แกลโรลที่ขึ้นอยู่กับพารามิเตอร์ v และแบ่งประเภทของจีโอเดซิกที่อยู่บนทรงห่วงยางโดยพิจารณาจาก ความสัมพันธ์ของแกลโรล (Clariout's relation)

ในงานวิจัยนี้ ผู้วิจัยจะศึกษาสมบัติบางประการของจีโอเดซิกบนทรงพาราโบล่าซึ่งเป็นพื้นผิวของการหมุนที่ติดกับแกนของการหมุน ซึ่งเป็นพื้นผิวแบบเปิดที่อยู่ในรูปแบบภาวะอิงพารามิเตอร์แกลโรลที่ขึ้นอยู่กับพารามิเตอร์ v โดยพิจารณาจากความสัมพันธ์ของแกลโรล พร้อมทั้งหาสมการผลเฉลยที่อยู่ในรูปแบบภาวะอิงพารามิเตอร์แกลโรลที่ขึ้นอยู่กับพารามิเตอร์ v นอกจากนี้ผู้วิจัยต้องการจะเผยแพร่การพิสูจน์ว่า ทุกๆ เมอริเดียน (Meridian) บนพื้นผิวของการหมุนเป็นจีโอเดซิกเสมอ และจะมีพาราเลล (Parallel) บนพื้นผิวของการหมุนเป็นจีโอเดซิกก็ต่อเมื่อ $f'(v_0) = 0$

กำหนดให้ $\alpha(t) = \varphi(u(t), v(t))$ เป็นเส้นโค้งบนพื้นผิวใดๆ ถ้าให้ $v = v_0$ เป็นค่าคงที่และให้ u แปรผันแล้ว $\varphi(u, v_0)$ ขึ้นอยู่กับหนึ่งพารามิเตอร์และเป็นเส้นโค้ง จะเรียกเส้นโค้ง $\varphi(u, v_0)$ ว่า เส้นโค้งพารามิเตอร์ u (u -parameter curve) ในทำนองเดียวกัน ถ้าให้ $u = u_0$ เป็นค่าคงที่และให้ v แปรผันแล้ว $\varphi(u_0, v)$ ขึ้นอยู่กับหนึ่งพารามิเตอร์และเป็นเส้นโค้ง จะเรียกเส้นโค้ง $\varphi(u_0, v)$ ว่า เส้นโค้งพารามิเตอร์ v (v -parameter curve) อาทิเช่น พิจารณานบนโลกของเราซึ่งมีรูปทรงคล้ายกับทรงกลมจะได้ว่า เส้นโค้งพารามิเตอร์ u เป็นละติจูด (Latitude) ซึ่งมีลักษณะเป็นวงกลม และเส้นโค้งพารามิเตอร์ v เป็นลองจิจูด (Longitude) ซึ่งมีลักษณะเป็นครึ่งวงกลม ให้ M แทนพื้นผิวที่มีการส่ง $\varphi: D \rightarrow M$ แทนรูปแบบอิงพารามิเตอร์ของ M ที่เป็น C^∞ สำหรับแต่ละจุด p บน M ให้ M_p แทนเซตของทุกเวกเตอร์สัมผัสที่ p

ความรู้พื้นฐาน

กำหนดให้ เส้นโค้ง C^∞ ที่มีการส่ง $c: [a, b] \rightarrow \mathbb{R}^3$ อยู่บนพื้นผิว M จะเรียกว่า เส้นโค้ง C^∞ บน M ซึ่งสมการคำนวณความยาวของเส้นโค้งบน M ได้โดยนิพจน์

$$(2.1) \quad ds^2 = Edu^2 + 2Fdudv + Gdv^2$$

เรียกนิพจน์ (2.1) เป็นรูปแบบหลักมูลที่หนึ่ง (First Fundamental Form) ของ M โดยที่

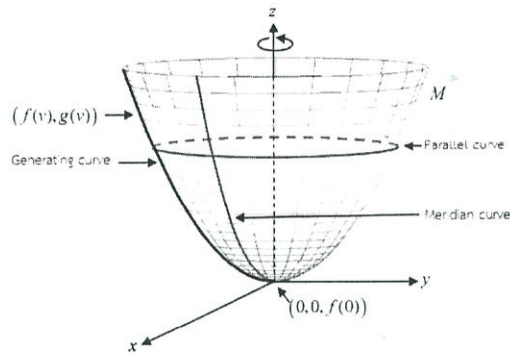
$$(2.2) \quad E = E(u, v) = \varphi_u \cdot \varphi_u, \quad F = F(u, v) = \varphi_u \cdot \varphi_v, \quad G = G(u, v) = \varphi_v \cdot \varphi_v$$

เรียกฟังก์ชันสามฟังก์ชันว่าสัมประสิทธิ์ของรูปแบบหลักมูลที่หนึ่งของ φ

สำหรับรูปแบบทั่วไปของสมการอิงพารามิเตอร์ของพื้นผิวของการหมุน M ใน \mathbb{R}^3 กำหนดให้ $f(v)$ เป็นภาวะอิงพารามิเตอร์ นิยามโดย

$$(2.3) \quad \varphi(u, v) = (f(v) \cos u, f(v) \sin u, g(v))$$

ซึ่ง $f(v) > 0$ เป็นดังรูปภาพที่ 1 และให้จุด $(0, 0, f(0))$ เป็นจุดตัดของแกน z กับ M เรียกว่า จุดยอด (Vertex) ของ M

รูปภาพที่ 1 พื้นผิวของการหมุน M ใน \mathbb{R}^3

กำหนดให้เส้นโค้ง C^∞ ที่มีการส่ง $c: [a, b] \rightarrow \mathbb{R}^3$ เป็นเส้นโค้งที่ทำให้ได้พื้นผิวของการหมุนแล้ว เส้นกราฟ c เรียกว่า เส้นโค้งก่อกำเนิด (Generating curve) ของ M โดยที่แกน z เป็นแกนของการหมุน

เส้นโค้งบนพื้นผิวที่มีลักษณะเป็นวงกลมที่เกิดจากการหมุนของกราฟจุดเดียวเพียงหนึ่งจุดเท่านั้นของ เส้นโค้งก่อกำเนิดรอบแกนการหมุน เรียกว่า พาราเลลของ M มีภาวะอิงพารามิเตอร์คือ

$$(2.4) \quad \varphi(u, v_0) = (f(v_0) \cos u, f(v_0) \sin u, g(v_0))$$

นอกจากนั้นเส้นโค้งที่มีลักษณะเหมือนเส้นโค้งก่อกำเนิด และหมุนออกจากเส้นโค้งก่อกำเนิด เรียกว่า เมอริเดียนของ M มีภาวะอิงพารามิเตอร์คือ

$$(2.5) \quad \varphi(u_0, v) = (f(v) \cos u_0, f(v) \sin u_0, g(v))$$

จากสมการ (2.2) จะได้ว่า

$$(2.6) \quad E = f^2(v), \quad F = 0, \quad G = f'(v)^2 + g'(v)^2$$

2.1 สัญลักษณ์คริสตอฟเฟิล (Christoffel symbols)

กำหนดให้ $u_1 := u, u_2 := v, \varphi_1 := \varphi_u, \varphi_2 := \varphi_v, (i, j = 1, 2)$ และ $\mathbf{e}(u, v) = \frac{\varphi_u \times \varphi_v}{\|\varphi_u \times \varphi_v\|}$ เป็นเวกเตอร์ตั้ง

ฉากหนึ่งหน่วย และ $\{\varphi_1(u_1, u_2), \varphi_2(u_1, u_2), \mathbf{e}(u_1, u_2)\}$ เป็นฐานหลัก (Basis) ของ \mathbb{R}^3 ทำให้ $\varphi_{ij}(u_1, u_2)$ สามารถเขียนเป็นผลรวมเชิงเส้นของเวกเตอร์ฐานหลักทั้งสามได้ ดังนั้นมีฟังก์ชัน $\Gamma_{ij}^k, h_{ij} (i, j, k = 1, 2)$ ที่ทำให้

$$(2.7) \quad \varphi_{ij}(u_1, u_2) = \sum_{k=1}^2 \Gamma_{ij}^k(u_1, u_2) \varphi_k(u_1, u_2) + h_{ij}(u_1, u_2) \mathbf{e}(u_1, u_2)$$

เป็นจริง เรียกสมการ (2.7) ว่า สมการเกาส์ (Gauss equation) และฟังก์ชัน Γ_{ij}^k เรียกว่า สัญลักษณ์คริสตอฟเฟิล

โดยที่ $h_{11} = L(u, v) = \mathbf{e} \cdot \varphi_{uu}(u, v), h_{12} = h_{21} = M(u, v) = \mathbf{e} \cdot \varphi_{uv}(u, v), h_{22} = N(u, v) = \mathbf{e} \cdot \varphi_{vv}(u, v)$

เป็นสัมประสิทธิ์ของรูปแบบหลักมูลที่สอง (Second Fundamental Form)

กำหนดให้ $g_{ij} = \varphi_i \cdot \varphi_j (i, j = 1, 2)$

นั่นคือ $E = \varphi_u \cdot \varphi_u = \varphi_1 \cdot \varphi_1 = g_{11}, F = \varphi_u \cdot \varphi_v = \varphi_1 \cdot \varphi_2 = g_{12}, G = \varphi_v \cdot \varphi_v = \varphi_2 \cdot \varphi_2 = g_{22}$

ทฤษฎีบท 2.1.1 สำหรับแต่ละ i, j, k ($=1, 2$) ที่ทำให้

$$(2.8) \quad \Gamma_{ij}^k = \frac{1}{2} \sum_{l=1}^2 g^{kl} (g_{il,j} + g_{jl,i} - g_{ij,l})$$

เมื่อ $g_{ij,l} := \frac{\partial}{\partial u_k} g_{ij}$ และ $(g^{ij}) = (g_{ij})^{-1}$ นั่นคือ g^{ij} แทนส่วนประกอบ (i, j) ของเมทริกซ์ผกผัน $(g_{ij})^{-1}$ ซึ่ง Γ_{ij}^k อยู่ในรูปแบบ g_{ij} และอนุพันธ์ของ g_{ij}

เนื่องจาก $F = 0$ ดังนั้นสมการ (2.8) จะได้ว่า

$$(2.9) \quad \Gamma_{11}^1 = \frac{E_u}{2E}, \quad \Gamma_{12}^1 = \frac{E_v}{2E}, \quad \Gamma_{22}^1 = \frac{-G_u}{2E}, \quad \Gamma_{11}^2 = \frac{-E_v}{2G}, \quad \Gamma_{12}^2 = \frac{G_u}{2G}, \quad \Gamma_{22}^2 = \frac{G_v}{2G}$$

2.2 สมการจีโอเดสิก (The Geodesic Equation)

นิยาม 2.2.1 ถ้า $c: [a, b] \rightarrow \mathbb{R}^3$ เป็นเส้นโค้ง C^∞ ที่อยู่ในรูปแบบอิงพารามิเตอร์ความยาวเส้นโค้ง แล้ว c จะกล่าวว่าเป็นเส้นโค้งอัตราเร็วหนึ่งหน่วย (Unit speed curve)

นิยาม 2.2.2 ให้ $\alpha: (a, b) \rightarrow M$ เป็นเส้นโค้ง C^∞ บนพื้นผิว M แล้วเส้นโค้ง α เรียกว่า จีโอเดสิกบน M ถ้า $\alpha''(s)$ ตั้งฉากกับปริภูมิสัมผัส $M_{\alpha(s)}$ สำหรับแต่ละ $s \in (a, b)$

บทตั้ง 2.2.2 ให้ $\alpha(s) = \varphi(u_1(s), u_2(s))$ เป็นเส้นโค้ง C^∞ บนพื้นผิว M แล้ว α เป็นจีโอเดสิก ก็ต่อเมื่อ α เป็นไปตามสมการเชิงอนุพันธ์ต่อไปนี้

$$(2.10) \quad u_i''(s) + \sum_{j,k=1}^2 \Gamma_{ij}^k(u_1(s), u_2(s)) u_j'(s) u_k'(s) = 0, \quad (i=1, 2)$$

พิสูจน์ เนื่องจาก $\alpha'(s) = \sum_{i=1}^2 \varphi_i(u_1(s), u_2(s)) u_i'(s)$

$$\begin{aligned} \text{จากสมการเกาส์จะได้ } \alpha''(s) &= \sum_{j=1}^2 \varphi_j(u_1(s), u_2(s)) u_j''(s) + \sum_{i,j,k=1}^2 \Gamma_{ij}^k(u_1(s), u_2(s)) u_i'(s) u_j'(s) \\ &\quad + \left(\sum_{i,j=1}^2 \varphi_{ij}(u_1(s), u_2(s)) u_i'(s) u_j'(s) \right) \mathbf{e}(u_1(s), u_2(s)) \end{aligned}$$

ถ้า α เป็นจีโอเดสิกแล้ว $\alpha''(s)$ ตั้งฉากกับ M ดังนั้นจากสมการข้างต้นจะได้

$$\sum_{k=1}^2 \left(u_k''(s) + \sum_{i,j=1}^2 \Gamma_{ij}^k(u_1(s), u_2(s)) u_i'(s) u_j'(s) \right) \varphi_k(u_1(s), u_2(s)) = 0$$

เนื่องจาก $\{\varphi_1(u_1(s), u_2(s)), \varphi_2(u_1(s), u_2(s))\}$ เป็นอิสระเชิงเส้น ดังนั้น

$$u_i''(s) + \sum_{j,k=1}^2 \Gamma_{ij}^k(u_1(s), u_2(s)) u_j'(s) u_k'(s) = 0, \quad (i=1, 2)$$

ในทางตรงกันข้าม ถ้า $u_i''(s) + \sum_{j,k=1}^2 \Gamma_{ij}^k(u_1(s), u_2(s)) u_j'(s) u_k'(s) = 0, \quad (i=1, 2)$ เป็นจริงแล้ว

$$(2.11) \quad \alpha''(s) = \left(\sum_{i,j=1}^2 h_{ij} u_i' u_j' \right) \mathbf{e}(u_1(s), u_2(s))$$

เอกสารนี้เป็นเอกสารที่สงวนไว้สำหรับการใช้งานเพื่อการศึกษาเท่านั้น ไม่อนุญาตให้นำไปใช้ประโยชน์ด้านการค้า ไม่ว่าจะกรณีใดๆ ทั้งสิ้น อีกทั้งห้ามมิให้ดัดแปลงเนื้อหา 822 และต้องอ้างอิงถึงเจ้าของเอกสารทุกครั้งที่มีการนำไปใช้

นั่นคือ α เป็นจีโอเดสิกบน M

ทฤษฎีบท 2.2.1 จีโอเดสิก $\alpha(s) = \varphi(u(s), v(s))$ บนพื้นผิวของการหมุน M ใน \mathbb{R}^3 เป็นไปตามสมการเชิงอนุพันธ์ต่อไปนี้

$$(2.12) \quad \begin{aligned} u'' + \frac{E_u}{2E} u'^2 + \frac{E_v}{E} u'v' - \frac{G_u}{2E} v'^2 &= 0 \\ v'' - \frac{E_v}{2G} u'^2 + \frac{G_u}{G} u'v' + \frac{G_v}{2G} v'^2 &= 0 \end{aligned}$$

ทฤษฎีบท 2.2.2 สำหรับแต่ละ $a \in M_p$ จะมี $\alpha: (-\varepsilon, \varepsilon) \rightarrow S$ มีเพียงหนึ่งเดียว ซึ่ง

$$(2.13) \quad \alpha(0) = p, \quad \alpha'(0) = a$$

2.3 ภาวะอิงพารามิเตอร์เกลดโรล

สำหรับส่วนของพื้นผิวเชิงตั้งฉากซึ่ง E และ G ขึ้นอยู่กับเพียง u หรือ v เพียงอย่างเดียว จะเรียก $\varphi(u, v)$ ว่าเป็นภาวะอิงพารามิเตอร์เกลดโรลขึ้นอยู่กับพารามิเตอร์ u เมื่อ $E_v = G_v = F = 0$ และเรียก $\varphi(u, v)$ ว่าเป็นภาวะอิงพารามิเตอร์เกลดโรลขึ้นอยู่กับพารามิเตอร์ v เมื่อ $E_u = G_u = F = 0$ จากสมการ (2.3) และ (2.6) จะเห็นได้ว่า $E_u = G_u = 0$ นั่นคือ $\varphi(u, v)$ เป็นภาวะอิงพารามิเตอร์เกลดโรลที่ขึ้นอยู่กับพารามิเตอร์ v ดังนั้น

จีโอเดสิกบนภาวะอิงพารามิเตอร์เกลดโรลที่ขึ้นอยู่กับพารามิเตอร์ v คือ

$$(2.14) \quad \begin{aligned} u'' + \frac{E_v}{E} u'v' &= 0 \\ v'' - \frac{E_v}{2G} u'^2 + \frac{G_v}{2G} v'^2 &= 0 \end{aligned}$$

จากสมการ (2.6) หาอนุพันธ์เทียบ v จะได้

$$(2.15) \quad E_v = 2f(v)f'(v), \quad G_v = 2f'(v)f''(v) + 2g'(v)g''(v)$$

แทนสมการ (2.15) ใน (2.14) ดังนั้น

$$(2.16) \quad \begin{aligned} u'' + \frac{2f(v)f'(v)}{f^2(v)} u'v' &= 0 \\ v'' - \frac{f(v)f'(v)}{f'(v)^2 + g'(v)^2} u'^2 + \frac{f'(v)f''(v) + g'(v)g''(v)}{f'(v)^2 + g'(v)^2} v'^2 &= 0 \end{aligned}$$

ทฤษฎีบท 2.3.1 ให้ $\varphi: D \rightarrow M$ เป็นภาวะอิงพารามิเตอร์เกลดโรลที่ขึ้นอยู่กับพารามิเตอร์ v และให้ $\alpha(s) = \varphi(u(s), v(s))$ เป็นจีโอเดสิกบน M ถ้า θ แทนมุมระหว่าง α' และ φ_u แล้ว

$$(2.17) \quad \sqrt{E} \cos \theta = c$$

เรียกสมการ (2.17) ว่าความสัมพันธ์ของเกลดโรลและเรียกค่าคงที่ c ว่า ค่าคงที่ของเกลดโรล (Clairaut's constant)

สำหรับภาวะอิงพารามิเตอร์ของเกลโรลที่ขึ้นอยู่กับพารามิเตอร์ v และ กำหนดให้

$\alpha(s) = \varphi(u(s), v(s))$ เป็นจีโอเดสิกอัตราเร็วหนึ่งหน่วย นั่นคือ

$$1 = \alpha' \alpha' = (\varphi_u u' + \varphi_v v') \cdot (\varphi_u u' + \varphi_v v') = Eu'^2 + Gv'^2 = f^2(v)u'^2 + (f'(v)^2 + g'(v)^2)v'^2$$

จากสมการจีโอเดสิก ภาวะอิงพารามิเตอร์เกลโรลที่ขึ้นอยู่กับพารามิเตอร์ v จะพิจารณาจาก

$$u'' + \frac{E_v}{E} u'v' = 0$$

จะได้
$$0 = Eu'' + E_v v' u' = Eu'' + E' u' = (Eu')'$$

ดังนั้น
$$(Eu') = c$$

จากความสัมพันธ์เกลโรลจะได้ว่า $(\varphi_u u' + \varphi_v v') \cdot \varphi_u = u'E = \sqrt{E} \cos \theta = c$ นั่นคือ c เป็นค่าคงที่ของเกลโรล

เนื่องจาก α เป็นจีโอเดสิกอัตราเร็วหนึ่งหน่วย นั่นคือ $1 = Eu'^2 + Gv'^2$ จะได้ $1 = E \left(\frac{c}{E} \right)^2 + Gv'^2$

$$(2.18) \quad v' = \pm \sqrt{\frac{E-c^2}{GE}}$$

นำสมการที่ (2.17) หารด้วย (2.18) จะได้

$$(2.19) \quad \frac{du}{dv} = \frac{u'}{v'} = \frac{\frac{c}{E}}{\pm \sqrt{\frac{E-c^2}{GE}}} = \pm \frac{c\sqrt{G}}{\sqrt{E}\sqrt{E-c^2}}$$

สำหรับภาวะอิงพารามิเตอร์เกลโรลที่ขึ้นอยู่กับพารามิเตอร์ v สามารถเขียนได้ใหม่คือ

$$(2.20) \quad u = \pm \int \frac{c\sqrt{G}}{\sqrt{E}\sqrt{E-c^2}} dv$$

ต่อไปนี้จะพิจารณาเมอริเดียนและพาราเลลที่เป็นภาวะอิงพารามิเตอร์เกลโรลที่ขึ้นอยู่กับพารามิเตอร์ v

ทฤษฎีบท 2.3.2 ให้ M เป็นพื้นผิวของการหมุนใน \mathbb{R}^3 แล้วทุกๆ เมอริเดียนเป็นจีโอเดสิก และจะมีบางพาราเลลเป็นจีโอเดสิกก็ต่อเมื่อ $f'(v_0) = 0$

พิสูจน์ กำหนดให้ $\varphi(u, v)$ เป็นภาวะอิงพารามิเตอร์ของเกลโรลที่ขึ้นอยู่กับพารามิเตอร์ v

จะแสดงว่า ทุกๆ เมอริเดียนเป็นจีโอเดสิก โดยวิธีข้อขัดแย้ง (Contradiction) สมมติว่า ทุกๆ เมอริเดียนไม่เป็นจีโอเดสิก นั่นคือ $\varphi'' \neq 0$ เนื่องจากภาวะอิงพารามิเตอร์บนพื้นผิวของการหมุน นั่นคือ

$$\varphi(u, v) = (f(v) \cos u, f(v) \sin u, g(v))$$

หาอนุพันธ์เทียบ v ทั้ง $F = 0$ และ $G = f'(v)^2 + g'(v)^2 = 1$ จะได้

$$F_v = (\varphi_u \cdot \varphi_v)_v = \varphi_u \cdot \varphi_{vv} + \varphi_v \cdot \varphi_{uv} = 0 \quad \text{และ} \quad G_v = (\varphi_v \cdot \varphi_v)_v = \varphi_v \cdot \varphi_{vv} + \varphi_v \cdot \varphi_{vv} = 2\varphi_v \cdot \varphi_{vv} = 0$$

เนื่องจาก $\varphi_v \cdot \varphi_{vv} = (f'(v) \cos u, f'(v) \sin u, g'(v)) \cdot (-f'(v) \sin u, f'(v) \cos u, 0) = 0$

ดังนั้น $\varphi_u \cdot \varphi_{vv} = 0$ และ $\varphi_v \cdot \varphi_{vv} = 0$

นั่นคือ φ_{vv} ตั้งฉากกับ M_p เพราะฉะนั้น $\varphi'' = 0$ เกิดข้อขัดแย้ง

เอกสารนี้เป็นเอกสารที่สงวนไว้สำหรับการใช้งานเพื่อการศึกษาเท่านั้น ไม่อนุญาตให้นำไปใช้ประโยชน์ด้านการค้า
ไม่ว่ากรณีใดๆ ทั้งสิ้น อีกทั้งห้ามมิให้ดัดแปลงเนื้อหา และต้องอ้างอิงถึงเจ้าของเอกสารทุกครั้งที่มีการนำไปใช้

ดังนั้นทุกๆ เมอร์เดียนบนพื้นผิวของการหมุนเป็นจีโอเดซิก

ต่อไปจะแสดงว่า สำหรับบางพาราเลลเป็นจีโอเดซิกก็ต่อเมื่อ $f'(v_0) = 0$

ถ้าพาราเลลเป็นจีโอเดซิกแล้ว $f'(v_0) = 0$ โดยข้อขัดแย้ง สมมติให้ $f'(v_0) \neq 0$

พาราเลลมีภาวะอิงพารามิเตอร์คือ $\varphi(u, v_0) = (f(v_0) \cos u, f(v_0) \sin u, g(v_0))$

จากสมการ (2.14) เนื่องจาก $v' = v'' = 0$ จะได้ $\frac{E_v}{2G} u'^2 = 0$

จาก $E_v(u, v_0) = 2\varphi_{uv}(u, v_0)\varphi_u(u, v_0)$, $F(u, v_0) = \varphi_u(u, v_0)\varphi_v(u, v_0)$

จะได้ $\varphi_{uv}(u, v_0)\varphi_u(u, v_0) = (\varphi_u(u, v_0)\varphi_u(u, v_0))_u - \varphi_v(u, v_0)\varphi_{uu}(u, v_0)$

นั่นคือ $E_v(u, v_0) = 0$

แต่เนื่องจาก $E_v(u, v_0) = 2f'(v_0)$

เพราะฉะนั้น $f'(v_0) = 0$ เกิดข้อขัดแย้ง โดยสมมติฐาน ดังนั้น ถ้าพาราเลลเป็นจีโอเดซิกแล้ว $f'(v_0) = 0$

ในทางกลับกัน จะต้องแสดงว่าถ้า $f'(v_0) = 0$ แล้ว พาราเลลเป็นจีโอเดซิก โดยข้อขัดแย้ง สมมติให้พาราเลลไม่เป็นจีโอเดซิก

เนื่องจาก $E_v(u, v_0) = 2\varphi_{uv}(u, v_0)\varphi_u(u, v_0)$

และ $F(u, v_0) = \varphi_u(u, v_0)\varphi_v(u, v_0)$

นั่นคือ $\varphi_{uv}(u, v_0)\varphi_v(u, v_0) = F_u - \frac{E_v(u, v_0)}{2}$

และเนื่องจาก $\frac{E_v(u, v_0)}{2} = f'(v_0) = 0$ เพราะฉะนั้น $\varphi_{uv}(u, v_0)\varphi_v(u, v_0) = 0$

ดังนั้น $(\alpha''\varphi_v)(u, v_0) = 0$ เกิดข้อขัดแย้ง เนื่องจาก พาราเลลไม่เป็นจีโอเดซิก

จะได้ว่า $f'(v_0) = 0$ แล้ว พาราเลลบนพื้นผิวของการหมุนเป็นจีโอเดซิก

นั่นคือ บางพาราเลลบนพื้นผิวของการหมุนเป็นจีโอเดซิกก็ต่อเมื่อ $f'(v_0) = 0$

จีโอเดซิกบนทรงพาราโบล่า

ทรงพาราโบล่าเป็นพื้นผิวของการหมุนของพาราโบล่าที่ตัดกับแกนการหมุนและเป็นรูปทรงเปิดมีภาวะอิงพารามิเตอร์ คือ

$$(3.1) \quad \varphi(u, v) = (v \cos u, v \sin u, v^2)$$

จากสมการ (2.2) จะได้

$$(3.2) \quad E = v^2 \quad F = 0 \quad G = 1 + 4v^2$$

เพราะฉะนั้น สมการจีโอเดซิกบนภาวะอิงพารามิเตอร์เกลโรลที่ขึ้นอยู่กับพารามิเตอร์ v สำหรับทรงพาราโบล่า คือ

$$(3.3) \quad u'' + \frac{2}{v}u'v' = 0$$

$$v'' - \frac{v}{(1+4v^2)}u'^2 + \frac{4v}{(1+4v^2)}v'^2 = 0$$

เอกสารนี้เป็นเอกสารที่สงวนไว้สำหรับการใช้งานเพื่อการศึกษาเท่านั้น ไม่อนุญาตให้นำไปใช้ประโยชน์ด้านการค้า ไม่ว่าจะกรณีใดๆ ทั้งสิ้น อีกทั้งห้ามมิให้ดัดแปลงเนื้อหา 825 และต้องอ้างอิงถึงเจ้าของเอกสารทุกครั้งที่มีการนำไปใช้

จากสมการ (2.20) จะได้

$$(3.4) \quad u = \pm \int \frac{c\sqrt{1+4v^2}}{v\sqrt{v^2-c^2}} dv$$

จากความสัมพันธ์ของแกลโลสจะได้ $v \cos \theta = c$ ดังนั้น

$$(3.5) \quad u = \pm \int \frac{\tan \theta \sqrt{1+4v^2}}{v} dv$$

ดังนั้น สมการผลเฉลยของจีโอเดสิกที่อยู่ในรูปแบบภาวะอิงพารามิเตอร์แกลโลสที่ขึ้นอยู่กับพารามิเตอร์ v สำหรับทรงพาราโบลาคือ

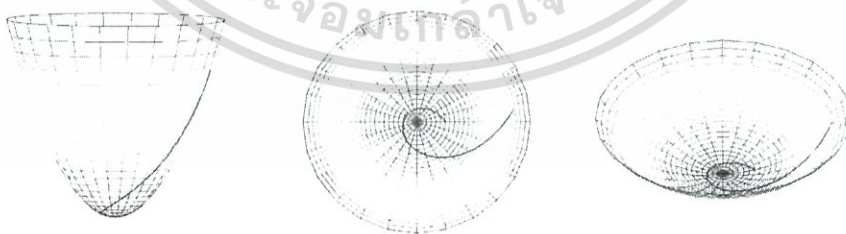
$$(3.6) \quad u = \pm \left[\sqrt{1+4v^2} \tan \theta - \theta \tanh \left(\frac{1}{\sqrt{1+4v^2}} \right) \right]$$

ต่อไปจะพิจารณาความสัมพันธ์ของแกลโลสในกรณีต่างๆ ดังนี้

- ถ้าพิจารณาเมอริเดียนจากความสัมพันธ์ของแกลโลส $v \cos \theta = c$ เนื่องจาก θ แทนมุมระหว่าง α' และ φ_u เพราะฉะนั้น $\theta = \frac{\pi}{2}$ จะได้ $c=0$ ดังนั้น $\frac{du}{dv} = 0$ ซึ่งแสดงในรูปภาพที่ 2

รูปภาพที่ 2 เมอริเดียนเป็นจีโอเดสิกบนทรงพาราโบลาคือ

- พิจารณาพาราเลล เนื่องจาก $f(v) = v$ จะได้ $f'(v_0) = 1$ นั่นคือ $f'(v_0) \neq 0$ จากทฤษฎีบทที่ 2.3.2 นั่นคือ สำหรับบางพาราเลลเป็นจีโอเดสิกก็ต่อเมื่อ $f'(v_0) = 0$ เพราะฉะนั้น ไม่มีพาราเลลที่เป็นจีโอเดสิก
- พิจารณา α ที่เป็นจีโอเดสิกที่ไม่ตั้งฉากกับเมอริเดียน นั่นคือค่าคงที่แกลโลสจะมีค่าเป็นค่าคงที่ ซึ่งแสดงในรูปภาพที่ 3



รูปภาพที่ 3 จีโอเดสิกบนทรงพาราโบลาคือที่ไม่ตั้งฉากกับเมอริเดียน

สรุปผลงานวิจัย

ทรงพาราโบลาคือพื้นผิวของการหมุนของพาราโบลาคือที่ตัดกับแกนการหมุนและเป็นรูปทรงเปิดที่อยู่ในรูปแบบภาวะอิงพารามิเตอร์แกลโลสที่ขึ้นอยู่กับพารามิเตอร์ v มีสมการผลเฉลยของจีโอเดสิกดังสมการที่ (3.6) จากความสัมพันธ์ของแกลโลส จะได้ว่าจีโอเดสิกบนทรงพาราโบลาคือสามารถหาได้เพียงเมอริเดียน และที่ไม่ตั้งฉากกับเมอริเดียนแต่พาราเรลไม่ถือว่าเป็นจีโอเดสิก เนื่องจากไม่เป็นไปตามนิยามของจีโอเดสิก เอกสารนี้เป็นเอกสารที่สงวนไว้สำหรับการใช้งานเพื่อการศึกษาเท่านั้น ไม่อนุญาตให้นำไปใช้ประโยชน์ด้านการค้า ไม่ว่าจะกรณีใดๆ ทั้งสิ้น อีกทั้งห้ามมิให้ดัดแปลงเนื้อหา และต้องอ้างอิงถึงเจ้าของเอกสารทุกครั้งที่มีการนำไปใช้

กิตติกรรมประกาศ

ขอขอบพระคุณโครงการพัฒนากำลังคนด้านวิทยาศาสตร์ (ทุนเรียนดีวิทยาศาสตร์แห่งประเทศไทย) ที่สนับสนุนงานวิจัยชิ้นนี้และขอขอบพระคุณท่านผู้ทรงคุณวุฒิที่ได้ให้คำปรึกษา แนะนำและเสนอแนะงานวิจัย ชิ้นนี้สำเร็จลุล่วงไปได้ด้วยดี

เอกสารอ้างอิง

- Alfred Gray, Elsa Abbena, Simon Salamon. 2006. *Modern Differential Geometry of Curves and Surface with Mathematica*. 3rd Edition. Boca Raton : Chapman & Hall/CRC.
- Barrett O'Neill. 2006. *Elementary Differential Geometry*. Revised 2nd Edition. San Diego Academic.
- Jacob Lewis. (n.d.). *Geodesics Using Mathematica*. Columbia University.
- John Oprea. 2007. *Differential Geometry and Its Applications*. 2nd Edition. Washington, DC : The Mathematical Association of America.
- M. P. do Carmo. 1976. *Differential Geometry of Curves and Surfaces*. Prentice-Hall, Englewood Cliffs, New Jersey.
- Mark L. Irons. 2005. *The Curvature and Geodesics of the Torus*.
<http://www.rdrop.com/~half/math/torus/index.xhtml>.
- Minoru Tanaka. 2000. *Behaviors of Geodesics on a Surface of Revolution*. Department of Mathematics, Tokai University.

Some Geodesics in Open Surfaces Classified by Clairaut's Relation

Wongvisarut Khuangsatung and Pakkinee Chitsakul

Abstract—In this paper, we studied some properties of geodesic on some open surfaces: Hyperboloid, Paraboloid and Funnel Surface. Geodesic equation in the v -Clairaut parameterization was calculated and reduced to definite integral. Some geodesics on some open surfaces as mention above were classified by Clairaut's relation.

Keywords—Geodesic, Surface of revolution, Clairaut's relation, Clairaut parameterization.

I. INTRODUCTION

GEODESICS are curves in surfaces that plays a role analogous to straight line in the plane. Geometrically, a geodesic in a surface is an embedded simple curve such that the portion of the curve between any two points is the shortest curve on the surface. It has been known that great circles are geodesics on a sphere. A geodesic can be obtained as the solution of the non-linear system of second-order ordinary differential equation with the given points and its tangent direction for the initial conditions. Reference [3] was shown numerical solution of a geodesic by iterative method. Generally, the geodesic equations are very complicated for solving explicitly. However, there are two cases where the solution can be reduced to definite integral. A solution of geodesic equation on some surfaces of revolution may be obtained from the v -Clairaut parameterization by reduced to compute integrals [5],[8]. Moreover, families of geodesics are classified by Clairaut's relation [8]. In this paper, we studied some properties of geodesic on some open surface: Hyperboloid, Paraboloid and Funnel Surface. Geodesic equation is calculated in the v -Clairaut parameterization form which can be reduced to definite integral and some geodesics on the open surfaces are classified by Clairaut's relation.

II. BASIC THEORY

We begin by recalling the basic theory about surface of revolution and its geodesic, most of which can be found in [1], [2], [6], [7], [8], [9] and [11]. Let D denote an open set in the plane \mathbf{R}^2 . Typically, the open set D will be an open disk or an open rectangle. Let

$$\mathbf{x} : D \rightarrow \mathbf{R}^3, (u, v) \mapsto (x(u, v), y(u, v), z(u, v))$$

denote a mapping of D into 3-space. If we fix $v = v_0$ and let u vary, then $\mathbf{x}(u, v_0)$ depends on one parameter, that is

W. Khuangsatung is with Department of Mathematics, Faculty of Science, King Mongkut's Institute of Technology Ladkrabang, Bangkok, Thailand 10520 (e-mail: wongvisarut@gmail.com).

P. Chitsakul is with Department of Mathematics, Faculty of Science, King Mongkut's Institute of Technology Ladkrabang, Bangkok, Thailand 10520 (e-mail: kcpakkin@kmitl.ac.th).

a curve. It is called a u -parameter curve. Similarly, if we fix $u = u_0$, the curve is a v -parameter curve. The tangent vectors for the u -parameter and v -parameter curves are given by differentiating the component functions of \mathbf{x} with respect to u and v respectively. For each point on surface S , let $T_p(S)$ denotes the tangent plane at p . Let $\alpha : [a, b] \rightarrow S$ be a smooth curve on a surface S . The first fundamental form for S is

$$ds^2 = Edu^2 + 2Fdu dv + Gdv^2, \tag{1}$$

where $E(u, v) = \mathbf{x}_u \cdot \mathbf{x}_u$, $F(u, v) = \mathbf{x}_u \cdot \mathbf{x}_v$, $G(u, v) = \mathbf{x}_v \cdot \mathbf{x}_v$.

A. Surface of Revolution

Let $I \subseteq \mathbf{R}$ be an interval and let $\alpha(v) = (0, f(v), g(v))$, $v \in I$ be a regular parametrized plane curve with $f(v) > 0$. Then the surface of revolution obtained by rotating α about the z -axis is parametrized by

$$\mathbf{x} = (f(v) \cos u, f(v) \sin u, g(v)), \tag{2}$$

where $v \in I, 0 \leq u \leq 2\pi$.

The u -parameter curves are generating curve α called meridians and The v -parameter curves are circles, called parallels (Fig.1).

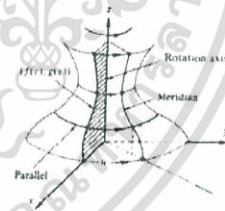


Fig. 1. Surface of revolution [7]

B. Geodesics

Definition 1: Let $\alpha : [a, b] \rightarrow S$ be a smooth curve on a surface S . The curve α is called a geodesic on S if $\alpha''(s)$ is orthogonal to the tangent space $T_{\alpha(s)}(S)$ for each $s \in (a, b)$.

That is, the acceleration α'' of a geodesic is orthogonal to $T_{\alpha(s)}(S)$, or orthogonal to the velocity α' of α . Thus, geodesics have constant speed, since differentiation of $\|\alpha'\|^2 = \alpha' \cdot \alpha'$ gives $2\alpha' \cdot \alpha'' = 0$

Theorem 1: Let $\alpha(s) = \mathbf{x}(u_1(s), u_2(s))$ be a smooth curve on a surface S . Then α is a geodesic if and only if α satisfies the following differential equations

$$u_i''(s) + \sum_{j,k=1}^2 \Gamma_{ij}^k(u_1(s), u_2(s)) u_j'(s) u_k'(s) = 0, (i = 1, 2). \tag{3}$$

Let $u_1 = u$ and $u_2 = v$. That is, the geodesic equations (3) can be simplified to

$$u'' + \Gamma_{11}^1(u')^2 + 2\Gamma_{12}^1u'v' + \Gamma_{22}^1(v')^2 = 0, \quad (4)$$

$$v'' + \Gamma_{11}^2(u')^2 + 2\Gamma_{12}^2u'v' + \Gamma_{22}^2(v')^2 = 0, \quad (5)$$

where the coordinate system $(u, v) = (u(s), v(s))$ is orthogonal, i.e., $F(u, v) = 0$. Then, the Christoffel symbols $\Gamma_{jk}^i (i, j, k = 1, 2)$ is given by

$$\Gamma_{11}^1 = \frac{E_u}{2E}, \Gamma_{12}^1 = \frac{E_v}{2E}, \Gamma_{22}^1 = \frac{-G_u}{2E}, \quad (6)$$

$$\Gamma_{11}^2 = \frac{-E_v}{2G}, \Gamma_{12}^2 = \frac{G_u}{2G}, \Gamma_{22}^2 = \frac{G_v}{G}. \quad (7)$$

By replacing (6) into (4) and (7) into (5), a geodesic can be calculated by the system of non-linear differential equations:

$$u'' + \frac{E_u}{2E}(u')^2 + 2\frac{E_v}{2E}u'v' - \frac{G_u}{2E}(v')^2 = 0, \quad (8)$$

$$v'' - \frac{E_v}{2G}(u')^2 + 2\frac{G_u}{2G}u'v' + \frac{G_v}{G}(v')^2 = 0, \quad (9)$$

C. Clairaut Parametrization

The main classical tool used to get qualitative information about geodesics on surface of revolution is the Clairaut's relation. We say that an orthogonal patch $\mathbf{x}(u, v)$ is a v -Clairaut parametrization if $E_u = G_u = 0$. Thus, the geodesic equation with v -Clairaut parametrization is the system

$$u'' + \frac{E_v}{2E}u'v' = 0, \quad (10)$$

$$v'' - \frac{E_v}{2G}(u')^2 + \frac{G_v}{G}(v')^2 = 0, \quad (11)$$

Theorem 2: (Clairaut's relation) Let $\mathbf{x} : D \rightarrow S$ be v -Clairaut parametrization and let $\alpha(s) = \mathbf{x}(u(s), v(s))$ be a geodesic on S . If θ is the angle from \mathbf{x}_u to α' , then

$$\sqrt{E} \cos \theta = c, \quad (12)$$

where c is called Clairaut's constant.

In general, the geodesic equation is difficult to solve explicitly. However, there are important cases where their solutions can be reduced to definite integrals. Thus, Geodesics equation for v -Clairaut parametrization with single integral is

$$u(v) = \pm \int_{v_0}^v \frac{c\sqrt{G}}{\sqrt{E}\sqrt{E-c^2}} dv. \quad (13)$$

We now recall two important classes of geodesics on surface of revolution.

Theorem 3: For a surface of revolution having parametrization $\mathbf{x}(u, v) = (f(v) \cos u, f(v) \sin u, g(v))$, any meridian is a geodesic and a parallel is a geodesic if and only if $f'(v_0) = 0$.

In other words, a necessary condition for a parallel of a surface of revolution to be a geodesic is that such a parallel is generated by the rotation of a point on the generating curve where the tangent is parallel to the axis of revolution. (Fig.2)

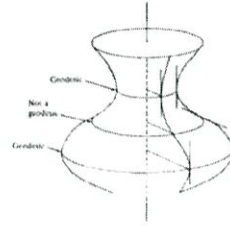


Fig. 2. Some properties of geodesic on surface of revolution [7]

III. THE MAIN RESULTS

A. Geodesic on Hyperboloid

The Hyperboloid [12] (also called a "Hyperboloid of one sheet") is a surface of revolution that can be obtained by rotating a hyperbola around an z -axis. Hyperboloid can be written in parameterization by

$$\mathbf{x}(u, v) = (a\sqrt{1+v^2} \cos u, a\sqrt{1+v^2} \sin u, bv), \quad (14)$$

where $u \in [0, 2\pi), v > 0$ and $a > 0$. The coefficients E, F and G of the first fundamental form are given by

$$E = a^2(1+v^2), F = 0, G = \frac{a^2v^2}{1+v^2} + b^2, \quad (15)$$

So that the first fundamental form of Hyperboloid is

$$ds^2 = a^2(1+v^2)du^2 + \left(\frac{a^2v^2}{1+v^2} + b^2\right)dv^2. \quad (16)$$

Note that $E_u = G_u = 0$. Surfaces giving by parametrization with these properties are v -Clairaut parametrization. From (10) and (11), geodesic equation on Hyperboloid with v -Clairaut parametrization is satisfied by the following differential equations:

$$u'' + \frac{2v}{1+v^2}u'v' = 0, \quad (17)$$

$$v'' - \frac{a^2v(1+v^2)}{a^2v^2+b^2(1+v^2)}u'^2 + \frac{a^2v}{(1+v^2)(a^2v^2b^2(1+v^2))}v'^2 = 0. \quad (18)$$

From (13), we obtain a single integral which serves to characterize geodesics for a v -Clairaut parametrization. Thus, the geodesics equation on Hyperboloid for v -Clairaut parametrization with single integral may obtain from the following equation

$$u(v) = \pm \int_{v_0}^v \frac{c\sqrt{\frac{a^2v^2}{1+v^2} + b^2}}{\sqrt{a^2(1+v^2)}\sqrt{a^2(1+v^2) - c^2}} dv. \quad (19)$$

Hence, we classify some geodesics on the Hyperboloid by using Clairaut's relation and Theorem 3, thus

$$a\sqrt{(1+v^2)} \cos \theta = c. \quad (20)$$

By assuming that v is very small number, therefore we will consider into 3 cases:

1. Meridians on the Hyperboloid are geodesic which satisfies $c = 0$.

Let $\alpha(s) = \mathbf{x}(u(s), v(s))$ be a meridian on the Hyperboloid.

Since θ is the angle from \mathbf{x}_u to α' , then $\theta = \pi/2$. By putting the meridian $\theta = \pi/2$ in Clairaut's relation, we have $a\sqrt{(1+v^2)}\cos(\pi/2) = c$. Since (Theorem 3.) any meridian is a geodesic, meridians on the Hyperboloid are geodesic (Fig3).

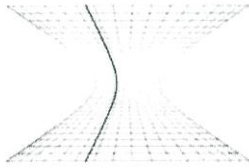


Fig. 3. Meridians on the Hyperboloid are geodesic.

2. Parallel on Hyperboloid at $v_0 = 0$ is geodesic which satisfies $c = a$.

Let $\alpha(s) = \mathbf{x}(u(s), v(s))$ be a parallel on the Hyperboloid. Since θ is the angle from \mathbf{x}_u to α' , then $\theta = 0$. We obtain the parallel $\theta = 0$ in Clairaut's relation, we have $c = a\sqrt{1+v^2}$. Moreover, (Theorem 3.) a parallel is a geodesic if and only if $f'(v_0) = 0$. Since $f(v) = a\sqrt{1+v^2}$ then $f'(v) = 2av/\sqrt{1+v^2}$. Thus $f'(v_0) = 0$ where $v_0 = 0$. Therefore, the parallel on Hyperboloid at is geodesic which satisfies $c = a$ (Fig4).

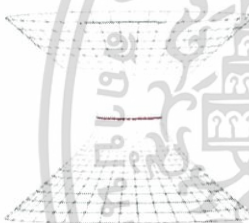


Fig. 4. Parallel on Hyperboloid at $v_0 = 0$ is geodesic which satisfies $c=a$.

3. Other geodesics satisfy $|c| < |a|$.

In this case, the geodesic is not perpendicular to any meridians which satisfy $a\sqrt{(1+v^2)}\cos\theta = c$. It implies that $|c| < |a|$. We show geodesics curve on a Hyperboloid by using MATLAB [4], [10]. For example (Fig5), the starting point (u, v) and the direction $(du/ds, dv/ds)$ are given.

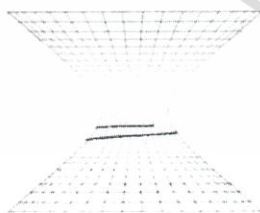


Fig. 5. Some geodesics on Hyperboloid.

With similarity to Hyperboloid, Paraboloid and Funnel surface are considered.

B. Geodesic on Paraboloid

The Paraboloid [12] is a surface of revolution which is an open surface where the generating curve intersects the axis of rotation. A Paraboloid can be parameterized by

$$\mathbf{x}(u, v) = (av \cos u, av \sin u, v^2), \tag{21}$$

where $u \in [0, 2\pi), v > 0$ and $a > 0$. The coefficients E, F and G of the first fundamental form are given by

$$E = a^2v^2, F = 0, G = a^2 + 4v^2, \tag{22}$$

So that the first fundamental form of Paraboloid is

$$ds^2 = a^2v^2du^2 + (a^2 + 4v^2)dv^2. \tag{23}$$

Note that $E_u = G_u = 0$. Surfaces giving by parametrization with these properties are v -Clairaut parametrization. From (10) and (11), geodesic equation on Paraboloid with v -Clairaut parametrization is satisfied by the following differential equations:

$$u'' + \frac{2}{v}u'v' = 0, \tag{24}$$

$$v'' - \frac{a^2v}{a^2 + 4v^2}u'^2 + \frac{4v}{a^2 + 4v^2}v'^2 = 0. \tag{25}$$

Geodesics equation on Paraboloid for v -Clairaut parametrization with single integral may obtain from the following equation

$$u(v) = \pm \int_{v_0}^v \frac{c\sqrt{a^2 + 4v^2}}{av\sqrt{a^2v^2 - c^2}} dv. \tag{26}$$

Clairaut's relation of Paraboloid is

$$av \cos \theta = c. \tag{27}$$

By assuming that v is very small number, therefore we will consider into 3 cases:

1. Meridians on the Paraboloid are geodesics which satisfies $c = 0$.

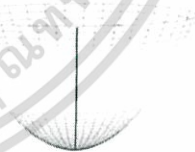


Fig. 6. Meridians on the Paraboloid are geodesics.

2. Parallel on Paraboloid at $v_0 = 0$ is not geodesic which satisfies $c = a$ since $f'(v_0) = a \neq 0$. 3. Other geodesics satisfy $|c| < |a|$.

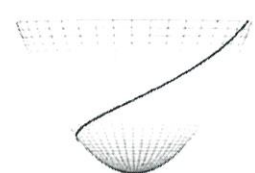


Fig. 7. Meridians on the Paraboloid are geodesics.

C. Geodesic on Funnel Surface

The Funnel Surface [12] is a surface of revolution of the curve $\ln v$ which is an open surface where the generating curve do not intersect the axis of rotation. A Funnel Surface can be parameterized by

$$x(u, v) = (av \cos u, av \sin u, \ln v), \tag{28}$$

where $u \in [0, 2\pi), v > 0$ and $a > 0$. The coefficients E, F and G of the first fundamental form are given by

$$E = a^2v^2, F = 0, G = a^2 + \frac{1}{v^2}, \tag{29}$$

So that the first fundamental form of Funnel Surface is

$$ds^2 = a^2v^2 du^2 + (a^2 + \frac{1}{v^2}) dv^2. \tag{30}$$

Note that $E_u = G_u = 0$. Surfaces giving by parametrization with these properties are v -Clairaut parametrization. From (10) and (11), geodesic equation on Funnel Surface with v -Clairaut parametrization is satisfied by the following differential equations:

$$u'' + \frac{2}{v}u'v' = 0, \tag{31}$$

$$v'' + \frac{a^2v^3}{a^2v^2 + 1}u'^2 - \frac{1}{v(a^2v^2 + 1)}v'^2 = 0. \tag{32}$$

Geodesics equation on Funnel Surface for v -Clairaut parametrization with single integral may obtain from the following equation

$$u(v) = \pm \int_{v_0}^v \frac{c\sqrt{a^2v^2 + 1}}{av^2\sqrt{a^2v^2 - c^2}} dv. \tag{33}$$

Clairaut's relation of Funnel Surface is

$$av \cos \theta = c. \tag{34}$$

By assuming that v is very small number, therefore we will consider into 3 cases:

1. Meridians on the Funnel Surface are geodesics which satisfies $c = 0$.

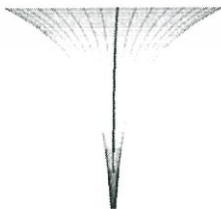


Fig. 8. Meridians on the Funnel Surface are geodesics.

2. Parallel on Funnel Surface at $v_0 = 0$ is not geodesic which satisfies $c = a$ since $f'(v_0) = a \neq 0$.

3. Other geodesics satisfy $|c| < |a|$ (Fig.9).

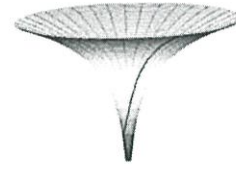


Fig. 9. Some geodesics on Funnel.

IV. CONCLUSION

We show how to compute the geodesics on some given surfaces for v -Clairaut parametrization in definite integral. We find that if there exists a point on the surface that cut the rotating exist (Paraboloid) or almost cut the rotating exist (Funnel Surface), then all parallels are not geodesic as shown in TABLE I.

TABLE I
THE CLASSIFICATION OF GEODESIC BY CLAIRAUT'S RELATION

Surface of Revolution	Meridian	Parallel	Other geodesics
Hyperboloid	$c = 0$	$c = a$	$ c < a $
Paraboloid	$c = 0$	-	$ c < a $
Funnel Surface	$c = 0$	-	$ c < a $

ACKNOWLEDGMENT

We wish to express our sincere thanks to Science Achievement Scholarship of Thailand and King Mongkut's Institute of Technology Ladkrabang.

REFERENCES

- [1] A. Gray, E. Abbena, S. Salamon, *Modern Differential Geometry of Curves and Surface with Mathematica*, 3rd ed. Boca Raton : Chapman and Hall/CRC, 2006.
- [2] B. O'Neill, *Elementary Differential Geometry*, Revised 2nd ed. San Diego : Academic, 2006.
- [3] E. Kasap, M. Yapici, F. T.Akyildiz, Numerical Study for Computation of Geodesic Curves, *Elsevier J. Applied Mathematics and Computation*, vol. 171, pp. 1206-1213, 2005.
- [4] J. Klang, Computing Geodesics on Two Dimensional Surfaces, May 2005.
- [5] J. Lewis, Geodesics Using Mathematica, Columbia University, 2005.
- [6] J. Oprea, *Differential Geometry and Its Applications*, 2nd ed. Washington, DC : The Mathematical Association of America, 2007.
- [7] M. P. do Carmo, *Differential Geometry of Curves and Surfaces*, Prentice-Hall, Englewood Cliffs, New Jersey, 1976.
- [8] M. L. Irons, The Curvature and Geodesics of the Torus ,2005.
- [9] M. Tanaka, *Behaviors of Geodesics on a Surface of Revolution*, Lecture Notes, Tokai University, 2000.
- [10] P. Chesler. Numerical Solutions For Geodesics on Two Dimensional Surfaces ,1999
- [11] P. Chitsakul. *Differential Geometry*, Lecture Notes, KMITL, 2011.
- [12] Wolfram mathworld Available: <http://mathworld.wolfram.com>.



W. Khuangsatung received B.Sc. in Mathematics from King Mongkut's Institute of Technology Ladkrabang. He is currently a graduate student at Department of Mathematics, Faculty of Science, King Mongkut's Institute of Technology Ladkrabang, Bangkok, Thailand. His research interest is Differential Geometry.



P. Chitsakul received B.Sc. in Science from Ramkhamhang University and M.Sc in Applied Mathematics from Mahidol University. She is associate professor in Department of Mathematics, Faculty of Science, King Mongkut's Institute of Technology Ladkrabang, Bangkok, Thailand. Her research interests include Differential Geometry, Numerical Analysis and Mathematical Model.



ประวัติผู้วิจัย

ชื่อ – นามสกุล	นายวงศวิศรุต เชื่องสตุ่ง
วัน เดือน ปีเกิด	3 มีนาคม 2531
ที่อยู่ปัจจุบัน	123 หมู่ที่ 9 บ้านร่มเย็น ตำบลปอแดง อำเภอชนบท จังหวัดขอนแก่น 40180
ประวัติการศึกษา	จบปริญญาตรีจากสถาบันเทคโนโลยีพระจอมเกล้าเจ้าคุณทหาร ลาดกระบัง
ทุนการศึกษา	โครงการพัฒนากำลังคนด้านวิทยาศาสตร์ (ทุนเรียนดีวิทยาศาสตร์แห่งประเทศไทย) ประจำปีการศึกษา 2553
ผลงานวิชาการ	เรื่อง สมบัติบางประการของจีโอเดซิกบนทรงพาราโบลอยด์โดยความสัมพันธ์ ของแกลโลร์ (<i>Some Properties of Geodesic on Paraboloid by Clairaut's Relation</i>) การประชุมวิชาการครั้งที่ 8 มหาวิทยาลัยเกษตรศาสตร์ วิทยาเขต กำแพงแสน ระหว่างวันที่ 8-9 เดือนธันวาคม 2554 เรื่อง สมบัติบางประการของจีโอเดซิกบนทรงไฮเพอร์โบลอยด์โดยความสัมพันธ์ ของแกลโลร์ (<i>Some Properties of Geodesic on Hyperboloid by Clairaut's Relation</i>) การประชุมวิชาการวิทยาศาสตร์และเทคโนโลยีเพื่อเยาวชนครั้งที่ 7 ระหว่างวันที่ 2-4 เดือนพฤษภาคม 2555 <i>Some Geodesics in Open Surfaces Classified by Clairaut's Relation,</i> ICAPM 2012 : International Conference on Applied Physics and Mathematics, Singapore, September 12-13, 2012.

เอกสารนี้เป็นเอกสารที่สงวนไว้สำหรับการใช้งานเพื่อการศึกษาเท่านั้น ไม่อนุญาตให้นำไปใช้ประโยชน์ด้านการค้า
ไม่ว่ากรณีใดๆ ทั้งสิ้น อีกทั้งห้ามมิให้ดัดแปลงเนื้อหา และต้องอ้างอิงถึงเจ้าของเอกสารทุกครั้งที่มีการนำไปใช้